

MINISTERUL EDUCATIEI SI INVATAMINTULUI
INSTITUTUL POLITEHNIC "TRAIAN VUIA" TIMISOARA
FACULTATEA DE MECANICA

IULIU NICOLAE CARTE

CONTRIBUTII LA STUDIUL RETELELOR DE PROFILE RADIAL-AXIALE
SI UTILIZAREA LOR IN PROIECTAREA ROTORILOR TURBINELOR FRANCIS

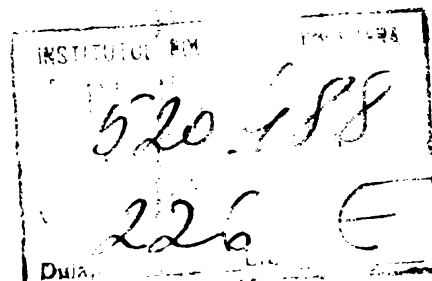
- Teză de doctorat -

BIBLIOTECA CENTRALĂ
UNIVERSITATEA "POLITEHNICA"
TIMIȘOARA

CONDUCATOR STIINTIFIC

Acad.Prof.Dr.Doc.Ing.IOAN ANTON

- Timișoara, 1986 -



Deschide cartea, ca să înveți
ce au gândit alții ;
închide cartea, ca să gîndești
tu însuși.

Librum aperti, ut discas, qui
alii cogitaverunt; librum claude,
ut ipse cogites.

CUVINT ÎNAINTE

În complexul proces al cunoașterii, în urma a nenumărate observații făcute de milenii și a unor considerații filozofice foarte bine întemeiate, omul a ajuns la un rezultat de o importanță majoră și anume : pentru orice sistem α aflat într-o stare \mathcal{S}_0 numită inițială, care ajunge după un interval de timp Δt într-o stare \mathcal{S} numită finală, ca urmare a interacțiunii dintre sistemul α și sistemele înconjurătoare, legătura dintre \mathcal{S}_0 și \mathcal{S} este necesară și reproductibilă, sau altfel spus această legătură este o relație de determinare cauzală; \mathcal{S}_0 este numită cauză, \mathcal{S} este numit efect iar legătura dintre ele poate fi pusă sub forma; [182]

$$\mathcal{S} = E_{(\Delta t)} \mathcal{S}_0 \quad (a)$$

în care $E_{(\Delta t)}$ este operatorul de evoluție al sistemului, în condițiile date, pe durata Δt . Relația (a) se numește cauzală și ne arată către ce stare evoluează, în condiții date, un sistem care se găsește într-o stare inițială dată.

În evoluția socială a omenirii a apărut însă în mod obiectiv următoarea problemă fundamentală : cum trebuie să acționăm asupra unui sistem α pentru ca acesta să ajungă într-o stare finală dată \mathcal{S}_F . Pentru aceasta va trebui să găsim atât o stare inițială \mathcal{S}_I cât și un operator de evoluție $E_{F,I}$ astfel ca

$$\mathcal{S}_F = E_{F,I} \mathcal{S}_I \quad (b)$$

adică să se obțină o stare efect, aceasta determinînd cauza care îl produce. Relația (b), deși asemănătoare cu (a), nu este cauzală ci este o relație finalistă iar operatorul $E_{F,I}$ un operator de evoluție finalist. Realizarea unui efect dorit cere deci utilizarea unor relații de conexiune finaliste cu ajutorul cărora să putem găsi cauzele și condițiile necesare obținerii efectului.

Unul dintre importanții beneficiari ai relațiilor de conexiune finaliste este INGINERIA. Ingineria reprezintă un complex de acțiuni care au drept scop realizarea de materiale, dispozitive și aparate, linii tehnologice, mașini, construcții etc. Un atribut

esențial al relației (b) este faptul că există o infinitate de procese care pot conduce la starea finală propusă pornind de la o infinitate de stări inițiale. Procesele ingineresti se pot realiza într-un număr imens de variante dar arta inginerescă constă tocmai în selecționarea acelor căi de rezolvare care să asigure produselor ingineresti în mod esențial și necesar : realizabilitate, calitate, fiabilitate, productivitate, economicitate [182] .

Dacă starea finală efect \mathcal{J}_F este o mașină (hidraulică de exemplu) operatorul de evoluție finalist $E_{F,1}$ este structurat în mare prin : concepție, tehnologie și fabricație.

Prezenta teză încearcă să aducă o contribuție la definitivarea operatorului finalist $E_{F,1}$ pe partea lui privind concepția (studiu, proiectare, analiză), în cazul în care produsul ingineresc (starea finală \mathcal{J}_F) este o turbomașină radial-axială.

În precuvîntarea acestei lucrări - îndelung elaborate și fasonate datorită dorinței autorului de a o conecta mereu la ceea ce este mai nou, mai de ultimă oră, în domeniul abordat, și de aceea, intrată într-o inerție care amenința să devină un "perpetuum mobile" al cărui punct final ar fi fost greu de pus - doresc să-mi exprim recunoștința profesională, față de toți cei care m-au înconjurat cu răbdare, înțelegere și tact colegial.

Este greu să încredințez cuvintelor natura complexă a sentimentelor de stimă și afecțiune pe care le nutresc față de mentorul și distinsului meu dascăl, tovarășul academician profesor doctor docent inginer Ioan Anton, a cărui strălucită personalitate științifică mi-a călăuzit și influențat spiritul și capacitatea de muncă și creație de-a lungul anilor, manifestată și în elaborarea prezentei teze; pentru care îi mulțumesc din adîncul inimii.

Adresez colegilor din catedră și colaboratorilor externi, îndeosebi celor de la Centrul de calcul al IPTVT, calde mulțumiri.

Familiei, recunoștință pentru tandra încurajare și statornică-i dragoste.

Conducerii facultății și institutului, omagii respectuoase pentru sprijin și comprehensiune.

Pentru luminoasele perspective și neasemuitele condiții create azi, științei românești, PARTIDULUI, îi mulțumesc.

ORIENTARI ACTUALE IN HIDRODINAMICA RETELELOR DE PROFILE
RADIAL-AXIALE

1.1 Introducere

Mișcarea fluidelor prin organele paletate ale turbomașinilor are un caracter complex, spațial. Abordarea problemei în cazul cel mai general (fluid vâscos, compresibil, mișcare tridimensională, mișcare rotațională, mișcare turbulentă, mișcare cu evoluție) este practic imposibilă din cauza dificultăților de natură matematică care se ivesc la rezolvarea sistemului diferențial care exprimă mișcarea. Din acest motiv problemele de hidrodinamica turbomașinilor au obținut unele rezolvări numai sub restricția unor ipoteze simplificatoare legate de structura mișcării și de proprietățile fluidului. Greutățile ce se ivesc în tratarea teoretică a problemelor de hidrodinamică chiar pentru cazuri simple (de exemplu mișcarea potențială plană în jurul rețelelor de profile axiale) au făcut ca, în proiectarea turbomașinilor, să fie folosite, mult timp metode și relații extrem de simplificate. Astfel o largă răspândire are și în prezent, așa numita metodă monodimensională sau metoda mărimilor medii care constă în principal în

(i) în cadrul problemei inverse - în determinarea configurației liniilor de curent (în mișcarea absolută sau relativă după caz) admițând apriorii variația unor parametri hidraulici medii în zonele paletate. Astfel, mult folosite sînt variațiile $n \nu_m = f(n)$ în cazul turbinelor și $\rho = \rho(n)$ în cazul pompelor.

(ii) în cadrul problemei directe - în calculul variațiilor principalilor parametri hidraulici medii în lungul canalului (mai ales a vitezelor medii).

Deși simplistă metoda s-a impus prin marea ei operativitate. Dublată de un vast program de investigații experimentale care a permis optimizări (încercări pe variante) și mai ales de experiența cumulată de constructorii de turbomașini în stabilirea acelor variații apriori amintite mai înainte, metoda a permis proiectarea unor turbomașini cu performanțe ridicate. Marele dezavantaj al metodei constă în faptul că rezultatele nu pot fi apreciate decât global. Imposibilitatea de a determina în detaliu mișcarea fluidului în zonele paletate ale turbomașinilor și, în consecință, de a aduce corecții locale geometriei mașinii (frontierelor solide) pentru eliminarea erorilor și dirijarea unor parametri a dus

practic la plafonarea metodei.

1.2 Metode teoretice

Complexitatea problemei și, în consecință, diversa alegere a ipotezelor simplificatoare pentru tratări teoretice a făcut ca metodele de calcul din hidrodinamica organelor paletate ale turbomașinilor să fie variate. Ele au conturat însă, cu rezultate destul de bune, următoarele trei direcții principale de abordare teoretică a problemei și anume :

- (i) metoda suprafeței de curent medii
- (ii) metoda bidimensională
- (iii) metoda tridimensională

1.2.1 Metoda suprafeței de curent medii

Metoda suprafeței de curent medii constă în esență în substituirea paletelor cu suprafața schelet a ei. Aceasta face ca în zonele paletate mișcarea (absolută sau relativă după caz) să poată fi acceptată ca axial simetrică iar suprafața schelet a paletelor devine suprafață de curent pentru această mișcare. Incepăturile se datoresc lui Lorenz [101] și Bauersfeld [16] care au considerat mișcarea prin rotorul turbomașinilor ca fiind obținută prin suprapunerea a două mișcări : una potențială în planul axial și una de rotație în jurul axei rotorului. Mises [107] , introduce, în cadrul acestei metode un câmp de forțe corporale care să reprezinte echivalentul acțiunii suprafeței schelet a paletelor asupra curentului. Pe această linie contribuții remarcabile aduc Gravalos [68], Vavra [164], Stepanov [155], Raabe [129], Kviatkovski [98] , Sirotkin [145] care a introdus și efectul grosimii paletelor. Toate acestea au condus la conturarea unor metode de analiză a mișcării prin rotoarele turbomașinilor radial-axiale (soluționarea problemei directe) - Sirotkin [145] și Wood [173] la pompele radial-axiale), Jansen [86] la turbinele Francis, Wada și colaboratorii [169] la mașinile radial-axiale reversibile. În cadrul problemei inverse o metodă mai perfecționată a fost inițiată de Wislicenus [171] (metoda liniei de curent medii) care o apropie însă de teoria rețelelor de profile radial-axiale.

1.2.2 Metoda bidimensională

Metoda bidimensională sau metoda rețelelor de profile radial-axiale, constă în divizarea problemei tridimensionale în două probleme bidimensionale conexe și anume :

(i) se rezolvă o problemă axial simetrică într-un contur dat (formulare directă) sau se generează și conturul (formulare inversă) care dă liniile de curent în plan axial.

(ii) se studiază mișcarea fluidului în jurul rețelelor de profile radial-axiale dispuse pe suprafețe de curent de revoluție de meridiene - liniile de curent obținute la 1.2.2.(i); rețele de profile care se obțin prin intersecția suprafețelor paletelor cu aceste suprafețe de curent.

În cadrul acestei metode problema mișcării fluidelor prin rotorii turbomașinilor a dus la rezolvări complexe permițând obținerea câmpului de viteze și presiuni (și a mărimilor fizice conexe) în tot domeniul mișcării interesând în mod deosebit frontierele profilelor.

Tratarea directă a problemei pe suprafețele de curent este extrem de dificilă (mecanica fluidelor într-un spațiu riemanian bidimensional Aris [14]). Ecuațiile generale ale mișcării pe suprafețe de revoluție apar în lucrările lui Stanitz [153], Wu [177], Senoo și Nakase [143]. Cu ajutorul transformărilor conforme rezultate remarcabile au fost obținute de Spannake [150], Sorensen [149] dar mai ales de Valander [162], Stanitz [153], Viktorov [165].

O cale fertilă a constituit metoda singularităților care a permis rezolvări destul de simple aproximative, pentru o gamă largă de probleme directe și indirecte. În acest context se înscriu lucrările lui Gruber [69], Fuzy [63], Czibere [41], Schilhausl [136] pentru rețele radiale de pompe și Imbach [83], Mansouri [102], Murai [111], [112] pentru rețele radial-axiale.

1.2.3 Metoda tridimensională

Primele tratări teoretice ale mișcării tridimensionale prin organele paletate ale turbomașinilor apar în lucrările lui Spannake [150] și Dreyfus [50]. Stanitz [152], în 1952 prezintă o tratare tridimensională a mișcării prin rotoarele compresoarelor centrifuge, iar Ellis și Stanitz [53] au dezvoltat metoda realizând o comparație cu metodele bidimensionale și cu verificări experimentale. O tratare generală și sistematică a problemei tridimensionale prin rotoare a realizat Wu [179] care a reușit și integrarea ecuațiilor de mișcare în rezolvarea problemei directe. Cu metode variaționale au abordat problema Krajewski [95] și Strschesletsky [156] iar Vötter [167] a dezvoltat o metodă numerică de calcul. Dezvoltări în serie pentru soluționarea problemei au fo-

losit Potetenko [126] și Raabe [130] iar metode matriciale Katsanis [89] și Bossman [20] care au realizat și complexe programe de calcul. Pe această linie lucrări importante au fost semnate de Krimerman [97] (mișcarea în compresare) și Moore și colab. [109] (mișcarea în retoarele centrifuge).

1.2.4 Noi direcții

În ultimele două decenii s-au impus în dinamica fluidelor, datorită mării lor eficacități, câteva metode numerice noi de calcul. Pe această linie, cele mai reprezentative sînt: metoda elementului finit (M.E.F.) și mai recent, metoda elementului de margine (M.E.M.) iar în ultimii ani, în combinație cu metoda multi-grid (M.M.G.) pentru soluționarea sistemelor algebrice liniare. Aplicații în mecanica fluidelor apar în [22],[39],[4],[120],[168] (M.E.F.) și [73],[23],[24],[15],[157] (M.E.M.). Cu aplicații în hidrodinamica turbomașinilor, folosind M.E.F., Hirsch și Warzee [76],[77] tratează câmpul hidrodinamic din planul axial al turbomașinilor; De Vries și Norrie [168] mișcarea potențială în jurul profilelor singulare, Kolati și Voia [93] mișcarea potențială în jurul rețelelor de profile axiale; Carnevale și colab. [28] prezintă o metodă quasi tri-dimensională de simulare a mișcării în pompe. În același context, folosind M.E.M. Brebbia și colab. [23] determină câmpul de viteze pe frontiera profilelor hidrodinamice izolate iar Symm [157] și mult mai complex Hess și Smith [73] determină mișcarea în jurul profilelor izolate, în jurul rețelelor de profile axiale și în jurul corpurilor cu suprafață de revoluție.

1.3 Investigații experimentale

În paralel cu evoluția metodelor teoretice de calcul s-au dezvoltat și numeroase metode de investigație experimentală, au apărut stațiuni din ce în ce mai complexe și aparatură tot mai perfecționată. Scopul acestor investigații experimentale a fost de a elucidă unele aspecte fizice legate de curgerea fluidelor prin turbomașini (rezultate calitative) dar mai ales de a realiza măsurători cât mai precise pentru a putea fi confruntate cu ele metodele teoretice (rezultate cantitative).

Bune rezultate calitative au obținut Fischer [57] și Grünogl [70] care au folosit tehnica fotografierii. Primele măsurări de presiuni în canale rotitoare au fost efectuate de Prian [127] și Hamrick [72] iar Acosta [1],[2] realizează ample și îngrijite măsurări în rotorii turbopompelor. Realizări remarcabile privind instalațiile de măsură legate în special de complexitatea lor

și acuratețea aparaturii de măsură se găsesc în lucrările lui Leist și Dettmering [99]. Măsurări de viteze și presiuni în instalații complexe apar în lucrările lui Bär [17], Pfoertner [119], Schlemmer [137], [138] pentru turbine Francis și Benson [18] pentru turbine cu gaze; toate aceste măsurări au fost comparate cu determinări pe cale analitică. Măsurători mai speciale în turbinele Francis (regimuri tranzitorii, vibrații) realizează Walter [170], Furtner [61], [62], Gerich [65], [66]. În cadrul acestor investigații experimentale este de remarcat realizarea unor dispozitive de măsură a vitezei și presiunii tot mai perfecționate pentru organele rotitoare ale turbomașinilor precum și extinderea câmpului de investigație la nivelul stratului limită de pe frontierele solide.

1.4 Hidrodinamica rețelelor de profile radial-axiale

Multiplele preocupări, în cadrul metodei bidimensionale, pentru rezolvarea problemelor de hidrodinamica turbomașinilor, au dus la constituirea unei teorii a hidrodinamicii rețelelor de profile radial-axiale. Deși încă în fază de început, această teorie a conturat actualmente trei direcții de abordare a problemelor și anume: metoda liniei de curent (liniei de schelet mijlocii), metoda singularităților și metoda transformărilor conforme.

(i) metoda liniei de curent mijlocii, folosită cu precădere la rezolvarea problemei inverse constă în existența în determinarea deviației curbei schelet a profilului de pe suprafață de la linia de curent medie de pe suprafață. Metoda a fost inițiată, așa cum am mai amintit de Wislicenus [171] care a și găsit corelații între distribuția încărcării pe profil, funcția de grosime a profilului, coeficient de portanță și funcția de deviație a scheletului de la linia de curent mijlocie. Metoda a fost dezvoltată de Gearhard [64], Ervin [54] dar mai ales de Mc Bride [104], [105] care a extins metoda la o gamă largă de încărcări ale profilului, permițând analiza distribuției de presiuni și ale stratului limită pe suprafețele profilelor și a realizat complexe programe de calcul.

(ii) metoda singularităților constă în înlocuirea profilului rețelei radial-axiale cu o dublă distribuție de surse-absorbții respectiv circulații în lungul unei curbe de pe suprafață și care să aibe ca efect, în cadrul mișcării pe suprafață, exact acela al prezenței profilului. Metoda conduce la ecuații foarte complicate pentru câmpul de viteze care se integrează extrem de greu. Inceputurile au fost prezentate la 1.2.2. Pe suprafețe conice problema a fost abordată de Imbach [13] și Mansou-

ri [102] care dă și o metodă aproximativă de rezolvare a problemei inverse (practic dă alegerea unei rețele de geometrie cunoscută și instalarea ei corectă). Fűzy [63] prezintă rezolvarea problemei inverse pentru rețele de profile subțiri (practic rețele de schelete) pentru suprafețe de revoluție apropiate de cele conice. Cazul general al suprafețelor de revoluție oarecare este tratat de Murai [111] a cărei metodă se distinge prin acuratețe dar este extrem de laborioasă și greoale pentru calcule. Soluțiile care dau, de exemplu, distribuțiile de singularități se obțin prin dezvoltări în serii de funcții.

(iii) metoda transformărilor conforme constă, în principal, în comutarea problemei de pe suprafața de curent într-un plan asociat cu ajutorul unor schimbări de funcții și de variabile. Problema este studiată în acest plan asociat iar rezultatele sînt transpuse apoi pe suprafața de revoluție. Metoda aceasta s-a dovedit fertilă și în cadrul ei s-au folosit trei procedee mai importante și anume : funcțiile analitice generalizate; analogia cu ecuații cu derivate parțiale ce au soluții cunoscute și procedee numerice directe. Transformarea conformă a rețelei radial-axiale într-o rețea liniară plană de anvergură variabilă apare în lucrările lui Wu [176], [177], Viktorov [165] realizează transformarea într-o rețea circulară plană iar Belehova [183] procedeul de transformare conformă a mișcării din planul asociat pe o suprafață canonică arbitrară.

Utilizînd funcțiile analitice generalizate în [178] este prezentată extinderea formulei lui Kocin pentru rețele liniare de anvergură variabilă. Aceasta conduce la ecuații integrale pentru câmpul de viteze care pot fi rezolvate prin procedee numerice. O a doua cale este expusă de Viktorov [165] și ea are la bază asemănarea ecuațiilor cu derivate parțiale ale funcției de curent și potențialului vitezei cu ecuațiile acelorași funcții din mișcarea potențială plană subsonică a gazelor în care funcția de grosime a stratului este aproximată cu variații liniare sau parabolice. Procedeele numerice directe sînt cele mai eficace și cele mai apropiate de realitate deoarece cu ajutorul lor se obține integrarea directă a ecuațiilor de mișcare într-un domeniu cu condiții la limită impuse.

1.5 Scoala românească de hidrodinamica turbomașinilor

La eforturile și realizările obținute pe plan mondial în complexa problematică a hidrodinamicii turbomașinilor a contribuit și școala românească prin rezultate remarcabile. Profesorii

Aurel Bărglăzan [184], [185], Dorin Pavel [187], [188], Dumitru Dumitrescu [189], [190] au semnat începuturile și au creionat direcțiile principale de dezvoltare. Tot lor se datorește și apariția și apoi afirmarea puternicei noastre industrii de mașini hidraulice și echipamente hidromecanice. Rezultate teoretice fundamentale privind teoria profilelor și rețelelor de profile apar în lucrările lui C. Iacob [82], [85] și E. Carafoli [25], [26]. Continuarea acestor tradiții este preluată de colectivele de cadre didactice și cercetători de la institutele politehnice Timișoara și București și de la unele centre de cercetare și proiectare în domeniu (CCSITEMH Reșița și IPCUP Ploiești). La Timișoara lucrări fundamentale abordează I. Anton [7], [5], [6] iar contribuții importante aduc O. Popa [121], [123], V. Anton [12], [13], M. Gheorghiu [67]. La București realizări remarcabile apar în lucrările autorilor M. Cazacu [36], G. Zidaru [178], [179], N. Vasiliu [163], E. Izbășoiu [84], la Reșița în lucrările lui I. Voia [93], [166] și C. V. Câmpian [37], [38] iar la Ploiești în lucrările lui N. Peligrad [116], [117] și lista specialiștilor români în domeniu poate fi continuată.

1.6 Obiectivele propuse spre rezolvare în cadrul tezei

În cadrul metodelor de abordare a hidrodinamicii turbomașinilor radial-axiale, perspective fertile deschide metoda rețelelor de profile radial-axiale. În cadrul ei, în rezolvarea problemei directe, deși preocupările au fost multiple și variate, apare ca necesară o metodă eficientă și precisă, operativă și în același timp elastică, de determinare a mișcării fluidelor în jurul rețelelor radial-axiale, precedată, cu aceleași atribute, de determinarea suprafețelor de revoluție suport ale mișcării. Metoda ar permite analize locale, la diverse modificări ale parametrilor mișcării, și intervenții operative pentru dirijarea unor parametri în vederea obținerii rezultatelor dorite. Pentru soluționarea totală și complexă a problemei a fost ales un procedeu numeric direct și anume metoda elementului finit. Ca turbomașină radial-axială de studiu a fost aleasă turbina Francis (deci rețele radial-axiale de turbină) iar considerațiile privind mișcarea prin organele paletate ale mașinii au fost făcute în următoarele ipoteze :

- (i) fluid perfect
- (ii) fluid incompresibil
- (iii) forțe corporale exterioare (masice) neglijabile
- (iv) mișcare absolută potențială

- (v) mișcare fără evoluție (permanentă)
- (vi) turația rotorului constantă - mișcare relativă permanentă
- (vii) în lipsa paletelor mișcarea este axial-simetrică
- (viii) suprafețele de curent sînt de revoluție
- (ix) mișcarea este uniformă la $t/2$ de amonte și respectiv avalul rețelei

Soluționarea problemei directe a rețelelor radial-axiale, fixe și mobile, cu ajutorul metodei elementului finit și realizarea, în acest scop, a complexe programe de calcul, este obiectivul fundamental al prezentei teze.

Lista notațiilor

- $Q_\alpha; b_\alpha$ = funcțiile de interpolare globală pe Ω
 $Q_\alpha^*; b_\alpha^*$ = funcțiile de interpolare globală pe Γ
 $Q_\alpha^e; b_\alpha^e$ = funcțiile de interpolare locală pe Ω^e
 $Q_\alpha^e; b_\alpha^e$ = funcțiile de interpolare locală pe Γ^e
 b = lățimea de intrare în domeniul rotorului Francis
 C_μ = coeficienți polinomiali
 $D_{\alpha\beta}$ = coeficienții sistemului liniar global
 D_{NM} = coeficienții sistemului liniar local
 $f_{,i}$ = derivata funcției f în raport cu coordonata carteziană x_i
 $f_{,n}$ = derivata normală a funcției f
 $f_{,r}; f_{,\theta}; f_{,z}$ = derivata în raport cu respectiv r, θ, z
 F_α = termenii liberi ai sistemului liniar global
 F_α^r = termenii liberi ai sistemului liniar global dați de elementele de pe frontieră
 F_α^p = termenii liberi suplimentari ai sistemului liniar global
 F_α^e = termenii liberi ai sistemului liniar local
 $F_\alpha^e; F_\alpha^e$ = termenii liberi ai sistemului liniar local pe elementele de pe frontieră
 $F_\alpha^e; F_\alpha^e$ = termenii liberi suplimentari ai sistemului liniar local
 g_{ij} = tensorul metric
 h = funcția de grosime a stratului de fluid
 h_i = factorii de scară
 $|J|$ = iacobian
 e = lungimea frontierei de intrare a elementului finit
 L = extinderea axială a domeniului rotorului turbinei Francis
 L^R = extinderea radială a domeniului rotorului turbinei Francis
 m = gradul polinomului de aproximare
 N = numărul paletelor rotorului
 p = presiune
 $p; p^M$ = presiunea la intrarea în domeniu
 $p_i; \bar{p}$ = coeficienți de presiune
 q_k = valori cunoscute pentru Ψ (sau φ)
 q_k = coordonate curbilinii ortogonale
 Q = debitul
 Q_0 = debitul ce iese ortogonal din planul asociat

- r = rază
 r, θ, z = coordonate cilindrice
 r_0 = raza corespunzătoare originii sistemului de coordonate curbilini
 t = pasul rețelei
 Δ = arcul de curbă
 S_i = suprafețele de coordonate
 u = viteza periferică
 v = viteza absolută
 $v_{,i}^j$ = derivata covariantă a vectorului covariant v^i
 \bar{v}, \bar{v} = viteze adimensionale
 v^{AM} = viteza absolută la intrarea în domeniu
 v^{AV} = viteza absolută la ieșirea din domeniu
 w = viteză relativă
 w_i = coeficienți de pondere
 \bar{w} = viteza relativă adimensională
 w^{AM} = viteza relativă la intrarea în domeniu
 w^{AV} = viteza relativă la ieșirea din domeniu
 w, \bar{w} = viteze relative adimensionale
 x_i = coordonate carteziene
 Γ = frontiera domeniului
 Γ^e = frontiera elementului finit
 Γ^v = circulația vitezei
 δ_{ij} = delta Kronecker
 $\Delta_{N_e}^e$ = matricea Booleană a elementului finit
 ϵ_{ij} = tensorul lui Ricci de ordinul 2
 ϵ^{ijk} = tensorul lui Ricci contravariant de ordinul 3
 φ = potențialul vitezei
 ξ_i = coordonate naturale
 ξ, η = coordonate naturale
 Ψ = funcție de curent
 ρ = densitatea fluidului
 ω = viteză unghiulară
 Ω = domeniul de analiză
 Ω^e = elementul finit
- Indici superiori
- A = în dreptul bordului de atac al profilului
AM = intrarea în domeniu
AV = ieșirea din domeniu
F = în dreptul bordului de fugă al profilului
e = element finit

\bar{i} = componentă contravariantă

(k) = iterație de ordin k

$*$ = valoare adimensională

Indici inferiori

$|_{AB}$ = în lungul arcului AB

i = componenta carteziană i a vectorului

(i) = componenta fizică i a vectorului

$|F \rightarrow EP$ = salt de la zona $|F$ la zona EP

N, M = noduri în numărarea locală

α, β = noduri în numărarea globală

$()$ = valori fizice ale mărimilor de pe suprafața de revol

MISCAREA PLANA SI AXIAL-SIMETRICA A LICHIDELOR IDEALE

2.1 Mișcarea plană

Dacă $O12$ este planul de bază al mișcării evident

$$x_3 = v_3 = 0 \quad (2.1)$$

Iar mișcarea fiind izocoră, ecuația de continuitate dă

$$v_{i/i} = v_{1/1} + v_{2/2} = 0 \quad (2.2)$$

2.1.1 Funcția de curent

(2.2) permite introducerea funcției de curent Ψ prin

$$\Psi = \int \epsilon_{ij} v_i dx_j \quad (2.3)$$

iar din

$$d\Psi = \Psi_{,i} dx_i = \epsilon_{ij} v_i dx_j \quad (2.4)$$

rezultă cîmpul de viteze

$$v_i = \epsilon_{ij} \Psi_{,j} \quad (2.5)$$

2.1.2 Mișcarea potențială plană

In cazul particular al acestei mișcări cîmpul de viteze admite o funcție φ , numit potențialul vitezei, dat de

$$v_i = \varphi_{,i} \quad (2.6)$$

care verifică identic

$$\epsilon_{ij} v_{j/i} = 0 \quad (2.7)$$

In acest caz avem legătura între Ψ și φ

$$\varphi_{,i} = \epsilon_{ij} \Psi_{,j} \quad (2.8)$$

2.1.3 Ecuațiile lui Laplace pentru mișcarea potențială plană

Din (2.7) și (2.5) rezultă imediat ecuația lui Laplace pentru funcția de curent

$$\epsilon_{ij} v_{j/i} = \epsilon_{ij} \epsilon_{jk} \Psi_{,ki} = -\delta_{ik} \Psi_{,ki} = -\Psi_{,ii} \quad (2.9)$$

$$\Psi_{,ii} = 0 \quad (2.10)$$

iar din (2.2) și (2.6) ecuația lui Laplace pentru potențialul vitezei

$$\varphi_{,ii} = 0 \quad (2.11)$$

2.1.4 Linii de curent și linii de egal potențial al vitezei. Câmpul hidrodinamic (spectrul hidrodinamic) al mișcării plane

Din (2.4) se obține că curbele $\psi = \text{const}$ sînt linii de curent

$$v_1 dx_2 = v_2 dx_1 \quad (2.12)$$

iar diferența $\psi_a - \psi_b$ reprezintă debitul de lichid ce curge printre cele două linii de curent. Curbele $\psi = \text{const}$ sînt ortogonale pe curbele $\varphi = \text{const}$. Intr-adevăr cu (2.8) rezultă

$$\varphi_{,i} \psi_{,i} = \varphi_{,1} \psi_{,1} + \varphi_{,2} \psi_{,2} = \varepsilon_{12} \psi_{,2} \varphi_{,1} + \varepsilon_{21} \varphi_{,1} \psi_{,2} = 0 \quad (2.13)$$

Ansamblul familiilor de curbe $\psi = \text{const}$ și $\varphi = \text{const}$ definește câmpul (sau spectrul) hidrodinamic al unei mișcări plane.

2.1.5 Mișcarea rotațională plană

Singura componentă nenulă a lui $\text{rot } \vec{v} = \vec{\omega}$ dat de

$$\omega_i = \varepsilon_{ijk} v_{k,j} \quad (2.14)$$

este $\omega_3 = \omega$

$$\omega_3 = \varepsilon_{3ij} v_{j,i} = \varepsilon_{ij} v_{j,i} = \omega \quad (2.15)$$

și care cu (2.9) duce la ecuația lui Poisson pentru funcția de curent

$$\psi_{,ii} + \omega = 0 \quad (2.16)$$

2.2 Mișcarea axial-simetrică

Structura axial-simetrică a mișcării definite prin

$$v_{i,e} = 0 \quad (2.17)$$

sugerează folosirea unui sistem de coordonate cilindrice. Dacă $O123$ este un sistem de coordonate carteziane de bază \vec{e}_i , $i=1,2,3$ atunci pentru un punct arbitrar M vectorul de poziție \vec{OM} este dat de

$$\vec{OM} = x_i \vec{e}_i \quad (2.18)$$

Intr-un sistem de coordonate curbilinii ξ_i , $i=1,2,3$ de bază

\vec{q}_i , $i=1,2,3$ avem legătura

$$\vec{q}_i = \frac{\partial x_m}{\partial \xi_i} \vec{e}_m \quad ; \quad m=1,2,3 \quad (2.19)$$

Pentru coordonatele cilindrice

$$\begin{cases} \xi_1 = r & \text{(radial)} \\ \xi_2 = \theta & \text{(tangențial)} \\ \xi_3 = z & \text{(axial)} \end{cases} \quad (2.20)$$

și avem trecerea

520.488
226 E

$$\begin{cases} x_1 = r \cos \Theta \\ x_2 = r \sin \Theta \\ x_3 = z \end{cases} \quad (2.21)$$

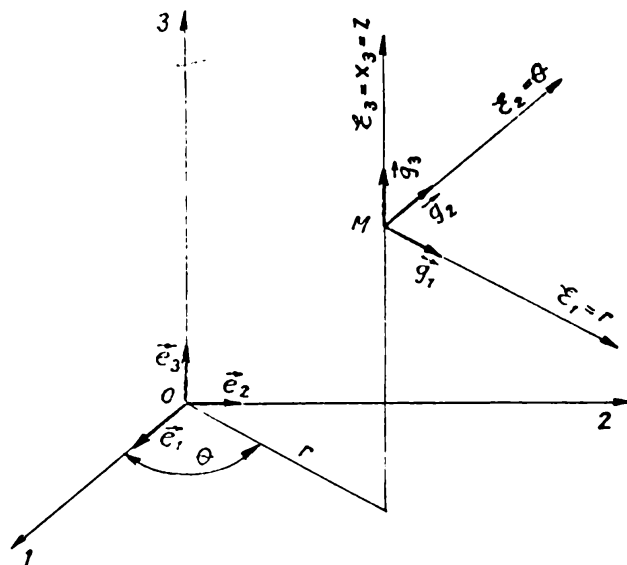


Fig.2.1 Sistemul de coordonate cilindrice

deci (2.18) devine

$$\vec{OM} = r \cos \Theta \vec{e}_1 + r \sin \Theta \vec{e}_2 + z \vec{e}_3 \quad (2.22)$$

și definește metrica, în componente covariante de exemplu, prin

$$g_{ij} = \frac{\partial x_m}{\partial x_i} \frac{\partial x_m}{\partial x_j} \quad (2.23)$$

adică

$$g_{11} = g_{33} = 1 ; g_{22} = r^2 \text{ iar toți ceilalți } g_{ij} = 0 \quad (2.24)$$

și conexiunea prin

$$\Gamma_{jk}^i = g^{il} \Gamma_{jkl} = \frac{1}{2} g^{il} (g_{lj/k} + g_{lk/j} - g_{jl/k}) \quad (2.25)$$

adică

$$\Gamma_{22}^1 = -r ; \Gamma_{21}^2 = \Gamma_{12}^2 = r^{-1} \text{ iar toți ceilalți } \Gamma_{jk}^i = 0 \quad (2.26)$$

Ecuația de continuitate pentru lichide scrisă în coordonate arbitrare (în componente contravariante ale vitezei, de exemplu)

$$\frac{\partial v^i}{\partial x_i} + \Gamma_{ij}^i v^j = 0 \quad (2.27)$$

folosind (2.24) și (2.26) și trecerea la componente fizice ale vitezei \hat{v}^i prin

$$v^i = (g^{ii})^{1/2} \hat{v}^i \quad (\text{fără sumare după } i) \quad (2.28)$$

dă pentru cazul coordonatelor cilindrice $\vec{v}' = v_r \mathbf{e}_r; \vec{v}' = v_\theta \mathbf{e}_\theta; \vec{v}' = v_z \mathbf{e}_z$

$$v_{r/r} + \bar{r}^{-1} v_{\theta/\theta} + v_{z/z} + \bar{r}^{-1} v_r = 0 \quad (2.29)$$

și care cu (2.17) se reduce la

$$v_{r/r} + v_{z/z} + \bar{r}^{-1} v_r = 0 \quad (2.30)$$

2.2.1 Funcția de curent

(2.30) permite introducerea funcției de curent Ψ prin

$$\Psi = \int (r v_z dr - r v_r dz) \quad (2.31)$$

iar din

$$d\Psi = \Psi_{/r} dr + \Psi_{/z} dz = r v_z dr - r v_r dz \quad (2.32)$$

rezultă câmpul de viteze

$$\begin{aligned} v_z &= \bar{r}^{-1} \Psi_{/r} \\ v_r &= -\bar{r}^{-1} \Psi_{/z} \end{aligned} \quad (2.33)$$

2.2.2 Mișcarea potențială axial simetrică

Analog cu cele de la 2.1.2 se poate introduce și aici potențialul φ al vitezei din care

$$\begin{aligned} v_z &= \varphi_{/z} \\ v_r &= \varphi_{/r} \end{aligned} \quad (2.34)$$

și care verifică identic

$$\varepsilon_{ijk} \left(\frac{\partial v_j}{\partial x_i} + \Gamma_{ik}^j v^k \right) g^{-1/2} = 0 \quad (2.35)$$

În acest caz avem legătura între Ψ și φ

$$\begin{aligned} \varphi_{/r} &= \bar{r}^{-1} \Psi_{/r} \\ \varphi_{/z} &= -\bar{r}^{-1} \Psi_{/z} \end{aligned} \quad (2.36)$$

2.2.3 Ecuațiile lui Stokes pentru mișcarea potențială axial-simetrică

Folosind (2.24) și (2.26) și trecerea la componentele fizice ale vitezei dată de (2.28) se obțin componentele fizice ale lui $\vec{\omega}$

$$\omega_r = v_{\theta/z} - \bar{r}^{-1} v_{z/\theta} \quad (2.37)$$

$$\omega_\theta = v_{z/r} - v_{r/z} \quad (2.38)$$

$$\omega_z = \bar{r}^{-1} v_{r/\theta} - \bar{r}^{-1} (r v_\theta)_{/r} \quad (2.39)$$

Înlocuind (2.33) în (2.38) și egalând cu zero se obține ecuația lui Stokes pentru funcția de curent

$$\Psi_{/rr} + \Psi_{/zz} - \bar{r}^{-1} \Psi_{/r} = 0 \quad (2.40)$$

Înlocuind (2.34) în (2.30) se obține ecuația lui Stokes pentru potențialul vitezei

$$\varphi_{,rr} + \varphi_{,zz} + \bar{n}^1 \varphi_{,r} = 0 \quad (2.41)$$

2.2.4 Linii de curent și linii de egal potențial al vitezei. Câmpul hidrodinamic al mișcării potențiale axial-simetrice

Din (2.17) și (2.32) rezultă că într-un plan axial arbitrar curbele $\psi = \text{const}$ sînt linii de curent

$$v_z dr = v_r dz \quad (2.42)$$

iar $2\pi \cdot (\psi_a - \psi_b)$ reprezintă debitul de lichid ce curge printre cele două suprafețe de revoluție de meridian respectiv cele două linii de curent. Curbele $\psi = \text{const}$ sînt ortogonale pe $\varphi = \text{const}$ într-un plan axial arbitrar. Într-adevăr cu (2.36) rezultă

$$\varphi_{,r} \psi_{,r} = \varphi_{,z} \psi_{,z} + \varphi_{,r} \psi_{,r} = \bar{n}^1 \psi_{,r} \psi_{,z} - \bar{n}^1 \psi_{,z} \psi_{,r} = 0 \quad (2.43)$$

Ansamblul familiilor de curbe $\psi = \text{const}$ și $\varphi = \text{const}$ definește într-un plan axial arbitrar, câmpul hidrodinamic al unei mișcări axial-simetrice.

2.2.5 Suprafețe de curent și suprafețe de egal potențial al vitezei

Dacă $z = f(r)$ este ecuația, în plan axial, a unei curbe $\psi = \text{const}$ atunci suprafața de revoluție

$$\begin{cases} x_1 = r \cos \Theta \\ x_2 = r \sin \Theta \\ x_3 = f(r) \end{cases} \quad (2.44)$$

este o suprafață de curent. Analog dacă $z = g(r)$ este ecuația, în plan axial, a unei curbe $\varphi = \text{const}$ atunci suprafața de revoluție

$$\begin{cases} x_1 = r \cos \Theta \\ x_2 = r \sin \Theta \\ x_3 = g(r) \end{cases} \quad (2.45)$$

este o suprafață de egal potențial al vitezei. Aceste două suprafețe sînt ortogonale și pe ele liniile de coordonate $\Theta = \text{constant}$ sînt meridianele iar $r = \text{constant}$ sînt paralelele.

DETERMINAREA CIMPULUI HIDRODINAMIC PRIN ROTORII TURBINELOR
FRANCIS UTILIZIND M.E.F.

3.1 Generalități

Ipoteza că suprafețele de curent din zona rotorilor turbinelor Francis sînt suprafețe de revoluție permite substituirea studiului curgerii prin rețeaua de palete rotorice cu studiul unei rețele de profile radial axiale. Această rețea de profile radial axială, dispusă pe suprafețele de curent, se obține din intersecția suprafețelor paletelor rotorice cu aceste suprafețe de curent. Aceasta face ca în zona rotorului, considerat în această fază ca fiind nepaletat, mișcarea lichidului ideal să poată fi acceptată ca potențială și axial-simetrică.

3.2 Domeniul tipic din zona rotorului. Condiții la limită

Pentru rotorii turbinelor Francis domeniul de curgere are o formă tipică. Gabaritul lui este definit de extinderea radială L^R și de cea axială L .

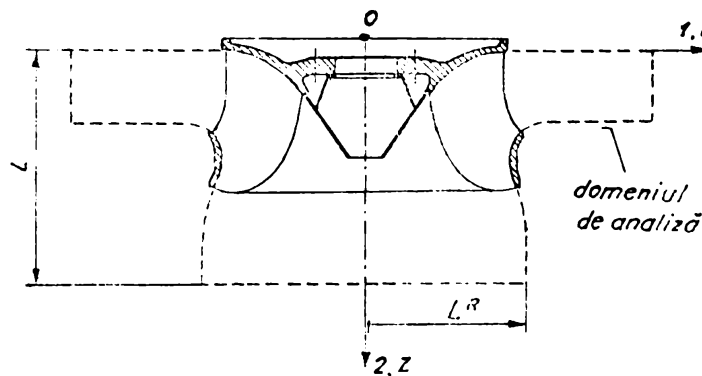


Fig.3.1 Rotorul turbinelor Francis

Cum ecuațiile (2.40) și (2.41) sînt în două variabile z și r raportăm domeniul la un reper plan cartezian $O12$ cu identificarea

$$z = x_1; \quad r = x_2 \quad (3.1)$$

3.2.1 Formularea în funcția de curent

Datorită simetriei este suficient să considerăm doar primul cadran. Punctele A, B, C, D împart frontiera Γ a domeniului Ω în patru părți. Astfel AD și BC sînt linii de curent, AB este secțiunea de influx iar CD secțiunea de flux.

Cu (3.1), ecuația (2.40) și relațiile (2.33) se scriu

$$v_i = x_2^{-1} \varepsilon_{ij} \Psi_{,j} \quad (3.3)$$

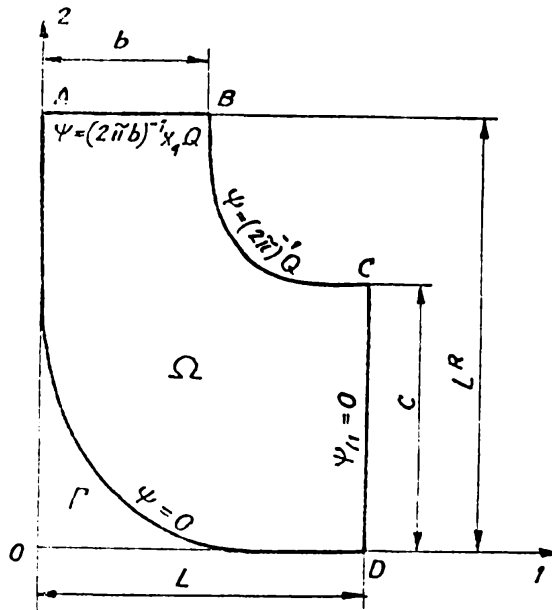


Fig.3.2 Domeniul tipic. Condiții la limită pentru funcția Ψ .

Condițiile la limită pentru funcția Ψ sînt

$$\begin{cases} \Psi = \text{constant} & \text{pe } AD \text{ și } BC \\ \Psi = \Psi(x_1) & \text{pe } AB \\ \Psi_{,1} = 0 & \text{pe } CD \end{cases} \quad (3.4)$$

Vom deci de rezolvat o problemă la limită mixtă pe domeniul Ω pentru ecuația (3.2) cu funcția necunoscută Ψ cu condiții la limită esențiale (Dirichlet) pe părțile AD, BC și AB ale frontierei Γ lui Ω și cu condiții la limită naturale (Neumann) pe partea CD a frontierei. Pentru cazul nostru vom impune

$$\begin{cases} \Psi = 0 & \text{pe } AD \\ \Psi = (2\tilde{\pi})^{-1} Q & \text{pe } BC \\ v_2 = \text{constant} & \text{pe } AB \\ \Psi_{,1} = 0 & \text{pe } CD \end{cases} \quad (3.5)$$

în (3.3) însă

$$v_2 = -x_2^{-1} \Psi_{,1} = -x_2^{-1} \frac{d\Psi}{dx_1} \quad (3.6)$$

rezultă

$$\Psi = -v_2 x_1 x_2 + C(x_2) \quad (3.7)$$

și

$$\Psi(0, L^R) = 0 \text{ și } \Psi(b, L^R) = (2\tilde{\pi})^{-1} Q \quad (3.8)$$

putem determina pe $C(x_2)$ și v_2 după AB

impune

$$\begin{cases} \varphi = 0 & \text{pe } CD \\ v_2 = \text{constant} & \text{pe } AB \\ \varphi_{/n} = 0 & \text{pe } BC \text{ și } AD \end{cases} \quad (3.15)$$

în care v_2 este dat de (3.9).

3.3 Tratarea în formă adimensională

Pentru a mări generalitatea este utilă comutarea problemei în formă adimensională.

3.3.1 Formulara în funcția de curent

Cu schimbarea de variabilă

$$x_i^* = x_i L^{-1} \quad (3.16)$$

și de funcție

$$\Psi^* = 2\bar{\Gamma} Q^{-1} \cdot \Psi \quad (3.17)$$

(3.2) și (3.3) devin

$$\Psi_{/1^*1^*}^* + \Psi_{/2^*2^*}^* - \chi_2^{*-1} \cdot \Psi_{/2^*}^* = 0 \quad (3.18)$$

$$v_i^* = \chi_2^{*-1} \varepsilon_{ij} \Psi_{/j^*}^* \quad (3.19)$$

și condițiile la limită (3.11)

$$\begin{cases} \Psi^* = 0 & \text{pe } AD \\ \Psi^* = 1 & \text{pe } BC \\ \Psi^* = \chi_2^* \cdot b^{*-1} & \text{pe } AB \\ \Psi_{/1^*}^* = 0 & \text{pe } CD \end{cases} \quad (3.20)$$

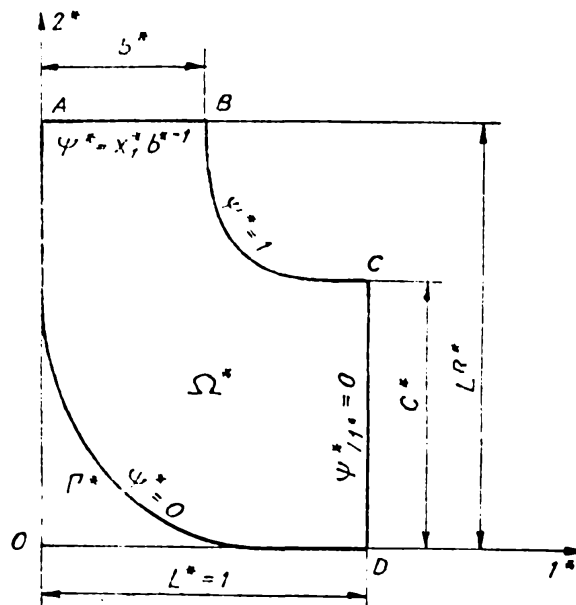


Fig.3.4 Condiții la limită pentru funcția Ψ^* .

relațiile (3.16), (3.17) și (3.19) dau imediat și legătura între aceste

$$v_i^* = 2\pi L^2 Q^{-1} \cdot v_i$$

și viteza constantă v_2^* pe partea AB a frontierei

$$v_2^* = -b^{*-1} L^{R^*-1}$$

3.3.2 Formularea în potențialul vitezei

Cu schimbarea de variabilă (3.16) și de funcție

$$\varphi^* = 2\pi L Q^{-1} \cdot \varphi \quad (3.23)$$

(3.12) și (3.13) devin

$$\varphi_{11^*}^* + \varphi_{12^*2^*}^* + \chi_2^{*-1} \varphi_{12^*}^* = 0$$

$$v_i^* = \delta_{ij} \varphi_{1j^*}^* \quad (3.24)$$

iar condițiile la limită (3.15)

$$\begin{cases} \varphi^* = 0 & \text{pe CD} \\ v_2^* = \text{constant} & \text{pe AB} \\ \varphi_{1n}^* = 0 & \text{pe BC și AD} \end{cases} \quad (3.25)$$

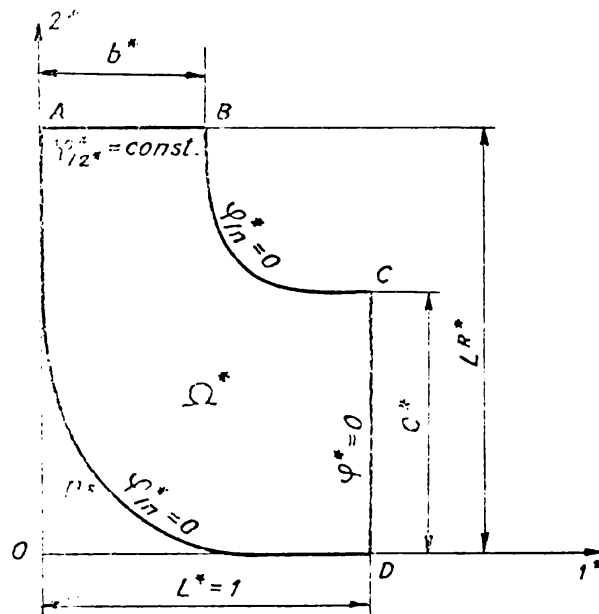


Fig.3.5 Condiții la limită pentru funcția φ^* . Rămân valabile relațiile (3.21) și (3.22).

3.4 Interpratarea ecuației lui Stokes prin M.E.F.

M.E.F. este o metodă numerică de rezolvare a ecuațiilor diferențiale sau cu derivate parțiale cu condiții la limită prescrise. Cu ajutorul ei se obține o soluție aproximativă a problemei, în formă discretă.

3.4.1 Formularea în funcția de curent

Vom folosi tratarea în formă adimensională dată de 3.3.1 în care, fără nici un pericol de confuzie, vom renunța la notare cu asterisc. Să reluăm, deci, ecuația (3.18) cu condițiile la limită (3.20). Funcția ψ poate fi aproximată global pe Ω prin

$$\psi = a_\alpha \psi_\alpha \quad \alpha = \overline{1, G} \quad (3.26)$$

unde G este numărul de puncte (noduri) de pe Ω . Aplicând metoda lui Galerkin rezultă, [22], [39]

$$\int_{\Omega} (\psi_{/ii} - \chi_2^{-1} \psi_{/2}) a_\alpha d\Omega = 0 \quad (3.27)$$

de care, integrând prin părți, se obține

$$\int_{\Omega} \psi_{/i} a_{\alpha/i} d\Omega + 2 \int_{\Omega} \chi_2^{-1} \psi_{/2} a_\alpha d\Omega - \int_{\Gamma} \psi_{/i} n_i a_\alpha^* d\Gamma \quad (3.28)$$

în care a_α sînt funcțiile de interpolare globală, a_α^* funcțiile de interpolare globală pe frontiera Γ a lui Ω iar ψ_α valoarea lui ψ în nodul α . Folosind (3.26) ecuația (3.28) devine

$$\psi_\beta \int_{\Omega} a_{\beta/i} a_{\alpha/i} d\Omega + 2 \psi_\beta \int_{\Omega} \chi_2^{-1} a_{\beta/2} a_\alpha d\Omega = \int_{\Gamma} \psi_{/i} n_i a_\alpha^* d\Gamma \quad (3.29)$$

adică sistemul linear

$$D_{\alpha\beta} \psi_\beta = F_\alpha \quad \alpha, \beta = \overline{1, G} \quad (3.30)$$

în care coeficienții $D_{\alpha\beta}$ sînt dați de

$$D_{\alpha\beta} = \int_{\Omega} a_{\alpha/i} a_{\beta/i} d\Omega + 2 \int_{\Omega} \chi_2^{-1} a_\alpha a_{\beta/2} d\Omega \quad \alpha, \beta = \overline{1, G} \quad (3.31)$$

iar termenii liberi

$$F_\alpha = \int_{\Gamma} \psi_{/i} n_i a_\alpha^* d\Gamma \quad \alpha = \overline{1, G} \quad (3.32)$$

Fie acum o discretizare a lui Ω într-un număr E de do-
mii (elemente) finite Ω^e cu frontierele Γ^e astfel ca

$$\Omega^e \cap \Omega^f = \emptyset \quad \text{dacă } e \neq f \quad (3.33)$$

$$\bigcup_{e=1}^E \overline{\Omega^e} = \overline{\Omega} \quad \text{cu } \overline{\Omega^e} = \Omega^e \cup \Gamma^e \quad (3.34)$$

analog cu cele precedente funcția ψ poate fi aproximată local pe fiecare element finit Ω^e prin

$$\psi^e = a_N^e \psi_N^e \quad N = \overline{1, F} \quad (3.35)$$

în care a_N^e sînt funcțiile de interpolare locală, ψ_N^e valoarea lui ψ^e în nodul N a lui Ω^e iar F numărul de noduri a lui Ω^e .

Procedînd similar cu cele de mai înainte obținem pe fiecare element finit

$$\int_{\Omega^e} (\psi_{/i}^e - \chi_2^{-1} \psi_{/2}^e) a_N^e d\Omega^e = 0 \quad (3.36)$$

care integrată prin părți conduce la ecuația

$$\int_{\Omega^e} \psi_{/i}^e a_{N/i}^e d\Omega^e + 2 \int_{\Omega^e} \chi_2^{-1} \psi_{/2}^e a_N^e d\Omega^e - \int_{\Gamma^e} \psi_{/i}^e n_i a_N^e d\Gamma^e = 0 \quad (3.37)$$

și care cu (3.35) devine

$$\psi_M^e \int_{\Omega^e} a_{N/i}^e a_{M/i}^e d\Omega^e + 2 \psi_M^e \int_{\Omega^e} \chi_2^{-1} a_N^e a_{M/2}^e d\Omega^e = \int_{\Gamma^e} \psi_{/i}^e n_i a_N^e d\Gamma^e \quad (3.38)$$

Am obținut local sistemul liniar

$$D_{NM}^e \psi_M^e = F_N^e \quad N, M = \overline{1, F} \quad (3.39)$$

în care

$$D_{NM}^e = \int_{\Omega^e} a_{N/i}^e a_{M/i}^e d\Omega^e + 2 \int_{\Omega^e} \chi_2^{-1} a_N^e a_{M/2}^e d\Omega^e \quad N, M = \overline{1, F} \quad (3.40)$$

iar termenii liberi

$$F_N^e = \int_{\Gamma^e} \psi_{/i}^e n_i a_N^e d\Gamma^e \quad N = \overline{1, F} \quad (3.41)$$

Trecerea de la sistemul local (3.39) la cel global (3.36) care dă rezolvarea problemei, se face cu ajutorul matricilor Booleane $\Delta_{N\alpha}^e$ pentru fiecare element finit. Astfel, cum

$$\psi = \sum_{e=1}^E \psi^e = \sum_{e=1}^E a_N^e \psi_N^e \quad (3.42)$$

avem legătura

$$\psi_N^e = \Delta_{N\alpha}^e \psi_\alpha \quad (3.43)$$

respectiv

$$\psi_\alpha = \sum_{e=1}^E \Delta_{N\alpha}^e \psi_N^e \quad (3.44)$$

iar coeficienții $D_{\alpha\beta}$ sînt dați de

$$D_{\alpha\beta} = \sum_{e=1}^E D_{NM}^e \Delta_{N\alpha}^e \Delta_{M\beta}^e \quad (3.45)$$

iar termenii liberi F_α de

$$F_\alpha = \sum_{e=1}^E F_N^e \Delta_{N\alpha}^e \quad (3.46)$$

Din (3.42), (3.43) și (3.26) se obține și legătura dintre a_α și

$$a_\alpha = \sum_{e=1}^E a_N^e \Delta_{N\alpha}^e \quad (3.47)$$

3.4.2 Formularea în potențialul vitezei

Cu aceleași precizări de la începutul lui 3.4.1 să reluăm ecuația (3.24) cu condițiile la limită (3.25). Funcția ψ poate fi aproximată global pe Ω prin

$$\psi = b_\alpha \psi_\alpha \quad \alpha = \overline{1, G} \quad (3.48)$$

Aplicând metoda lui Galerkin rezultă

$$\int_{\Omega} (\varphi_{/i} + \chi_2^{-1} \varphi_{/2}) b_{\alpha} d\Omega = 0 \quad (3.49)$$

iar, integrând prin părți

$$\int_{\Omega} \varphi_{/i} b_{\alpha/i} d\Omega - \int_{\Gamma} \varphi_{/i} n_i b_{\alpha}^* d\Gamma = 0 \quad (3.50)$$

Cu (3.48) ecuația (3.50) conduce la

$$\varphi_p \int_{\Omega} b_{p/i} b_{\alpha/i} d\Omega = \int_{\Gamma} \varphi_{/i} n_i b_{\alpha}^* d\Gamma \quad (3.51)$$

adică tot un sistem liniar de forma (3.30) în care coeficienții $D_{\alpha p}$ sînt dați de

$$D_{\alpha p} = \int_{\Omega} b_{\alpha/i} b_{p/i} d\Omega \quad \alpha, p = \overline{1, G} \quad (3.52)$$

iar termenii liberi F_{α} de

$$F_{\alpha} = \int_{\Gamma} \varphi_{/i} n_i b_{\alpha}^* d\Gamma \quad (3.53)$$

În relațiile precedente b_{α} sînt funcțiile de interpolare globală, b_{α}^* funcțiile de interpolare globală pe frontieră iar φ_{α} valoarea lui φ în nodul α . Fie acum o discretizare a lui Ω dată de (3.33) și (3.34). Funcția φ poate fi aproximată local prin

$$\varphi^e = b_N^e \varphi_N^e \quad N = \overline{1, F} \quad (3.54)$$

procedînd similar cu cele de la 3.4.1 se obține pentru fiecare element finit

$$\int_{\Omega^e} (\varphi_{/i}^e + \chi_2^{-1} \varphi_{/2}^e) b_N^e d\Omega^e = 0 \quad (3.55)$$

care integrată prin părți dă

$$\int_{\Omega^e} \varphi_{/i}^e b_{N/i}^e d\Omega^e - \int_{\Gamma^e} \varphi_{/i}^e n_i b_N^e d\Gamma^e = 0 \quad (3.56)$$

din care, cu (3.54), obținem

$$\varphi_M^e \int_{\Omega^e} b_{N/i}^e b_{M/i}^e d\Omega^e = \int_{\Gamma^e} \varphi_{/i}^e n_i b_N^e d\Gamma^e \quad (3.57)$$

adică tot un sistem liniar de forma (3.39) în care coeficienții D_{NM}^e sînt dați de

$$D_{NM}^e = \int_{\Omega^e} b_{N/i}^e b_{M/i}^e d\Omega^e \quad (3.58)$$

iar termenii liberi F_N^e de

$$F_N^e = \int_{\Gamma^e} \varphi_{/i}^e n_i b_N^e d\Gamma^e \quad (3.59)$$

Recucerea de la sistemul local la cel global se face tot cu ajuto-

rul matricilor Booleene $\Delta_{N\alpha}^e$. Avem astfel legăturile, analoge cu (3.43), (3.44) și (3.47), respectiv

$$\psi_N^e = \Delta_{N\alpha}^e \psi_\alpha \quad (3.60)$$

$$\psi_\alpha = \sum_{e=1}^E \Delta_{N\alpha}^e \psi_N^e \quad (3.61)$$

$$b_\alpha = \sum_{e=1}^E b_N^e \Delta_{N\alpha}^e \quad (3.62)$$

iar coeficienții $D_{\alpha\beta}$ și termenii liberi F_α sînt legați de $D_{N\alpha}$ respectiv de F_N^e prin (3.45) respectiv (3.46).

3.5 Discretizarea domeniului

Pentru discretizarea domeniului au fost alese elemente finite izoparametrice liniare, [39]. Un asemenea element finit are patru noduri în colțuri: $F = 4$. Aceste elemente finite izoparametrice utilizează un sistem de coordonate naturale ξ_i ; $i=1,2$ care variază între 0 și ± 1 numite coordonate izoparametrice sau ξ - naturale, centrat în centrul de greutate al elementului.

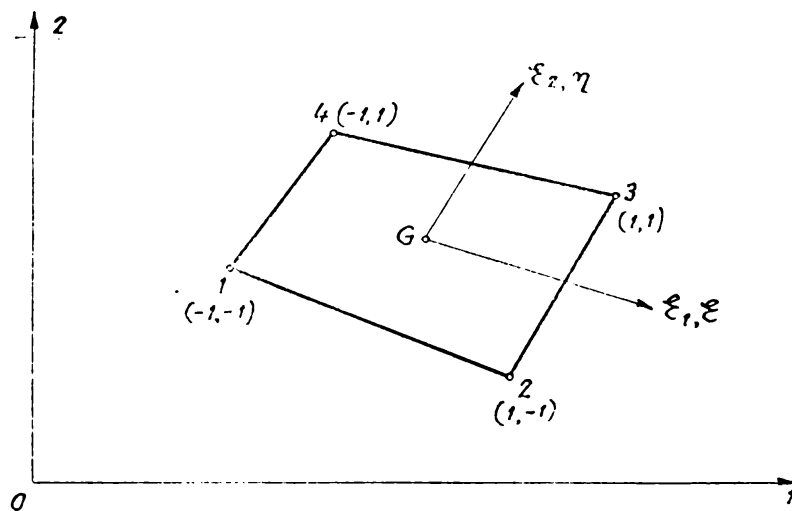


Fig.3.6 Elementul finit izoparametric

Pentru un punct arbitrar din element, coordonatele lui carteziene x_i sînt legate de cele ξ - naturale prin

$$x_i = a_i + a_{ij} \xi_j + a_{ijk} \xi_j \xi_k \quad \text{cu } a_{ijk} = 0 \text{ dac\u0103 } j = k \quad (3.63)$$

iar de coordonatele carteziene x_{Ni} ale nodurilor prin

$$x_i = a_N(\xi_i) x_{Ni} \quad (3.63')$$

în care $a_N(\xi_i) = b_N(\xi_i)$ sînt funcțiile izoparametrice de interpolare

$$a_N(\xi_i) = b_N(\xi_i) = \frac{1}{4} (1 + \xi_{N1} \xi_1)(1 + \xi_{N2} \xi_2) \quad N = \overline{1,4} \quad (3.63'')$$

sau folosind

$$\begin{aligned} \xi_{11} &= -1 & \xi_{12} &= -1 \\ \xi_{21} &= 1 & \xi_{22} &= -1 \\ \xi_{31} &= 1 & \xi_{32} &= 1 \\ \xi_{41} &= -1 & \xi_{42} &= 1 \end{aligned} \quad (3.64)$$

$$\begin{aligned} a_1(\xi_i) &= b_1(\xi_i) = 4^{-1}(1-\xi_1)(1-\xi_2) \\ a_2(\xi_i) &= b_2(\xi_i) = 4^{-1}(1+\xi_1)(1-\xi_2) \\ a_3(\xi_i) &= b_3(\xi_i) = 4^{-1}(1+\xi_1)(1+\xi_2) \\ a_4(\xi_i) &= b_4(\xi_i) = 4^{-1}(1-\xi_1)(1+\xi_2) \end{aligned} \quad (3.65)$$

Prin urmare pe larg (3.63) obținem

$$x_i = 4^{-1}(a_i + b_i \xi_1 + c_i \xi_2 + d_i \xi_1 \xi_2) \quad (3.66)$$

în care, cu (3.63) se obțin coeficienții a_i, b_i, c_i, d_i

$$\begin{aligned} a_i &= x_{1i} + x_{2i} + x_{3i} + x_{4i} \\ b_i &= -x_{1i} + x_{2i} + x_{3i} - x_{4i} \\ c_i &= -x_{1i} - x_{2i} + x_{3i} + x_{4i} \\ d_i &= x_{1i} - x_{2i} + x_{3i} - x_{4i} \end{aligned} \quad (3.67)$$

Pentru calculele ce urmează este utilă schimbarea de variabilă din x_1, x_2 în ξ_1, ξ_2 prin

$$\int_{\Omega} dx_1 dx_2 = \int_{-1}^1 \int_{-1}^1 |J| d\xi_1 d\xi_2 \quad (3.68)$$

în care $|J|$ e iacobianul transformării

$$|J| = 8^{-1}(\alpha_0 + \alpha_1 \xi_1 + \alpha_2 \xi_2) \quad (3.69)$$

cu

$$\begin{aligned} \alpha_0 &= (x_{41} - x_{21})(x_{12} - x_{32}) - (x_{11} - x_{31})(x_{42} - x_{22}) \\ \alpha_1 &= (x_{31} - x_{41})(x_{12} - x_{22}) - (x_{11} - x_{21})(x_{32} - x_{42}) \\ \alpha_2 &= (x_{41} - x_{11})(x_{22} - x_{32}) - (x_{21} - x_{31})(x_{42} - x_{12}) \end{aligned} \quad (3.70)$$

3.6 Calculul coeficienților D_{NM}^e

Vom renunța, fără pericol de confuzie la indexarea superioară cu e și vom utiliza variabilele ξ, η (vezi (3.1)), și ξ, η în loc de identificarea

$$\begin{cases} \xi_1 = \xi \\ \xi_2 = \eta \end{cases} \quad (3.71)$$

cu acestea formulele (3.65), (3.66), (3.67), (3.68), (3.69) și (3.70) devin

$$\begin{aligned} a_1(\xi_i) &= b_1(\xi_i) = 4^{-1}(1-\xi)(1-\eta) \\ a_2(\xi_i) &= b_2(\xi_i) = 4^{-1}(1+\xi)(1-\eta) \\ a_3(\xi_i) &= b_3(\xi_i) = 4^{-1}(1+\xi)(1+\eta) \\ a_4(\xi_i) &= b_4(\xi_i) = 4^{-1}(1-\xi)(1+\eta) \end{aligned} \quad (3.72)$$

$$z = 4^{-1} (a_1 + b_1 \xi + c_1 \eta + d_1 \xi \eta) \quad (3.73)$$

$$r = 4^{-1} (a_2 + b_2 \xi + c_2 \eta + d_2 \xi \eta)$$

$$\begin{aligned} a_1 &= z_1 + z_2 + z_3 + z_4 & a_2 &= r_1 + r_2 + r_3 + r_4 \\ b_1 &= -z_1 + z_2 + z_3 - z_4 & b_2 &= -r_1 + r_2 + r_3 - r_4 \\ c_1 &= -z_1 - z_2 + z_3 + z_4 & c_2 &= -r_1 - r_2 + r_3 + r_4 \\ d_1 &= z_1 - z_2 + z_3 - z_4 & d_2 &= r_1 - r_2 + r_3 - r_4 \end{aligned} \quad (3.74)$$

$$\int_{\Omega} dz dr = \int_{-1}^1 \int_{-1}^1 |J| d\xi d\eta \quad (3.75)$$

$$|J| = 8^{-1} (\alpha_0 + \alpha_1 \xi + \alpha_2 \eta) \quad (3.76)$$

$$\begin{aligned} \alpha_0 &= (z_4 - z_2)(r_1 - r_3) - (z_1 - z_3)(r_4 - r_2) \\ \alpha_1 &= (z_3 - z_4)(r_1 - r_2) - (z_1 - z_2)(r_3 - r_4) \\ \alpha_2 &= (z_4 - z_1)(r_2 - r_3) - (z_2 - z_3)(r_4 - r_1) \end{aligned} \quad (3.77)$$

3.6.1 Formularea în funcția de curent

Observînd că elementul de volum $d\Omega$ este un tor de secțiune axială $dr dz$

$$d\Omega = r d\theta dr dz \quad (3.78)$$

cu ipoteza de axial-simetrie, coeficienții D_{NM} dați de (3.40) devin

$$D_{NM} = \int_{\Omega} (a_{N/r} a_{M/z} + a_{N/z} a_{M/r}) r dz dr + 2 \int_{\Omega} a_N a_{M/r} dz dr \quad (3.79)$$

sau, cu (3.75)

$$D_{NM} = \int_{-1}^1 \int_{-1}^1 (a_{N/r} a_{M/z} + a_{N/z} a_{M/r}) r |J| d\xi d\eta + 2 \int_{-1}^1 \int_{-1}^1 a_N a_{M/r} |J| d\xi d\eta \quad (3.80)$$

Din

$$\frac{\partial a_N}{\partial \xi_i} = a_{N/r} \frac{\partial x_i}{\partial \xi_i} = a_{N/r} J_{ki} \quad (3.81)$$

rezultă imediat și

$$a_{N/r} = (J_{ki})^{-1} \frac{\partial a_N}{\partial \xi_i} \quad (3.82)$$

dar cum

$$(J_{ki})^{-1} = (|J|)^{-1} J_{ki} \quad (3.83)$$

derivînd (3.72) și folosind matricea lui $|J|$ relația (3.82) ne dă,

$$[39] \quad a_{N/r} = (8|J|)^{-1} (A_{Nk} + B_{Nk}^i \xi_i) \quad (3.84)$$

sau cu (3.71)

$$a_{N/K} = (8|H|)^{-1} (A_{NK} + B_{NK}^1 \xi + B_{NK}^2 \eta) \quad (3.85)$$

respectiv

$$\begin{aligned} a_{N/2} &= (8|H|)^{-1} (A_{N1} + B_{N1}^1 \xi + B_{N1}^2 \eta) \\ a_{N/2} &= (8|H|)^{-1} (A_{N2} + B_{N2}^1 \xi + B_{N2}^2 \eta) \end{aligned} \quad (3.86)$$

in care

$$\begin{aligned} A_{11} &= \lambda_2 - \lambda_4 & A_{12} &= z_4 - z_2 \\ A_{21} &= \lambda_3 - \lambda_4 & A_{22} &= z_1 - z_3 \\ A_{31} &= \lambda_4 - \lambda_2 & A_{32} &= z_2 - z_4 \\ A_{41} &= \lambda_1 - \lambda_3 & A_{42} &= z_3 - z_1 \end{aligned} \quad (3.87)$$

$$\begin{aligned} B_{11}^1 &= \lambda_4 - \lambda_3 & B_{12}^1 &= z_3 - z_4 & B_{11}^2 &= \lambda_3 - \lambda_2 & B_{12}^2 &= z_2 - z_3 \\ B_{21}^1 &= \lambda_3 - \lambda_4 & B_{22}^1 &= z_4 - z_3 & B_{21}^2 &= \lambda_1 - \lambda_4 & B_{22}^2 &= z_4 - z_1 \\ B_{31}^1 &= \lambda_1 - \lambda_2 & B_{32}^1 &= z_2 - z_1 & B_{31}^2 &= \lambda_4 - \lambda_1 & B_{32}^2 &= z_1 - z_4 \\ B_{41}^1 &= \lambda_2 - \lambda_1 & B_{42}^1 &= z_1 - z_2 & B_{41}^2 &= \lambda_2 - \lambda_3 & B_{42}^2 &= z_3 - z_2 \end{aligned} \quad (3.88)$$

Cu considerațiile precedente, produsul derivatelor din prima integrală a lui (3.80) devine

$$a_{N/2} a_{M/2} = (64|H|^2)^{-1} \left[a_{NM}^{(1)} + b_{NM}^{(1)} \xi + c_{NM}^{(1)} \eta + d_{NM}^{(1)} \xi \eta + e_{NM}^{(1)} \xi^2 + f_{NM}^{(1)} \eta^2 \right] \quad (3.89)$$

$$a_{N/2} a_{M/2} = (64|H|^2)^{-1} \left[a_{NM}^{(2)} + b_{NM}^{(2)} \xi + c_{NM}^{(2)} \eta + d_{NM}^{(2)} \xi \eta + e_{NM}^{(2)} \xi^2 + f_{NM}^{(2)} \eta^2 \right] \quad (3.90)$$

in care

$$\begin{aligned} a_{NM}^{(1)} &= A_{N1} A_{M1} & a_{NM}^{(2)} &= A_{N2} A_{M2} \\ b_{NM}^{(1)} &= A_{N1} B_{M1}^1 + A_{M1} B_{N1}^1 & b_{NM}^{(2)} &= A_{N2} B_{M2}^1 + A_{M2} B_{N2}^1 \\ c_{NM}^{(1)} &= A_{N1} B_{M1}^2 + A_{M1} B_{N1}^2 & c_{NM}^{(2)} &= A_{N2} B_{M2}^2 + A_{M2} B_{N2}^2 \\ d_{NM}^{(1)} &= B_{N1}^1 B_{M1}^1 + B_{N1}^2 B_{M1}^1 & d_{NM}^{(2)} &= B_{N2}^1 B_{M2}^1 + B_{N2}^2 B_{M2}^1 \\ e_{NM}^{(1)} &= B_{N1}^1 B_{M1}^1 & e_{NM}^{(2)} &= B_{N2}^1 B_{M2}^1 \\ f_{NM}^{(1)} &= B_{N1}^2 B_{M1}^2 & f_{NM}^{(2)} &= B_{N2}^2 B_{M2}^2 \end{aligned} \quad (3.91)$$

Similar pentru produsul $a_N \cdot a_{M/2}$ din a doua integrală a lui (3.80)

$$\begin{aligned} a_N a_{M/2} &= (32|H|)^{-1} \left[q_{NM}^{(2)} + k_{NM}^{(2)} \xi + k_{NM}^{(2)} \eta + \right. \\ &\quad \left. + p_{NM}^{(2)} \xi^2 + r_{NM}^{(2)} \xi \eta + s_{NM}^{(2)} \eta^2 + t_{NM}^{(2)} \xi^2 \eta + u_{NM}^{(2)} \xi \eta^2 \right] \end{aligned} \quad (3.92)$$

in care

$$\begin{aligned} q_{NM}^{(2)} &= A_{M2} \\ k_{NM}^{(2)} &= B_{M2}^1 + A_{M2} \xi_{N1} \\ k_{NM}^{(2)} &= B_{M2}^2 + A_{M2} \xi_{N2} \\ p_{NM}^{(2)} &= B_{M2}^1 \xi_{N2} + B_{M2}^2 \xi_{N1} + A_{M2} \xi_{N1} \xi_{N2} \\ r_{NM}^{(2)} &= B_{M2}^1 \xi_{N1} \\ s_{NM}^{(2)} &= B_{M2}^2 \xi_{N2} \\ t_{NM}^{(2)} &= B_{M2}^1 \xi_{N1} \xi_{N2} \\ u_{NM}^{(2)} &= B_{M2}^2 \xi_{N1} \xi_{N2} \end{aligned} \quad (3.93)$$

Inlocuind acum (3.89), (3.90) și (3.93) în (3.80) se obțin coeficienții D_{NM} pe fiecare element finit

$$D_{NM} = \frac{1}{32} \int_{-1}^1 \int_{-1}^1 f_{NM}(\xi, \eta) d\xi d\eta \quad (3.94)$$

unde

$$f_{NM}(\xi, \eta) = \{ a_{NM}^{(1)} + a_{NM}^{(2)} + (b_{NM}^{(1)} + b_{NM}^{(2)})\xi + (c_{NM}^{(1)} + c_{NM}^{(2)})\eta + \\ + (d_{NM}^{(1)} + d_{NM}^{(2)})\xi\eta + (e_{NM}^{(1)} + e_{NM}^{(2)})\xi^2 + (f_{NM}^{(1)} + f_{NM}^{(2)})\eta^2 \} \cdot \\ \cdot (\alpha_2 + b_2\xi + c_2\eta + d_2\xi\eta)(\alpha_0 + \alpha_1\xi + \alpha_2\eta)^{-1} + \\ + 2 \{ g_{NM}^{(1)} + h_{NM}^{(1)}\xi + k_{NM}^{(1)}\eta + p_{NM}^{(1)}\xi\eta + q_{NM}^{(1)}\xi^2 + r_{NM}^{(1)}\eta^2 + t_{NM}^{(1)}\xi\eta + u_{NM}^{(1)}\xi\eta^2 \} \quad (3.95)$$

Evaluarea coeficienților D_{NM} , dați de (3.94) cu (3.95), o vom face prin cubatură numerică

$$D_{NM} = \frac{1}{32} \sum_{i=1}^m \sum_{j=1}^m w_i w_j f_{NM}(\xi_i, \eta_j) \quad (3.96)$$

în care m e numărul punctelor gaussiene din interiorul elementului, ξ_i și η_j coordonatele naturale ale lor iar w_i coeficienții de pondere. Pentru $m = 6$

$$D_{NM} = \frac{1}{32} \sum_{i=1}^6 \sum_{j=1}^6 w_i w_j f_{NM}(\xi_i, \eta_j) \quad (3.97)$$

în care coeficienții de pondere sînt

$$\begin{aligned} w_1 &= 0,1713244923 \\ w_2 &= 0,3607615730 \\ w_3 &= 0,4679139345 \\ w_4 &= w_3 \\ w_5 &= w_2 \\ w_6 &= w_1 \end{aligned} \quad (3.98)$$

iar coordonatele punctelor gaussiene

$$\begin{aligned} \xi_1 = \eta_1 &= -0,9324695142 \\ \xi_2 = \eta_2 &= -0,6612093864 \\ \xi_3 = \eta_3 &= -0,2381191860 \\ \xi_4 = \eta_4 &= -\xi_3 \\ \xi_5 = \eta_5 &= -\xi_2 \\ \xi_6 = \eta_6 &= -\xi_1 \end{aligned} \quad (3.99)$$

3.6.2 Formularea în potențialul vitezei

Coeficienții D_{NM} dați de (3.58) devin, observînd (3.78)

$$D_{NM} = \int_{\Omega} (b_{N/2} b_{M/2} + b_{N/r} b_{M/r}) r d\xi dr \quad (3.100)$$

sau, cu (3.75)

$$D_{NM} = \int_{-1}^1 \int_{-1}^1 (b_{N/2} b_{M/2} + b_{N/r} b_{M/r}) r |J| d\xi d\eta \quad (3.101)$$

Utilizînd rezultatele de la 3.6.1 cu $a_N \equiv b_N$ se obține pentru D_{NM} tot o formulă de tipul (3.94)

$$D_{NM} = \frac{1}{32} \int_{-1}^1 \int_{-1}^1 g_{NM}(\xi, \eta) d\xi d\eta \quad (3.102)$$

unde

$$g_{NM}(\xi, \eta) = [a_{NM}^{(1)} + a_{NM}^{(2)} + (b_{NM}^{(1)} + b_{NM}^{(2)})\xi + (c_{NM}^{(1)} + c_{NM}^{(2)})\eta + (d_{NM}^{(1)} + d_{NM}^{(2)})\xi\eta + (e_{NM}^{(1)} + e_{NM}^{(2)})\xi^2 + (f_{NM}^{(1)} + f_{NM}^{(2)})\eta^2] \cdot (a_2 + b_2\xi + c_2\eta + d_2\xi\eta)(\alpha_0 + \alpha_1\xi + \alpha_2\eta)^{-1} \quad (3.103)$$

iar evaluarea lor se face tot prin cubatură numerică, adică printr-o formulă analogă lui (3.97)

$$D_{NM} = \frac{1}{32} \sum_{i=1}^6 \sum_{j=1}^6 w_i w_j g_{NM}(\xi_i, \eta_j) \quad (3.104)$$

și unde w_i , ξ_i și η_j sînt dați de (3.98) respectiv (3.99).

3.7 Calculul termenilor liberi F_N^e

Vom renunța, la fel, la indexarea superioară cu e .

3.7.1 Formulara în funcția de curent

Pe partea ABUCUAD condițiile la limită sînt esențiale iar pe partea CD a frontierei, conform cu (3.20) condiția la limită naturală este $\Psi_{,1} = 0$. Rezultă imediat din (3.41)

$$F_N = 0 \quad (3.105)$$

3.7.2 Formulara în potențialul vitezei

Conform cu (3.25), pe partea CD a frontierei $\Psi = 0$ iar pe părțile BC și AD avem condiția naturală $\Psi_{,n} = 0$. În consecință $F_N = 0$ mai puțin pe elementele finite ale părții de influx AB. Pe această parte a frontierei F_N se determină cu ajutorul lui (3.59) care cu (2.34) se scrie

$$F_N = \int_0^l v_i m_i b_N^* n ds \quad (3.106)$$

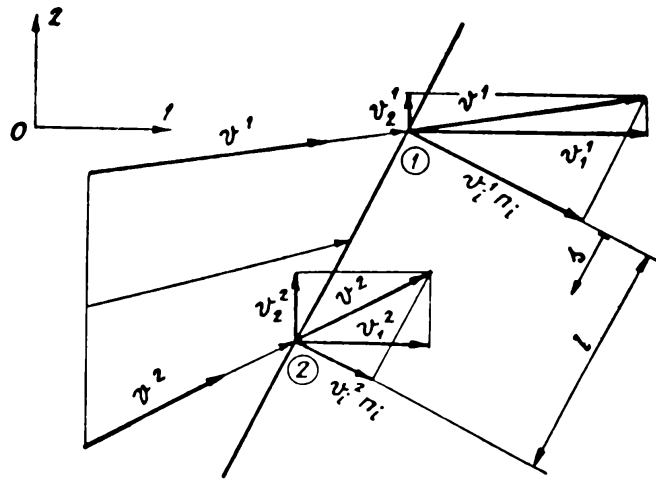


Fig.3.7 Condiții pe frontieră

Elementele finite fiind izoparametrice, [39]

$$v_i = v_i^N b_N^* \quad N=1,2 \quad (3.107)$$

$$\pi = \pi_N b_N^* \quad N=1,2 \quad (3.108)$$

unde funcțiile de interpolare b_N^* pe frontieră sînt

$$\begin{aligned} b_1^* &= 1 - \lambda l^{-1} \\ b_2^* &= \lambda l^{-1} \end{aligned} \quad (3.109)$$

Cu (3.107) și (3.109) termenii liberi F_N , dați de (3.106), devin

$$F_N = \int_0^l b_M^* v_i^M m_i \pi_a b_a^* b_N^* ds \quad N, M, a = 1, 2 \quad (3.110)$$

sau pe larg

$$F_1 = \int_0^l \left[(1 - \lambda l^{-1}) (v_1^1 m_1 + v_2^1 m_2) + \lambda l^{-1} (v_1^2 m_1 + v_2^2 m_2) \right] \cdot [\pi_1 (1 - \lambda l^{-1}) + \pi_2 \lambda l^{-1}] (1 - \lambda l^{-1}) ds \quad (3.111)$$

$$F_2 = \int_0^l \left[(1 - \lambda l^{-1}) (v_1^1 m_1 + v_2^1 m_2) + \lambda l^{-1} (v_1^2 m_1 + v_2^2 m_2) \right] \cdot [\pi_1 (1 - \lambda l^{-1}) + \pi_2 \lambda l^{-1}] \lambda l^{-1} ds \quad (3.112)$$

care integrate dau

$$F_N = \frac{l}{12} \begin{bmatrix} (3v_a + v_b) \pi_1 + (v_a + v_b) \pi_2 \\ (v_a + v_b) \pi_1 + (v_a + 3v_b) \pi_2 \end{bmatrix} \quad (3.113)$$

în care

$$v_a = v_1^1 m_1 + v_2^1 m_2 = v_i^1 m_i \quad (3.114)$$

$$v_b = v_1^2 m_1 + v_2^2 m_2 = v_i^2 m_i \quad (3.115)$$

În cazul nostru $m_1 = 0$ și $m_2 = -1$ (vezi fig. 3.5) iar $\pi_1 = \pi_2 = L^R$

Folosind și (3.22) rezultă

$$v_a = v_b = -b^{-1} L^{R-1} \quad (3.116)$$

și în final termenii liberi

$$F_N = \frac{l}{2b} \begin{bmatrix} 1 \\ 1 \end{bmatrix} \quad (3.117)$$

adică

$$F_1 = F_2 = 2^{-1} l b^{-1} \quad (3.118)$$

3.8 Asamblarea matricii sistemului. Punerea condițiilor la limită

Avînd coeficienții D_{NM}^e și termenii liberi F_N^e pe fiecare element finit se poate face acum implementarea lor în matricile sistemului (3.30). Aceasta se obține cu ajutorul relațiilor (3.45) și (3.46) care în scriere matricială devin

$$D_{\alpha\beta} = \sum_{e=1}^E (\Delta^e)^T D^e \Delta^e \quad (3.119)$$

$$F_{\alpha} = \sum_{e=1}^E (\Delta^e)^T F^e \quad (3.120)$$

în care D^e este matricea coeficienților D_{NM}^e , F^e matricea coloană a termenilor liberi, F_N^e iar Δ^e matricea Booleană a elementului finit respectiv e . Matricea Δ^e , de elemente $\Delta_{N\alpha}^e$ este de dimensiune $F \times G$ adică $4 \times G$. Pentru determinarea ei avem nevoie, în prealabil, de matricea de conexiune C care dă corespondența dintre numărarea locală și cea globală a nodurilor. Această matrice de conexiune, de elemente C_{Ne} este de dimensiune $F \times E$ adică $4 \times E$. Elementul curent C_{Ne} al matricei este numărul nodului în numărarea globală ce corespunde numărului nodului N în numărarea locală pentru elementul finit e . Dacă notăm pentru elementul e .

$$C_{Ne} = e_N \quad (3.121)$$

matricea Δ^e a elementului e va avea doar patru elemente nenule și egale cu unitatea și anume

$$\Delta_{1e_1}^e = \Delta_{2e_2}^e = \Delta_{3e_3}^e = \Delta_{4e_4}^e = 1 \quad (3.122)$$

Fiind obținut acum sistemul global (3.30) se poate trece acum la punerea condițiilor la limită. Dacă din cele G noduri ale domeniului Ω în m din ele se dau valorile lui Ψ (sau φ) sistemul liniar (3.30) devine de dimensiune $G-m$.

$$\bar{D}_{\alpha\beta} \Psi_{\beta} = \bar{F}_{\alpha} \quad \alpha, \beta = \overline{1, G-m} \quad (3.123)$$

Dacă în nodul k avem condiția $\Psi = q_k$ (sau respectiv $\varphi = q_k$) elementele lui (3.123) devin

$$\begin{aligned} \bar{D}_{kk} &= 1 \\ \bar{D}_{\alpha k} &= \bar{D}_{k\alpha} = 0 \quad \text{dacă } \alpha \neq k \end{aligned} \quad (3.124)$$

$$\begin{aligned} \bar{F}_k &= q_k \\ \bar{F}_{\alpha} &= F_{\alpha} - D_{\alpha k} q_k \quad \text{dacă } \alpha \neq k \end{aligned} \quad (3.125)$$

3.9 Determinarea cîmpului de viteze

3.9.1 Formularea în funcția de curent

Din (3.3), folosind (3.35), (3.86) și (3.76) se obțin componentele vitezei pe fiecare element finit în centrul lui de greutate ($\xi = \eta = 0$)

$$v_z^e = 4\alpha_0^{-1} \alpha_1^{-1} A_{N2} \Psi_N^e \quad N = \overline{1,4} \quad (3.126)$$

$$v_x^e = -4\alpha_0^{-1} \alpha_2^{-1} A_{N1} \Psi_N^e \quad N = \overline{1,4} \quad (3.127)$$

iar în noduri se consideră mediile aritmetice ale componentelor vitezei ale elementelor finite adiacente. Mărimea vitezei este

$$V = (V_x^2 + V_y^2)^{1/2} \quad (3.128)$$

sau raportată la viteza de la intrare V^{AB} dată de (3.22)

$$\bar{V} = V \cdot V^{AB^{-1}} \quad (3.129)$$

3.9.2 Formularea în potențialul vitezei

Se obține analog, componentele vitezei, din (3.13) folosind (3.54), (3.56) și (3.76)

$$V_x^e = \alpha_0^{-1} A_{N1} \varphi_N^e \quad N=1,4 \quad (3.130)$$

$$V_y^e = \alpha_0^{-1} A_{N2} \varphi_N^e \quad N=1,4 \quad (3.131)$$

3.10 Determinarea cîmpului de presiuni

Se obține imediat din teorema lui Bernoulli pentru mișcarea potențială fără evoluție

$$p - p^{AB} = 2^{-1} \rho (V^{AB^2} - V^2) \quad (3.132)$$

sau raportată la $2^{-1} \rho V^{AB^2}$, folosind și (3.129)

$$\bar{p} = (p - p^{AB}) 2 \rho^{-1} V^{AB^{-2}} = 1 - \bar{V}^2 \quad (3.133)$$

3.11 Determinarea liniilor de curent și a liniilor de egal potențial al vitezei

Cunoscînd valorile lui Ψ (sau φ) în noduri, obținute cu rezolvarea lui (3.123) și cum variația lui Ψ (sau φ) este considerată liniară pe frontierele elementului finit, prin interpolare liniară se găsesc coordonatele punctului în care Ψ (sau φ) are valoarea dorită. Căutîndu-se toate punctele de pe frontierele elementelor finite în care Ψ (sau φ) are o anumită valoare constantă se obțin curbele $\Psi = \text{constant}$ (sau $\varphi = \text{constant}$) în mod discret.

3.12 Exemplu de calcul

Metoda a fost aplicată unui rotor de turbină Francis cu frontierele de tip Bovet. În cele ce urmează este dată rezolvarea complexă a mișcării potențiale și fără evoluție a unui lichid în următorul domeniu de analiză.

3.12.1 Domeniul de analiză

Frontiera exterioară (inelul) este formată din

(i) Un segment de dreaptă de ecuație

$$z = 0,476152 \quad (3.134)$$

(ii) Un arc de curbă de ecuație

$$w(z) = 0,749760 - 0,285416 \{1,821029(z - 0,476152)\}^{1/2} - \{1 - 1,821029(z - 0,476152)\}^{3/2} \quad z \in [0,476152, 0,84] \quad (3.135)$$

(iii) Un arc de cerc de ecuație

$$r(z) = 0,124 + \{ \rho^2 - (z-1)^2 \}^{1/2} \quad z \in \{0,84, 1\} \quad (3.136)$$

de ρ este

$$\rho = \{ [0,124 - r(0,84)]^2 + 0,0256 \}^{1/2} \quad (3.137)$$

Frontiera interioară (coroana) este compusă din

(iv) un segment de dreaptă de ecuație $z=0$ (3.138)

(v) un arc de curbă cu ecuația

$$r(z) = 0,651604 - 0,985882 z^{1/2} \cdot (1 - 0,241313 z)^{3/2} \quad (3.139)$$

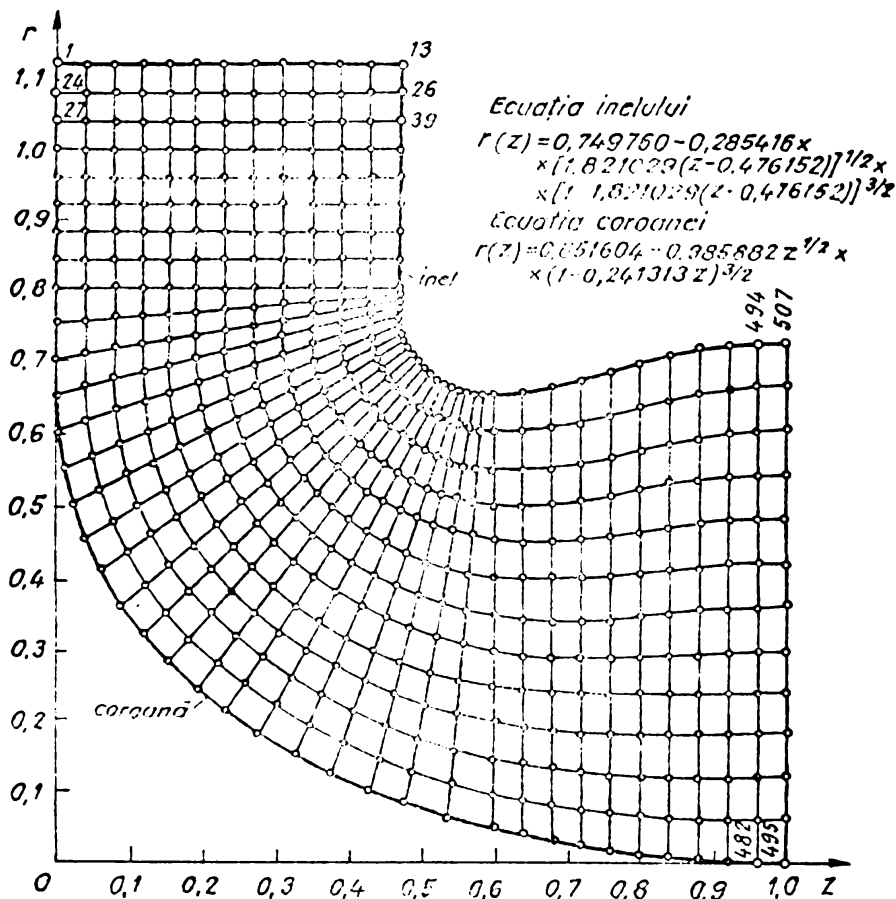


Fig.3.8 Discretizarea domeniului

În fig.3.8 este prezentată discretizarea domeniului în elemente finite izoparametrice. Au rezultat 456 elemente finite ($E = 456$) și 507 noduri ($G = 507$).

3.12.2 Realizarea programului de calcul

Rezolvarea problemei a fost obținută cu ajutorul programelor PSIELF și FIMLEIN în cadrul cărora au fost utilizate sub-

programele

- (i) DISCRET, care realizează
 1. discretizarea domeniului
 2. calculul matricii de conexiune
- (ii) SISTEM, care realizează
 1. calculul matricii coeficienților pe element finit
 2. calculul matricii Booleene pe element finit
 3. asamblarea matricii globale a sistemului linear omogen
 4. Impunerea condițiilor pe frontiera domeniului și determinarea matricii sistemului linear neomogen
 5. rezolvarea sistemului linear neomogen
- (iii) VIFNOD, CARE REALIZEAZĂ
 1. determinarea vitezelor în nodurile rețelei
 2. determinarea presiunilor în nodurile rețelei
- (iv) CAUT 4, care realizează
 1. trasarea discretă a curbelor $\psi = \text{constant}$
 2. trasarea discretă a curbelor $\varphi = \text{constant}$
 3. câmpul de viteze și presiuni în lungul curbelor $\psi = \text{constant}$
 4. câmpul de viteze și presiuni în lungul curbelor $\varphi = \text{constant}$

3.12.3 Rezultate numerice

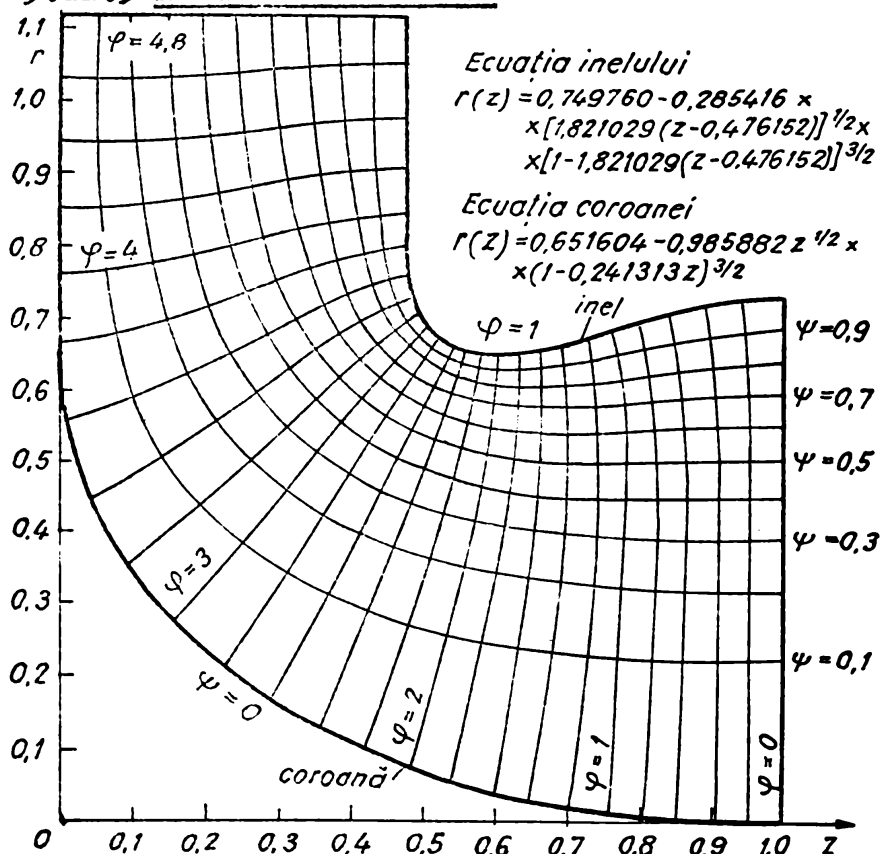


Fig.3.9 Câmpul hidrodinamic

In fig.3.9 este prezentat câmpul hidrodinamic, în domeniul analizat considerat, constituit din liniile de curent $\psi = \text{constant}$ și liniile de egal potențial al vitezei $\varphi = \text{constant}$ iar în fig.3.10 respectiv 3.11 câmpul de viteze, respectiv câmpul de presiuni în lungul liniilor de curent.

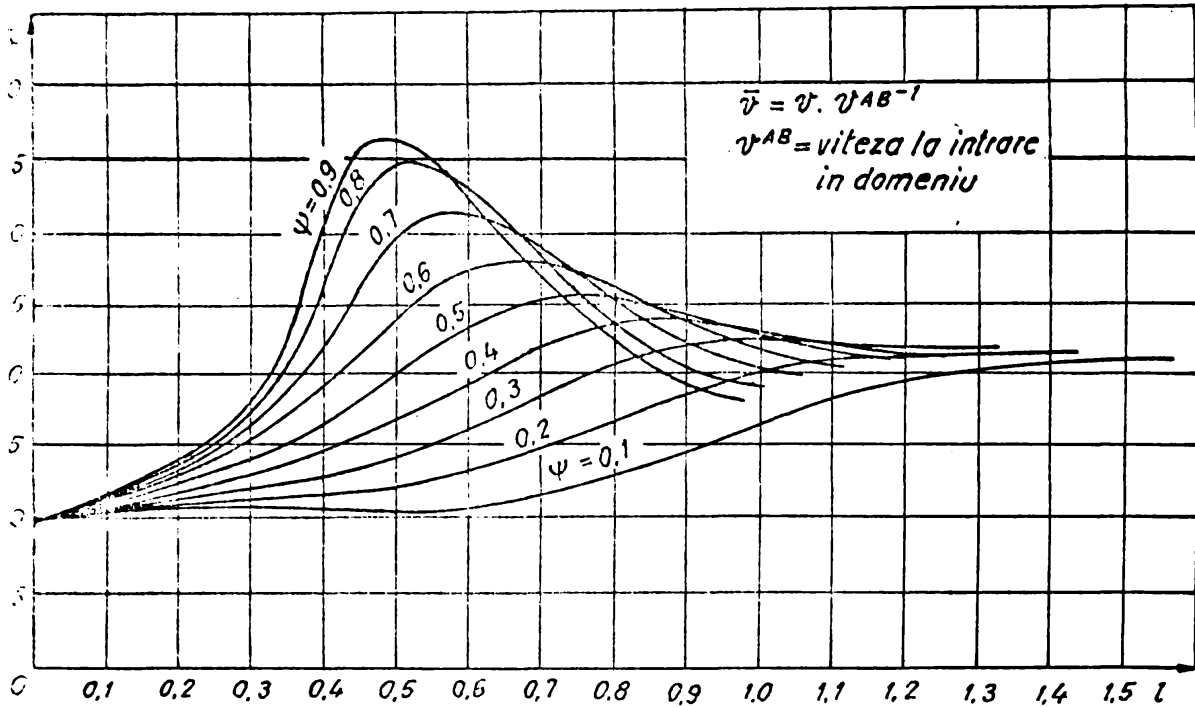


Fig.3.10 Câmpul de viteze în lungul liniilor de curent

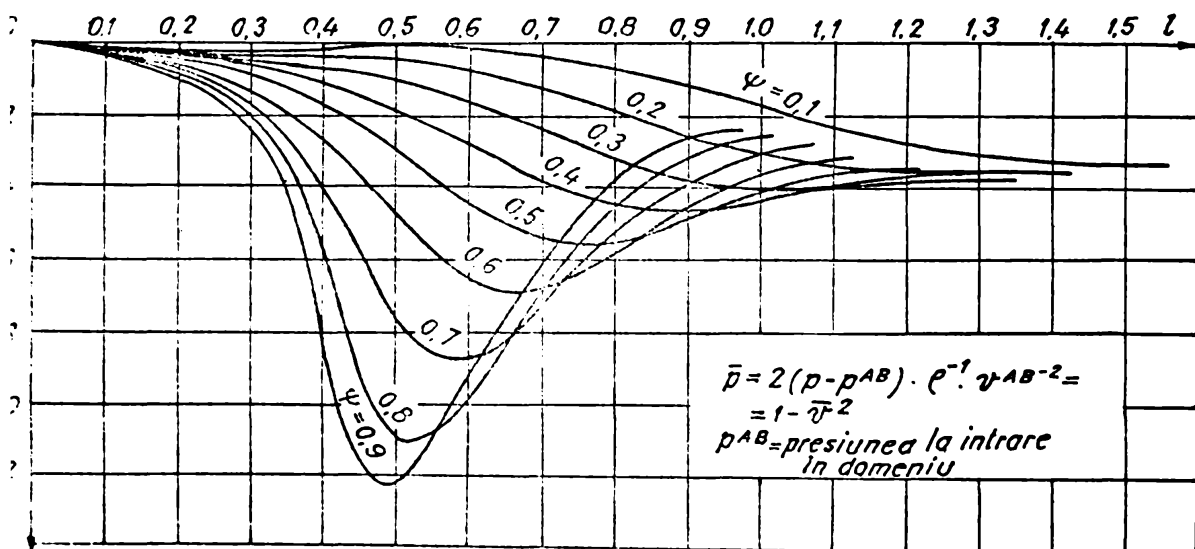


Fig.3.11 Câmpul de presiuni în lungul liniilor de curent

MISCAREA POTENTIALA PLANA IN JURUL OBSTACOLELOR IZOLATE IN
IPOTEZA POTENTIALULUI VITEZEI UNIFORM

4.1 Generalități

În cazul mișcării plane a unui lichid ideal în jurul unui obstacol izolat determinarea ei înseamnă determinarea liniilor de curent, a câmpului de viteze și a câmpului de presiuni în domeniul de analiză considerat. Dacă mișcarea este și potențială liniile de curent li se adaugă și liniile de egal potențial al vitezei.

4.2 Domeniul de analiză. Condiții la limită

Se va determina mișcarea în jurul unui profil izolat dispus între doi pereți rigizi considerând potențialul vitezei uniform. Domeniul de analiză considerat este atunci un dreptunghi ce conține în interiorul lui profilul izolat.

4.2.1 Formularea în funcția de curent

Determinarea mișcării înseamnă practic rezolvarea unei probleme la limită mixte pentru ecuația (2.10), cu funcția necunoscută ψ , pe domeniul Ω cu condiții la limită esențiale pe părțile AB, OA, OC și frontiera profilului și condiții la limită naturale pe partea BC a frontierei Γ a lui Ω .

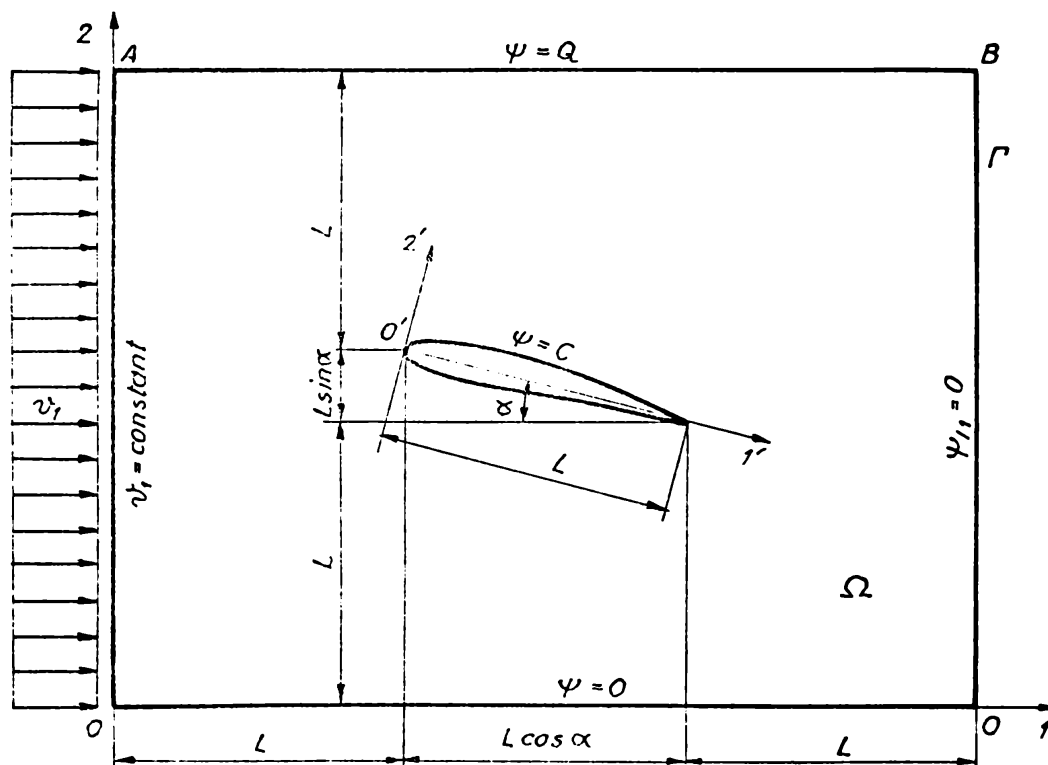


Fig.4.1 Condiții la limită pentru funcția ψ .

$$\left\{ \begin{array}{ll} \psi = \text{constant} & \text{pe AB, OC și frontiera profilului} \\ \psi = \psi(x_2) & \text{pe AO} \\ \psi_{,1} = 0 & \text{pe BC} \end{array} \right. \quad (4.1)$$

Pentru cazul nostru vom impune

$$\left\{ \begin{array}{ll} \psi = C & \text{pe frontiera profilului} \\ \psi = 0 & \text{pe OC} \\ \psi = Q & \text{pe AB} \\ v_1 = \text{constant} & \text{pe AO} \\ \psi_{,1} = 0 & \text{pe BC} \end{array} \right. \quad (4.2)$$

, pe partea AO a frontierei

$$v_1 = (2 + \sin\alpha)^{-1} L^{-1} Q \quad (4.3)$$

4.2.2 Formularea în potențialul vitezei

Determinarea mișcării înseamnă rezolvarea unei probleme la tă mixte pentru ecuația (2.11), cu funcția necunoscută φ , presă uniformă, pe domeniul Ω cu condiții la limită esențiale artea BC a frontierei și condiții la limită naturale pe părți- B, OC, AO și frontiera profilului

$$\left\{ \begin{array}{ll} \varphi = \text{constant} & \text{pe BC} \\ \varphi_{,n} = 0 & \text{pe AB, OC și frontiera profilului} \\ \varphi_{,1} = \text{constant} & \text{pe AO} \end{array} \right. \quad (4.4)$$

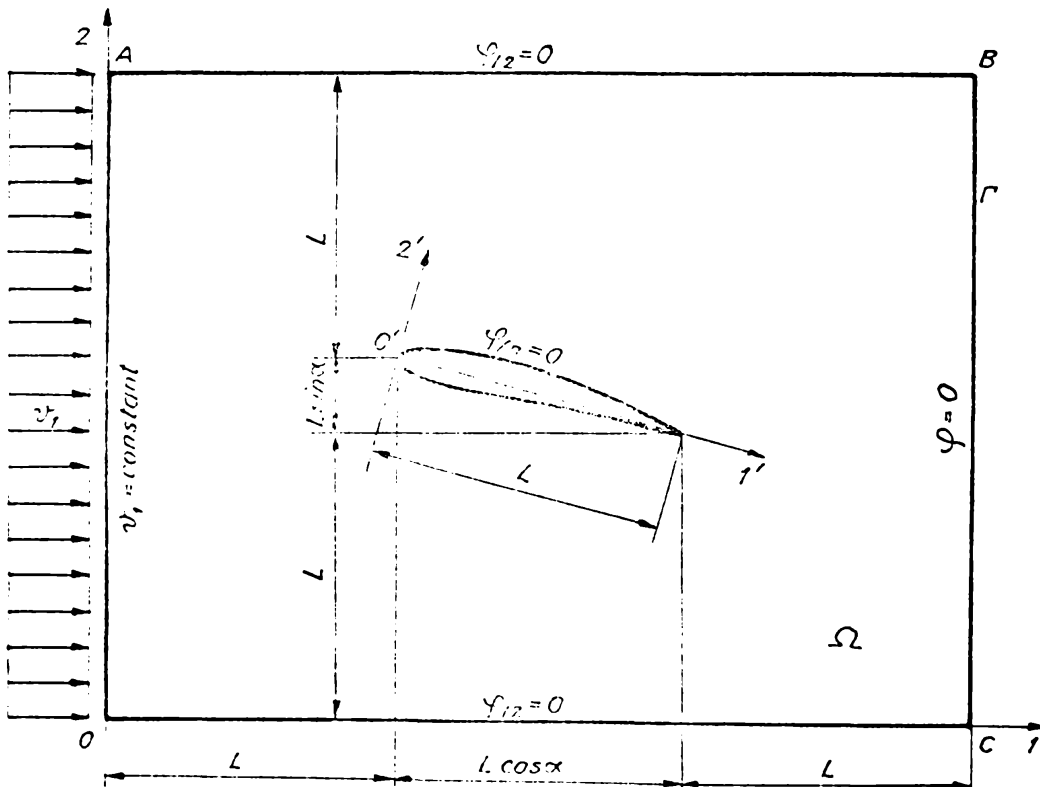


Fig.4.2 Condiții la limită pentru funcția φ .

Pentru cazul nostru vom impune

$$\left\{ \begin{array}{ll} \psi = 0 & \text{pe BC} \\ \psi_{/2} = 0 & \text{pe AB și OC} \\ v_1 = \text{constant} & \text{pe AO} \\ \psi_{/n} = 0 & \text{pe frontiera profilului} \end{array} \right. \quad (4.5)$$

în care v_1 este dat de (4.3).

4.3 Tratarea în formă adimensională

4.3.1 Formularea în funcția de curent

Cu schimbarea de variabilă (3.16) și de funcție

$$\psi^* = (2 + \sin \alpha) Q^{-1} \psi \quad (4.6)$$

(2.30) și (2.5) devin

$$\psi_{/ii}^* = 0 \quad (4.7)$$

$$v_i^* = \epsilon_{ij} \psi_{/j}^* \quad (4.8)$$

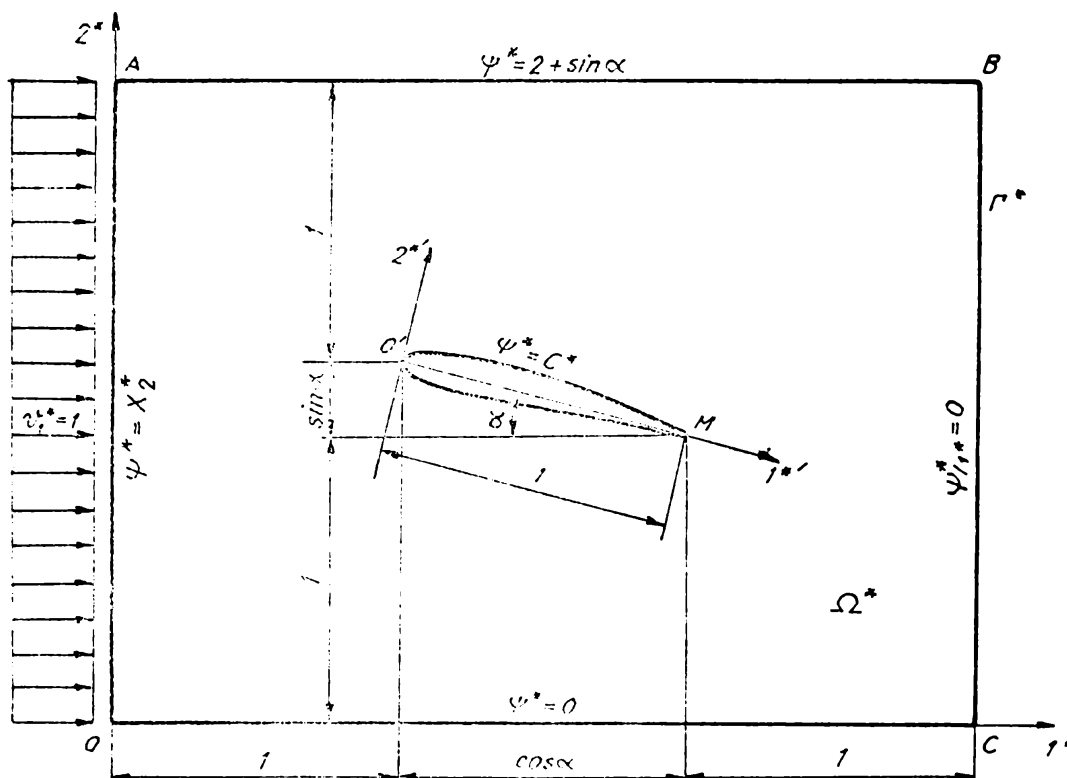


Fig.4.3 Condiții la limită pentru funcția ψ^* .

Relațiile (3.16), (4.6) și (4.8) dau legătura între viteze

$$v_i^* = (2 + \sin \alpha) L Q^{-1} v_i \quad (4.9)$$

dar viteza constantă pe partea AO a frontierei devine

$$\psi_1^* = 1 \quad (4.9)$$

dar condițiile la limită (4.2)

$$\left\{ \begin{array}{ll} \psi^* = C^* & \text{pe frontiera profilului} \\ \psi^* = 0 & \text{pe OC} \\ \psi^* = 2 + \sin \alpha & \text{pe AB} \\ \psi_1^* = 1 & \text{pe AO} \\ \psi_{/1}^* = 0 & \text{pe BC} \end{array} \right. \quad (4.10)$$

adică

$$\left\{ \begin{array}{ll} \psi^* = C^* & \text{pe frontiera profilului} \\ \psi^* = 0 & \text{pe OC} \\ \psi^* = 2 + \sin \alpha & \text{pe AB} \\ \psi^* = X_2^* & \text{pe AO} \\ \psi_{/1}^* = 0 & \text{pe BC} \end{array} \right. \quad (4.11)$$

Num nu se cunoaște, apriori, valoarea constantei C^* pe frontiera profilului, rezolvarea se obține prin metoda suprapunerii efectelor [22]. Astfel soluția lui (4.7) cu condițiile la limită (4.11) se pune sub forma

$$\psi^* = \psi^{*1} + \lambda \psi^{*2} + \mu \psi^{*3} \quad (4.12)$$

în care ψ^{*p} , $p = 1, 2, 3$ sînt soluțiile problemelor la limită parțiale

$$\left\{ \begin{array}{ll} \psi_{/ii}^{*1} = 0 & \text{în interiorul domeniului} \\ \psi^{*1} = 0 & \text{pe frontiera profilului} \\ \psi^{*1} = 0 & \text{pe OC} \\ \psi^{*1} = 2 + \sin \alpha & \text{pe AB} \\ \psi^{*1} = X_2^* & \text{pe CA} \\ \psi_{/1}^{*1} = 0 & \text{pe BC} \end{array} \right. \quad (4.13)$$

$$\left\{ \begin{array}{ll} \psi_{/ii}^{*2} = 0 & \text{în interiorul domeniului} \\ \psi^{*2} = 0 & \text{pe frontiera profilului} \\ \psi^{*2} = 1 & \text{pe OC, AB și CA} \\ \psi_{/1}^{*2} = 0 & \text{pe BC} \end{array} \right. \quad (4.14)$$

$$\left\{ \begin{array}{ll} \Psi_{/i}^{*3} = 0 & \text{în interiorul domeniului} \\ \Psi^{*3} = 1 & \text{pe frontiera profilului} \\ \Psi^{*3} = 0 & \text{pe OC, AB și OA} \\ \Psi_{/1^*}^{*3} = 0 & \text{pe BC} \end{array} \right. \quad (4.15)$$

Cu ajutorul lui (4.8) și (4.12) se scriu componentele vitezei

$$u_1^* = u_1^{*1} + \lambda u_1^{*2} + \mu u_1^{*3} \quad (4.16)$$

$$u_2^* = u_2^{*1} + \lambda u_2^{*2} + \mu u_2^{*3} \quad (4.17)$$

Punînd acum condiția lui Kutta la bordul de fugă M al profilului, și anume ca viteza să se anuleze, se obține sistemul

$$\left\{ \begin{array}{l} u_1^{*1M} + \lambda u_1^{*2M} + \mu u_1^{*3M} = 0 \\ u_2^{*1M} + \lambda u_2^{*2M} + \mu u_2^{*3M} = 0 \end{array} \right. \quad (4.18)$$

care permite determinarea coeficienților λ și μ .

4.3.2 Formularea în potențialul vitezei .

Cu schimbarea de variabilă (3.16) și de funcție

$$\varphi^* = (2 + \sin \alpha) Q^{-1} \cdot \varphi \quad (4.19)$$

(2.11) și (2.6) devin

$$\varphi_{/i}^* = 0 \quad (4.20)$$

$$u_i^* = \varphi_{/i}^* \quad (4.21)$$

Cu aceeași legătură (4.9) între viteze și cu (4.9') pe partea AO a frontierei, iar condiția la limită (4.5)

$$\left\{ \begin{array}{ll} \varphi^* = 0 & \text{pe BC} \\ \varphi_{/2^*}^* = 0 & \text{pe AB și OC} \\ u_1^* = 1 & \text{pe AO} \\ \varphi_{/m}^* = 0 & \text{pe frontiera profilului} \end{array} \right. \quad (4.22)$$

adică

$$\left\{ \begin{array}{ll} \varphi^* = 0 & \text{pe BC} \\ \varphi_{/2^*}^* = 0 & \text{pe AB și OC} \\ \varphi_{/1^*}^* = 1 & \text{pe AO} \\ \varphi_{/m}^* = 0 & \text{pe frontiera profilului} \end{array} \right. \quad (4.23)$$

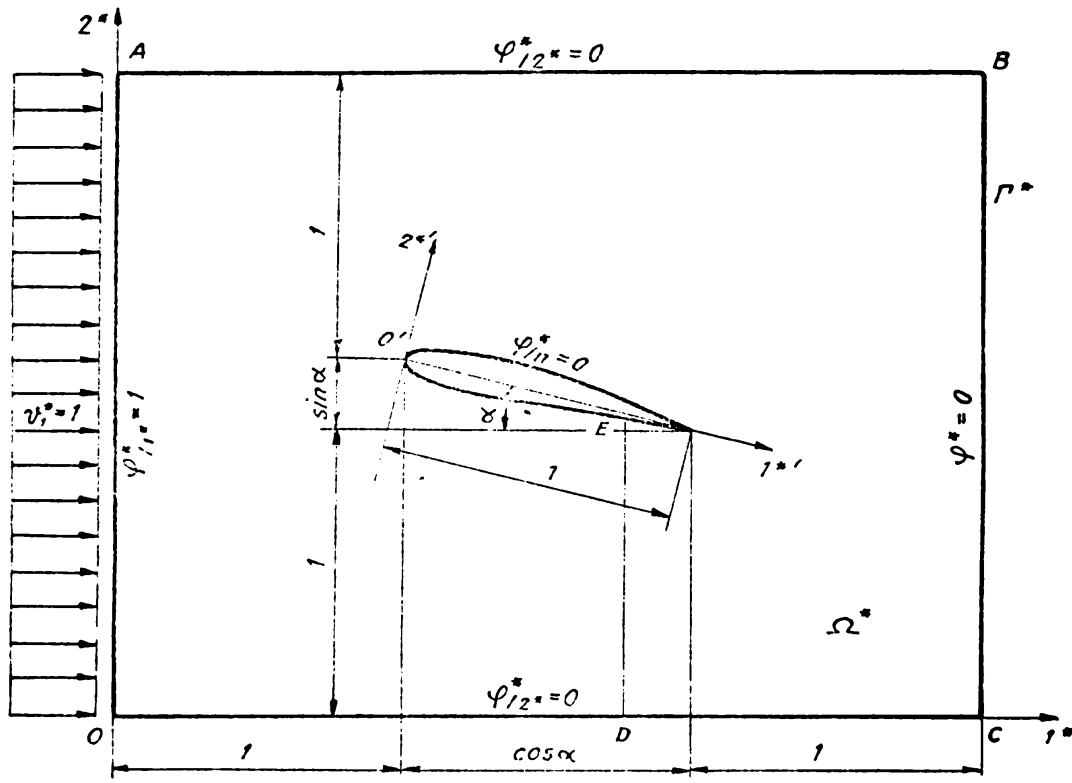


Fig.4.4 Condiții la limită pentru funcția ψ^* .

4.3.3 Formularea în funcția de curent cunoscând potențialul vitezei

Determinarea mișcării cu metoda prezentată la 4.3.1 care volum mare de calcul în general legat de precizia determinării lorilor funcțiilor ψ^{1*} , ψ^{2*} și ψ^{3*} și a derivatelor lor în viteză imediată a bordului de fugă M a profilului. În cazul care ψ^* poate fi acceptată ca uniformă, determinarea liniilor curent se face rezolvînd mai întîi formularea 2.4.2 care determină funcția ψ^* . Atunci condițiile la limită (4.11) pentru funcția ψ^* devin

$$\left\{ \begin{array}{ll} \psi^* = 0 & \text{pe OC} \\ \psi^* = 2 + \sin \alpha & \text{pe AB} \\ \psi^* = x_2^* & \text{pe AO} \\ \psi_{11}^* = 0 & \text{pe BC} \\ \psi_{1m}^* = f^*(x_1^*, x_2^*) & \text{pe frontiera profilului} \end{array} \right. \quad (4.24)$$

de $f^*(x_1^*, x_2^*)$ se obține folosind (4.8) și (2.8)

$$f^*(x_1^*, x_2^*) = \psi_{1i}^* m_i = \psi_{11}^* m_1 + \psi_{12}^* m_2 = -\psi_{12}^* m_1 + \psi_{11}^* m_2 \quad (4.25)$$

O rezolvare mai operativă o dă determinarea constantei C^* pe frontiera profilului pentru condițiile la limită (4.11). Ea

se obține scriind debitul ce străbate segmentul DE

$$C^* = \int_D^E \psi_i^* dx_2^* = \int_D^E \psi_{/i}^* dx_2^* \quad (4.26)$$

4.4 Integrarea ecuației lui Laplace prin M.E.F.

Vom folosi tratarea în formă adimensională și vom renunța la notarea cu asterisc.

4.4.1 Formularea în funcția de curent

Să reluăm ecuația (4.7) cu condițiile la limită (4.11) sau (4.24). Funcția ψ poate fi aproximată global pe Ω prin (3.26). Aplicând metoda lui Galerkin rezultă; [22], [39]

$$\int_{\Omega} \psi_{/ii} a_{\alpha} d\Omega = 0 \quad (4.27)$$

care, integrată, prin părți, conduce la

$$\int_{\Omega} \psi_{/i} a_{\alpha/i} d\Omega - \int_{\Gamma} \psi_{/i} m_i a_{\alpha}^* d\Gamma = 0 \quad (4.28)$$

și care cu (3.26) devine

$$\psi_p \int_{\Omega} a_{\alpha/i} a_{\beta/i} d\Omega = \int_{\Gamma} \psi_{/i} m_i a_{\alpha}^* d\Gamma \quad (4.29)$$

adică sistemul liniar (3.30) în care coeficienții $D_{\alpha\beta}$ sînt dați de

$$D_{\alpha\beta} = \int_{\Omega} a_{\alpha/i} a_{\beta/i} d\Omega \quad (4.30)$$

iar termenii liberi de

$$F_{\alpha} = \int_{\Gamma} \psi_{/i} m_i a_{\alpha}^* d\Gamma \quad (4.31)$$

Dacă facem acum o discretizare a lui Ω în elemente finite Ω^e , funcția ψ poate fi aproximată local prin (3.35).

Procedînd similar cu cele de mai înainte obținem pentru fiecare element finit Ω^e

$$\int_{\Omega^e} \psi_{/ii}^e a_N^e d\Omega^e = 0 \quad (4.32)$$

care integrată prin părți dă

$$\int_{\Omega^e} \psi_{/i}^e a_{N/i}^e d\Omega^e - \int_{\Gamma^e} \psi_{/i}^e m_i a_N^e d\Gamma^e = 0 \quad (4.33)$$

din care, cu (3.35), se obține

$$\psi_M^e \int_{\Omega^e} a_{N/i}^e a_{M/i}^e d\Omega^e = \int_{\Gamma^e} \psi_{/i}^e m_i a_N^e d\Gamma^e \quad (4.34)$$

adică sistemul liniar (3.39) în care

$$D_{NM}^e = \int_{\Omega^e} a_{N/i}^e a_{M/i}^e d\Omega^e \quad (4.35)$$

termenii liberi

$$F_N^e = \int_{\Gamma^e} \psi_{/i}^e m_i \alpha_N^e d\Gamma^e \quad (4.36)$$

trecerea de la local la global se face tot cu formulele (3.42), (3.44), (3.45) și (3.46).

4.4.2 Formularea în potențialul vitezei

Problema este identică cu cea de la 2.5.1. Se ajunge la termenul local

$$D_{NM}^e \psi_M^e = F_N^e \quad (4.37)$$

care

$$D_{NM}^e = \int_{\Omega^e} b_{N/i}^e b_{M/i}^e d\Omega^e \quad (4.38)$$

$$F_N^e = \int_{\Gamma^e} \psi_{/i}^e m_i b_N^e d\Gamma^e \quad (4.39)$$

4.5 Discretizarea domeniului

Pentru discretizare au fost alese tot elemente finite izometrice liniare. În consecință vor fi folosite formulele de la 3.5.

4.6 Calculul coeficienților D_{NM}^e

Vom renunța la indexarea superioară cu e și vom utiliza variabilele χ_1, χ_2 respectiv ξ, η . Coeficienții D_{NM}^e sînt aceiași și pentru formularea în ψ (dați de (4.35)) cît și pentru formularea în φ (dați de (4.38)). Cu $a_N = b_N$, observînd că $d\Omega = dx_1 dx_2$ folosind (3.68) coeficienții devin

$$D_{NM} = \int_{-1}^1 \int_{-1}^1 a_{N/i} a_{M/i} |J| d\xi d\eta \quad (4.40)$$

cu (3.85), (3.89) și (3.90) în care χ_1 joacă rolul lui ξ iar χ_2 rolul lui η .

$$D_{NM} = \frac{1}{8} \int_{-1}^1 \int_{-1}^1 f_{NM}(\xi, \eta) d\xi d\eta \quad (4.41)$$

care

$$f_{NM}(\xi, \eta) = \{ a_{NM}^{(1)} + a_{NM}^{(2)} + (b_{NM}^{(1)} + b_{NM}^{(2)})\xi + (c_{NM}^{(1)} + c_{NM}^{(2)})\eta + (d_{NM}^{(1)} + d_{NM}^{(2)})\xi\eta + (e_{NM}^{(1)} + e_{NM}^{(2)})\xi^2 + (f_{NM}^{(1)} + f_{NM}^{(2)})\eta^2 \} \cdot (\alpha_0 + \alpha_1\xi + \alpha_2\eta)^{-1} \quad (4.42)$$

pentru care sînt valabile formulele de la 3.6.1. Evaluarea coeficienților se face tot cu o formulă analogă lui (3.97)

$$D_{NM} = \frac{1}{8} \sum_{i=1}^6 \sum_{j=1}^6 w_i w_j f_{NM}(\xi_i, \eta_j) \quad (4.43)$$

unde w_i , ξ_i și η_j sînt dați de (3.98) respectiv (3.99).

4.7 Calculul termenilor liberi F_N^e

4.7.1 Formularea în funcția de curent

În formularea dată la 4.3.3 termenii liberi dați de (4.36) sînt nuli pe toată frontiera exterioară a domeniului mai puțin pe frontiera profilului pe care, (vezi (4.24) și (4.25)) folosind (4.8)

$$F_N = \int_0^l \varepsilon_{ij} w_i^* m_j a_N^* ds \quad (4.44)$$

Elementele finite fiind izoparametrice (vezi și fig.3.7) este adevărată (3.107) unde funcțiile de interpolare pe frontiera sînt date de (3.109). Cu acestea termenii liberi dați de (4.44) devin, [39]

$$F_N = \int_0^l \varepsilon_{ij} w_i^* a_M^* m_j a_N^* ds \quad N, M = 1, 2 \quad (4.45)$$

sau pe larg

$$F_1 = \int_0^l \left[(1-\lambda l^{-1}) (v_1^1 m_2 - v_2^1 m_1) + \lambda l^{-1} (v_1^2 m_2 - v_2^2 m_1) \right] (1-\lambda l^{-1}) ds \quad (4.46)$$

$$F_2 = \int_0^l \left[(1-\lambda l^{-1}) (v_1^1 m_2 - v_2^1 m_1) + \lambda l^{-1} (v_1^2 m_2 - v_2^2 m_1) \right] \lambda l^{-1} ds \quad (4.47)$$

care integrate dau

$$F_N = \frac{l}{3} \left[\begin{array}{l} v_1^1 m_2 - v_2^1 m_1 + \frac{1}{2} (v_1^2 m_2 - v_2^2 m_1) \\ \frac{1}{2} (v_1^1 m_2 - v_2^1 m_1) + v_1^2 m_2 - v_2^2 m_1 \end{array} \right] \quad (4.48)$$

4.7.2 Formularea în potențialul vitezei

În formularea dată de 4.2.2 singurii termeni liberi nenuli sînt pe partea AO a frontierei pe care ei se determină cu ajutorul lui (4.39) și (4.21)

$$F_N = \int_0^l w_i^* m_i b_N^* ds \quad (4.49)$$

care cu (3.107) și (3.109) devin

$$F_N = \int_0^l w_i^* a_M^* m_i b_N^* ds \quad (4.50)$$

sau pe larg

$$F_1 = \int_0^l \left[(1-\lambda l^{-1}) (v_1^1 m_1 + v_2^1 m_2) + \lambda l^{-1} (v_1^2 m_1 + v_2^2 m_2) \right] (1-\lambda l^{-1}) ds \quad (4.51)$$

$$F_2 = \int_0^l \left\{ (1-\lambda e^{-1}) (v_1^1 m_1 + v_2^1 m_2) + \lambda e^{-1} (v_1^2 m_1 + v_2^2 m_2) \right\} \lambda e^{-1} d\lambda \quad (4.52)$$

care integrate dau

$$F_N = \frac{l}{3} \left[\begin{array}{l} v_1^1 m_1 + v_2^1 m_2 + \frac{1}{2} (v_1^2 m_1 + v_2^2 m_2) \\ \frac{1}{2} (v_1^1 m_1 + v_2^1 m_2) + v_1^2 m_1 + v_2^2 m_2 \end{array} \right] \quad (4.53)$$

cazul nostru $m_1 = 1$, $m_2 = 0$ iar $v_1^1 = v_1^2 = 1$ și $v_2^1 = v_2^2 = 0$.
Atunci, în final

$$F_N = \frac{l}{2} \begin{bmatrix} 1 \\ 1 \end{bmatrix} \quad (4.54)$$

adică

$$F_N = \frac{1}{2} l \quad (4.55)$$

4.8 Asamblarea matricii sistemului. Punerea condițiilor la limită

Rămân valabile considerațiile de la 3.8.

4.9 Determinarea câmpului de viteze

4.9.1 Formularea în funcția de curent

Analog cu cele de la 3.9.1, folosind (4.8), (3.35), (3.86) (3.76), se obțin componentele vitezei pe fiecare element finit

$$v_1^e = \psi_{1/2}^e = \alpha_{N/2}^e \psi_N^e = (8|7|)^{-1} (A_{N2} + B_{N2}^1 \xi + B_{N2}^2 \eta) \psi_N^e \quad (4.56)$$

$$v_2^e = -\psi_{1/4}^e = -\alpha_{N/4}^e \psi_N^e = -(8|7|)^{-1} (A_{N1} + B_{N1}^1 \xi + B_{N1}^2 \eta) \psi_N^e \quad (4.57)$$

care în centrele de greutate ale elementelor izoparametrice devin

$$v_1^e = \alpha_0^{-1} A_{N2} \psi_N^e \quad (4.58)$$

$$v_2^e = -\alpha_0^{-1} A_{N1} \psi_N^e \quad (4.59)$$

mărimea vitezei este

$$v = (v_1^2 + v_2^2)^{1/2} \quad (4.60)$$

sau raportată la viteza de la intrare v^{0A} dată de (4.9)

$$\bar{v} = v \cdot v^{0A^{-1}} \quad (4.61)$$

4.9.2 Formularea în potențialul vitezei

Din (4.21), folosind (3.35), (3.86) și (3.76), se obțin componentele vitezei pe fiecare element finit

$$v_1^e = \varphi_{1/1}^e = b_{N/1}^e \varphi_N^e = (S|H)^{-1} (A_{N1} + B_{N1}^1 \xi + B_{N1}^2 \eta) \varphi_N^e \quad (4.62)$$

$$v_2^e = \varphi_{1/2}^e = b_{N/2}^e \varphi_N^e = (S|H)^{-1} (A_{N2} + B_{N2}^1 \xi + B_{N2}^2 \eta) \varphi_N^e \quad (4.63)$$

care în centrele de greutate ale elementelor finite devin

$$v_1^e = \alpha_0^{-1} A_{N1} \varphi_N^e \quad (4.64)$$

$$v_2^e = \alpha_0^{-1} A_{N2} \varphi_N^e \quad (4.65)$$

4.10 Determinarea cîmpului de presiuni

Se obține imediat din teorema lui Bernoulli pentru mișcarea potențială fără evoluție

$$p - p^{0A} = 2^{-1} \rho (v^{0A^2} - v^2) \quad (4.66)$$

sau raportată la $2^{-1} \rho v^{0A^2}$

$$\bar{p} = (p - p^{0A}) 2^{-1} \rho v^{0A^{-2}} = 1 - \bar{v}^2 \quad (4.67)$$

4.11 Determinarea liniilor de curent și a liniilor de egal potențial al vitezei

Rămân valabile considerațiile de la 3.11.

4.12 Exemplu de calcul

Metoda a fost aplicată unui profil aerodinamic izolat NACA 2412 dispus între doi pereți rigizi plani și paraleli pentru două incidente $\alpha = 2^\circ$ și $\alpha = 6^\circ$. În cele ce urmează este dată rezolvarea complexă a mișcării potențiale și fără evoluție a unui lichid în jurul acestui profil NACA dispus între doi pereți rigizi plani și paraleli în următorul domeniu de analiză considerînd potențialul φ al vitezei uniform.

4.12.1 Domeniul de analiză

Considerînd coarda profilului unitară, domeniul de analiză a fost considerat cel din fig.4.3.

În fig.4.5 respectiv 4.6 este prezentată discretizarea domeniului în elemente finite izoparametrice. Programul de discretizare a domeniului a fost astfel conceput încît punctele nodale să fie mai multe în apropierea frontierei profilului. Au rezultat 800 elemente finite ($E = 800$) și 885 noduri ($G = 885$) din care 50 pe frontiera profilului.

4.12.2 Realizarea programului de calcul

Rezolvarea problemei a fost obținută cu ajutorul programului MISPLAN în cadrul căruia au fost utilizate subprogramele :

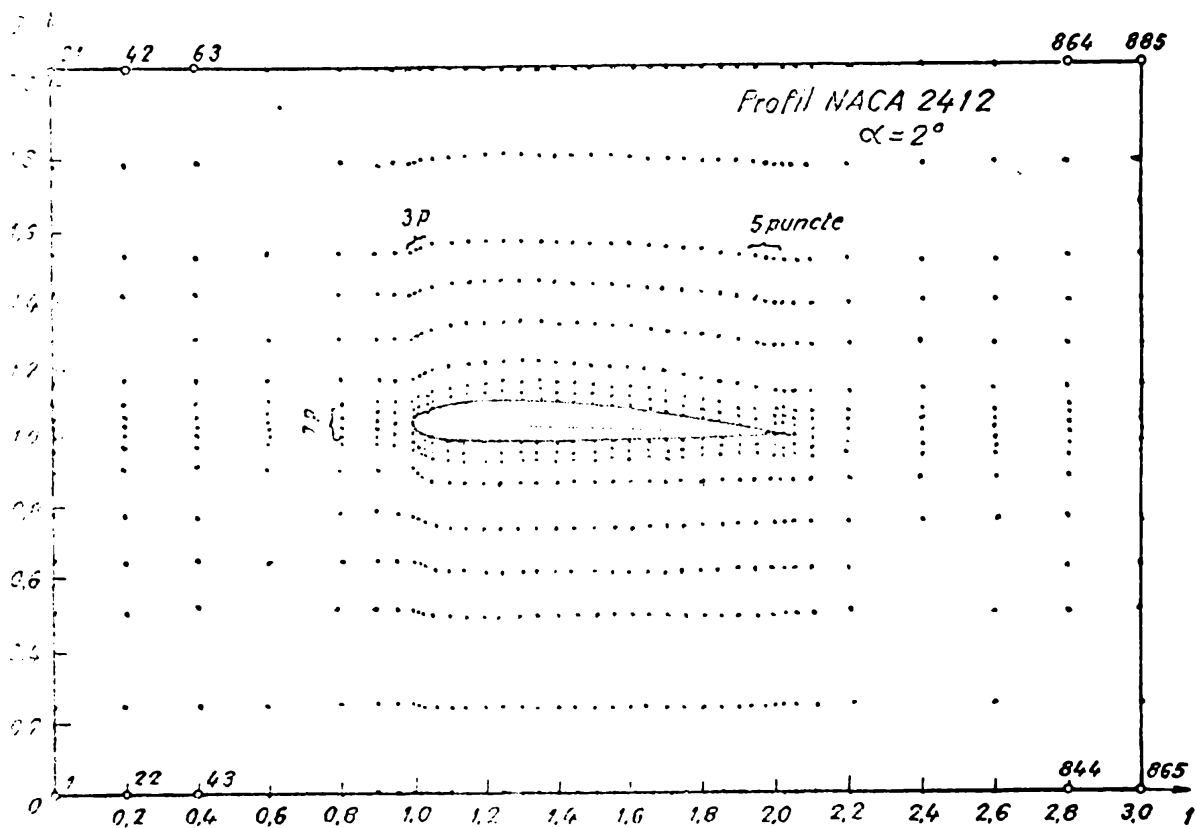


Fig.4.5 Discretizarea domeniului; $\alpha = 2^\circ$

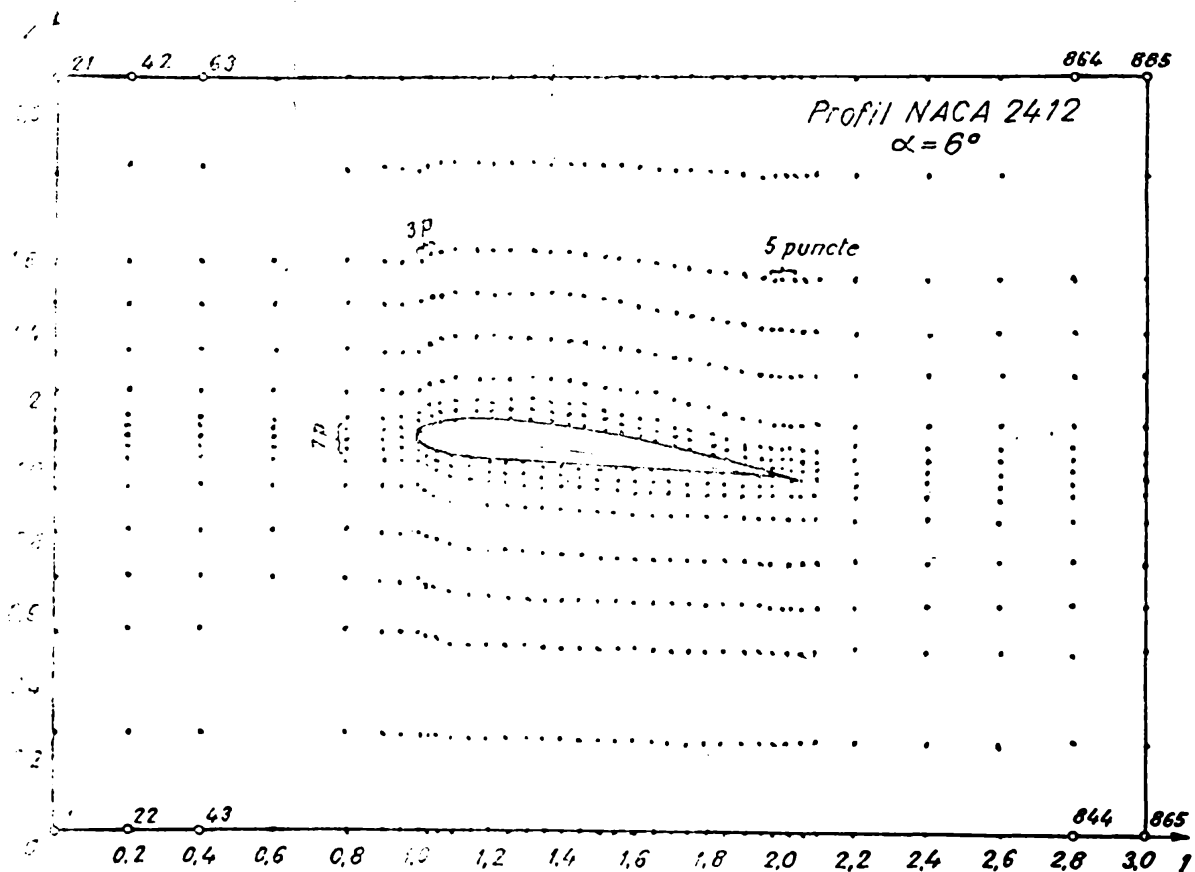


Fig.4.6 Discretizarea domeniului; $\alpha = 6^\circ$

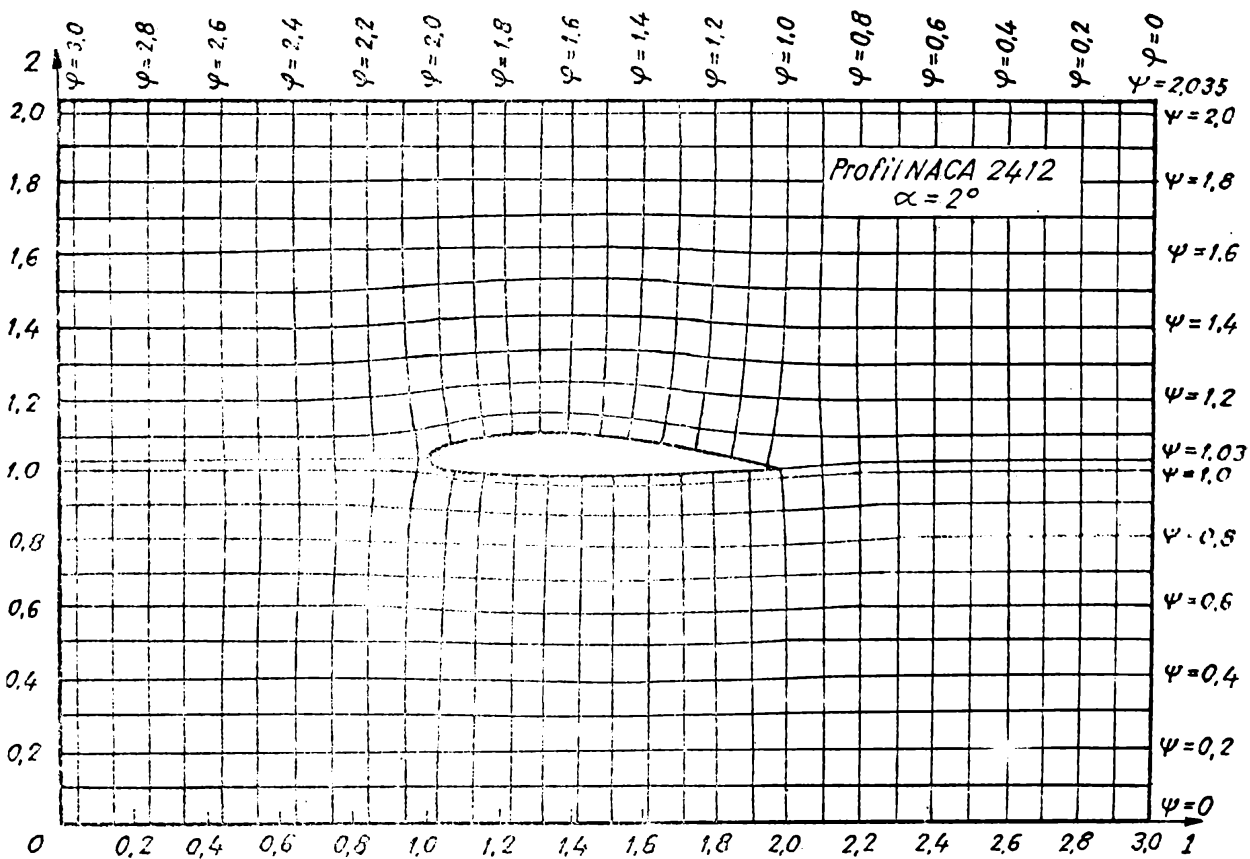


Fig.4.7 Cîmpul hidrodinamic ; $\alpha = 2^\circ$

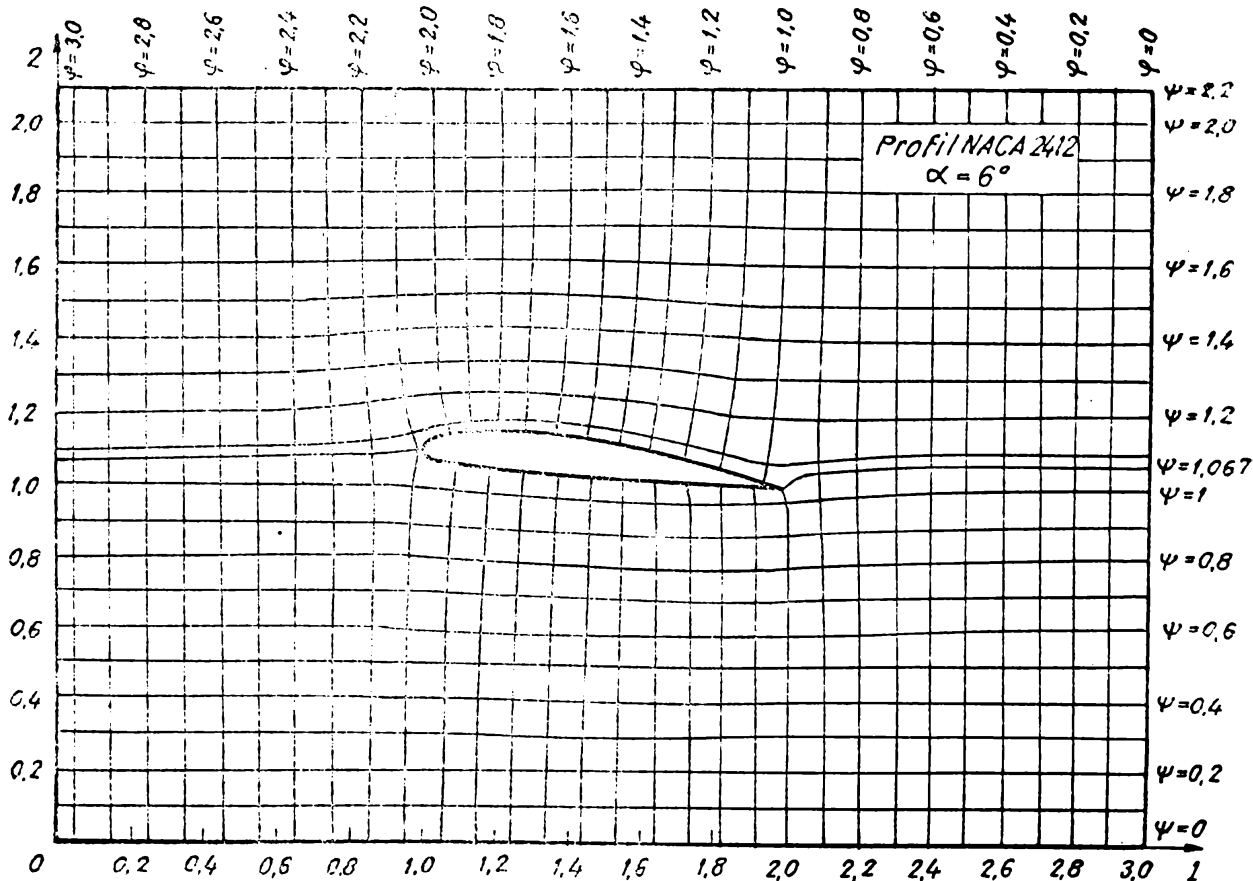


Fig.4.8 Cîmpul hidrodinamic ; $\alpha = 6^\circ$

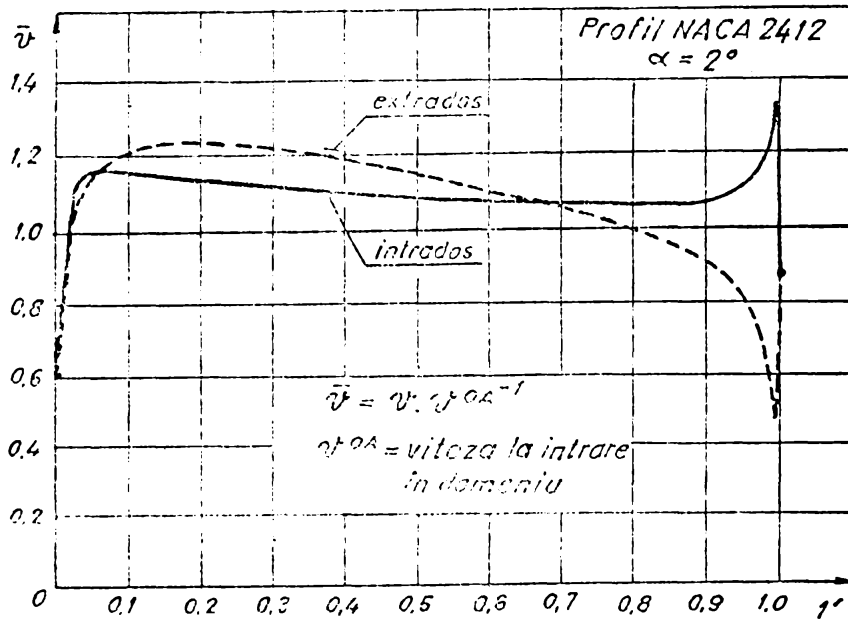


Fig.4.9 Câmpul de viteze pe frontiera profilului;
 $\alpha = 2^\circ$.

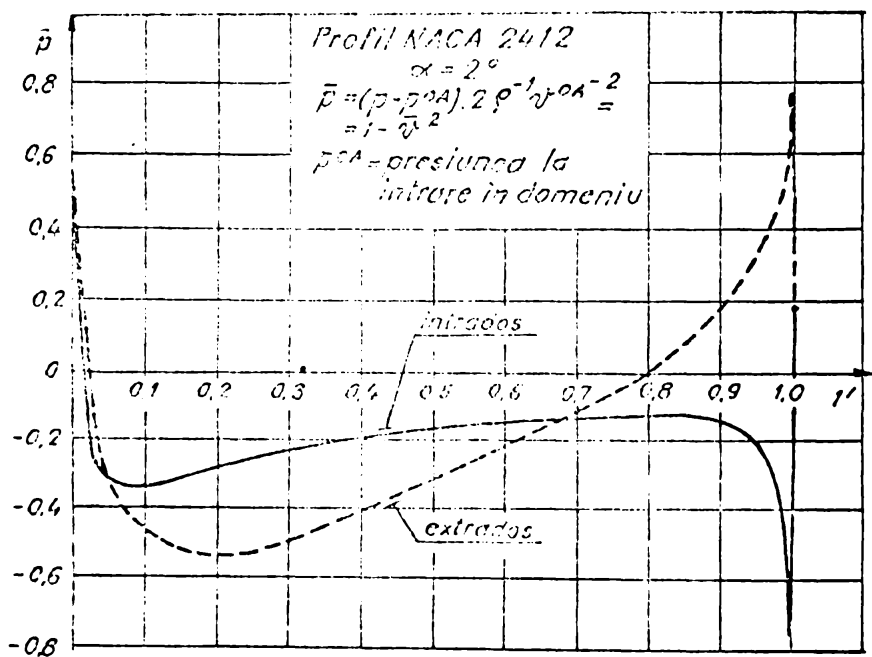


Fig.4.10 Câmpul de presiuni pe frontiera profilului;
 $\alpha = 2^\circ$.

- (i) DISCRET (vezi 3.12.2 (i))
- (ii) SISTEM (vezi 3.12.2 (ii))
- (iii) VITCEG care realizează
 1. determinarea vitezei în nodurile rețelei
 2. determinarea vitezelor în nodurile de pe frontiera profilului
 3. determinarea presiunilor în nodurile de pe frontiera profilului
- (iv) CAUT 4 (vezi 3.12.2 (iv))
- (v) CONDLIM care
 1. stabilește condițiile la limită pe frontiera domeniului

4.12.3 Rezultate numerice

În fig.4.7 respectiv 4.8 este prezentat câmpul hidrodinamic în domeniul de analiză considerat, constituit din liniile de curent $\Psi = \text{constant}$ și liniile de egal potențial al vitezei

$\varphi = \text{constant}$. În fig.4.9 este dată variația vitezei \bar{v} în lungul profilului în cazul $\alpha = 2^\circ$ iar în fig.4.10 variația presiunii \bar{p} pentru $\alpha = 2^\circ$. În fig.4.11 și 4.12 sînt date aceleași variații pentru $\alpha = 6^\circ$.

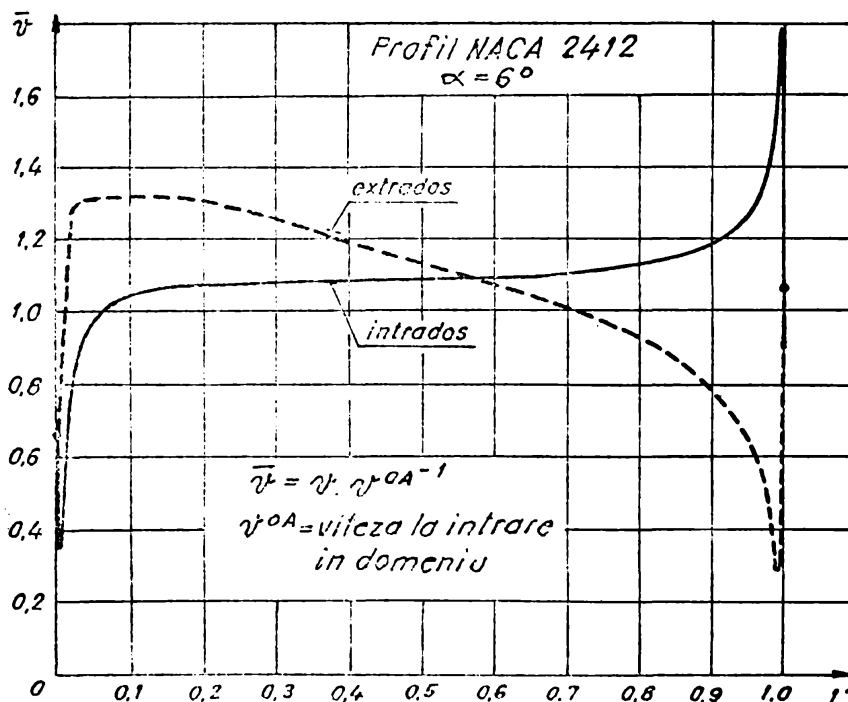


Fig.4.11 Câmpul de viteze pe frontiera profilului;
 $\alpha = 6^\circ$.

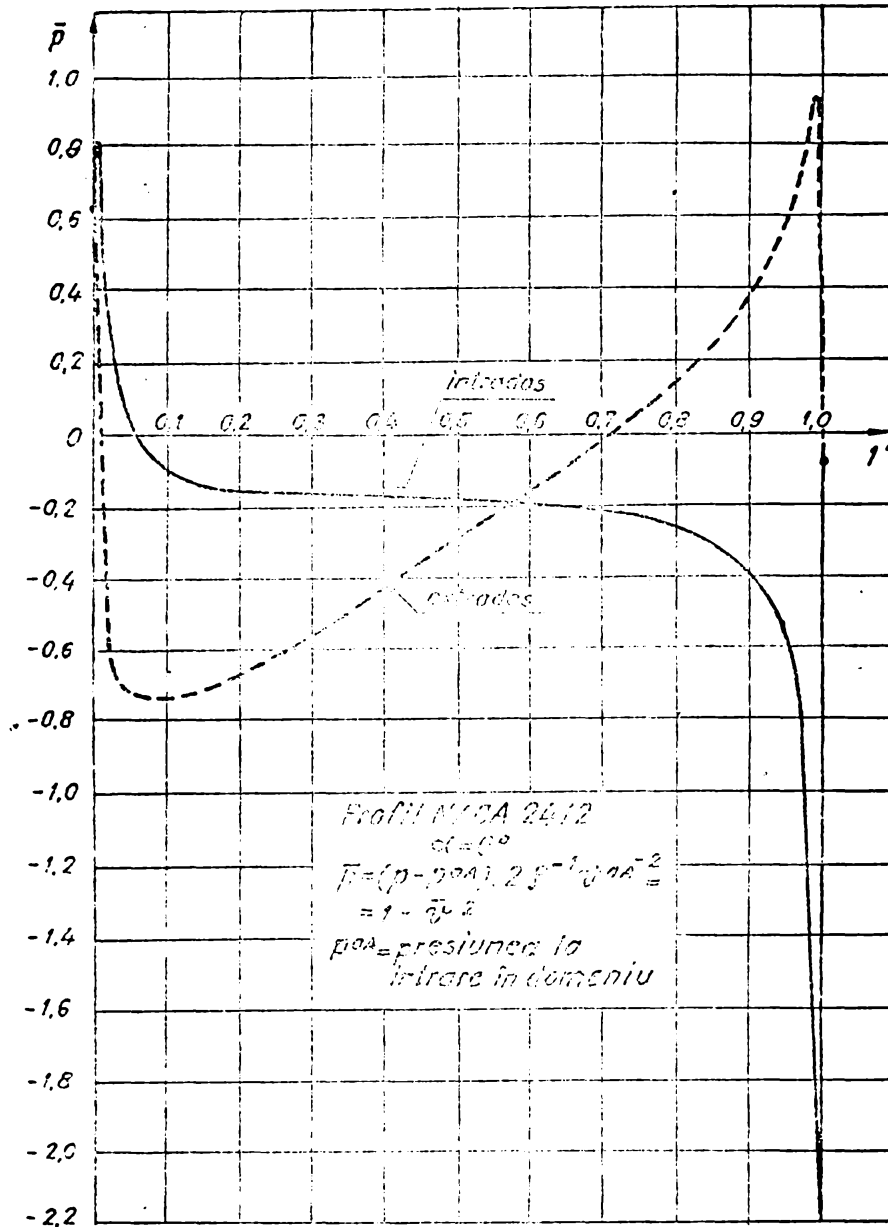


Fig.4.12 Câmpul de presiuni pe frontiera profilului;
 $\alpha = 6^\circ$.

4.13 Remarcă

Considerațiile din acest capitol au doar o valoare metodologică, ele reprezentând un pas spre rezolvarea mișcării în jurul rețelelor de profile axiale. Ipoteza făcută pentru potențialul vitezei de a fi uniform face ca rezultatele să se depărteze de realitate. Inexistența saltului pentru ψ implică absența circulației în jurul profilului și implicit absența portanței. Rezolvarea problemei poate fi dată de formularea în Ψ cu dificultățile semnalate la 4.3.3.

MISCAREA POTENTIALA PLANA IN JURUL RETELELOR DE PROFILE AXIALE
CU CIRCULATIE DATA

5.1 Generalități

Ne propunem să determinăm mișcarea potențială în jurul unei familii de obstacole dispuse periodic în lungul unei drepte în ipoteza cunoașterii circulației vitezei în jurul obstacolului. Cu aplicație la turbomașini o astfel de familie de obstacole o constituie rețeaua de profile aerodinamice axială. Pentru aceste rețele cunoașterea circulației este echivalentă cu cunoașterea unghiurilor β^{AM} și β^{AV} de intrare respectiv ieșire din domeniu. Determinarea mișcării înseamnă, analog cu cele de la 4.1, determinarea liniilor de curent, a liniilor de egal potențial al vitezei, a câmpului de viteze și a câmpului de presiuni.

5.2 Domeniul de analiză. Condiții la limită

Domeniul de analiză trebuie astfel ales încât el să păstreze efectul de periodicitate al mișcării. În consecință el va fi definit de frontierele a trei profile învecinate dispuse la pasul t , din care unul va fi în interiorul domeniului. Condițiile la limită pe frontierele de influx respectiv flux se vor pune la $t/2$ de frontul bordurilor de atac respectiv de cel al bordurilor de fugă ale profilelor și trebuie astfel formulate încât să fie asigurată periodicitatea mișcării.

5.2.1 Formularea în funcția de curent

Determinarea mișcării înseamnă rezolvarea unei probleme la limită pentru ecuația (2.10), cu funcția necunoscută Ψ , pe domeniul Ω cu condiții la limită esențiale pe frontiera domeniului și anume

$$\left\{ \begin{array}{l} \Psi = \text{constant} \quad \text{pe } DE, \text{ } \overline{JI} \text{ și frontiera profilului interior} \\ \Psi = \Psi(x_2) \quad \text{pe } AC \text{ și } FH \\ \Psi = \Psi(x_1) \quad \text{pe } CD, EF, AJ \text{ și } IH \end{array} \right. \quad (5.1)$$

Periodicitatea câmpului de viteze impune pentru funcția Ψ

$$\Psi(x_1, x_2 + k \cdot t) = \Psi(x_1, x_2) + k \cdot A \quad ; \quad A = \text{constant} \quad (5.2)$$

$$\Psi_{/i}(x_1, x_2 + k \cdot t) = \Psi_{/i}(x_1, x_2) \quad (5.3)$$

Cu (5.2) condițiile la limită (5.1) devin atunci în cazul nostru

$$\left. \begin{aligned}
 \psi &= 0 && \text{pe } JI \\
 \psi &= Q && \text{Pe } DE \\
 \psi &= \frac{1}{2} Q && \text{pe frontiera profilului} \\
 &&& \text{interior} \\
 \psi &= \psi(x_1) && \text{pe } AJ \text{ și } IH \\
 \psi &= \psi(x_1) + Q && \text{pe } CD \text{ și } EF \\
 v_1^{AM} = v_1^{AV} &= \text{constant} && \text{pe } AC \text{ și } FH
 \end{aligned} \right\} \quad (5.4)$$

În care componentele după axa 1-a a vitezei din amonte, v_1^{AM} (pe frontiera de intrare AC) și aval v_1^{AV} (pe frontiera de ieșire FH) sînt

$$v_1^{AM} = v_1^{AV} = (2t)^{-1} \cdot Q \quad (5.5)$$

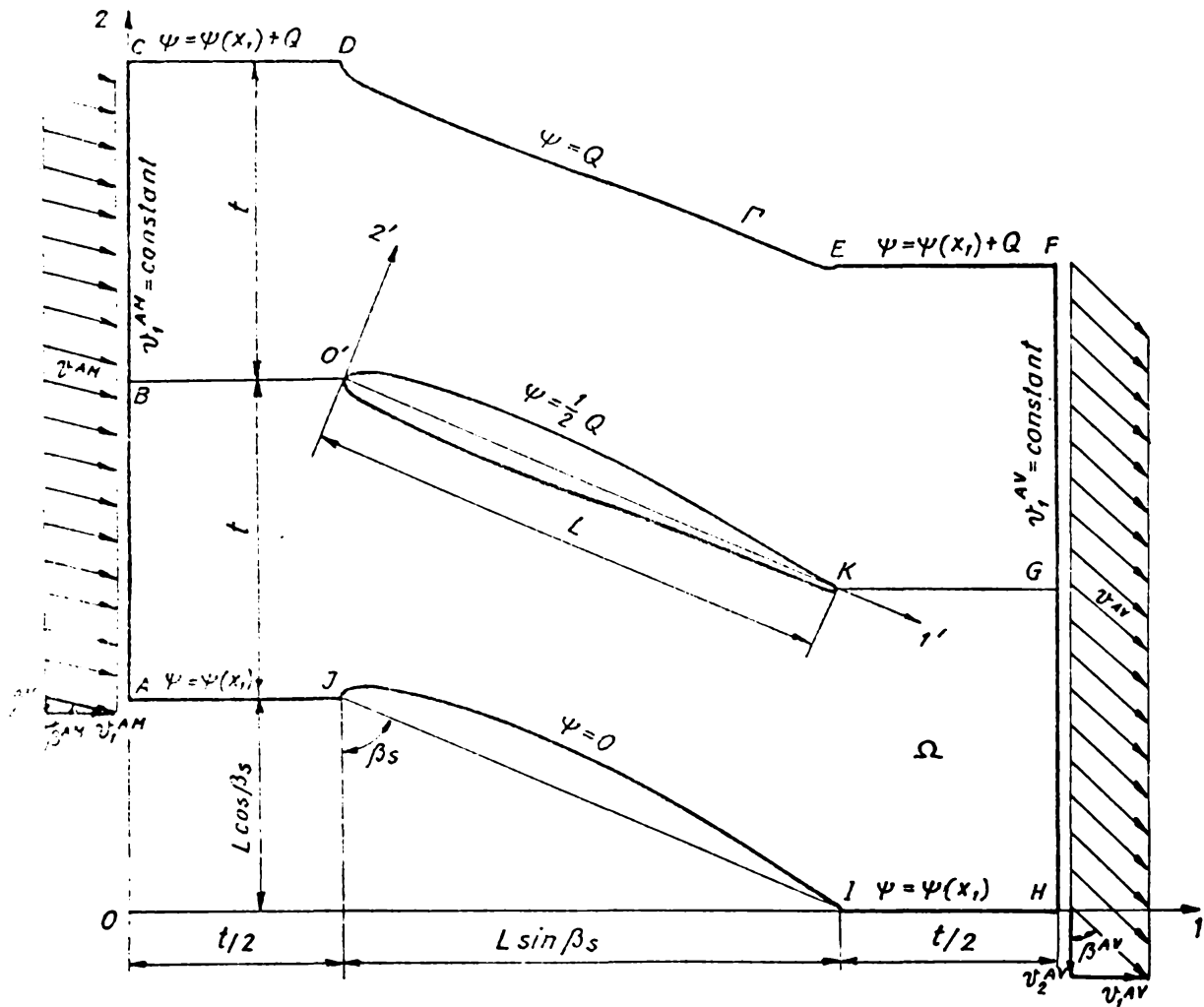


Fig. 5.1 Condiții la limite pentru funcția ψ

5.2.2 Formularea în potențialul vitezei

Determinarea mișcării înseamnă rezolvarea unei probleme

la limită Neumann pentru ecuația (2.11) cu funcția necunoscută φ , pe domeniul Ω cu condiții la limită naturale pe frontiera domeniului și anume

$$\left\{ \begin{array}{l} \varphi_{/n} = 0 \quad \text{pe } DE, JI \text{ și frontiera profilului interior} \\ \varphi_{/2} = f(x_1) \quad \text{pe } CD \text{ și } AJ \\ \varphi_{/2} = g(x_1) \quad \text{pe } EF \text{ și } IH \\ \varphi_{/1} = \text{constant} \quad \text{pe } AC \text{ și } FH \end{array} \right. \quad (5.6)$$

în care am folosit periodicitatea câmpului de viteze, ce impune pentru derivatele lui φ .

$$\varphi_{/i}(x_1, x_2 + k \cdot t) = \varphi_{/i}(x_1, x_2) \quad (5.7)$$

Pentru cazul nostru condițiile la limită (5.6) sînt

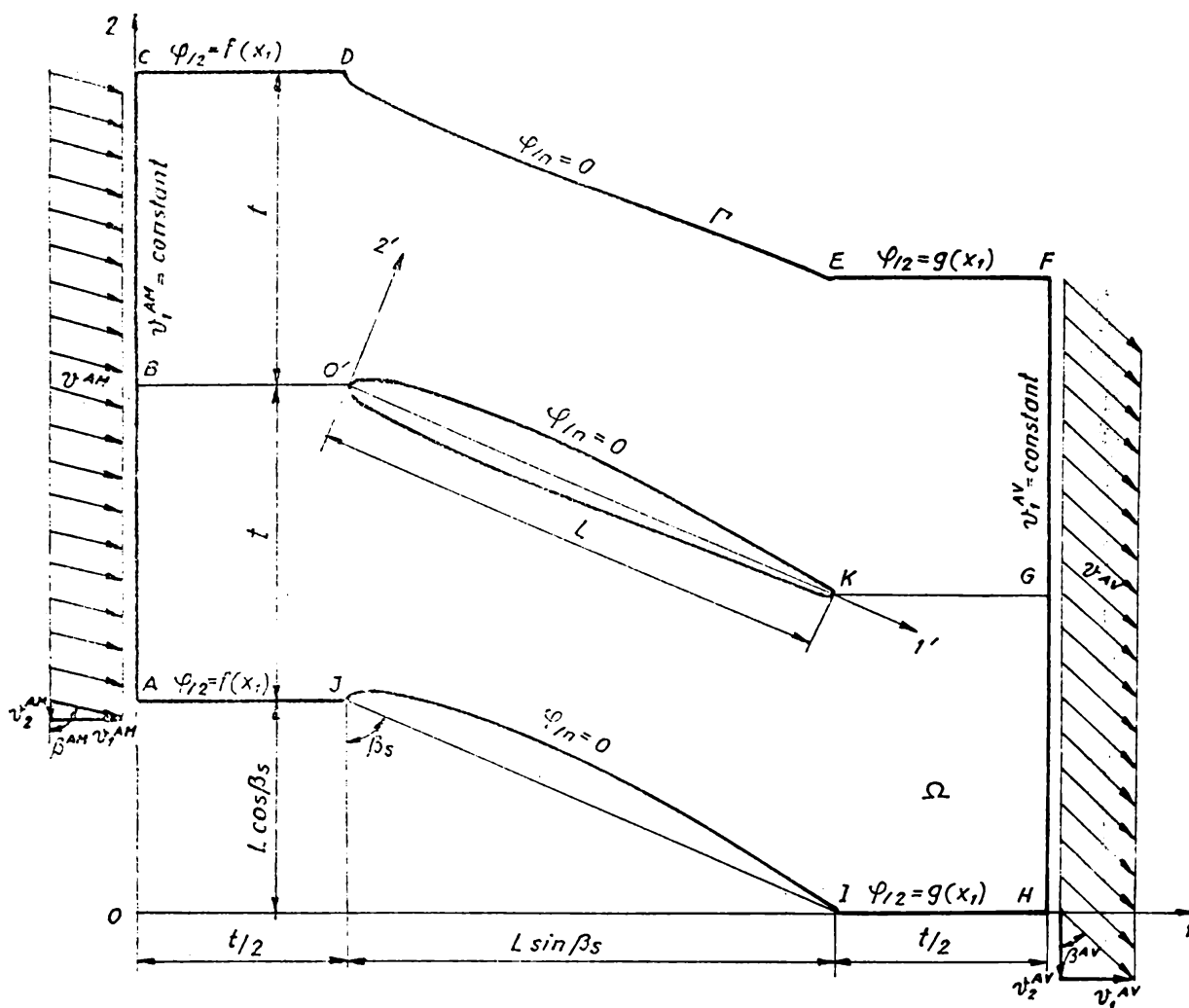


Fig.5.2 Condiții la limită pentru funcția φ .

$$\left\{ \begin{array}{ll} \psi_{1/m} = 0 & \text{pe DE, JI și frontiera profilului interior} \\ \psi_{1/2} = f(x_1) & \text{pe CD și AJ} \\ \psi_{1/2} = g(x_1) & \text{pe EF și IH} \\ v_1^{AM} = v_1^{AV} = \text{constant} & \text{pe AC și FH} \end{array} \right. \quad (5.8)$$

în care $v_1^{AM} = v_1^{AV}$ este dat tot de (5.5).

5.3 Tratarea în formă adimensională

5.3.1 Formularea în funcția de curent

Cu schimbarea de variabilă (3.16) și de funcție

$$\psi^* = 2tL^{-1} Q^{-1} \psi \quad (5.9)$$

(2.1c) și (2.5) devin (4.7) respectiv (4.8) cu legătura între viteze

$$v_i^* = 2t Q^{-1} v_i \quad (5.10)$$

iar primele componente ale vitezelor pe părțile AC respectiv FH ale frontierei

$$v_1^{*AM} = v_1^{*AV} = 1 \quad (5.11)$$

condițiile la limită (5.4) devin

$$\left\{ \begin{array}{ll} \psi^* = 0 & \text{pe IJ} \\ \psi^* = 2tL^{-1} & \text{pe DE} \\ \psi^* = tL^{-1} & \text{pe frontiera profilului interior (5.12)} \\ v_1^{*AM} = v_1^{*AV} = 1 & \text{pe AC și FH} \\ \psi^* = \psi^*(x_1^*) & \text{pe AJ și IH} \\ \psi^* = \psi^*(x_1^*) + 2tL^{-1} & \text{pe CD și EF} \end{array} \right.$$

adică

$$\left\{ \begin{array}{ll} \psi^* = 0 & \text{pe iJ} \\ \psi^* = 2tL^{-1} & \text{pe DE} \\ \psi^* = tL^{-1} & \text{pe frontiera profilului interior (5.13)} \\ \psi^* = x_2^* + C^* & \text{pe AC} \\ \psi^* = x_2^* + C^{1*} & \text{pe FH} \\ \psi^* = \psi^*(x_1^*) & \text{pe AJ și IH} \\ \psi^* = \psi^*(x_1^*) + 2tL^{-1} & \text{pe CD și EF} \end{array} \right.$$

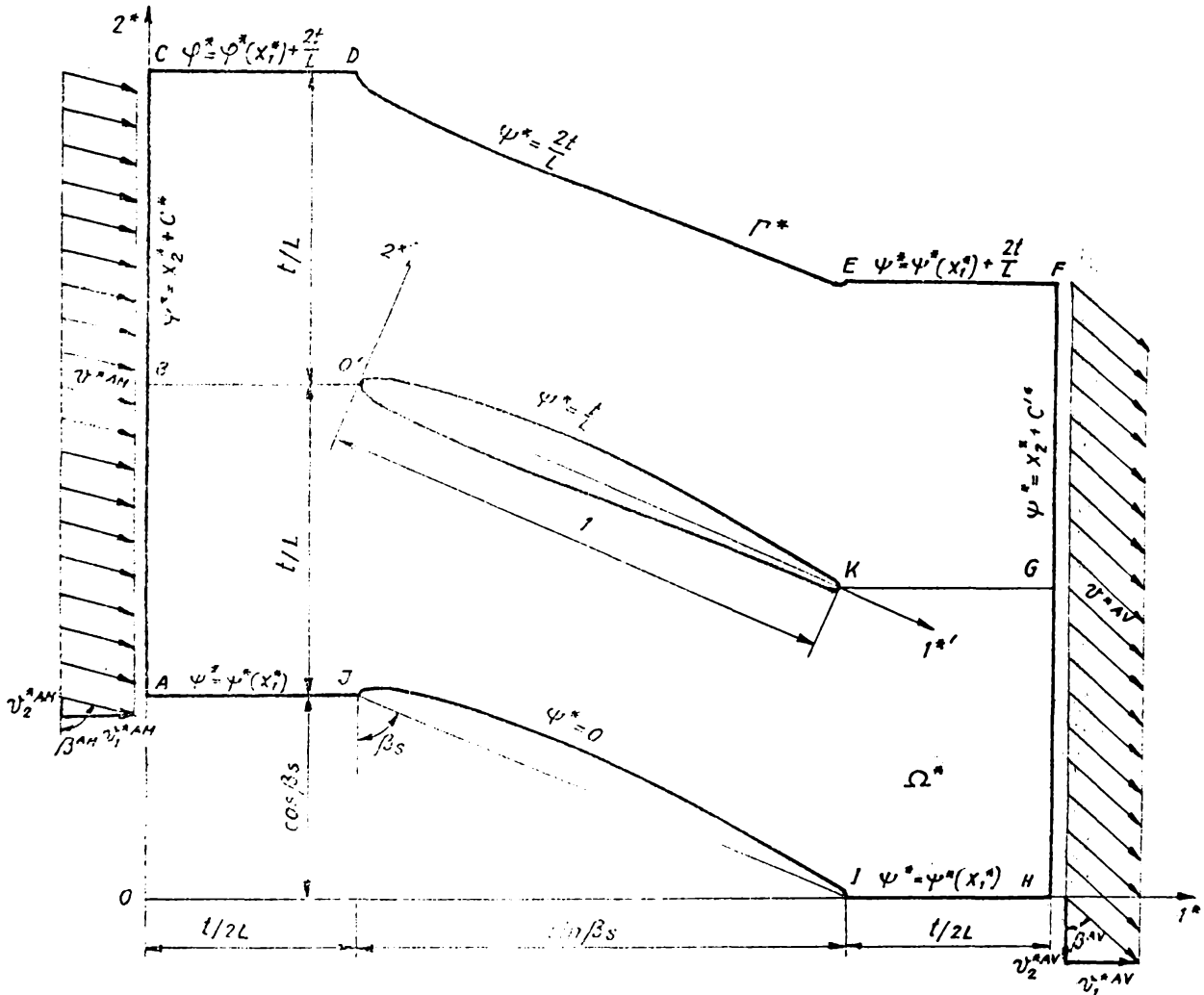


Fig.5.3 Condiții la limită pentru funcția Ψ^* .

În (5.12) respectiv (5.13) am folosit periodicitatea câmpului de viteze v_i^* date de relațiile omoloage lui (5.2) și (5.3)

$$\Psi^*(x_1^*, x_2^* + ktL^{-1}) = \Psi^*(x_1^*, x_2^*) + ktL^{-1} \quad (5.14)$$

$$\Psi_{/i}^*(x_1^*, x_2^* + ktL^{-1}) = \Psi_{/i}^*(x_1^*, x_2^*) \quad (5.15)$$

Pentru soluționarea problemei rămâne de determinat în (5.13) constantele C^* și C'^* și de a admite o variație a lui Ψ^* pe părțile AJ și IH ale frontierei. Constantele C^* și C'^* se determină din condițiile cinematice de intrare respectiv de ieșire pe părțile AC respectiv FH ale frontierei. Pentru precizarea funcției $\Psi^*(x_1^*)$ se va folosi un procedeu iterativ. Se caută o variație inițială a lui $\Psi^*(x_1^*)$ pe părțile AJ și IH pentru care pro-

procedul iterativ este eficient. Dacă notăm cu $\psi^{(1)}$ prima iterație atunci soluția va da și valorile lui ψ^* pe BO' și KG . Atunci cu (5.14) condițiile la limită pentru iterația 2-a vor fi pe AJ și IH

$$\begin{aligned} \psi^{(2)}|_{AJ} &= \psi^{(1)}|_{BO'} - tL^{-1} \\ \psi^{(2)}|_{IH} &= \psi^{(1)}|_{KG} - tL^{-1} \end{aligned} \quad (5.16)$$

$$\begin{aligned} \psi^{(2)}|_{CO} &= \psi^{(1)}|_{BO'} + tL^{-1} \\ \psi^{(2)}|_{EF} &= \psi^{(1)}|_{KG} + tL^{-1} \end{aligned} \quad (5.17)$$

respectiv pentru iterația $k+1$

$$\begin{aligned} \psi^{(k+1)}|_{AJ} &= \psi^{(k)}|_{BO'} - tL^{-1} \\ \psi^{(k+1)}|_{IH} &= \psi^{(k)}|_{KG} - tL^{-1} \end{aligned} \quad (5.18)$$

$$\begin{aligned} \psi^{(k+1)}|_{CO} &= \psi^{(k)}|_{BO'} + tL^{-1} \\ \psi^{(k+1)}|_{EF} &= \psi^{(k)}|_{KG} + tL^{-1} \end{aligned} \quad (5.19)$$

Relația (5.15) arată când se oprește procedeul iterativ, în cazul când este eficient

$$\begin{aligned} \psi_{/2^*}^{(k)}|_{AJ} &\cong \psi_{/2^*}^{(k)}|_{BO'} \cong \psi_{/2^*}^{(k)}|_{CO} \\ \psi_{/2^*}^{(k)}|_{IH} &\cong \psi_{/2^*}^{(k)}|_{KG} \cong \psi_{/2^*}^{(k)}|_{EF} \end{aligned} \quad (5.20)$$

5.3.2 Formularea în potențialul vitezei

Cu schimbarea de variabilă (3.16) și de funcție

$$\varphi^* = 2tL^{-1}Q^{-1} \quad (5.21)$$

(2.11) și (2.6) devin (4.20) respectiv (4.21) cu legătura între viteze dată (5.1c) și aceleași componente constante (5.11). Condițiile la limite (5.6) devin

$$\left\{ \begin{array}{ll} \varphi_{/m}^* = 0 & \text{pe } DE, JJ \text{ și frontiera profilului} \\ & \text{interior} \\ \varphi_{/2^*}^* = f^*(x_1^*) & \text{pe } CD \text{ și } AJ \\ \varphi_{/2^*}^* = g^*(x_1^*) & \text{pe } EF \text{ și } IH \\ u_1^{*AM} = u_1^{*AV} = 1 & \text{pe } AC \text{ și } FH \end{array} \right. \quad (5.22)$$

adică

$$\left\{ \begin{array}{l} \varphi_{1n}^* = 0 \text{ pe DE, JI și frontiera profilului} \\ \text{interior} \\ \varphi_{12}^* = f(x_1^*) \text{ pe CD și AJ} \\ \varphi_{12}^* = g(x_1^*) \text{ pe EF și IH} \\ \varphi_{1n}^* = 1 \text{ pe AC și FH} \end{array} \right. \quad (5.23)$$

în care am folosit perpendicularitatea câmpului de viteze dată de

$$\varphi_{1i}^*(x_1^*, x_2^* + k(tL^{-1})) = \varphi_{1i}^*(x_1^*, x_2^*) \quad (5.24)$$

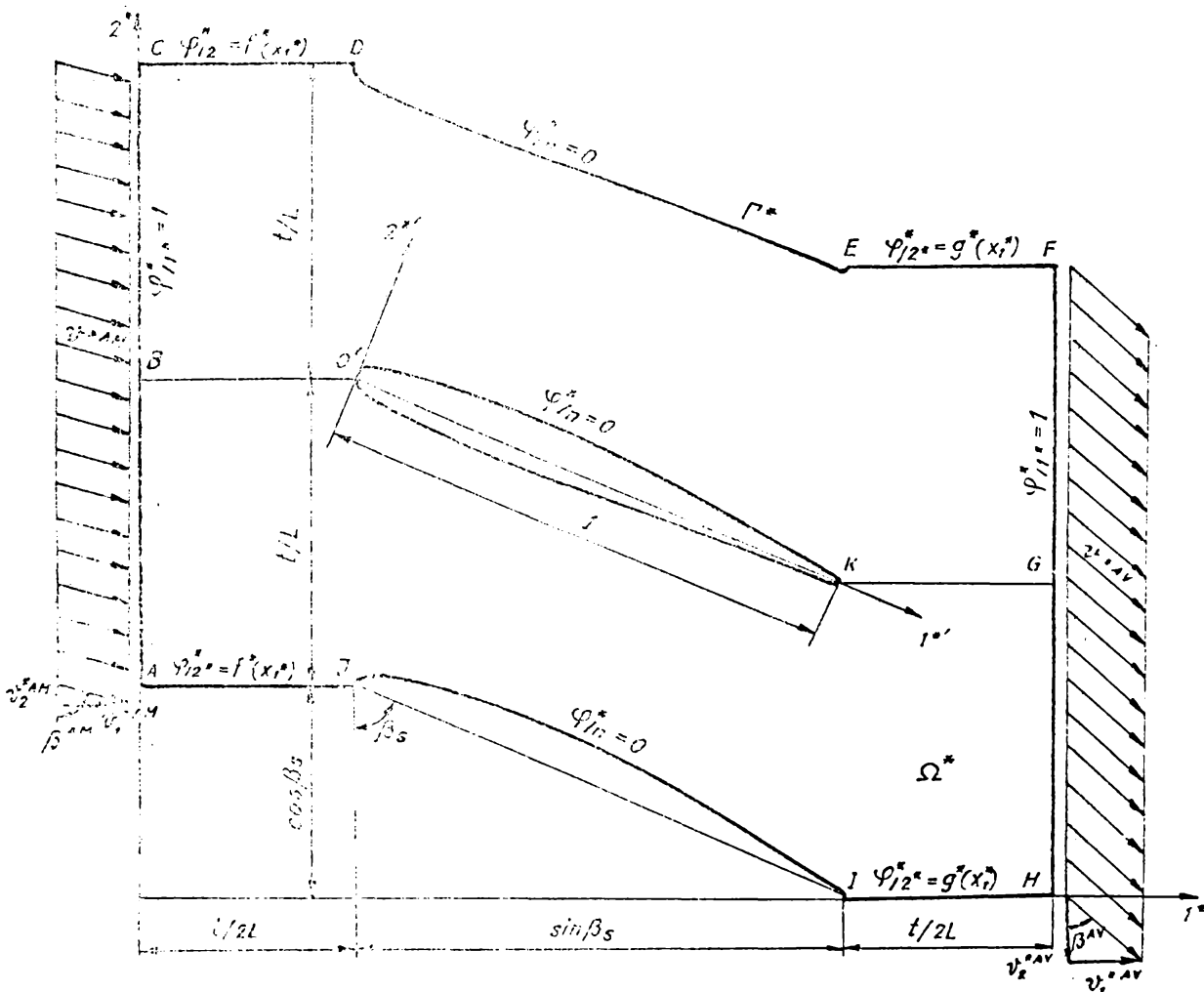


Fig.5.4 Condiții la limită pentru funcția φ^* .

La condițiile la limită (5.23) se mai adaugă o condiție pentru φ^* (altfel matricea sistemului linear este singulară); de exemplu $\varphi^* = 0$ în punctul \bar{H} .

Funcțiile $f(x_1^*)$ și $g(x_1^*)$ pot fi precizate folosind un procedeu iterativ analog celui prezentat la 5.3.1. Ele însă pot

fi determinate imediat considerând rezolvată problema în Ψ . Din (4.24) se obține

$$\{\psi_1^* = -\Psi_{11}^* = \psi_2^*(x_1^*) \quad \text{pe } CD \text{ și } AJ \quad (5.25)$$

$$g^*(x_1^*) = -\Psi_{11}^* = \psi_2^*(x_1^*) \quad \text{pe } EF \text{ și } IH \quad (5.26)$$

5.4 Determinarea mișcării prin M.E.F.

Vom folosi tot tratarea în formă adimensională. Pentru determinarea mișcării în jurul rețelei de profile rămân valabile toate considerațiile de la 4.4 ; 4.5 ; 4.6 ; 4.7 ; 4.8 și 4.11. Pentru calculul termenilor liberi F_N , în formularea în potențialul vitezei pot fi făcute câteva precizări. Termenii liberi F_N sînt dați (4.23) iar pe frontierele domeniului de analiză ei vor avea formă simplificată

(i) pe AJ și IH ; $m_1=0$; $m_2=1$

$$F_N = \frac{\rho}{3} \begin{bmatrix} \psi_2^1 + \frac{1}{2} \psi_2^2 \\ \frac{1}{2} \psi_2^1 + \psi_2^2 \end{bmatrix} \quad (5.27)$$

(ii) pe CD și EF ; $m_1=0$; $m_2=-1$

$$F_N = -\frac{\rho}{3} \begin{bmatrix} \psi_2^1 + \frac{1}{2} \psi_2^2 \\ \frac{1}{2} \psi_2^1 + \psi_2^2 \end{bmatrix} \quad (5.28)$$

(iii) pe AC ; $m_1=1$; $m_2=0$; $\psi_1^1 = \psi_1^2 = 1$

$$F_N = \frac{\rho}{2} \begin{bmatrix} 1 \\ 1 \end{bmatrix} \quad (5.29)$$

(iv) pe FH ; $m_1=-1$; $m_2=0$; $\psi_1^1 = \psi_1^2 = 1$

$$F_N = -\frac{\rho}{2} \begin{bmatrix} 1 \\ 1 \end{bmatrix} \quad (5.30)$$

5.5 Determinarea cîmpului de viteze

Rămîn valabile considerațiile de la 4.9 cu deosebire doar \bar{v} , dat 4.61 în 4.91, o vom defini prin raportare la v^{AM} adi-

$$\bar{v} = v \cdot v^{AM^{-1}} \quad (5.31)$$

5.6 Determinarea cîmpului de presiuni

Se obține analog lui 4.10

$$p - p^{AM} = \frac{\rho}{2} (v^{AM^2} - v^2) \quad (5.32)$$

sau raportat la $2^{-1} \rho v^{AM^2}$

$$\bar{p} = (\rho - \rho^{AM}) 2^{-1} v^{AM^2} = 1 - \bar{v}^2 \quad (5.33)$$

adică tot (4.67).

5.7 Determinarea circulației și a coeficientului de portanță

5.7.1 Determinarea circulației

Circulația vitezei în jurul profilului de contur C este

$$\Gamma^V = \oint_C v_i dx_i \quad (5.34)$$

Dacă mișcarea este potențială atunci Γ^V este dată de deflecția curentului prin

$$\Gamma^V = t (v_2^{AV} - v_2^{AM}) \quad (5.35)$$

iar căderea de presiune între amonte și aval

$$\rho^{AM} - \rho^{AV} = 2^{-1} \rho (v_2^{AV^2} - v_2^{AM^2}) \quad (5.36)$$

Introducând media vectorială \bar{v}_i^∞ a vitezelor prin

$$\bar{v}_i^\infty = \frac{1}{2} (v_i^{AM} + v_i^{AV}) \quad (5.37)$$

(5.36) devine, folosind (5.35) și (5.37)

$$\rho^{AM} - \rho^{AV} = \rho \bar{v}_2^\infty \Gamma^V t^{-1} \quad (5.38)$$

În formă adimensională, utilizând (3.20) și

$$\Gamma^{*V} = 2t L^{-1} Q^{-1} \Gamma^V \quad (5.39)$$

rezultă, cu (5.10)

$$\Gamma^{*V} = \oint_{C^*} v_i^* dx_i^* \quad (5.40)$$

și

$$\Gamma^{*V} = t L^{-1} (v_2^{*AV} - v_2^{*AM}) \quad (5.41)$$

Folosind acum \bar{v}_i^* și \bar{p} dați de (5.31) și (5.33) circulația devine

$$\bar{\Gamma}^V = \oint_{C^*} \bar{v}_i^* dx_i^* \quad (5.42)$$

respectiv

$$\bar{\Gamma}^V = t L^{-1} (\bar{v}_2^{*AV} - \bar{v}_2^{*AM}) \quad (5.43)$$

cu

$$\bar{v}_i^* = \frac{1}{2} (\bar{v}_i^{*AM} + \bar{v}_i^{*AV}) \quad (5.44)$$

căderea de presiune dată de (5.38) devine (cu semn schimbat)

$$\bar{p}^{AV} = (\rho^{AV} - \rho^{AM}) 2 \rho^{-1} v^{AM-2} = (\bar{v}_2^{AM-2} - \bar{v}_2^{AV-2}) = -2 \bar{t}^{-1} L \bar{v}_2^\infty \bar{\Gamma}^V \quad (5.45)$$

în (5.43) se observă că, pentru o deflecție dată, circulația depinde liniar de pasul rețelei

5.7.2 Determinarea coeficientului de portanță

Forța de acțiune \vec{F} a lichidului asupra profilului dispus în rețea este

$$\vec{F} = \oint_C \bar{p} n_i ds \quad (5.46)$$

cu două componente

$$F_1 = \oint_C \bar{p} dx_2 \quad ; \quad F_2 = \oint_C \bar{p} dx_1 \quad (5.47)$$

iar mărimea ei

$$F = (F_1^2 + F_2^2)^{1/2} \quad (5.48)$$

este ortogonală pe suportul lui \vec{v}^∞ .

În cadrul mișcării potențiale între \vec{F} și Γ^V există o relație directă și anume

$$F_1 = \rho v_2^\infty \Gamma^V \quad (5.49)$$

$$F_2 = -\rho v_1^\infty \Gamma^V \quad (5.50)$$

$$F = \rho v^\infty \Gamma^V \quad (5.51)$$

Coeficientul de portanță C^F este definit prin

$$C^F = 2 \rho^{-1} v^{AM-2} L^{-1} F \quad (5.52)$$

adică

$$C^F = (C_1^{F^2} + C_2^{F^2})^{1/2} \quad (5.53)$$

unde

$$C_i^F = \oint_{C^*} \bar{p} n_i ds^* \quad (5.53')$$

și folosită este forma \tilde{C}^F pentru coeficientul de portanță dată

$$\tilde{C}^F = 2 \rho^{-1} v^\infty L^{-1} F \quad (5.54)$$

adică

$$\tilde{C}^F = (\tilde{C}_1^F{}^2 + \tilde{C}_2^F{}^2)^{1/2} \quad (5.55)$$

avem legăturile

$$\tilde{C}_1^F = 2 \sqrt{V_2^\infty} \sqrt{V_1^\infty}^{-2} \rho V \quad (5.56)$$

5.8 Exemplu de calcul

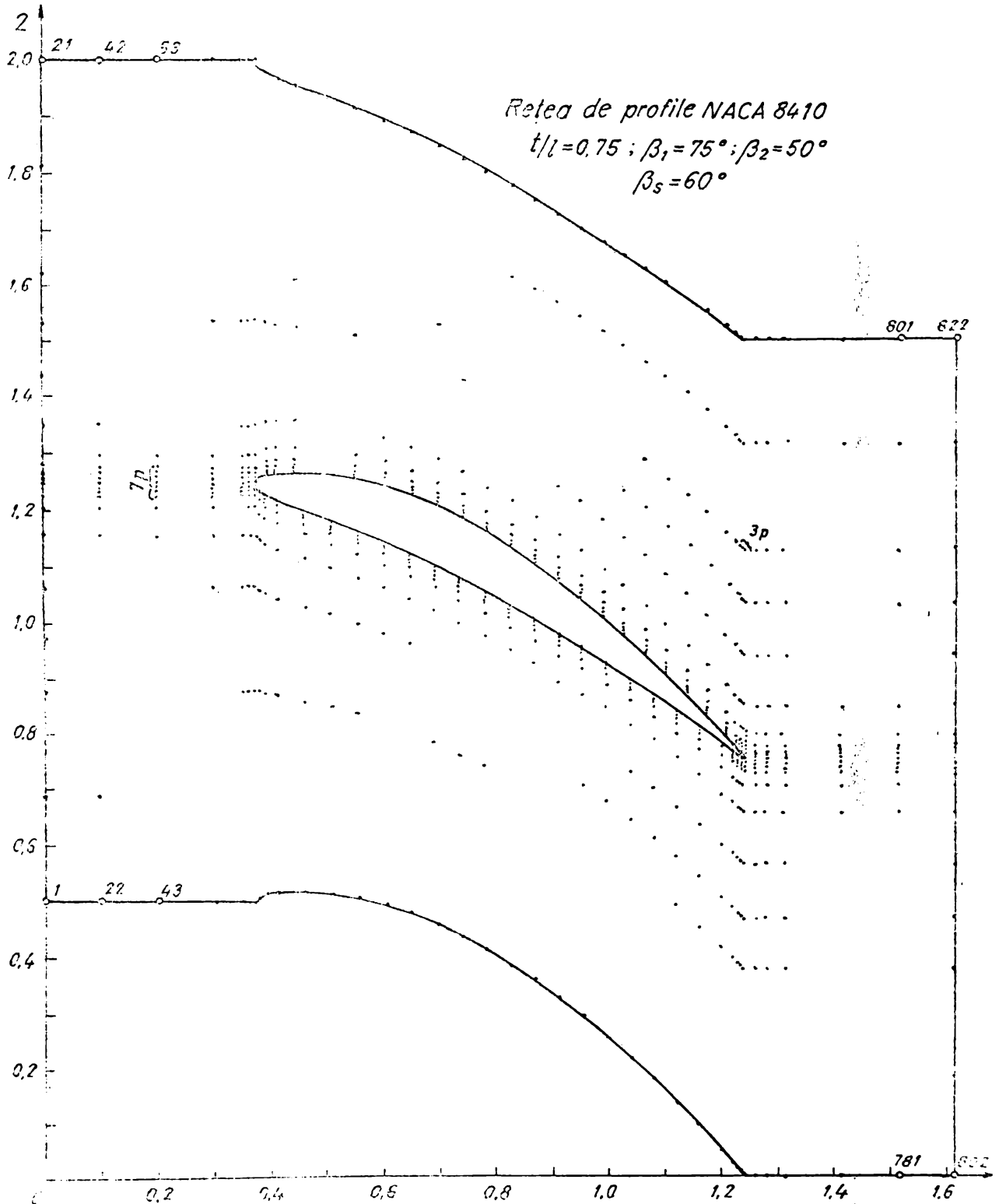


Fig.5.5 Discretizarea domeniului

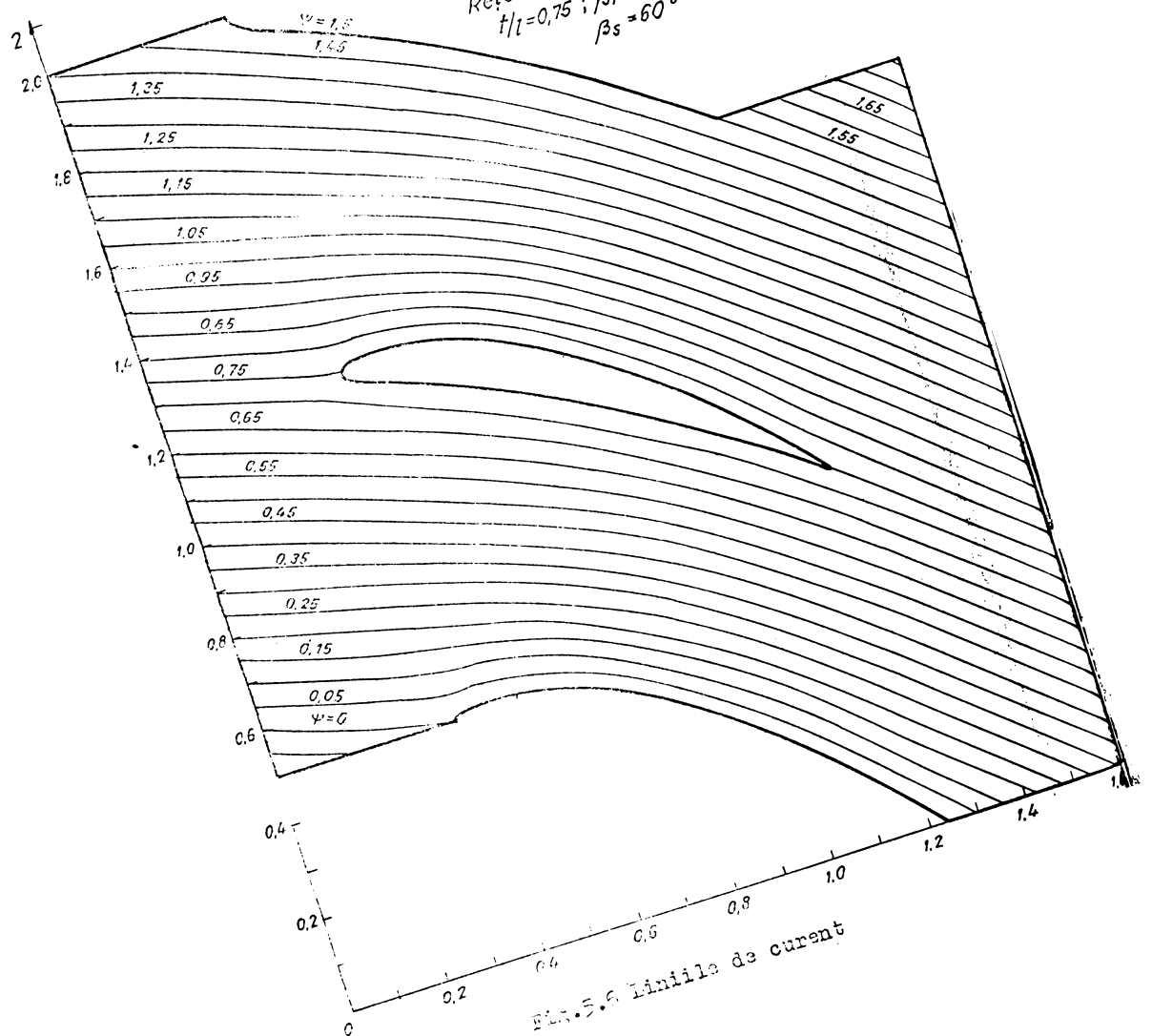
(5.57)

(5.58)

$$\bar{C}_2^F = -2\bar{V}_1^\infty \bar{V}^\infty \cdot \bar{F}^N$$

$$\bar{C}^F = 2\bar{V}^\infty \cdot \bar{F}^N$$

Rețea de profile NACA 8410
 $t/l = 0,75$; $\beta_1 = 75^\circ$; $\beta_2 = 50^\circ$
 $\beta_3 = 60^\circ$



Metoda a fost aplicată unei rețele de profile aerohidro-dinamice axiale de turbină constituită din profile NACA 8416 cu următorii parametri $t/L = 0,75$; $\beta_1 = 75^\circ$; $\beta_2 = 50^\circ$; $\beta_3 = 60^\circ$. În cele ce urmează este dată rezolvarea complexă a mișcării potențiale și fără evoluție a unui lichid în jurul rețelei menționate considerând următorul domeniu de analiză, folosind formularea în Ψ .

5.8.1 Domeniul de analiză

Considerând caurda profilului unitară, domeniul de analiză a fost considerat cel din fig.5.3. În fig.5.5 este prezentată discretizarea domeniului în elemente finite izoparametrice. Programul de discretizare a domeniului a fost astfel conceput încît punctele nodale să fie mai numeroase în apropierea profilului interior (vezi și 4.12.1). Au rezultat astfel 740 elemente finite ($E = 740$) și 822 noduri ($G = 822$) din care 50 pe frontiera profilului interior.

5.8.2 Realizarea programului de calcul

Rezolvarea problemei a fost obținută cu ajutorul programului MISPIANR în cadrul căruia au fost utilizate subprogramele

- (i) DISCRET (vezi 3.12.2 (i))
- (ii) SISTEM (vezi 3.12.2 (ii))
- (iii) VITORG care realizează

1. determinarea vitezelor în nodurile rețelei
2. determinarea vitezelor în nodurile de pe frontiera profilului
3. determinarea presiunilor în nodurile de pe frontiera profilului
4. calculul circulației
5. calculul căderii de presiune

(iv) CAUT 4 (vezi 3.12.2 (iv))

(v) CONDLIN (vezi 4.12.2 (v))

(vi) COMEPT care

1. calculează coeficientul de portanță

5.8.3 Rezultate numerice

În fig.5.6 sînt prezentate liniile de curent $\Psi = \text{constant}$ în domeniul de analiză considerat. În fig.5.7 este dată variația vitezei \bar{v} în lungul profilului iar în fig.5.8 variația presiunii \bar{p} în lungul profilului.

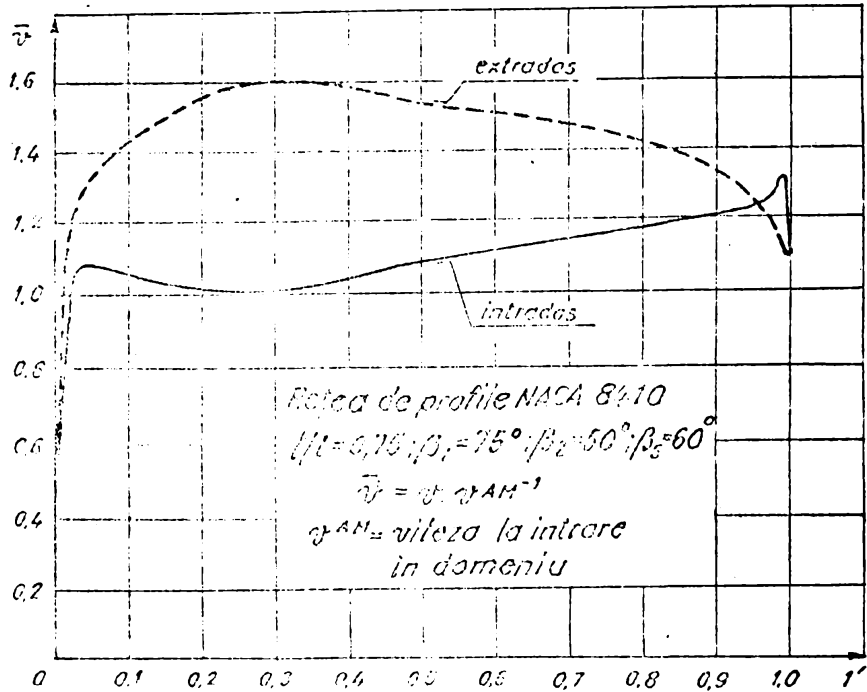


Fig.5.7 Câmpul de viteze pe frontiera profilului

5.5.4 Comparații cu alte metode

În cazul mișcării potențiale plane și fără evoluție a unui fluid incompresibil în jurul unei rețele de profile axiale parametrii integrali ai rețelei (în formă adimensională) : circulația $\bar{\Gamma}^v$, căderea de presiune \bar{p}^{AV} și coeficientul de portanță \tilde{C}^F sînt legați de unghiul tL^A și deflecția curentului $\bar{v}_2^{AV} - \bar{v}_2^{AM}$ prin formulele (5.42), (5.43) și (5.53). În tabelul ce urmează sînt dați comparativ cei doi parametri integrali calculați cu ajutorul câmpului de viteze și respectiv presiunii, dați de (5.42) și (5.53'), determinate cu ajutorul M.E.F.

Parametrul integral		Teoretic	M.E.F.
Circulația $\bar{\Gamma}^v$	$\bar{\Gamma}^v$	0,4133	0,4080
Căderea de presiune	$-\bar{p}^{AV}$	0,5699	0,5518
Coeficientul de portanță	\tilde{C}^F	0,7496	0,7520

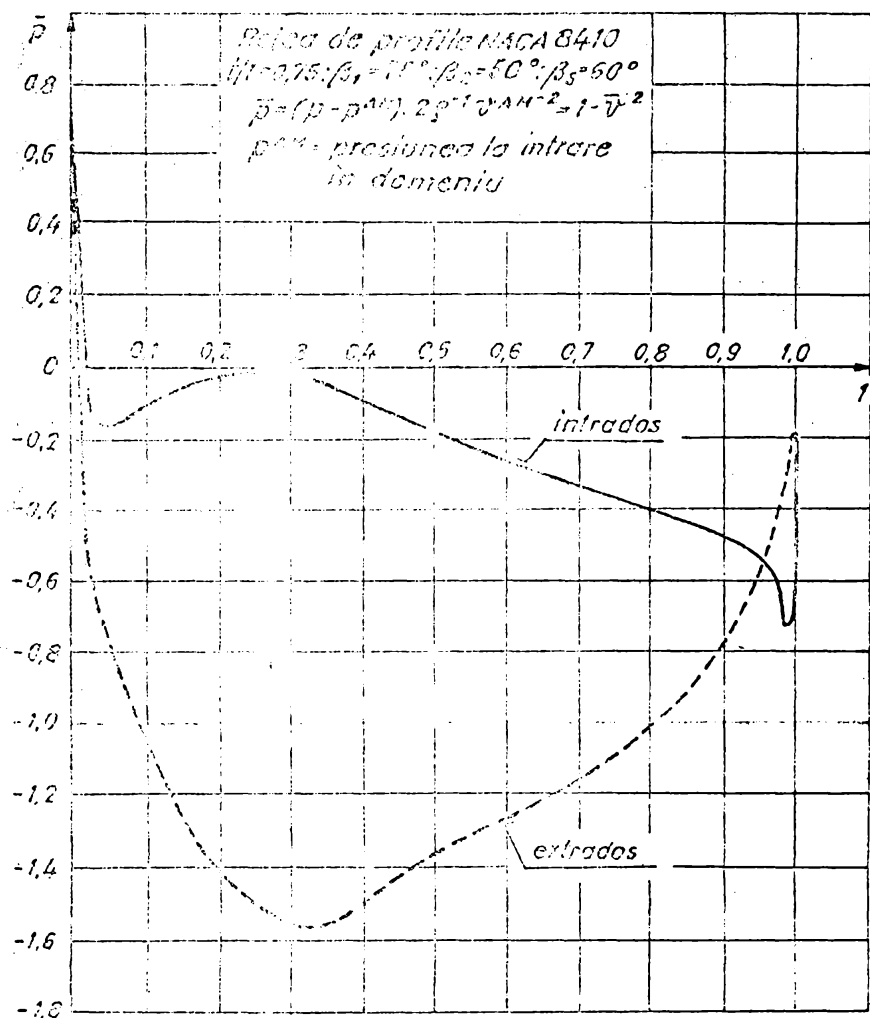


Fig.5.8 Câmpul de presiuni pe frontiera profilului

În fig.5.9 este dat comparativ câmpul de presiuni pe frontiera profilului determinat cu M.S.F. și prin alte metode teoretice și experimentale. În tabel coeficientul de portanță determinat din câmpul de presiuni pe frontiera profilului.

5.9 Determinarea liniilor de egal potențial al vitezei

Formulara de la 5.3.2 poate fi folosită numai în cazul în care potențialul ψ al vitezei este o funcție uniformă pe domeniul de analiză considerat. Aceasta este echivalent cu o mișcare fără circulație în jurul profilelor deci 5.3.2 poate fi folosită numai în cazul particular al rețelelor de profile ce nu realizează deflecție.

Existența circulației în jurul profilelor ce compun rețeaua de profile înseamnă că potențialul vitezei să fie o funcție multiformă, saltul ei fiind tocmai circulația. Pentru a aduce potențialul complex la forma uniformă domeniul mișcării trebuie transformat într-un simplu conex.

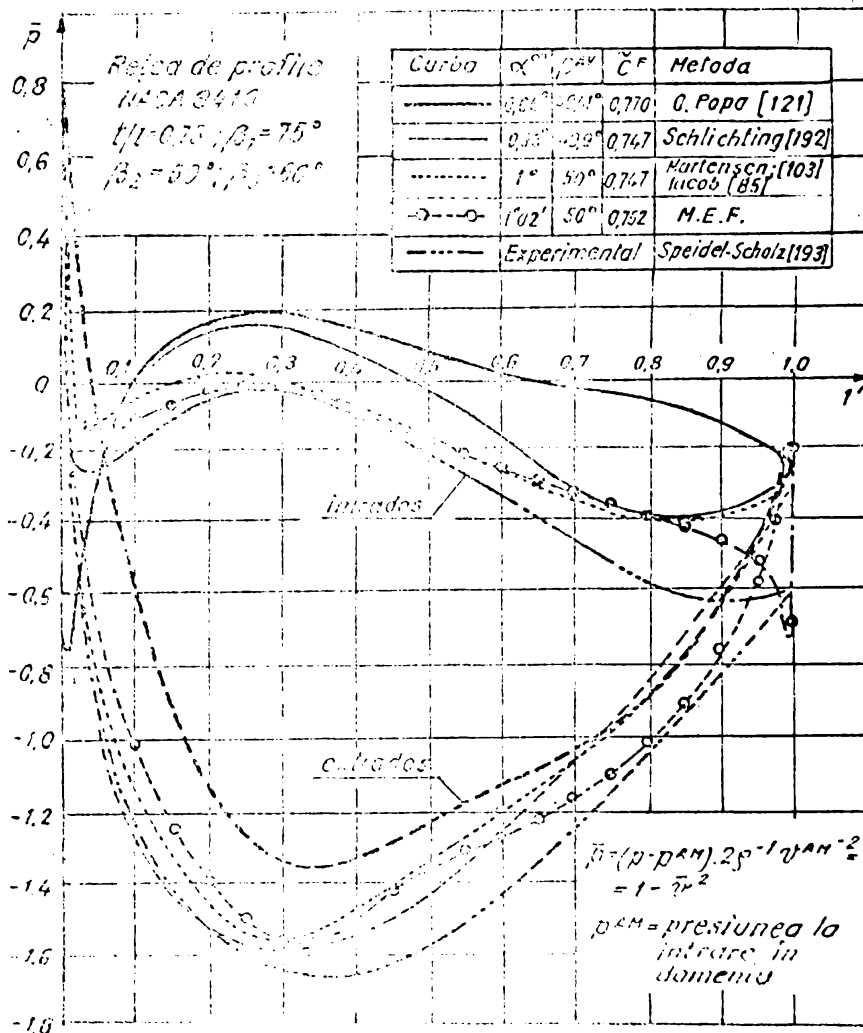


Fig. 5.9 Câmpul de presiuni pe frontiera profilului. Comparatii cu alte metode teoretice și experimentale

Metoda	\bar{C}_F	Abateră absolută de la val. teoretică	Abateră relativă de la val. teoretică
teoretic	0,7600	-	-
O. Popa	0,7700	0,0204	2,721%
Schlichting	0,7470	-0,0026	-0,347%
Martensen-K. Lucob	0,7470	-0,0026	-0,347%
M.E.F.	0,7520	0,0024	0,320%

unde

$$\varphi_J = \varphi_I + \int_I^J u_i dx_i \quad (5.64)$$

$$\varphi_D = \varphi_E + \int_E^D u_i dx_i \quad (5.65)$$

5.9.2 Tratatrea în formă adimensională

Cu schimbarea de variabilă (3.16) și de funcție (5.21) ecuația (2.11) devine (4.20) iar condițiile la limită (5.63) devin, folosind forma (5.40)

$$\left\{ \begin{array}{ll} \varphi_m^* = 0 & \text{pe } DE, JI \text{ și frontiera profilului interior} \\ \varphi^*(x_1^*) = \int_0^{x_1^*} u_1^* dx_1^* & \text{pe IH} \\ \varphi^*(x_1^*) = \int_J^{x_1^*} u_1^* dx_1^* + \varphi_J^* & \text{pe AJ} \\ \varphi^*(x_1^*) = \int_0^{x_1^*} u_1^* dx_1^* + \varphi_D^* & \text{pe CD} \\ \varphi^*(x_1^*) = \int_F^{x_1^*} u_1^* dx_1^* + \varphi_F^* & \text{pe EF} \\ \varphi^*(x_1^*) = \int_0^{x_1^*} u_1^* dx_1^* + \varphi_G^* & \text{pe } KG_{\text{inferior}} \\ \varphi^*(x_1^*) = \int_0^{x_1^*} u_1^* dx_1^* + \varphi_G^* - \Gamma^v & \text{pe } KG_{\text{superior}} \\ \varphi^*(x_2^*) = \int_0^{x_2^*} u_2^* dx_2^* & \text{pe HG} \\ \varphi^*(x_2^*) = \int_G^{x_2^*} u_2^* dx_2^* + \varphi_G^* - \Gamma^v & \text{pe GF} \\ \varphi^*(x_2^*) = \int_A^{x_2^*} u_2^* dx_2^* + \varphi_A^* & \text{pe AC} \end{array} \right. \quad (5.66)$$

În locul condițiilor la limită (5.66) pot fi folosite și variante în sensul că pe unele părți ale frontierei exterioare a domeniului de analiză pot fi impuse condiții la limită naturale. Astfel din legătura (2.8) pot fi determinate derivatele normale $\varphi_{1,1}^*$ și $\varphi_{1,2}^*$

$$\varphi_{1,1}^* = \varphi_{1,2}^* \quad \text{pe AC și FH} \quad (5.67)$$

$$\varphi_{1,2}^* = -\varphi_{1,1}^* \quad \text{pe AJ, IH, CD și EF} \quad (5.68)$$

Dacă se folosesc numai condiții la limită naturale, matricea sistemului global este singulară. Din acest motiv într-un punct (de exemplu în H) se pune o condiție la limită esențială, de exem-

plu $\psi^* = 0$.

Calculul numeric în aceste variante este însă mai complicat deoarece derivatele normale de pe frontieră introduc termeni liberi nenuli.

5.9.3 Rezultate numerice

Metoda a fost aplicată aceleiași rețele prezentată la 5.8. Discretizarea domeniului a fost făcută tot în elemente finite izo-

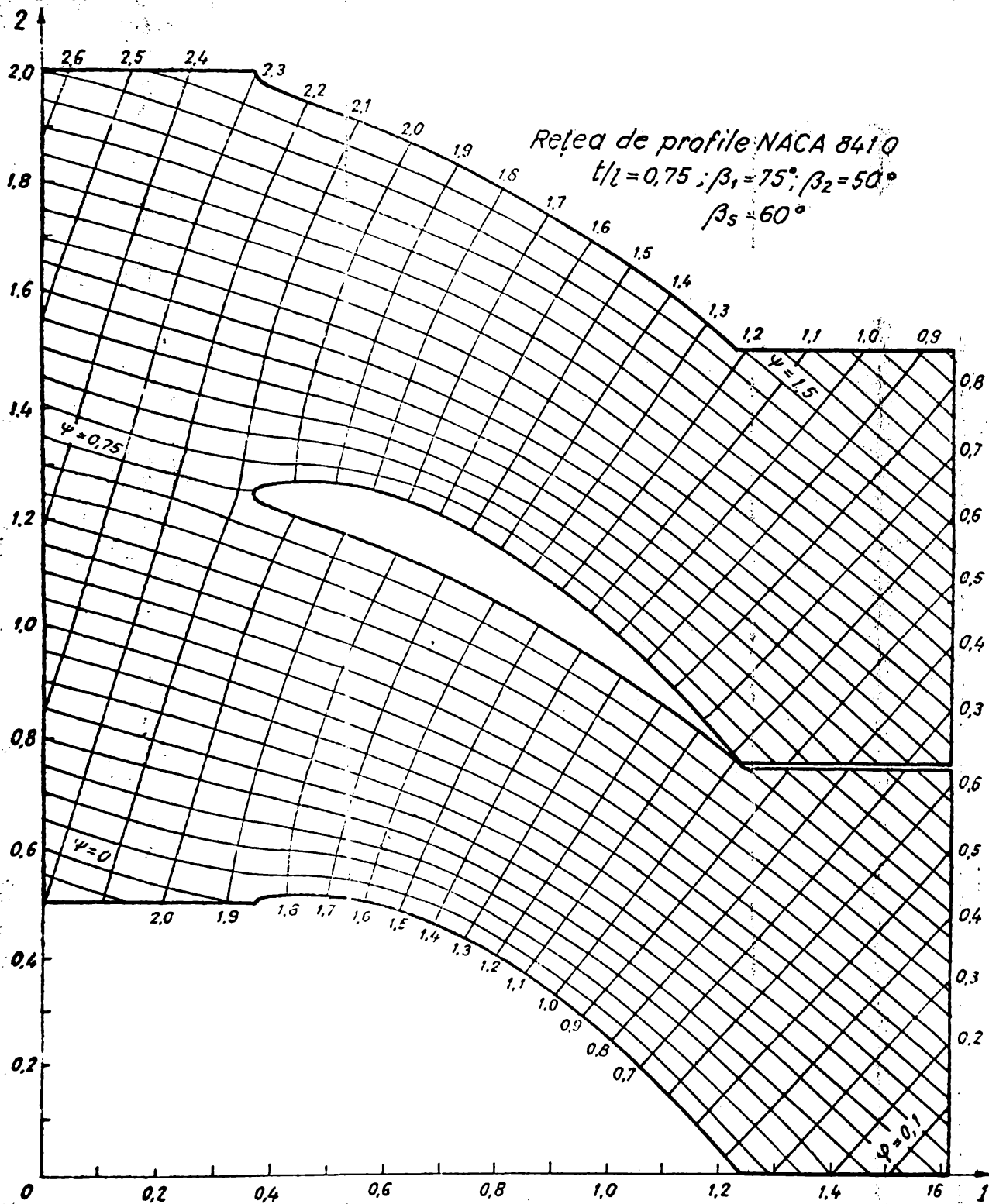


Fig.5.10 Cîmpul hidrodinamic

parametrice ca în fig.5.5 cu deosebirea că pe segmentul KG apar două rânduri, unul superior și unul inferior (din simpla conexitate a domeniului de analiză). Au rezultat astfel 740 elemente finite ($E = 740$) și 829 noduri ($G = 829$), din care 50 pe frontiera profilului interior. Pentru rezolvarea problemei în programul principal MISPLANR, prezentat la 5.2.2, a fost introdusă o nouă subrutină PEAREANJ care realizează discretizarea modificată datorită dublării nodurilor pe segmentul KG. În fig.5.10 este prezentat câmpul hidrodinamic al mișcării. În lungul segmentului KG se observă saltul potențialului φ

DETERMINAREA MISCARII IN JURUL REȚELELOR DE PROFILE RADIAL-AXIALE
FIXE CU CIRCULAȚIE DATA

6.1 Generalități

În continuarea considerațiilor de la 3.1 ne propunem să determinăm mișcarea în jurul unei rețele de profile radial-axiale așezată pe o suprafață de curent presupusă de revoluție, fiind cunoscută circulația vitezei în jurul profilelor sau echivalent condițiile cinematice de intrare respectiv de ieșire. Analog cu cele de la 5.1 aceasta înseamnă determinarea liniilor de curent, a liniilor de egal potențial al vitezei (ambele curbe considerate conținute în suprafața de revoluție suport) și a câmpului de viteză și presiuni în domeniul mișcării de pe suprafața de revoluție.

6.2 Transformarea conformă a rețelei radial-axiale

Tratarea directă a problemei pe suprafața de revoluție întâmpină dificultăți extrem de mari (mecanica fluidelor într-un spațiu riemannian bidimensional). Din acest motiv suprafețele de curent (care sînt nedesfășurabile) se reprezintă conform pe un plan, cu păstrarea grosimii variabile a stratului de fluid dintre două suprafețe de curent infinit vecine.

6.2.1 Sistemul special de coordonate. Metrica spațiului

Să considerăm o secțiune axială prin zona paletată a unei turbomașini radial-axiale.

Un sistem natural de coordonate q^i poate fi introdus cu ajutorul următoarelor trei familii de suprafețe: $\{110\}$, $\{142\}$, $\{152\}$, $\{169\}$, $\{177\}$, $\{178\}$

(i) S_1 - suprafețe de revoluție ortogonale pe suprafețele de curent

(ii) S_2 - semiplane axiale

(iii) S_3 - suprafețe de curent de revoluție

S_1 poate fi, de exemplu, suprafețe de egal potențial al vitezei pentru mișcarea axial-simetrică în rotorul nepaletat.

Fixînd originea 0 a sistemului de coordonate, curbele de coordonate sînt date de

$$q^i = S_j \cap S_k \quad i, j, k = 1, 2, 3 \text{ distincte} \quad (6.1)$$

și ele reprezintă

(i) Curba q^1 - după meridianul suprafeței de curgere S_3 care conține punctul 0

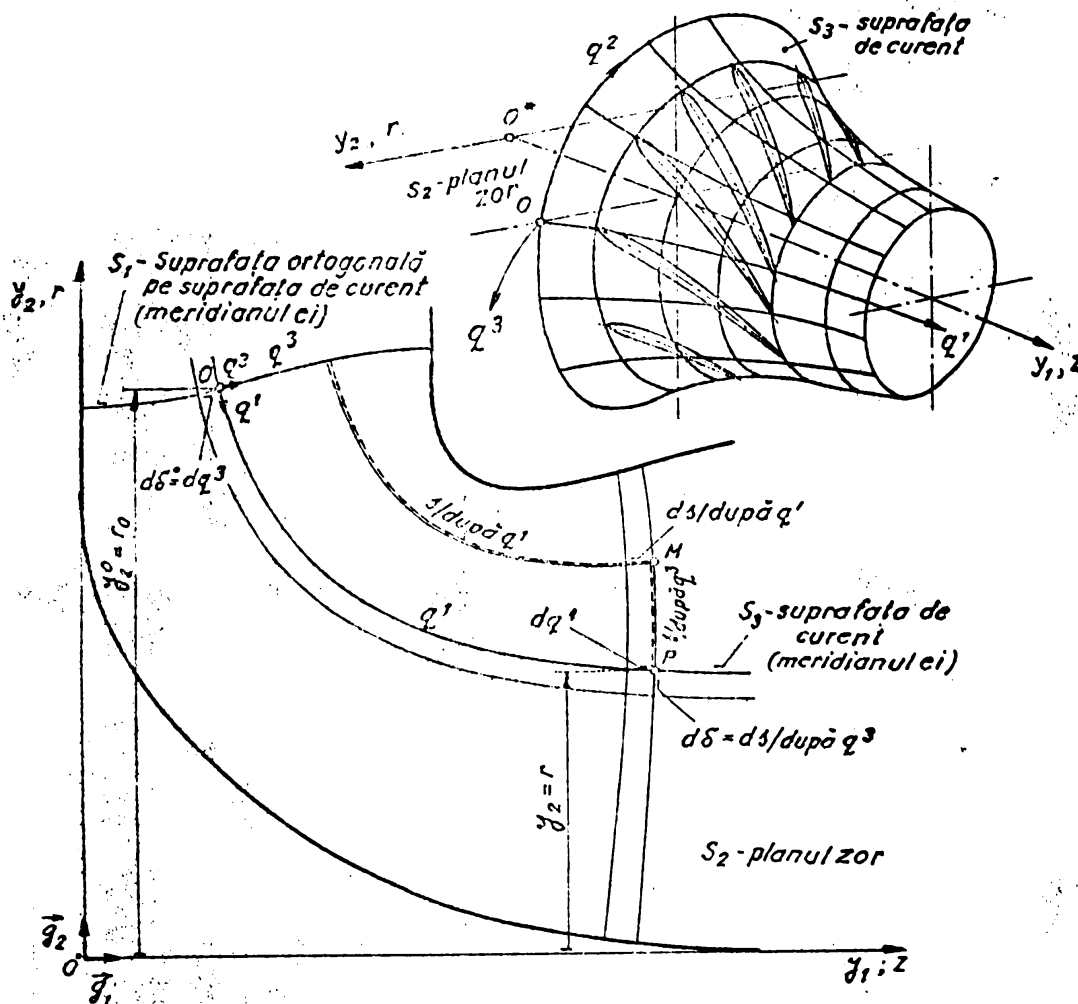


Fig.6.1 Sistemul special de coordonate

(ii) Curba q^2 - după cercul de rază R_0 (ce conține pe O) cu planul normal pe axa O^*z .

(iii) Curba q^3 - după meridianul suprafeței ortogonale pe suprafața de curent și care conține punctul O .

Se observă că sistemul de coordonate q^i este ortogonal și el introduce metrica

$$g_{ii} = h_i^2 \tag{6.2}$$

unde h_i sînt factorii de scară. Pentru o distanță elementară ds în direcția coordonatei q^i factorii de scară sînt dați de

$$ds = h_i dq^i \tag{6.3}$$

sublinierea indicelui însemnînd că nu se face sumare după el.

Fie acum un punct de pe suprafața de curent de meridian axa q^1 (deci care conține originea O). Pentru ds în lungul lui q^1 , (ds) avem evident

$$h_1 = (ds/după q^1)(dq^1)^{-1} = 1 \tag{6.4}$$

Pentru ds după q^2 , $(ds/după q^2)$

$$h_2 = (ds|_{\text{după } q^2})(dq^2)^{-1} = r d\theta (r_0 d\theta)^{-1} = r r_0^{-1} \quad (6.5)$$

Pentru ds după q^3 , $(ds|_{\text{după } q^3})$

$$h_3 = (ds|_{\text{după } q^3})(dq^3)^{-1} = d\delta (d\delta^0)^{-1} = h(q^1) \quad (6.6)$$

unde $d\delta$ este distanța (după q^2) dintre două suprafețe de curent infinit vecin. Evident

$$h(0) = 1 \quad (6.7)$$

Deci pentru puncte de pe suprafața de curent ce conține axa q^1 , metrica este, în componente dublu covariante

$$g_{11} = h_1^2 = 1; \quad g_{22} = h_2^2 = r^2 r_0^{-2}; \quad g_{33} = h_3^2 = [h(q^1)]^2 \quad (6.8)$$

iar coeficienții de conexiune sînt dați de

$$\Gamma_{qr}^p = \begin{cases} 0 & \text{dacă } p, q, r \text{ sînt diferiți} \\ \frac{1}{h_i} \frac{\partial h_i}{\partial q^j} & \text{dacă } p=q=r=i=j \\ \text{sau } q=r=i; p=j \\ \text{sau } r=p=i; q=j \\ -\frac{h_i}{h_j^2} \frac{\partial h_i}{\partial q^j} & \text{dacă } p=q=i; r=j \end{cases} \quad (6.9)$$

6.2.2 Ecuatiile mișcării potențiale pe suprafață

Fie câmpul de viteze spațial, în componente contravariante de exemplu, v^i . Mișcarea fiind izocoră, ecuația de continuitate dă

$$v_{//i}^i = 0 \quad (6.10)$$

($//i$ reprezintă derivarea covariantă) adică

$$\frac{\partial v^i}{\partial q^i} + \Gamma_{ji}^i v^j = 0 \quad (6.11)$$

Trecînd la componente fizice ale vitezei $v_{(i)}$ prin

$$v_{(i)} = h_i v^i \quad (6.12)$$

și folosind (6.9) ecuația (6.11) se scrie pe larg

$$\frac{\partial}{\partial q^1} [v_{(1)} h_2 h_3] + \frac{\partial}{\partial q^2} [v_{(2)} h_1 h_3] + \frac{\partial}{\partial q^3} [v_{(3)} h_1 h_2] = 0 \quad (6.13)$$

cau \vec{v} este tangent la suprafața de curgere $v_{(3)} = 0$ și folosind (6.8) ecuația (6.13) devine

$$\frac{\partial}{\partial q^1} [\pi \pi_0^{-1} h v_{(1)}] + \frac{\partial}{\partial q^2} [h v_{(2)}] = 0 \quad (6.14)$$

Condiția ca mișcarea spațială să fie potențială cere

$$\epsilon^{ijk} g_{kp} v_{/j}^p = 0 \quad (6.15)$$

sau trecînd la componente fizice prin (6.12) și folosind (6.2) și (6.9)

$$\frac{1}{h_j} \frac{\partial v_{(j)}}{\partial q^j} - \frac{1}{h_k} \frac{\partial v_{(k)}}{\partial q^k} + \frac{1}{h_j h_k} \left[v_{(k)} \frac{\partial h_k}{\partial q^j} - v_{(j)} \frac{\partial h_j}{\partial q^k} \right] = 0 \quad (6.16)$$

anulînd a 3-a componentă fizică a lui rot \vec{v} ($j = 1, k = 2$ în (6.16)) se obține

$$\frac{1}{h_1} \frac{\partial v_{(2)}}{\partial q^1} - \frac{1}{h_2} \frac{\partial v_{(1)}}{\partial q^2} + \frac{1}{h_1 h_2} \left[v_{(2)} \frac{\partial h_2}{\partial q^1} - v_{(1)} \frac{\partial h_1}{\partial q^2} \right] = 0 \quad (6.17)$$

care cu (6.8) devine

$$\frac{\partial v_{(2)}}{\partial q^1} - \pi_0 \pi^{-1} \frac{\partial v_{(1)}}{\partial q^2} + \pi_0 \pi^{-1} v_{(2)} \frac{\partial (\pi \pi_0^{-1})}{\partial q^2} = 0 \quad (6.18)$$

adică

$$\frac{\partial}{\partial q^1} [\pi \pi_0^{-1} v_{(2)}] - \frac{\partial v_{(1)}}{\partial q^2} = 0 \quad (6.19)$$

6.2.3 Transformarea conformă a rețelei radial-axiale

Pentru a valorifica ecuațiile (6.14) și (6.19) este utilă schimbarea de variabilă, [110], [142], [178]

$$\begin{cases} x_1 = \int_0^{q^1} h_1 h_2 dq^1 = \int_0^{q^1} \pi_0 \pi^{-1} dq^1 \\ x_2 = q^2 \end{cases} \quad (6.20)$$

care realizează o transformare geometrică a suprafeței de curent într-un domeniu plan numit planul imagine. (6.20) arată că axele Ox_1 și Ox_2 (de versori \vec{e}_1 și \vec{e}_2) din planul imagine, ce corespund curbelor Oq^1 și Oq^2 de pe suprafața de curent, sînt ortogonale.

Dacă N este numărul profilelor ce compun rețeaua radial-axială, pasul rețelei liniare din planul imagine este

$$t = 2\pi \pi_0 N^{-1} \quad (6.21)$$

ultă deci că (6.20) conservă pasul din dreptul lui π_0 . Scriind (6.20) sub formă diferențială și folosind (6.4) și (6.5) se

obține

$$\frac{dx_1}{dx_2} = h_1 h_2^{-1} \frac{dq^1}{dq^2} = \frac{d\lambda|_{dup\dot{a}q^1}}{d\lambda|_{dup\dot{a}q^2}} \quad (6.22)$$

deci (6.20) este o transformare local conformă, fiindcă este bijectivă și conservă raportul arcelor elementare și care realizează transformarea diferentiabilă a rețelei radial-axiale de pe suprafața de curent S_3 într-o rețea liniară din planul imagine $O12$. Funcția $h(q^1)$ dată de (6.6), care reprezintă fizic în formă adimensională grosimea stratului de fluid dintre două suprafețe de curent infinit vecine, se păstrează prin (6.20) dar devine o funcție $h(x_1)$

6.2.4 Legătura dintre câmpul de viteze din planul imagine cu cel de pe suprafața de curent

În virtutea faptului că (6.20) este o transformare conformă rezultă proprietățile

(i) debitul elementar prin secțiunile elementare normale la axele q^1 respectiv x_1 este același

$$dQ = v_{(1)} (d\lambda|_{dup\dot{a}q^2}) (d\lambda|_{dup\dot{a}q^1}) = v_1 dx_2 (d\lambda|_{dup\dot{a}q^1}) \quad (6.23)$$

de unde, cu (6.5) și (6.20), rezultă

$$v_1 = v_{(1)} h_2 \frac{dq^2}{dx_2} = v_{(1)} h_2 = v_{(1)} r \cdot r_0^{-1} \quad (6.24)$$

(ii) circulația elementară pe arce elementare paralele cu fronturile rețelelor este aceeași

$$d\Gamma^v = v_{(2)} (d\lambda|_{dup\dot{a}q^2}) = v_{(2)} dx_2 \quad (6.25)$$

de unde, cu (6.5) și (6.20) rezultă

$$v_2 = v_{(2)} h_2 \frac{dq^2}{dx_2} = v_{(2)} h_2 = v_{(2)} r \cdot r_0^{-1} \quad (6.26)$$

Din (6.24) și (6.26) rezultă aceeași legătură și între modulele vitezelor

$$v = v_{(1)} \cdot r \cdot r_0^{-1} \quad (6.27)$$

unde $v_{(1)}$ este mărimea fizică a vitezei de pe suprafața de curent.

6.2.5 Ecuatia lui Stokes pentru funcția de curent în planul imagine

Folosind în ecuația (6.14) pe (6.24), (6.26) și (6.20) se obține succesiv

$$\frac{\partial}{\partial q^1} [r r_0^{-1} h(x_1) r^{-1} r_0 v_1] + \frac{\partial}{\partial q^2} [h(x_1) r^{-1} r_0 v_2] = 0 \quad (6.28)$$

$$\{v_1 \cdot h(x_1)\}_{,1} \frac{dx_1}{dq^1} + \{v_2 \cdot h(x_1) \bar{n}^{-1} n_0\}_{,2} \frac{dx_2}{dq^2} = 0 \quad (6.29)$$

$$\{v_1 \cdot h(x_1)\}_{,1} n_0 \bar{n}^{-1} + \{v_2 \cdot h(x_1) \bar{n}^{-1} n_0\}_{,2} = 0 \quad (6.30)$$

și cum $n = n(x_1)$ (din $n = n(q^1)$ și (6.20))

$$\{v_1 \cdot h(x_1)\}_{,1} + \{v_2 \cdot h(x_1)\}_{,2} = 0 \quad (6.31)$$

Observând că din (6.31)

$$[-v_1 \cdot h(x_1)]_{,1} = \{v_2 \cdot h(x_1)\}_{,2} \quad (6.32)$$

membrul stîng al ecuației

$$v_1 \cdot h(x_1) dx_2 - v_2 \cdot h(x_1) dx_1 = 0 \quad (6.33)$$

este o diferențială totală, se poate introduce funcția de curent Ψ prin

$$d\Psi = \Psi_{,i} dx_i = h(x_1) \varepsilon_{ij} v_i dx_j \quad (6.34)$$

din care rezultă cîmpul de viteze

$$v_i = h(x_1) \varepsilon_{ij} \Psi_{,j} \quad (6.35)$$

Din faptul că $\Psi = \text{constant}$ sînt linii de curent în planul imagine, adică

$$\varepsilon_{ij} v_i dx_j = 0 \quad (6.36)$$

rezultă, cu (6.24), (6.26) și (6.20)

$$v_{(1)} h_2 dq^2 - v_{(2)} h_2 h_1 \bar{h}_2^{-1} dq^1 = 0 \quad (6.37)$$

și cu (6.4) și (6.5)

$$v_{(1)} \cdot d\lambda|_{dupa q^1} - v_{(2)} \cdot d\lambda|_{dupa q^2} = 0 \quad (6.38)$$

Deci liniilor de curent din planul imagine le corespund injectiv linii de curent ale mișcării fizice de pe suprafața de curent.

Procedînd analog cu ecuația (6.19) se obține succesiv

$$v_{2/1} \frac{dx_1}{dq^1} - (v_1 \bar{n}^{-1} n_0)_{,2} \frac{dx_2}{dq^2} = 0 \quad (6.39)$$

$$v_{2/1} h_0 \bar{h}^{-1} - v_{1/2} \bar{h}^{-1} h_0 = 0 \quad (6.40)$$

adică

$$v_{1/2} - v_{2/1} = 0 \quad (6.41)$$

Înlocuind acum (6.35) în (6.41) se obține ecuația lui Stokes pentru funcția de curent în planul imagine

$$\{h^{-1}(x_1) \psi_{1/2}\}_{1/2} + \{h^{-1}(x_1) \psi_{1/1}\}_{1/1} = 0 \quad (6.42)$$

$$\psi_{1/2} h^{-1}(x_1) + \psi_{1/1} h^{-1}(x_1) + \psi_{1/1} \{h^{-1}(x_1)\}_{1/1} = 0 \quad (6.43)$$

adică; [110], [178]

$$\psi_{1/1} - h^{-1} h_{1/1} \psi_{1/1} = 0 \quad (6.44)$$

6.2.6 Ecuația lui Stokes pentru potențialul vitezei în planul imagine

Ecuația (6.41) permite, în planul imagine, introducerea potențialului ψ al vitezei prin (2.6). Înlocuind (2.6) în (6.31) se obține ecuația lui Stokes pentru potențialul vitezei în planul imagine

$$\{h(x_1) \psi_{1/1}\}_{1/1} + \{h(x_1) \psi_{1/2}\}_{1/2} = 0 \quad (6.45)$$

adică; [178]

$$\psi_{1/1} + h^{-1} h_{1/1} \psi_{1/1} = 0 \quad (6.46)$$

6.3 Domeniul de analiză din planul imagine. Condiții la limită

Domeniul de analiză de pe suprafața de curent trebuie să fie astfel ales încât el să păstreze efectul de periodicitate cilindrică a mișcării. În consecință el va fi definit de frontierele a trei profile învecinate (analog cu cele de la 5.2) dispuse la pasul t pe cercul paralel al frontului rețelei, din care unul va fi interior domeniului. Condițiile la limită pe frontierele de influx respectiv flux ale domeniului de pe suprafața de curent vor fi puse la $t/2$ de frontul bordurilor de atac respectiv de cel de fugă ale profilelor.

Prin (6.20) domeniul de pe suprafața de curent trece în mod efectiv în domeniul de analiză din planul imagine. El este tot de forma din fig.5.1 (fig.5.2, fig.5.3, fig.5.4), cu deosebirea că

După axa 1-a apare deformarea dată de prima relație din (6.20) ($\Lambda_3 \neq IH \neq t/2$) iar după axa 2-a se conservă în adevărata mărime doar segmentul $AC = t$

Pentru condițiile la limită din planul imagine rămân valabile și considerațiile de la 5.2.1 respectiv 5.2.2 sau 5.2.1 pentru ecuațiile (6.44) respectiv (6.46) cu unele modificări ce vor fi prezentate la 6.4.

6.4 Instatarea în formă adimensională în planul imagine

Sînt valabile considerațiile de la 5.3.1 respectiv 5.3.2, considerate în planul imagine, în care t și Q sînt asociate frontului rețelei cu următoarele precizări

Punînd originea O a sistemului de coordonate $Oq^1q^2q^3$ la $t/2$ frontul rețelei (după q^1) din (6.24) rezultă

$$\begin{aligned} u_1^{AM} &= u_{(1)}^{AM} \\ u_1^{AV} &= \lambda \cdot \lambda_0^{-1} \cdot u_{(1)}^{AV} \end{aligned} \quad (6.47)$$

Punînd $u_{(1)}^{AM} = 1$ rezultă

$$u_{(1)}^{AV} = \bar{u}_{(1)}^{AV} = \bar{u}_{\square}^{AV} \quad (6.48)$$

unde \bar{u}_{\square}^{AV} este dată de (3.129) dar raportată la viteza din originea prezentată mai sus. Rezultă atunci în formă adimensională

$$\begin{aligned} u_1^{AM} &= 1 \\ u_1^{AV} &= \lambda \cdot \lambda_0^{-1} \cdot \bar{u}_{\square}^{AV} \end{aligned} \quad (6.49)$$

ce din conservarea debitului dintre două suprafețe de curent

$$2\pi \lambda_0 d\delta^0 u_{(1)}^{AM} = 2\pi \lambda d\delta^1 u_{(1)}^{AV} \quad (6.50)$$

(6.5) se obține

$$h(q^1) = \lambda \cdot \lambda_0^{-1} \bar{u}_{\square}^{-1} \quad (6.51)$$

ce (6.49) devine

$$\begin{aligned} u_1^{AM} &= 1 \\ u_1^{AV} &= h(x_1^{AV}) = h^{AV-1} \end{aligned} \quad (6.52)$$

care modifică pe FH condițiile la limită (5.12) respectiv (5.22) și (5.23). Din (6.52) și (6.35) se observă că condițiile la limită (5.13) rămîn neschimbate.

6.5 Integrarea ecuației lui Stokes în planul imagine prin

metoda

Vom folosi tot tratarea în formă adimensională și vom reveni la notarea cu asterisc.

6.5.1 Formularea în funcția de curent

Să reluăm ecuația (7.44) cu condițiile la limită prezentate la 6.4. Funcția Ψ poate fi aproximată global pe domeniul Ω din planul imaginii prin (3.26). Aplicând metoda lui Galerkin rezultă; [22], [39]

$$\int_{\Omega} (\Psi_{/i} - h^{-1} h_{/i} \Psi_{/i}) a_x d\Omega = 0 \quad (6.53)$$

care integrată prin părți conduce la

$$\int_{\Omega} \Psi_{/i} a_{x/i} d\Omega + \int_{\Omega} h^{-1} h_{/i} \Psi_{/i} a_x d\Omega - \int_{\Gamma} \Psi_{/i} m_i a_x^* d\Gamma = 0 \quad (6.54)$$

și care cu (3.26) devine

$$\Psi_p \int_{\Omega} a_{x/i} a_{p/i} d\Omega + \Psi_p \int_{\Omega} h^{-1} h_{/i} a_{p/i} a_x d\Omega - \int_{\Gamma} \Psi_{/i} m_i a_x^* d\Gamma = 0 \quad (6.55)$$

adică sistemul linear (3.30) în care coeficienții $D_{\alpha\beta}$ sînt dați de

$$D_{\alpha\beta} = \int_{\Omega} a_{x/i} a_{\beta/i} d\Omega + \int_{\Omega} h^{-1} h_{/i} a_x a_{\beta/i} d\Omega \quad (6.56)$$

iar termenii liberi de (4.31).

Dacă facem acum o discretizare a lui Ω în elemente finite Ω^e , funcția Ψ poate fi aproximată local prin (3.35). Procedînd similar cu cele de mai înainte obținem pentru fiecare element finit

$$\int_{\Omega^e} (\Psi_{/i}^e - h^{-1} h_{/i} \Psi_{/i}^e) a_N^e d\Omega^e = 0 \quad (6.57)$$

care integrată prin părți dă

$$\int_{\Omega^e} \Psi_{/i}^e a_{N/i}^e d\Omega^e + \int_{\Omega^e} h^{-1} h_{/i} \Psi_{/i}^e a_N^e d\Omega^e - \int_{\Gamma^e} \Psi_{/i}^e m_i a_N^{*e} d\Gamma^e = 0 \quad (6.58)$$

din care, cu (3.35), se obține

$$\Psi_M^e \int_{\Omega^e} a_{N/i}^e a_{M/i}^e d\Omega^e + \Psi_M^e \int_{\Omega^e} h^{-1} h_{/i} a_{M/i}^e a_N^e d\Omega^e = \int_{\Gamma^e} \Psi_{/i}^e m_i a_N^{*e} d\Gamma^e \quad (6.59)$$

adică sistemul linear (3.39) în care

$$D_{NM}^e = \int_{\Omega^e} a_{N/i}^e a_{M/i}^e d\Omega^e + \int_{\Omega^e} h^{-1} h_{/i} a_N^e a_{M/i}^e d\Omega^e \quad (6.60)$$

iar termenii liberi sînt dați de (4.35).

Trecerea de la local la global se face tot cu formulele (3.42), (3.44), (3.45) și (3.46).

6.5.2 Formularea în potențialul vitezei

Problema este aproape identică cu cea de la (6.51) (apare doar un termen cu semn schimbat). Se obține pentru ecuația (6.46) termenul global (6.48) în care coeficienții $D_{\alpha\beta}$ sînt dați de

$$D_{\alpha\beta} = \int_{\Omega} b_{\alpha i} b_{\beta i} d\Omega - \int_{\Omega} \bar{h}^{-1} \bar{h}_{i1} b_{\alpha} b_{\beta i} d\Omega \quad (6.61)$$

termenii liberi de (4.31) (cu φ în loc de ψ și b_{α} în loc de b_{α}^e) și respectiv la sistemul local (4.37) în care

$$D_{NM}^e = \int_{\Omega^e} b_{N/i}^e b_{M/i}^e d\Omega^e - \int_{\Omega^e} \bar{h}^{-1} \bar{h}_{i1} b_N^e b_{M/i}^e d\Omega^e \quad (6.62)$$

și F_N^e dați de (4.39). Trecerea de la local la global se face totuși cu (3.45) și (3.46).

6.5.3 Discretizarea domeniului din planul imagine

Pentru discretizare au fost alese tot elemente finite izometrice. În consecință vor fi folosite formulele de la 3.5.

6.5.4 Calculul coeficienților D_{NM}^e

Vom renunța la indexarea superioară cu e și vom utiliza, în loc, variabilele ξ, η . Coeficienții D_{NM}^e pentru formularea în ψ (dați de (6.53)) și φ (dați de (6.59)) diferă doar prin semn față de cel al doilea termen. Cu $a_N = b_N$, observînd că $d\Omega = dx_1 dx_2$ și folosind (3.68) coeficienții devin

$$D_{NM} = \int_{-1}^1 \int_{-1}^1 a_{N/i} a_{M/i} |J| d\xi d\eta + \lambda \int_{-1}^1 \int_{-1}^1 \bar{h}^{-1} \bar{h}_{i1} a_N a_{M/i} |J| d\xi d\eta \quad (6.63)$$

cu $\lambda = 1$ pentru formularea în ψ și $\lambda = -1$ pentru formularea în φ . Folosind (3.85), (3.89) și (3.90) se obține mai departe

$$D_{NM} = \frac{1}{8} \int_{-1}^1 \int_{-1}^1 f_{NM}(\xi, \eta) d\xi d\eta + \lambda R_{NM} \quad (6.64)$$

cu $f_{NM}(\xi, \eta)$ date de (4.42) iar

$$R_{NM} = \int_{-1}^1 \int_{-1}^1 \bar{h}^{-1} \bar{h}_{i1} a_N a_{M/i} |J| d\xi d\eta \quad (6.65)$$

cazul $a_N a_{M/i}$ este dat de o formulă similară cu (3.92)

$$a_N a_{M/i} = (32|J|)^{-1} \left\{ q_{NM}^{(1)} + t_{NM}^{(1)} \xi + k_{NM}^{(1)} \eta + p_{NM}^{(1)} \xi \eta + q_{NM}^{(2)} \xi^2 + d_{NM}^{(2)} \eta^2 + t_{NM}^{(2)} \xi \eta + u_{NM}^{(2)} \xi \eta^2 \right\} \quad (6.66)$$

$$\begin{aligned}
 a_{NM}^{(0)} &= A_{M1} \\
 b_{NM}^{(1)} &= B_{M1}^1 + \varepsilon_{N1} A_{M1} \\
 k_{NM}^{(1)} &= B_{M1}^2 + \varepsilon_{N2} A_{M1} \\
 p_{NM}^{(1)} &= \varepsilon_{N1} B_{M1}^2 + \varepsilon_{N2} B_{M1}^1 + \varepsilon_{N1} \varepsilon_{N2} A_{M1} \\
 q_{NM}^{(1)} &= \varepsilon_{N1} B_{M1}^1 \\
 \lambda_{NM}^{(1)} &= \varepsilon_{N2} B_{M1}^2 \\
 t_{NM}^{(1)} &= \varepsilon_{N1} \varepsilon_{N2} B_{M1}^1 \\
 u_{NM}^{(1)} &= \varepsilon_{N1} \varepsilon_{N2} B_{M1}^2
 \end{aligned} \tag{6.67}$$

cu formulele (3.87) și (3.88). Rămâne de calculat factorul $h_1^{-1} h_1$. Pentru $h(x_1)$ se admite aproximarea polinomială

$$h(x_1) = \sum_{\mu=0}^m C_{\mu} x_1^{\mu} \tag{6.68}$$

deci

$$h_1^{-1} h_1 = \left(\sum_{\mu=1}^m \mu C_{\mu} x_1^{\mu-1} \right) \left(\sum_{\mu=0}^m C_{\mu} x_1^{\mu} \right)^{-1} \tag{6.69}$$

Cu acestea R_{NM} devine

$$\begin{aligned}
 R_{NM} &= \frac{1}{32} \int_{-1}^1 \int_{-1}^1 \left(\sum_{\mu=1}^m \mu C_{\mu} x_1^{\mu-1} \right) \left(\sum_{\mu=0}^m C_{\mu} x_1^{\mu} \right)^{-1} \\
 &\quad \cdot \left[q_{NM}^{(1)} + k_{NM}^{(1)} \varepsilon + p_{NM}^{(1)} \eta + q_{NM}^{(1)} \varepsilon^2 + \right. \\
 &\quad \left. + \lambda_{NM}^{(1)} \eta^2 + t_{NM}^{(1)} \varepsilon^2 \eta + u_{NM}^{(1)} \varepsilon \eta^2 \right] d\varepsilon d\eta
 \end{aligned} \tag{6.70}$$

sau cu (3.66)

$$R_{NM} = \frac{1}{32} \int_{-1}^1 \int_{-1}^1 \pi_{NM}(\varepsilon, \eta) d\varepsilon d\eta \tag{6.71}$$

unde

$$\begin{aligned}
 \pi_{NM}(\varepsilon, \eta) &= \left\{ \sum_{\mu=1}^m \mu C_{\mu} \left[4^{-1} (a_1 + b_1 \varepsilon + c_1 \eta + d_1 \varepsilon \eta) \right]^{\mu-1} \right\} \\
 &\quad \cdot \left\{ \sum_{\mu=0}^m C_{\mu} \left[4^{-1} (a_1 + b_1 \varepsilon + c_1 \eta + d_1 \varepsilon \eta) \right]^{\mu} \right\}^{-1} \\
 &\quad \cdot \left[q_{NM}^{(1)} + k_{NM}^{(1)} \varepsilon + p_{NM}^{(1)} \eta + q_{NM}^{(1)} \varepsilon^2 + \right. \\
 &\quad \left. + \lambda_{NM}^{(1)} \eta^2 + t_{NM}^{(1)} \varepsilon^2 \eta + u_{NM}^{(1)} \varepsilon \eta^2 \right]
 \end{aligned} \tag{6.72}$$

deci în final

$$D_{NM} = \frac{1}{32} \int_{-1}^1 \int_{-1}^1 [4f_{NM}(\xi, \eta) + \lambda \pi_{NM}(\xi, \eta)] d\xi d\eta \quad (6.73)$$

în care sînt valabile formulele de la 3.6.1.

Pentru evaluarea coeficienților se face tot cu o formulă analogă (3.97)

$$D_{NM} = \frac{1}{32} \sum_{i=1}^6 \sum_{j=1}^6 w_i w_j [4f_{NM}(\xi_i, \eta_j) + \lambda \pi_{NM}(\xi_i, \eta_j)] \quad (6.74)$$

unde w_i , ξ_i și η_i sînt dați tot de (3.98) respectiv (3.99).

6.5.3 Calculul termenilor liberi F_N^e

Pentru formularea în ψ toți termenii liberi sînt nuli. Pentru formularea în φ termenii liberi sînt dați de (4.53) cu formulele analoge (5.27), (5.28), (5.29) și (5.30) prezentate la 5.4.

6.6 Determinarea câmpului de viteze în planul imagine

6.6.1 Formularea în funcția de curent

Analog cu cele de la 4.91 folosind (6.35), (3.35), (3.86), (3.87), (5.28) și (3.66) se obțin componentele vitezei pe fiecare nod finit

$$\begin{aligned} u_1^e &= \left\{ \sum_{\mu=0}^m C_{\mu} [4^{-1}(a_1 + b_1 \xi + c_1 \eta + d_1 \xi \eta)]^{\mu} \right\}^{-1} \psi_{1/2}^e = \\ &= \left\{ \sum_{\mu=0}^m C_{\mu} [4^{-1}(a_1 + b_1 \xi + c_1 \eta + d_1 \xi \eta)]^{\mu} \right\}^{-1} a_{N/2}^e \psi_N^e = \quad (6.75) \\ &= \left\{ 8! \sum_{\mu=0}^m C_{\mu} [4^{-1}(a_1 + b_1 \xi + c_1 \eta + d_1 \xi \eta)]^{\mu} \right\}^{-1} (A_{N2} + B_{N2}^1 \xi + B_{N2}^2 \eta) \psi_N^e \end{aligned}$$

$$\begin{aligned} u_2^e &= - \left\{ \sum_{\mu=0}^m C_{\mu} [4^{-1}(a_1 + b_1 \xi + c_1 \eta + d_1 \xi \eta)]^{\mu} \right\}^{-1} \psi_{1/1}^e = \\ &= - \left\{ \sum_{\mu=0}^m C_{\mu} [4^{-1}(a_1 + b_1 \xi + c_1 \eta + d_1 \xi \eta)]^{\mu} \right\}^{-1} a_{N/1}^e \psi_N^e = \quad (6.76) \\ &= - \left\{ \sum_{\mu=0}^m C_{\mu} [4^{-1}(a_1 + b_1 \xi + c_1 \eta + d_1 \xi \eta)]^{\mu} \right\}^{-1} (A_{N1} + B_{N1}^1 \xi + B_{N1}^2 \eta) \psi_N^e \end{aligned}$$

în centrul de greutate ale elementelor finite izoparametri-zate

$$u_1^e = \left\{ \alpha_0 \sum_{\mu=0}^m C_{\mu} (4^{-1} a_1)^{\mu} \right\}^{-1} A_{N2} \psi_N^e \quad (6.77)$$

$$u_2^e = - \left\{ \alpha_0 \sum_{\mu=0}^m C_{\mu} (4^{-1} a_1)^{\mu} \right\}^{-1} A_{N1} \psi_N^e \quad (6.78)$$

Mărimea vitezei este dată de (4.60) sau, raportată la viteza de la intrare, de (5.31).

6.5.2 Potentialele în potențialul vitezei

Problema este identică cu cea de la 4.9.2. Pe fiecare element finit componentele vitezei sînt date de (4.62) respectiv (4.63), iar în centrele de greutate de (4.64) respectiv (4.65).

6.7 Determinarea cîmpului de presiuni în planul imagine

Fiindcă în planul imagine fiind potențială, sînt adevărate ecuațiile de la 5.6 deci și formulele (5.32) și (5.33).

6.8 Determinarea circulației în planul imagine

Circulația în planul imagine în forma $\bar{\Gamma}^v$ este dată de (5.42). Mișcarea în planul imagine fiind potențială între componentele vitezelor \bar{V}_1^{AM} și \bar{V}_1^{AV} avem legăturile

$$\bar{V}_1^{AV} - \bar{V}_1^{AM} = \bar{Q}_0 \cdot L \cdot t^{-1} \tag{6.79}$$

$$\bar{V}_2^{AV} - \bar{V}_2^{AM} = \bar{\Gamma}^v \cdot L \cdot t^{-1} \tag{6.80}$$

unde \bar{Q}_0 este debitul plan adimensional ce iese ortogonal din domeniul de analiză din planul imagine. Din (6.79) și (6.80) se obține imediat tot (5.42) pentru $\bar{\Gamma}^v$ și

$$\bar{Q}_0 = tL^{-1}(\bar{V}_1^{AV} - \bar{V}_1^{AM}) \tag{6.81}$$

6.9 Transpunerea rezultatelor din planul imagine pe suprafața de curent

Avînd determinată mișcarea în planul imagine pot fi acum transpuse rezultatele pe suprafața de curent rezultînd mișcarea fizică pe aceeași suprafață.

6.1.1 Transpunerea cîmpului hidrodinamic

Liniiile de curent din planul imagine le corespund, conform cu (6.36) și (6.30) respectiv, linii de curent de pe suprafața de curgere de revoluție. Cum liniile de egal potențial al vitezei din planul imagine sînt ortogonale pe liniile de curent și cum (6.20) este o transformare conformă, liniile de egal potențial al vitezei trec prin (6.20) în curbe pe suprafața de curent ortogonale pe liniile de curent, deci ele sînt linii de egal potențial al vitezei fizice a mișcării fizice de pe suprafața de curent de revoluție.

Fixînd, de exemplu, originea O a sistemului de coordonate $Oq_1^1q_2^2$ în centrul rețelei pe meridianul ce conține bordul de fugă al unui profil, în sistemul de coordonate de suprafață $Oq_1^1q_2^2$ (q_1^1 meridiene, q_2^2 cercuri paralele), prin (6.20)

sunt transpuse pe suprafața de curent de revoluție cele două familii de curbe (linii de curent și linii de egal potențial al vitezei) care în real cîștă în planul imagine. Dacă pot fi găsite formele de aproximare a lor $x_2 = x_2(\eta_0)$ în planul imagine atunci ele prin (6.80) dau curbă $q^2 = q^2(\eta^1)$ pe suprafața de curent de revoluție.

6.2.2 Transpunerea câmpului de viteze

Transpunerea câmpului de viteze se obține imediat folosind ecuațiile (6.81). Câmpul vitezei fizice v_0 a mișcării suprafață este, din (6.87)

$$v_0 = \dot{x}_0 \sum v^i \quad (6.82)$$

scrisă la x_0^{AM}

$$\bar{v}_0 = \dot{x}_0^{AM} v_0^{AM} = \dot{x}_0^{-1} v_0^{AM} \quad (6.83)$$

$$\bar{v}_0 = \dot{x}_0^{-1} v_0 \quad (6.84)$$

6.2.3 Transpunerea câmpului de presiuni

Câmpul de presiuni p în mișcarea fizică de pe suprafață obține scriind ecuația lui Bernoulli în lungul unei linii de curent de pe suprafață

$$p_0 - p_0^{AM} = 2\rho \left[\dot{x}_0^{AM^2} - v_0^2 \right] \quad (6.85)$$

scrisă la $\dot{x}_0^{AM^2}$, folosind și (6.83)

$$\bar{p}_0 = [p_0 - p_0^{AM}] 2\rho^{-1} \dot{x}_0^{AM^{-2}} = 1 - v_0^2 \dot{x}_0^{AM^{-2}} = 1 - \bar{v}_0^2 \quad (6.86)$$

, cu (6.84)

$$\bar{p}_0 = 1 - \dot{x}_0^2 \bar{v}^2 \quad (6.87)$$

$$\bar{p}_0 = 1 - \bar{v}^2 + \bar{v}^2 (1 - \dot{x}_0^2 \dot{x}^2) = \bar{p} + \bar{v}^2 (1 - \dot{x}_0^2 \dot{x}^2) \quad (6.88)$$

6.2.4 Calculul circulației pe suprafața de curent

Circulația Γ_0^v în jurul profilului ce compune rețeaua radială de pe suprafața de revoluție este

$$\Gamma_0^v = \oint_{C_0} g_{ij}^v v^i dq^j \quad (6.89)$$

C_0 este conturul profilului de pe suprafață ce corespunde prin (6.80) conturului C al profilului din planul imagine. Dar elementul de arc ds_0 , de pe suprafață este

$$d\lambda_0 = (g_{ij} dq^i dq^j)^{1/2} \quad (6.90)$$

iar v^i poate fi pusă sub forma

$$v^i = v_0^i \frac{dq^i}{d\lambda_0} \quad (6.91)$$

unde $\frac{dq^i}{d\lambda_0}$ sînt componentele contravariante ale versorului tangent la C_0 . Cu acestea (6.82) devine

$$\Gamma_0^v = \oint_{C_0} g_{ij} v_0^i \frac{dq^j}{d\lambda_0} dq^j = \oint_{C_0} v_0^j d\lambda_0 \quad (6.92)$$

Calculînd acum $d\lambda_0$ cu (6.90), (6.8) și (6.20) rezultă

$$d\lambda_0 = [g_{11}(dq^1)^2 + g_{22}(dq^2)^2]^{1/2} = (\bar{n}_0^{-2} \bar{n}^2 dx_1^2 + \bar{n}_0^{-2} \bar{n}^2 dx_2^2)^{1/2} = \bar{n}_0^{-1} \bar{n} d\lambda \quad (6.93)$$

Folosind acum (6.82) și (6.93) în (6.92) se obține

$$\Gamma_0^v = \oint_C v d\lambda = \Gamma^v \quad (6.94)$$

Analog, cu (6.84) se obține și $\bar{\Gamma}^v$

$$\bar{\Gamma}_0^v = \oint_C \bar{v} d\lambda = \bar{\Gamma}^v \quad (6.95)$$

adică circulația în jurul profilelor este aceeași atît pe suprafața de curent cît și în planul imagine.

6.9.5 Raportarea parametrilor profilului de pe suprafață la loxodromă

Am văzut în cele precedente că transformarea (6.20) este conformă. Aceasta face ca coarda profilului din planul imagine să treacă pe suprafața de curent de revoluție într-o loxodromă unic determinată de bordurile de atac respectiv de fugă ale profilului. Este util atunci ca cîmpurile ce definesc parametrii hidrodinamici ai profilului de pe suprafață să fie reprezentate în lungul acestei curbe loxodrome notată $O'1_0$.

6.10 Exemplu de calcul

Metoda a fost aplicată unei rețele radial-axiale de turbină Francis obținută prin deformarea unei rețele axiale NACA 8410 de turbină după regula

$$\lambda \text{ după } q^2 = \bar{n} \cdot \bar{n}_A^{-1} \chi_2 \quad (6.96)$$

(λ măsurat de la meridianul planului axial ce conține bordul de fugă iar χ_2 , vezi fig.5.2) pe meridianul $\Psi = 0,3$ al cîmpului hidrodinamic determinat la 3.12 și poziționată prin $\bar{z}^A = 0,273$ și $\bar{z}^F = 0,52$.

Deformarea (6.96) a conservat $\beta^{AM} = 75^\circ$ și $t/L = 0,75$ în dreptul bordurilor de atac. În cele ce urmează este dată rezolvarea complexă a mișcării potențiale și fără evoluție a unui fluid incompresibil în jurul rețelei de profile radial-axiale, având circulația dată, menționate mai înainte, comutând problema în planul imagine și apoi transpunând rezultatele pe suprafața de curent de revoluție. A rezultat în planul imagine o rețea axială de turbină cu parametrii $t/L = 0,75$, $\beta^{AM} = 75^\circ$, $\beta^{AV} = 54^\circ$, $\beta_s = 54^\circ 16' 30''$ cu stratul de fluid de grosime variabilă.

În fig.6.2 este prezentată o imagine aproximativă a profilului rețelei radial-axiale de pe suprafața de curent de revoluție. Axa $O'1'$ este loxodroma desfășurată pe plan iar coordonatele $O'2'$, după normalele la loxodromă. Imaginea lui este doar aproximativ fiindcă fig.6.2 ne dă o imagine aproape de realitate a grosimii profilului și nu și a curburii lui.

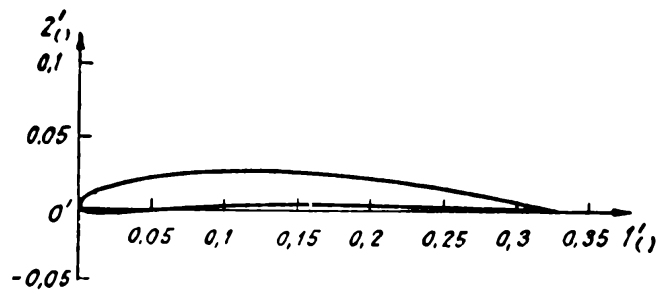


Fig.6.2 O imagine aproximativă a profilului de pe suprafața de curent de revoluție. Axa $O'1'$ este în lungul loxodromei iar $O'2'$, după normalele la loxodromă

În fig.6.3 este prezentat profilul din fig.6.2 (de pe suprafața de curent) deformat prin (6.20) în planul imagine. Axei $O'1'$ din planul imagine (coarda profilului) îi corespunde prin (6.20) loxodroma pe suprafața de curent și care desfășurată pe plan a dat axa $O'1'$.

În fig.6.4 este dată o imagine comparativă a celor două profile aduse la coardă unitară.

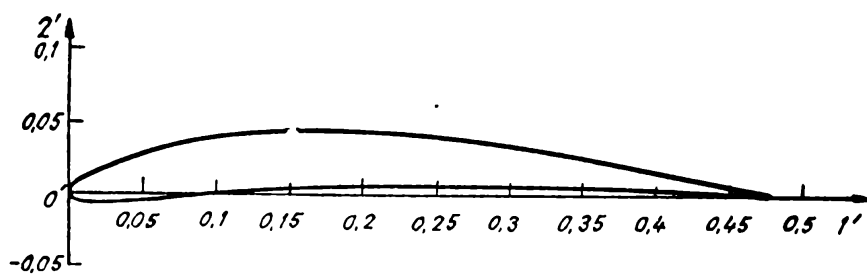


Fig.6.3 Profilul deformat prin (6.20) în planul imagine

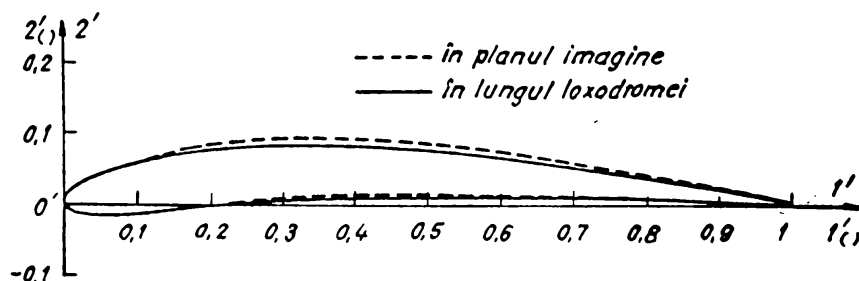


Fig.6.4 Comparație între cele două profile aduse la coardă unitară

6.10.1 Domeniul de analiză din planul imagine

Domeniul de analiză este cel din fig.6.5 pe care s-a efectuat discretizarea prezentată la 6.53. În partea de jos a fig. 6.5 este dată variația funcției $h(\chi_1)$ (ce dă în formă relativă grosimea stratului de fluid) după axa 1-a ce corespunde normalei la frontul de atac al rețelei.

6.10.2 Realizarea programului de calcul

Rezolvarea problemei a fost obținută cu ajutorul programului MISSROT în cadrul căruia au fost utilizate subprogramele

- (i) DISCRET (vezi 3.12.2 (i))
- (ii) SISTEM (vezi 3.12.2 (ii))
- (iii) VITCEG (vezi 5.8.2 (iii))
- (iv) CAUT 4 (vezi 3.12.2 (iv))
- (v) CONDLIM (vezi 4.12.2 (v))

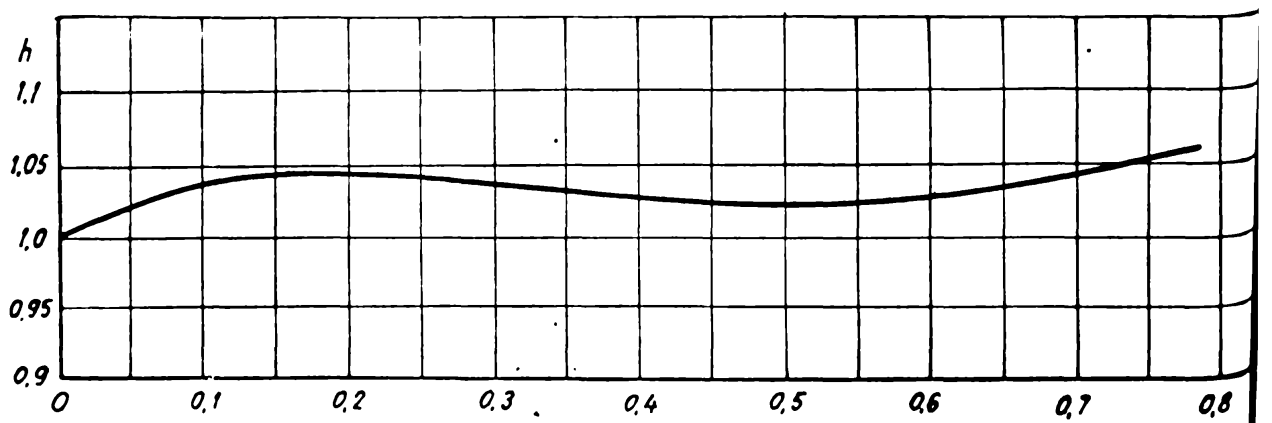
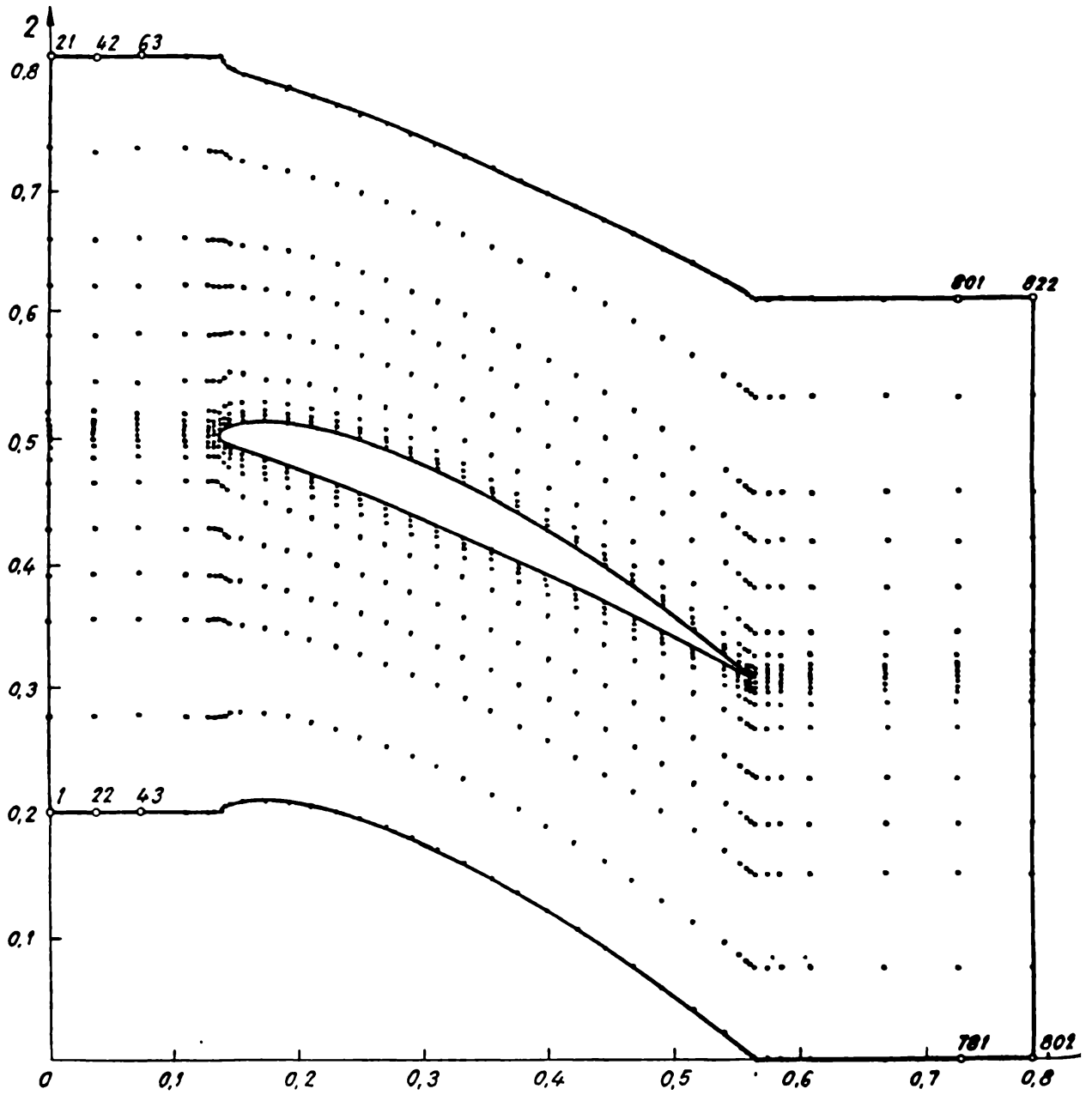


Fig.6.5 Discretizarea domeniului din planul imagine. Grosimea relativă a stratului de fluid.

- (v i) REAREANJ (vezi 5.9.3)
- (v ii) COEPPOR care
 1. calculează coeficientul de portanță în planul imagine
- (v iii) PRG care realizează
 1. trecerea domeniului de pe suprafața de curent de revoluție în planul imagine
 2. aproximarea numerică a relațiilor de trecere
- (i x) DERLOG care calculează
 1. funcția de grosime a stratului de fluid $h(x_1)$
 2. derivata $h'(x_1)$
- (x) TRSP care realizează
 1. transpunerea liniilor de curent din planul imagine pe suprafața de curent de revoluție
 2. transpunerea liniilor de egal potențial al vitezei din planul imagine pe suprafața de curent de revoluție
 3. calculul discret al punctelor loxodromei
 4. calculul câmpului de viteze pe frontiera profilului de pe suprafața de curent în lungul loxodromei
 5. calculul câmpului de presiuni pe frontiera profilului de pe suprafața de curent în lungul loxodromei

6.10.3 Rezultate numerice

În fig.6.6 sînt prezentate liniile de curent în planul imagine în domeniul de analiză iar în fig.6.7 câmpul hidrodinamic al mișcării în planul imagine (compus din liniile de curent $\Psi = \text{constant}$ și liniile de egal potențial al vitezei $\varphi = \text{constant}$). În lungul segmentului KG se observă saltul potențialului φ .

În fig.6.8 este dată variația vitezei \bar{v} în lungul profilului din planul imagine iar în fig.6.9 variația presiunii \bar{p} în lungul profilului. În tabelul din fig.6.8 este dată comparativ valoarea circulației $\bar{\Gamma}^v = \bar{\Gamma}_0^v$ teoretică (calculată cu (5.43)) și prin M.E.F. (determinată prin integrarea câmpului de viteze).

În fig.6.10 este dată variația vitezei fizice \bar{v}_0 pe frontiera profilului de pe suprafața de curent de revoluție în lungul loxodromei iar în fig.6.11 variația presiunii \bar{p}_0 pe frontiera profilului de pe suprafață.

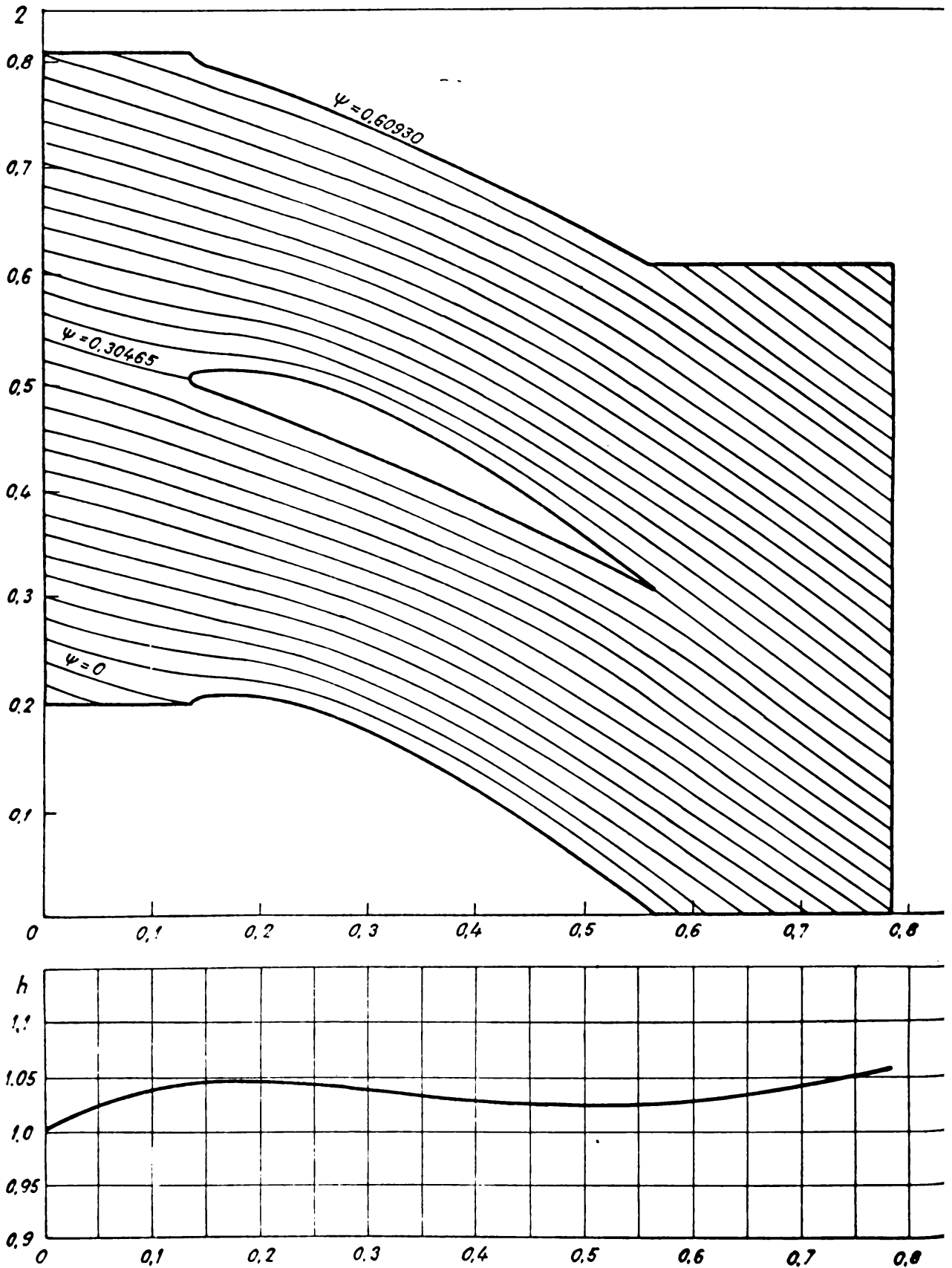


Fig.6.6 Liniiile de curent in planul imagine

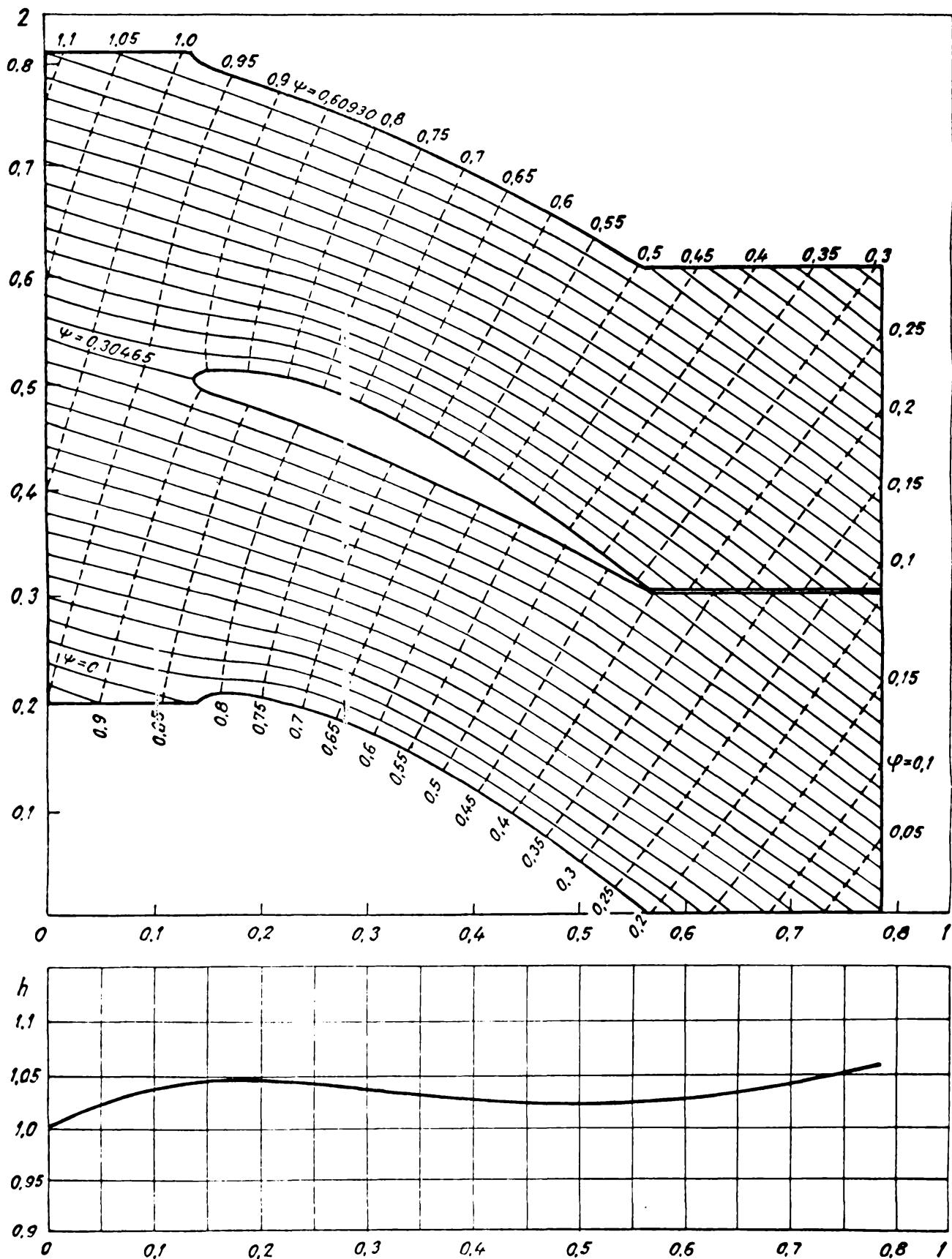


Fig.6.7 Cîmpul hidrodinamic în planul imagine

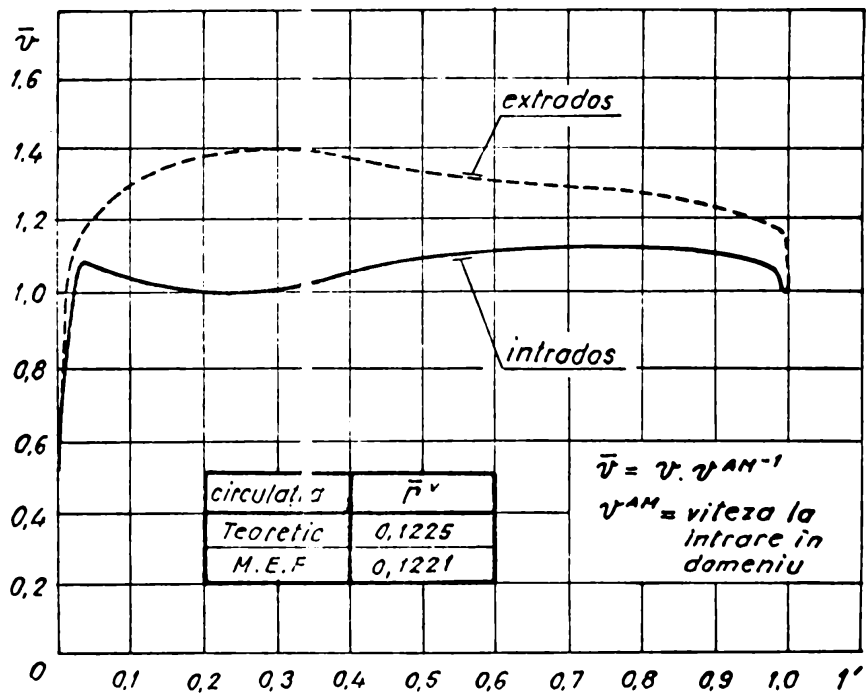


Fig.6.8 Câmpul de viteze pe frontiera profilului în planul imagine

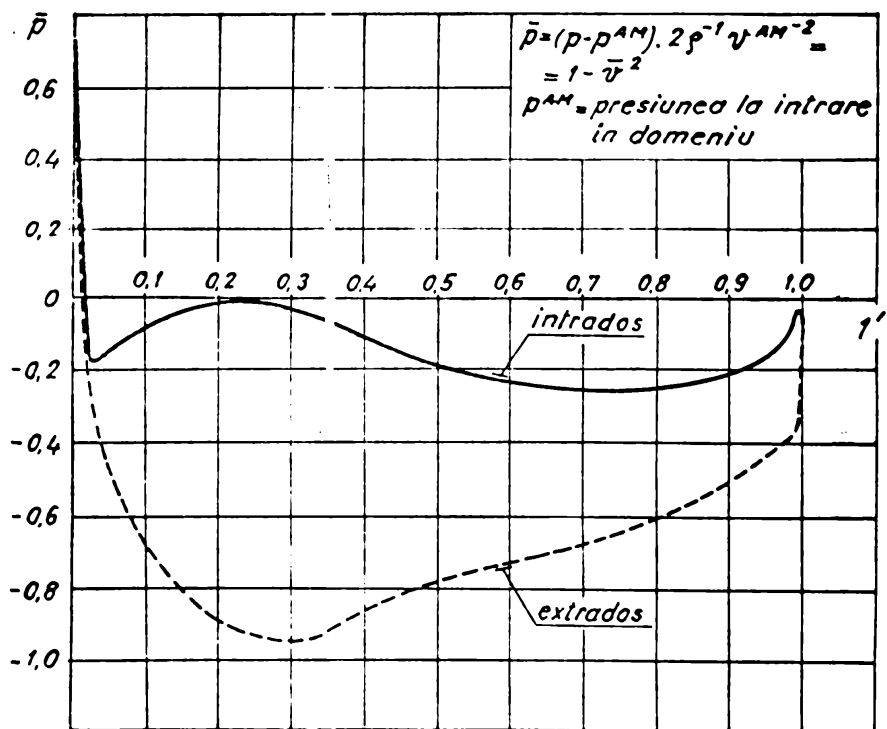


Fig.6.9 Câmpul de presiuni pe frontiera profilului în planul imagine

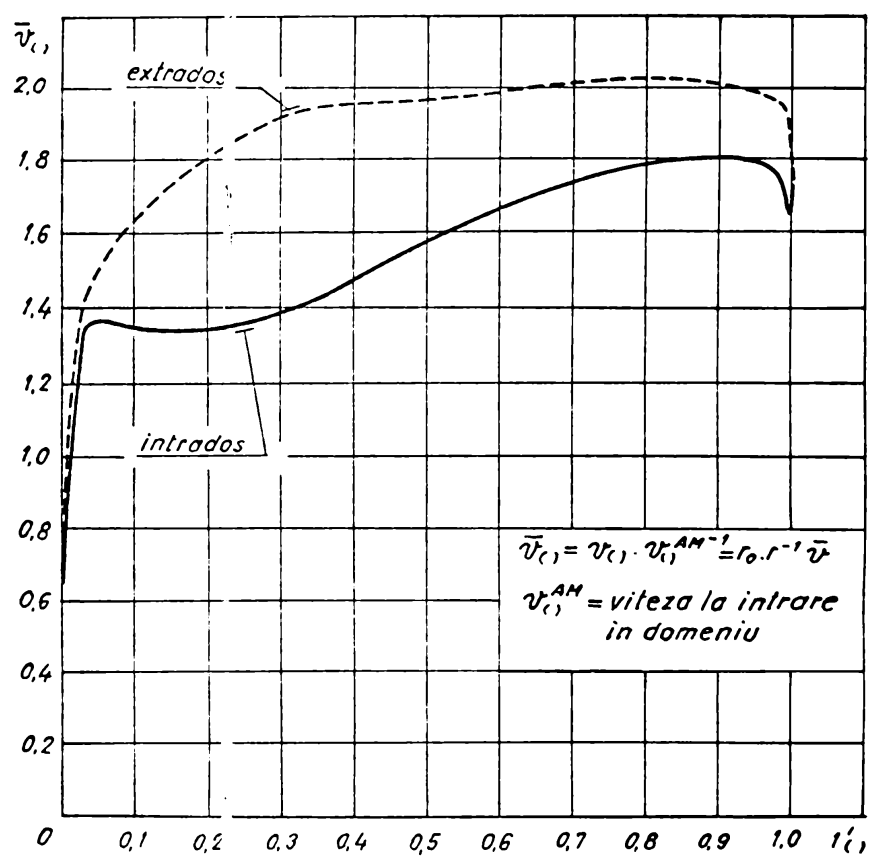


Fig.6.10 Címpul de viteze pe frontiera profilului de pe suprafața de curent în lungul loxodromei

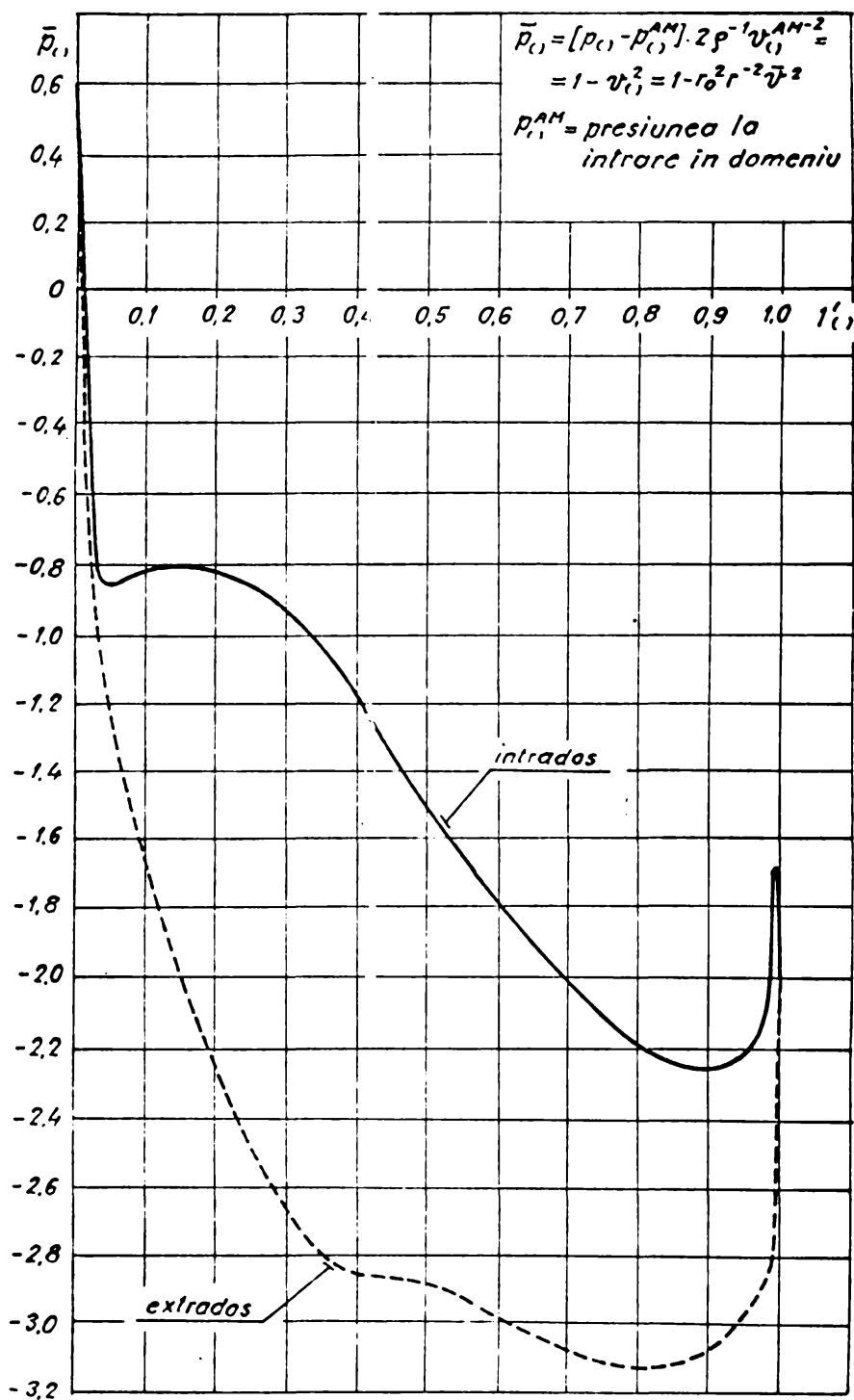


Fig.6.11 Câmpul de presiuni pe frontiera profilului de pe suprafața de curent în lungul loxodromei

DETERMINAREA MISCĂRII ÎN JURUL REȚELELOR DE PROFILE
RADIAL-AXIALE MOBILE CU DEVIATIE DATA

7.1 Generalități

Cu aplicații la mișcarea fluidelor prin rotoarele turbo-
mașinilor radial axiale, ne propunem acum să determinăm cazul cel
mai general bidimensional al acestei mișcări și anume mișcarea
fluidelor în jurul rețelelor de profile radial-axiale mobile pre-
supunând cunoscută deviația realizată de rețeaua de profile sau,
echivalent, condițiile cinematice de la intrare, respectiv ieșire.
Rețeaua de profile radial-axială, așezată pe suprafața de curent
de revoluție cu frontul rețelei în lungul unui cerc paralel, este
într-o mișcare de rotație datorită vitezei unghiulare $\vec{\omega}$ a roto-
rului.

7.2 Mișcarea relativă rotațională pe suprafața de curent

Fie zona rotorului unei turbine Francis câmpul hidrodina-
mic și $\bar{\Psi} = \text{constant}$ un meridian al suprafeței de curgere pe care
este așezată o rețea radial-axială de turbină (vezi fig.6.1) care
se rotește cu viteza unghiulară $\vec{\omega}$.

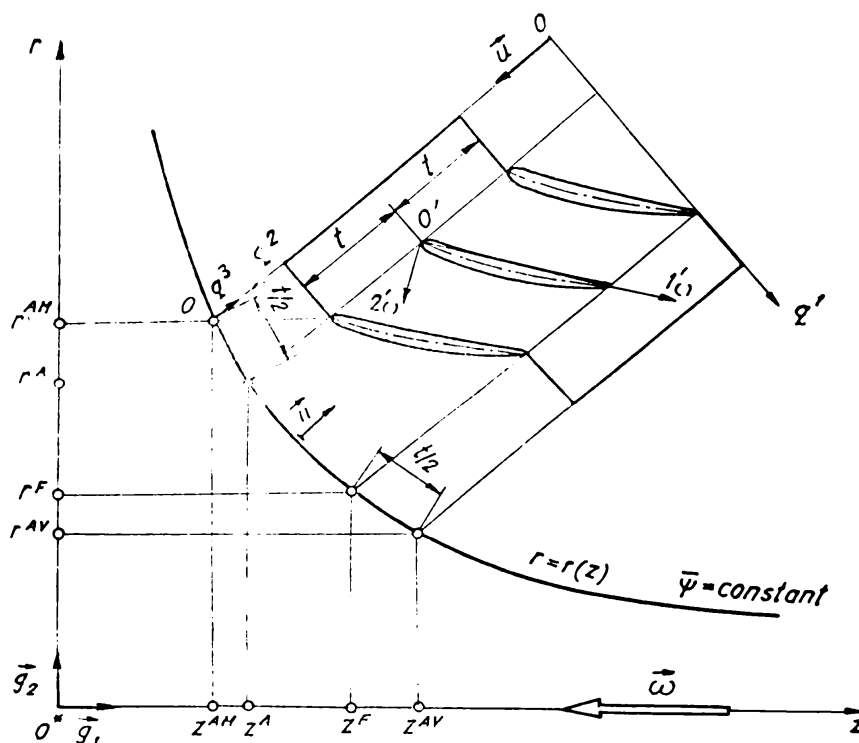


Fig.7.1 Rețeaua radial-axială

Dacă \vec{v} este viteza absolută, \vec{w} viteza relativă pe suprafața de meridian $\kappa = \kappa(z)$, iar \vec{u} viteza periferică corespunzătoare vectorului viteză unghiulară a rotorului $\vec{\omega}$, legătura dintre ele este dată de

$$\vec{v} = \vec{w} + \vec{u} \quad (7.1)$$

În ipoteza că mișcarea absolută este potențială, din (7.1) se obține

$$\text{rot } \vec{w} + \text{rot } \vec{u} = 0 \quad (7.2)$$

sau, cu

$$\text{rot } \vec{u} = 2\vec{\omega} \quad (7.3)$$

$$\text{rot } \vec{w} + 2\vec{\omega} = 0$$

care după axa q^3 (vezi fig.7.1) dă în componente fizice

$$(\text{rot } \vec{w})_{(3)} + 2\omega_{(3)} = 0 \quad (7.4)$$

Dar componentele fizice ale lui $\text{rot } \vec{w}$ sînt date de

$$h_i \varepsilon^{ijk} w_{k/j} = \frac{1}{h_j} \frac{\partial w_{(k)}}{\partial q^i} - \frac{1}{h_k} \frac{\partial w_{(j)}}{\partial q^k} + \frac{1}{h_j h_k} \left[w_{(k)} \frac{\partial h_k}{\partial q^i} - w_{(j)} \frac{\partial h_j}{\partial q^k} \right] \quad (7.5)$$

unde rezultă componenta 3-a ($j = 1$ și $k = 2$ în 7.5).

$$(\text{rot } \vec{w})_{(3)} = \frac{1}{h_1} \frac{\partial w_{(2)}}{\partial q^1} - \frac{1}{h_2} \frac{\partial w_{(1)}}{\partial q^2} + \frac{1}{h_1 h_2} \left[w_{(2)} \frac{\partial h_2}{\partial q^1} - w_{(1)} \frac{\partial h_1}{\partial q^2} \right] \quad (7.6)$$

unde $w_{(i)}$ sînt componentele fizice ale vitezei relative \vec{w} . Componenta fizică $\omega_{(3)}$ este dată de produsul scalar dintre $\vec{\omega}$ și \vec{n} unde \vec{n} este normala la meridianul $\kappa = \kappa(z)$ (vezi fig. 7.1). Dar

$$\vec{\omega} = -\omega \vec{g}_1 \quad (7.7)$$

și

$$\vec{n} = -\kappa'(z) [1 + \kappa^2(z)]^{-1/2} \vec{g}_1 + [1 + \kappa^2(z)] \vec{g}_2 \quad (7.8)$$

cu care $\omega_{(3)}$ devine

$$\omega_{(3)} = \kappa'(z) [1 + \kappa^2(z)]^{-1/2} \omega \quad (7.9)$$

Rezultă atunci din (7.4) cu (7.6) și (7.9)

$$\frac{1}{h_1} \frac{\partial w_{(2)}}{\partial q^1} - \frac{1}{h_2} \frac{\partial w_{(1)}}{\partial q^2} + \frac{1}{h_1 h_2} \left[w_{(2)} \frac{\partial h_2}{\partial q^1} - w_{(1)} \frac{\partial h_1}{\partial q^2} \right] + 2\omega \kappa'(z) [1 + \kappa'^2(z)]^{-1/2} = 0 \quad (7.10)$$

și care, cu (6.8) devine

$$\frac{\partial w_{(2)}}{\partial q^1} - \kappa_0 \kappa^{-1} \frac{\partial w_{(1)}}{\partial q^2} + \kappa_0 \kappa^{-1} \frac{\partial (\kappa \kappa_0^{-1})}{\partial q^2} + 2\omega \kappa'(z) [1 + \kappa'^2(z)]^{-1/2} = 0 \quad (7.11)$$

sau

$$\frac{\partial}{\partial q^1} [\kappa \kappa_0^{-1} w_{(2)}] - \frac{\partial w_{(1)}}{\partial q^2} + 2\kappa_0^{-1} \kappa \omega \kappa'(z) [1 + \kappa'^2(z)]^{-1/2} = 0 \quad (7.12)$$

adică

$$\frac{\partial}{\partial q^1} [\kappa \kappa_0^{-1} w_{(2)}] - \frac{\partial w_{(1)}}{\partial q^2} + \kappa_0^{-1} \kappa \cdot f = 0 \quad (7.13)$$

unde

$$f = 2\omega \kappa'(z) [1 + \kappa'^2(z)]^{-1/2} \quad (7.14)$$

7.3 Ecuația diferențială pentru funcția de curent în planul imagine

Prin (6.20) rețeaua radial-axială de pe suprafața de curent trece într-o rețea liniară în planul imagine. Analog cu cele de la 6.2.5, folosind în ecuația (7.13) pe (6.24), (6.26) și (6.20) se obține, analog lui (6.40)

$$w_{2/1} \kappa_0 \kappa^{-1} - w_{1/2} \kappa_0 \kappa^{-1} - \kappa_0^{-1} \kappa f = 0 \quad (7.15)$$

în care f define, prin $z = z(q^1)$, funcție de κ_1 .

Introducând funcția de curent Ψ prin (6.34) și înlocuind (6.35) în (7.15) se obține ecuația diferențială pentru funcția de curent în planul imagine

$$[-\bar{h}^{-1}(x_1) \Psi_{/1}]_{/1} - [\bar{h}^{-1}(x_1) \Psi_{/2}]_{/2} - (\kappa_0^{-1} \kappa)^2 \cdot f(x_1) = 0 \quad (7.16)$$

$$\Psi_{/11} \bar{h}^{-1}(x_1) + \Psi_{/22} \bar{h}^{-1}(x_1) + \Psi_{/1} [\bar{h}^{-1}(x_1)]_{/1} + (\kappa_0^{-1} \kappa)^2 \cdot f(x_1) = 0 \quad (7.17)$$

adică; [142], [169], [177]

$$\Psi_{,ii} - h^{-1} h_{,11} \Psi_{,11} + h (r_0^{-1} r)^2 f = 0 \quad (7.18)$$

7.4 Tratarea în formă adimensională. Condiții la limită în planul imagine

Cu schimbarea de variabilă (3.16) și de funcție

$$\Psi^* = \frac{1}{2} b N Q^{-1} \Psi \quad (7.19)$$

care b este lățimea rotorului, Q debitul prin rotor iar N numărul de palete ecuația (7.18) trece în

$$\Psi_{,ii}^* - h^{-1} h_{,11} \Psi_{,11}^* + h (r_0^{-1} r)^2 f^* = 0 \quad (7.20)$$

care

$$f^* = 2 \omega^* r'(z) [1 + r^2(z)]^{-1/2} \quad (7.21)$$

și $z = z(\chi_1^*)$, prin $z = z(q^1)$, (6.20) și (3.16) și

$$\omega^* = \omega L^2 b N (2Q)^{-1} \quad (7.22)$$

ampul de viteze ω_i^* este dat de (4.8)

$$\omega_i^* = \varepsilon_{ij} \Psi_{,j}^* \quad (7.23)$$

legătura

$$\omega_i^* = \frac{1}{2} b N L Q^{-1} \omega_i \quad (7.24)$$

legătura dintre arcul λ (în lungul lui q^1 , deci în lungul meridianului) și z este dată de

$$\lambda = \int_{z^{AM}}^z [1 + r^2(z)]^{1/2} dz \quad (7.25)$$

La trecerea de la λ la χ_1 prin prima relație a lui (6.20).

Pentru condițiile la limită din planul imagine rămân valabile considerațiile de la 6.3 și 6.4.

7.5 Integrarea ecuației diferențiale pentru funcția de curent în planul imagine prin M.E.F.

Vom folosi tot tratarea în formă adimensională și vom reveni la notarea cu asterisc.

Să reluăm ecuația (7.20) cu condițiile la limită de la 6.4 puse însă pentru viteza relativă ω_i . Funcția Ψ poate fi aproximată global pe domeniul Ω din planul imagine prin (3.26). Aplicând metoda lui Galerkin rezultă

$$\int_{\Omega} [\psi_{/i} - h^{-1} h_{/1} \psi_{/1} + h(\bar{r}_0^{-1} r)^2 f] a_{\alpha} d\Omega = 0 \quad (7.26)$$

care integrată prin părți conduce la

$$\int_{\Omega} \psi_{/i} a_{\alpha/i} d\Omega + \int_{\Omega} h^{-1} h_{/1} \psi_{/1} a_{\alpha} d\Omega - \int_{\Omega} h(\bar{r}_0^{-1} r)^2 f a_{\alpha} d\Omega - \int_{\Gamma} \psi_{/i} m_i a_{\alpha}^* d\Gamma = 0 \quad (7.27)$$

și care, cu (3.26) devine

$$\psi_p \int_{\Omega} a_{\alpha/i} a_{p/i} d\Omega + \psi_p \int_{\Omega} h^{-1} h_{/1} a_{p/1} a_{\alpha} d\Omega = \int_{\Gamma} \psi_{/i} m_i a_{\alpha}^* d\Gamma + \int_{\Omega} h(\bar{r}_0^{-1} r)^2 f a_{\alpha} d\Omega \quad (7.28)$$

adică sistemul liniar

$$D_{\alpha p} \psi_p = F_{\alpha} \quad (7.29)$$

în care coeficienții $D_{\alpha p}$ sînt dați de (6.56) iar termenii liberi de

$$F_{\alpha} = \int_{\Gamma} \psi_{/i} m_i a_{\alpha}^* d\Gamma + \int_{\Omega} h(\bar{r}_0^{-1} r)^2 f a_{\alpha} d\Omega \quad (7.30)$$

adică

$$F_{\alpha} = F_{\alpha}^{\Gamma} + F_{\alpha}^{\Omega} \quad (7.31)$$

în care F_{α}^{Γ} sînt dați de (4.31) iar F_{α}^{Ω} de

$$F_{\alpha}^{\Omega} = \int_{\Omega} h(\bar{r}_0^{-1} r)^2 f a_{\alpha} d\Omega. \quad (7.32)$$

Pe un element finit Ω^e din planul imagine funcția ψ poate fi aproximată local prin (3.35). Procedînd similar cu cele de mai înainte obținem pentru fiecare element finit

$$\int_{\Omega^e} [\psi_{/i}^e - h^{-1} h_{/1} \psi_{/1}^e + h(\bar{r}_0^{-1} r)^2 f] a_N^e d\Omega^e = 0 \quad (7.33)$$

care integrată prin părți dă

$$\int_{\Omega^e} \psi_{/i}^e a_{N/i}^e d\Omega^e + \int_{\Omega^e} h^{-1} h_{/1} \psi_{/1}^e a_N^e d\Omega^e - \int_{\Omega^e} h(\bar{r}_0^{-1} r)^2 f a_N^e d\Omega^e - \int_{\Gamma^e} \psi_{/i}^e m_i a_N^{*e} d\Gamma^e = 0 \quad (7.34)$$

din care, cu (3.35), se obține

$$\psi_M^e \int_{\Omega^e} a_{N/i}^e a_{M/i}^e d\Omega^e + \psi_M^e \int_{\Omega^e} h^{-1} h_{/1} a_{M/1}^e a_N^e d\Omega^e = \int_{\Gamma^e} \psi_{/i}^e m_i a_N^{*e} d\Gamma^e + \int_{\Omega^e} h(\bar{r}_0^{-1} r)^2 f a_N^e d\Omega^e \quad (7.35)$$

scrie sistemul liniar

$$D_{NM}^e \Psi_M^e = F_N^e \quad (7.36)$$

în care coeficienții D_{NM}^e sînt dați de (6.60) iar termenii liberi de

$$F_N^e = \int_{\Gamma^e} \psi_{/i}^e m_i a_N^{*e} d\Gamma^e + \int_{\Omega^e} h(\bar{x}_0^{-1} x)^2 f a_N^e d\Omega^e \quad (7.37)$$

avem deci

$$F_N^e = F_N^{e\Gamma} + F_N^{e\Omega} \quad (7.38)$$

cu $F_N^{e\Gamma}$ dați de (4.36) iar $F_N^{e\Omega}$ de

$$F_N^{e\Omega} = \int_{\Omega^e} h(\bar{x}_0^{-1} x)^2 f \cdot a_N^e d\Omega^e \quad (7.39)$$

trecerea de la local la global se va face tot cu formulele (3.42), (3.44), (3.45) și (3.46).

7.6 Calculul termenilor liberi $F_N^{e\Omega}$

Pentru determinarea termenilor liberi vom folosi din nou (3.68) cu (3.71). Se obține

$$F_N^{\Omega} = \int_{-1}^1 \int_{-1}^1 h(\bar{x}_0^{-1} x)^2 f a_N |\mathcal{J}| d\xi d\eta \quad (7.40)$$

în care a_N sînt dați de (3.65), $|\mathcal{J}|$ de (3.69) cu (3.70) iar f de (7.21) cu (7.22). Notînd

$$g_N(\xi, \eta) = h[x_1(\xi, \eta)] \cdot \{ \bar{x}_0^{-1} x_1(\xi, \eta) \}^2 \cdot f \circ z_0 \circ x_1(\xi, \eta) \cdot a_N(\xi, \eta) \frac{1}{8} (\alpha_0 + \alpha_1 \xi + \alpha_2 \eta) \quad (7.41)$$

în care $x_1(\xi, \eta)$ este dat de (3.66) se obține

$$F_N^{\Omega} = \int_{-1}^1 \int_{-1}^1 g_N(\xi, \eta) d\xi d\eta \quad (7.42)$$

Evaluarea termenilor liberi dați de (7.42) se va face tot prin curatură numerică

$$F_N^{\Omega} = \sum_{i=1}^6 \sum_{j=1}^6 w_i w_j g_N(\xi_i, \eta_j) \quad (7.43)$$

în care w_i , ξ_i și η_j sînt dați de (3.90) respectiv (3.91) pentru $n = 6$.

7.7 Determinarea câmpului de viteze în planul imagine

Problema este analagă cu cea de la 6.6.1 cu deosebirea că în locul lui v_i apare w_i iar \bar{w} îl vom defini prin raportare la w^{AM}

$$\bar{w} = w \cdot w^{AM^{-1}} \quad (7.44)$$

7.8 Transpunerea rezultatelor din planul imagine pe suprafața de curent

7.8.1 Transpunerea liniilor de curent

Se face analog cu cele prezentate la 6.9.1.

7.8.2 Transpunerea câmpului de viteze

Se face la fel cu cele prezentate la 6.9.2, cu w_i , însă în loc de v_i .

7.8.3 Determinarea câmpului de presiuni pe suprafața de curent

Câmpul de presiuni p_0 , în mișcarea relativă fizică de pe suprafața de curent de revoluție se obține scriind ecuația lui Bernoulli în lungul unei linii de curent de pe suprafață între punctul de la intrare și un punct curent. Se obține

$$p_0 - p_0^{AM} = 2^{-1} \rho \{ w_0^{AM^2} - w_0^2 - u_0^{AM^2} + u_0^2 \} \quad (7.45)$$

sau, raportat la $2^{-1} \rho w_0^{AM^2}$

$$\begin{aligned} \bar{p}_0 &= [p_0 - p_0^{AM}] 2 \rho^{-1} w_0^{AM^{-2}} = \\ &= 1 - \bar{w}_0^2 + \omega^2 \cdot r^{AM^2} \cdot w_0^{AM^{-2}} \{ (r \cdot r^{AM^{-1}})^2 - 1 \} \end{aligned} \quad (7.46)$$

sau încă, cu (6.84) (cu w în loc de v)

$$\bar{p}_0 = 1 - r_0^2 r^{-2} \bar{w}^2 + \omega^2 r^{AM^2} r_0^{-2} w^{AM^{-2}} \{ (r \cdot r^{AM^{-1}})^2 - 1 \} \quad (7.47)$$

7.9 Exemplu de calcul

Metoda a fost aplicată rețelei de profile radial-axiale de turbină Francis prezentată la 6.10 (vezi și fig.7.1).

În cele ce urmează este dată rezolvarea complexă a mișcării rotaționale și fără evoluție a unui fluid incompresibil în jurul rețelei de profile menționate, de deviație cunoscută, comutînd problema în planul imagine și apoi transpunînd rezultatele pe suprafața de curent de revoluție.

7.9.1 Domeniul de analiză din planul imagine

Domeniul de analiză este cel din fig.7.5 pe care s-a păstrat discretizarea prezentată la 7.5.3.

7.9.2 Realizarea programului de calcul

Rezolvarea problemei a fost obținută cu ajutorul programului MISSROT (prezentat la 6.10.2) cu unele modificări și adăugiri, în cadrul cărora au fost utilizate subprogramele

- (i) DISCRET (vezi 3.12.2 (i))
- (ii) SISTEM (vezi 3.12.2 (ii))
- (iii) VITCEG (vezi 5.8.2 (iii))
- (iv) CAUT 4 (vezi 3.12.2 (iv))
- (v) CONDLIM (vezi 4.12.2 (v))
- (vi) REAREANJ (vezi 5.9.3)
- (vii) COEFPOR (vezi 6.10.2 (vii))
- (viii) PRG (vezi 6.10.2 (viii))
- (ix) DERLOG (vezi 6.10.2 (ix))
- (x) TRSP (vezi 6.10.2 (x))
- (x1) TLIBROT care realizează calculul termenilor liberi suplimentari.

7.9.3 Rezultate numerice

Programul a fost rulat la valori parametrice ale lui ω în intervalul $[-1,2 ; 1,2]$. În fig.7.2 sînt prezentate liniile de curent în planul imagine în domeniul de analiză considerat, pentru $\omega = 0,4$, păstrînd condițiile la limită de la intrare și ieșire. În fig.7.3 sînt date liniile de curent pentru $\omega = -0,4$ cu aceeași păstrare a condițiilor la limită. În fig.7.4 este dată variația vitezei \bar{w} în lungul profilului din planul imagine iar în fig.7.5 variația presiunii \bar{p} pentru $\omega \geq 0$. În fig.7.6 respectiv 7.7 sînt date aceleași variații pentru $\omega \leq 0$. În fig.7.8 este dată variația vitezei fizice \bar{w}_0 pe frontiera profilului de pe suprafața de curent de revoluție în lungul loxodromei iar în fig.7.9 variația presiunii \bar{p}_0 pe frontiera profilului de pe suprafață pentru $\omega \geq 0$. În fig. 7.10 respectiv 7.11 sînt date aceleași variații pentru $\omega \leq 0$.

Cîmpul de viteze de pe frontiera profilului din planul imagine a permis calculul circulației $\bar{\Gamma}^v = \bar{\Gamma}_0^v$ la valori parametrice ale lui ω .

În fig.7.12 este prezentată variația circulației $\bar{\Gamma}^v = \bar{\Gamma}_0^v$ în raport cu ω . Este de semnalat caracterul liniar al acestei variații.

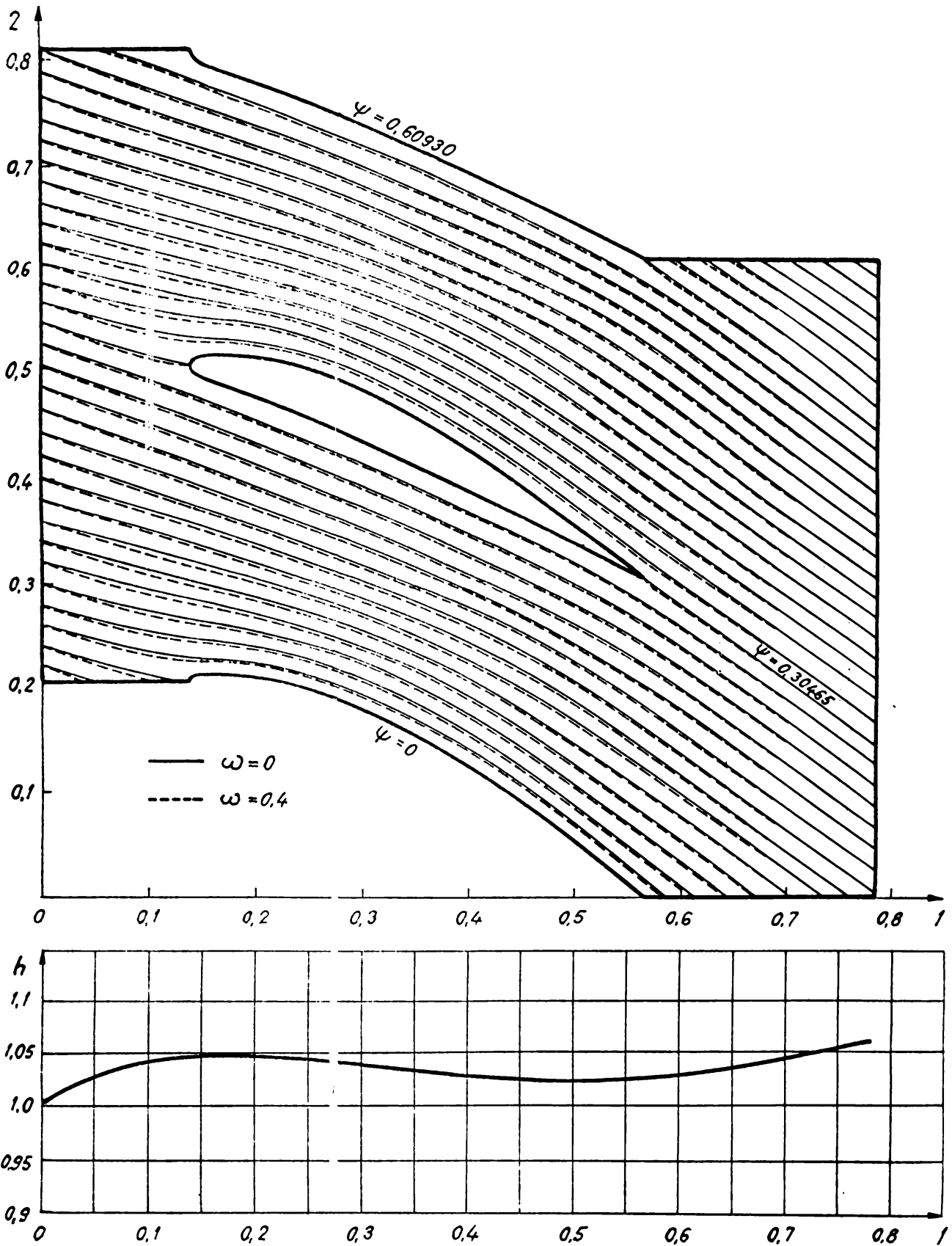


Fig.7.2 Linii de curent în planul imagine pentru $\omega = 0,4$

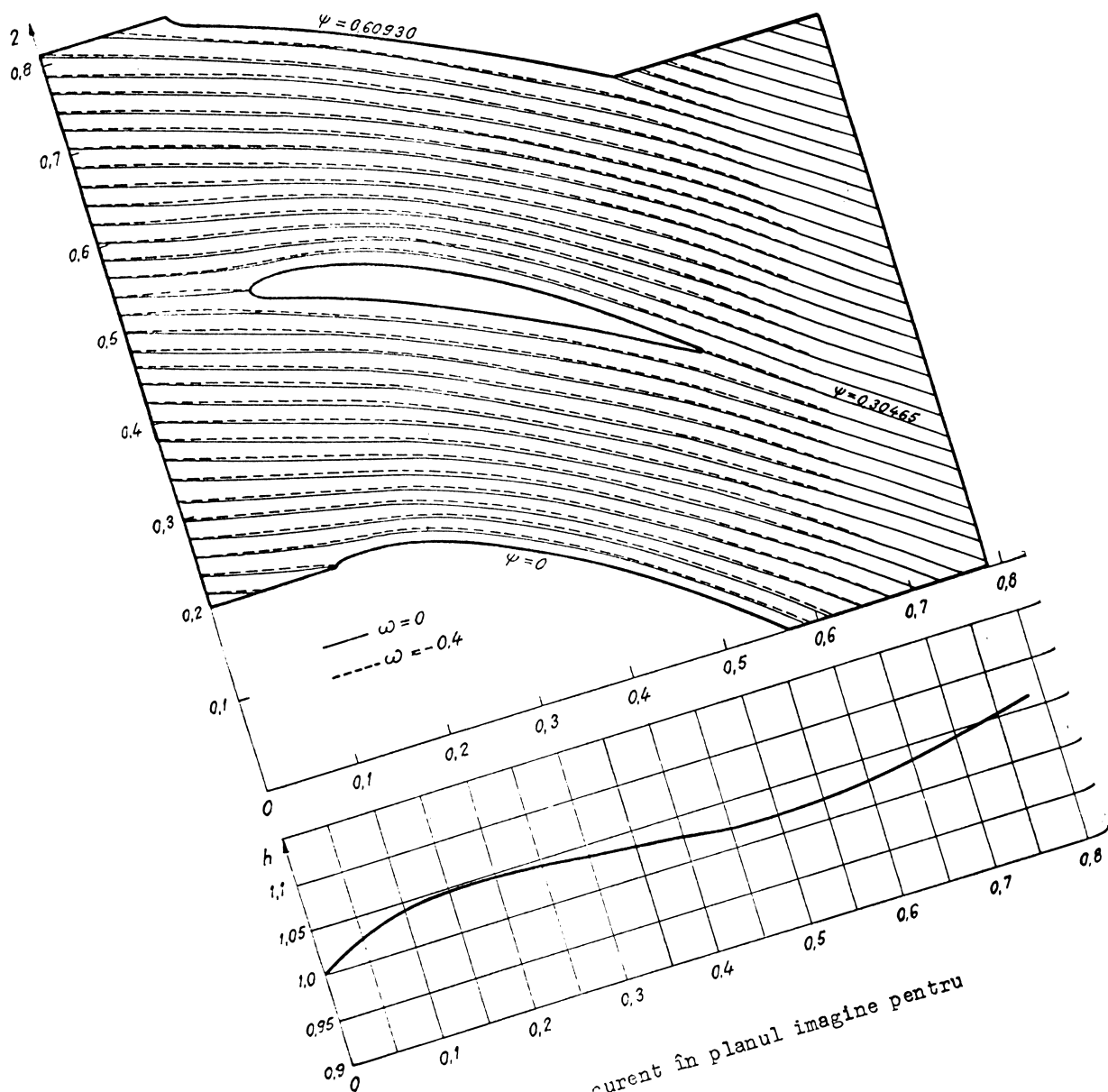


Fig.7.3 Linile de curent în planul imagine pentru $\omega = -0,4$

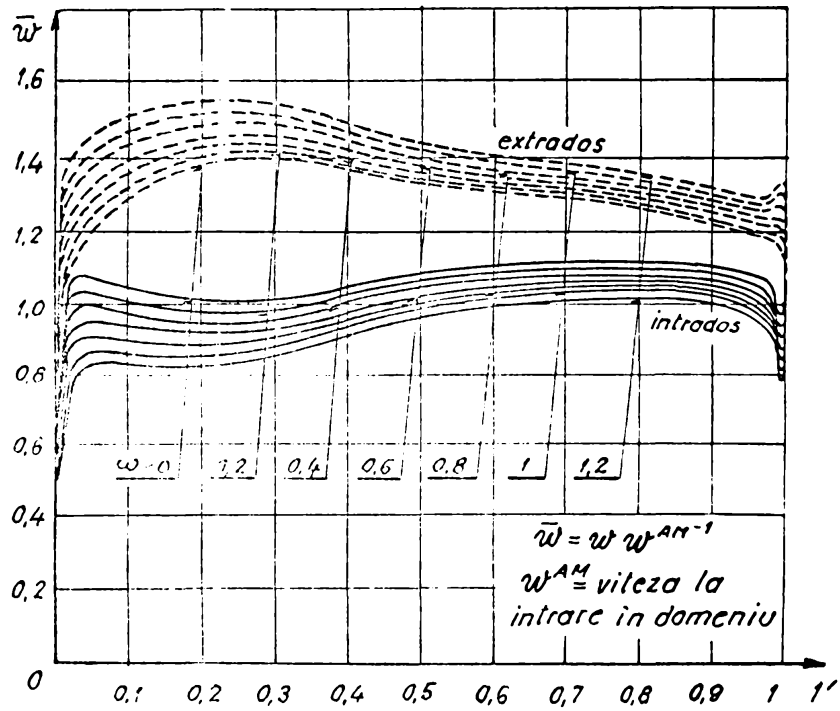


Fig.7.4 Câmpul de viteze pe frontiera profilului în planul imagine $\omega \geq 0$.

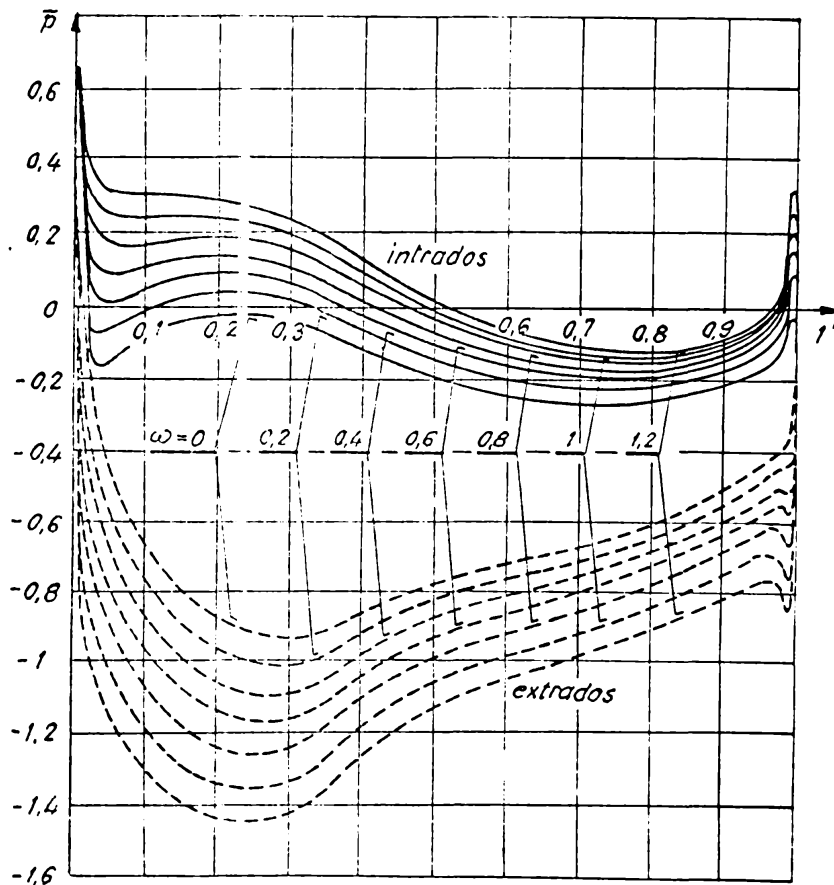


Fig.7.5 Câmpul de presiuni pe frontiera profilului în planul imagine $\omega \geq 0$

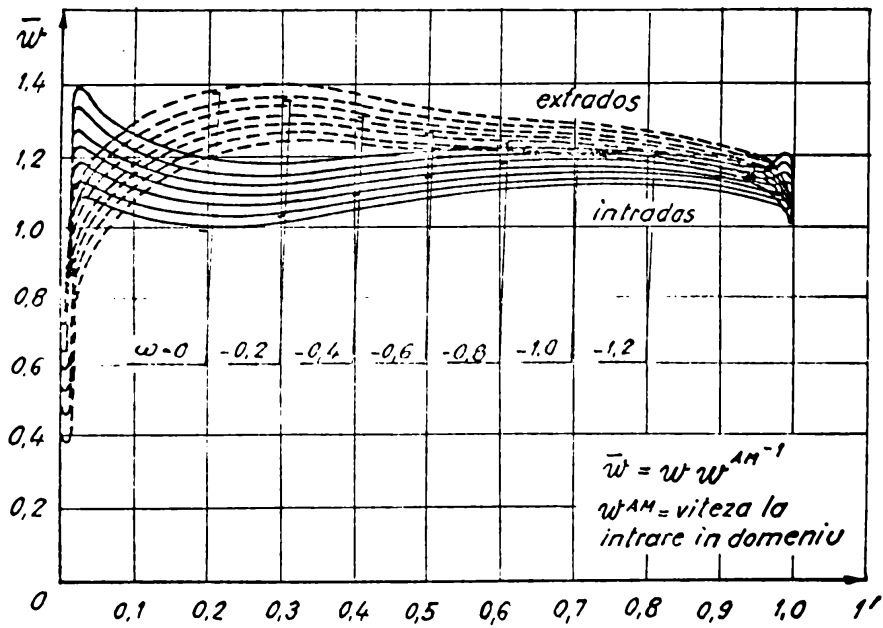


Fig.7.6 Câmpul de viteze pe frontiera profilului în planul imagine ; $\omega \leq 0$.

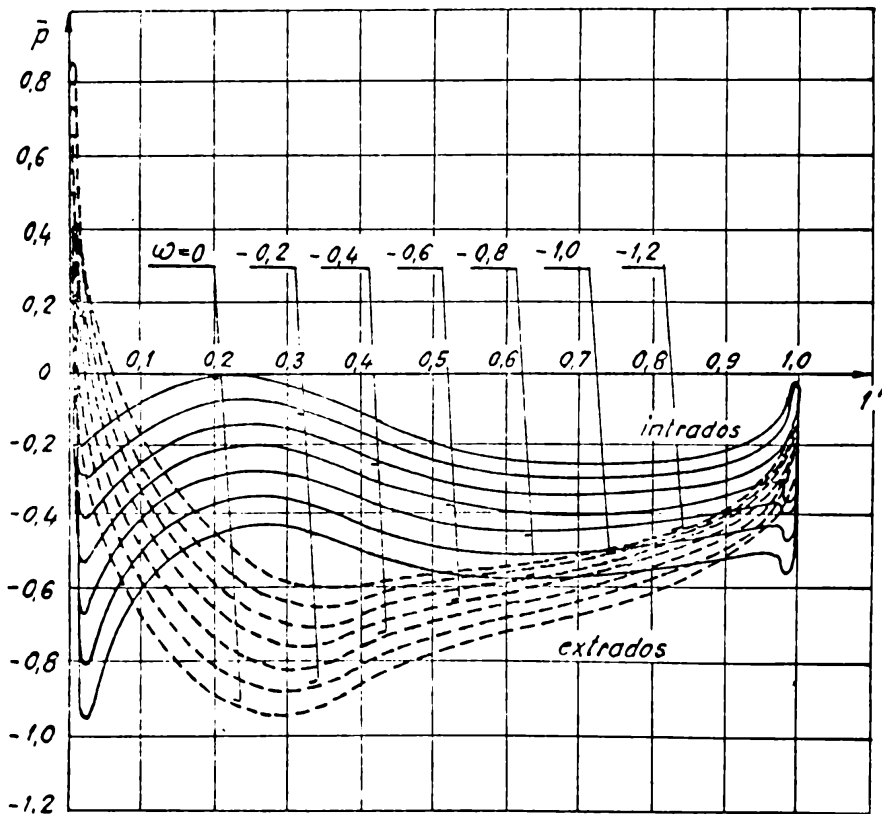


Fig.7.7 Câmpul de presiuni pe frontiera profilului în planul imagine ; $\omega \leq 0$.

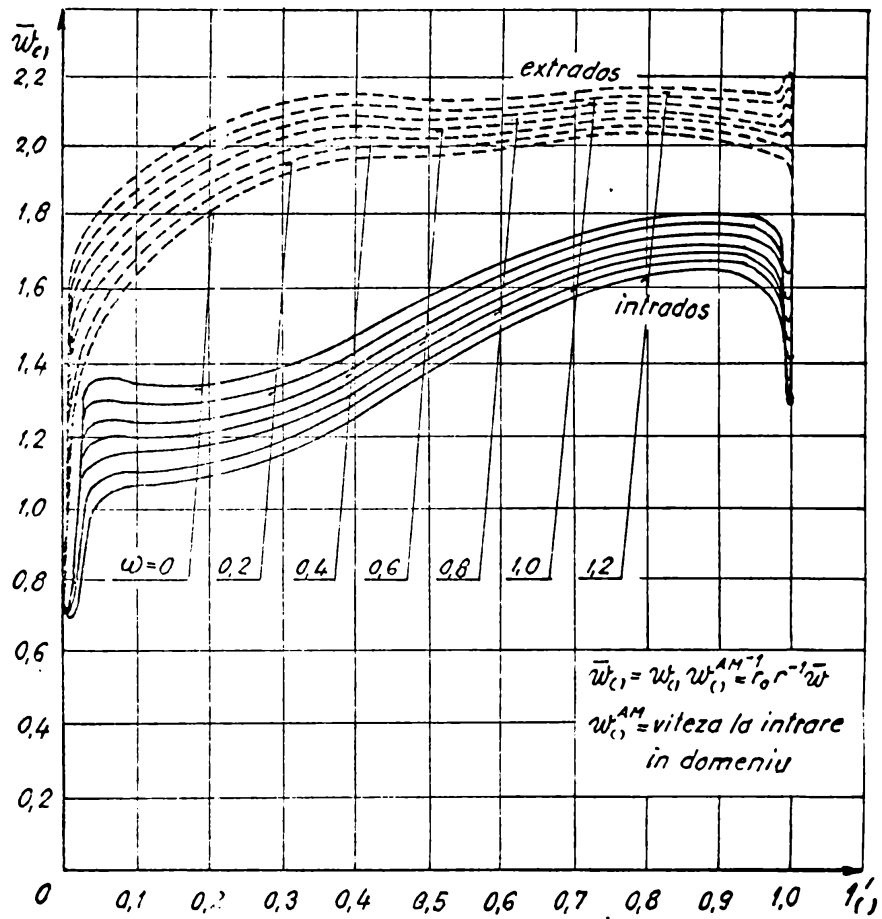


Fig.7.8 Cîmpul de viteze pe frontiera profilului de pe suprafața de curent în lungul loxodromei; $\omega \geq 0$.

ω	0	0,2	0,4	0,6	0,8	1,0	1,2
$\bar{\Gamma}^v$	0,4080	0,5417	0,6875	0,8271	0,6671	1,1070	1,2460
C^F	0,9166	1,2450	1,5720	1,8950	2,2170	2,5360	2,8510

ω	0	-0,2	-0,4	-0,6	-0,8	-1,0	-1,2
$\bar{\Gamma}^v$	0,4080	0,2683	0,1286	-0,0111	-0,1510	-0,2904	-0,4303
C^F	0,9166	0,5854	0,2516	-0,0846	-0,4235	-0,7638	-1,1080

7.9.4 Extremele de depresiune

Un interes deosebit la mișcarea fluidelor în jurul rețelelor de profile îl prezintă extremele de depresiune. Analiza câmpului de presiuni de pe frontiera profilelor (vezi fig.7.9 și 7.11) a stabilit existența a 6 zone în care apar extreme locale de depresiune și anume

- (i) IA intrados, zona bordului de atac
- (ii) IP intrados, zona posterioară a profilului
- (iii) IF intrados, zona bordului de fugă
- (iv) EC extrados, zona centrală a profilului
- (v) EP extrados, zona posterioară a profilului
- (vi) EF extrados, zona bordului de fugă

și tendința, pentru valori mai mari ale lui ω ($\omega > 1,2$), de formare a unei a 7-a zone

- (vii) EA extrados, zona bordului de atac

Variația extremelor locale de depresiune pentru cele 6 zone permite alcătuirea diagramei din fig.7.15 din care se poate analiza variația în raport cu ω , a extremului global de depresiune al profilului de pe suprafața de curent. La creșterea lui ω de exemplu, zona în care apare extremul global de depresiune se deplasează distinctiv pe frontiera profilului de pe suprafața de curent în ordinea $IF \rightarrow EP \rightarrow EF$ (fig.7.14 cazul $\omega \nearrow$) definind valorile de mutație ale lui ω .

- (i) $\omega_{IF \rightarrow EP} = \omega_{EP \rightarrow IF}$ la saltul $IF \rightarrow EP$ respectiv $EP \rightarrow IF$
- (ii) $\omega_{EP \rightarrow EF} = \omega_{EF \rightarrow EP}$ la saltul $EP \rightarrow EF$ respectiv $EF \rightarrow EP$

În fig.7.16 sînt prezentate valorile de mutație ale lui ω pentru rețeaua de profile radial-axială amintită împreună cu "deplasarea" punctului nominal de extrem global de depresiune la variația lui ω .

Toate aceste considerații sînt utile în studiul fenomenului de cavitație la rețelele de profile radial-axiale.

În cazul rețelelor de profile radial-axiale de turbină (cum este cazul celei de față) mai realistă este situația în care mărimile sînt raportate la viteza de la ieșire w_{c1}^{AV} din domeniu, definind câmpul de viteze

$$\bar{w}_{c1} = w_{c0} w_{c1}^{AV-1} \tag{7.48}$$

și câmpul de presiuni

$$\bar{p}_{c1} = [p_{c0} - p_{c0}^{AV}] \cdot 2\rho^{-1} w_{c0}^{AV-2} \tag{7.49}$$

sau, folosind (7.48)

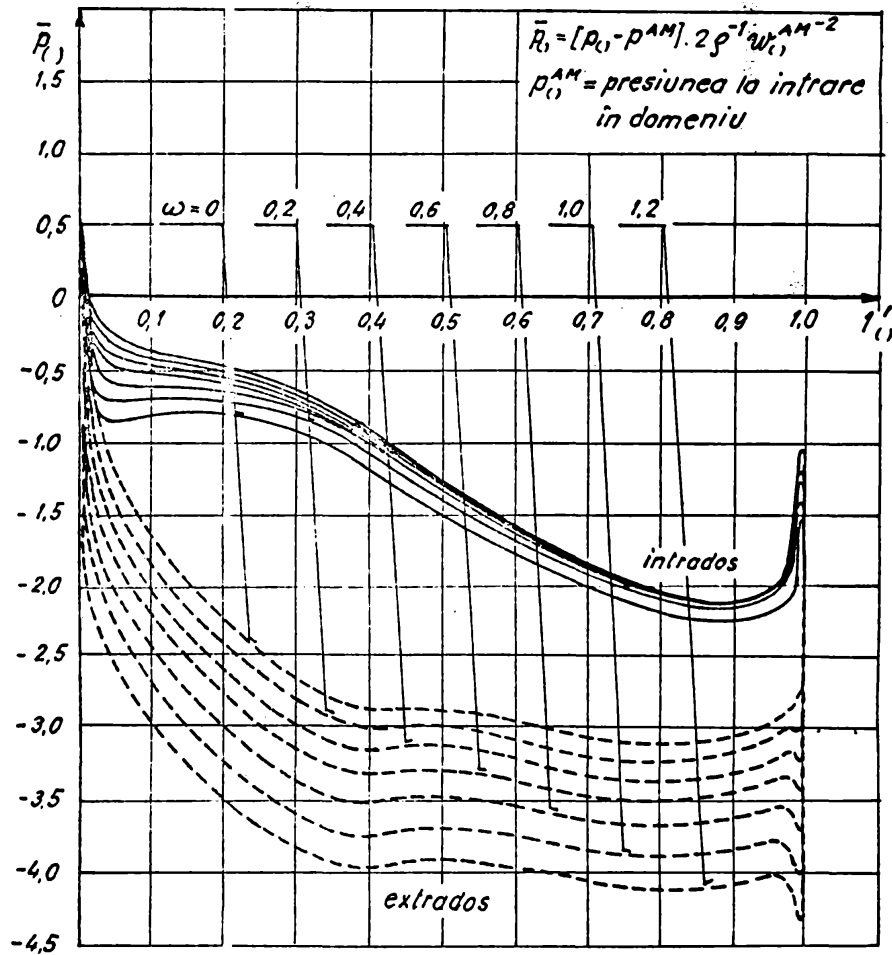


Fig.7.9 Cîmpul de presiuni pe frontiera profilului de pe suprafața de curent în lungul loxodromei; $\omega \geq 0$.

$$\bar{p}_0 = 1 - \bar{w}_0^2 + \omega^2 \cdot r_0^{AV^2} \cdot w_0^{AV^{-2}} \left[(r_0 \cdot r_0^{AV^{-1}})^2 - 1 \right] \quad (7.50)$$

adică, analog lui (7.47)

$$\bar{p}_0 = 1 - r_0^2 \cdot r_0^{-2} \bar{w}^2 + \omega^2 \cdot r_0^{AV^2} \cdot r_0^{-2} \cdot w_0^{AV^{-2}} \left[(r_0 \cdot r_0^{AV^{-1}})^2 - 1 \right] \quad (7.51)$$

Diagrama din fig.7.15, împreună cu distribuțiile de presiuni din fig.7.9 și 7.11 permit o analiză a sensibilității la cavitație a rețelei de profile pentru o valoare constantă a lui ω . Caracteristica exterioară de cavitație este practic o dreaptă paralelă cu axa absciselor. Mărirea depresiunii din zona rotorului este echivalentă cu o translație a curbei caracteristice exterioare

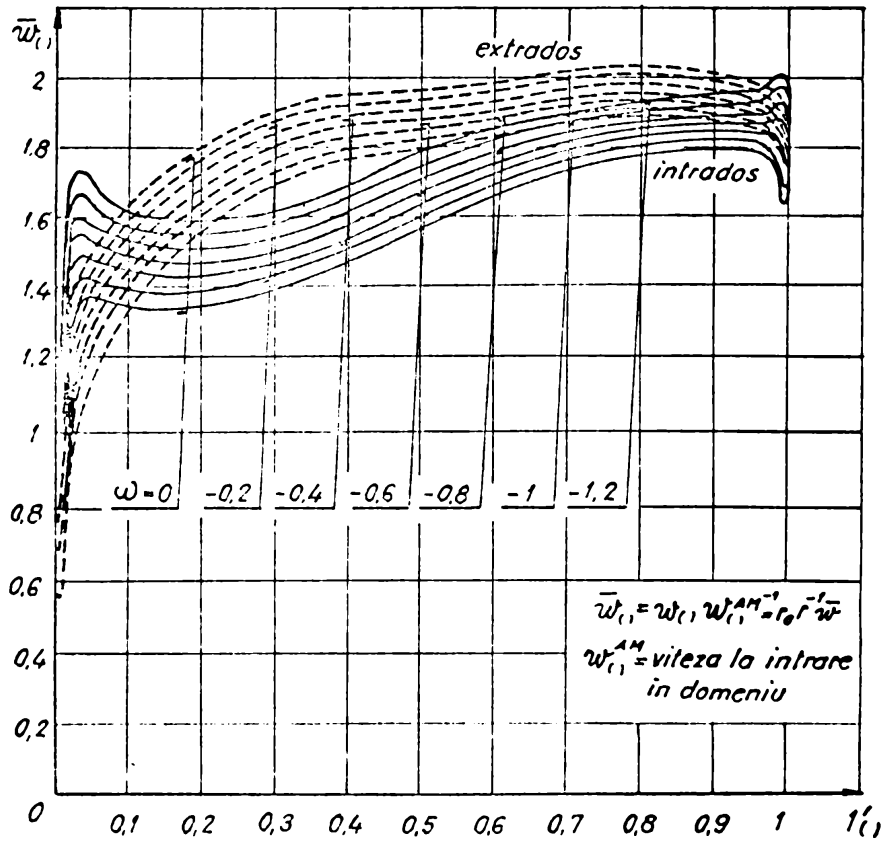


Fig.7.10 Câmpul de viteze pe frontiera profilului de pe suprafața de curent în lungul loxodromei, $\omega \leq 0$.

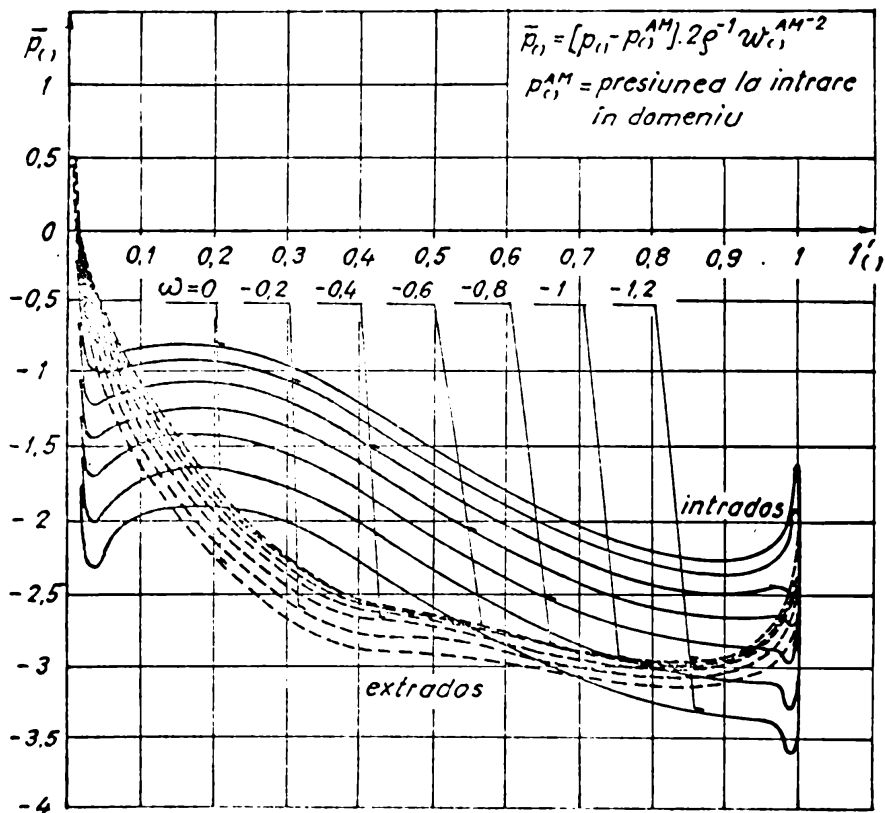


Fig.7.11 Câmpul de presiuni pe frontiera profilului de pe suprafața de curent în lungul loxodromei, $\omega \leq 0$.

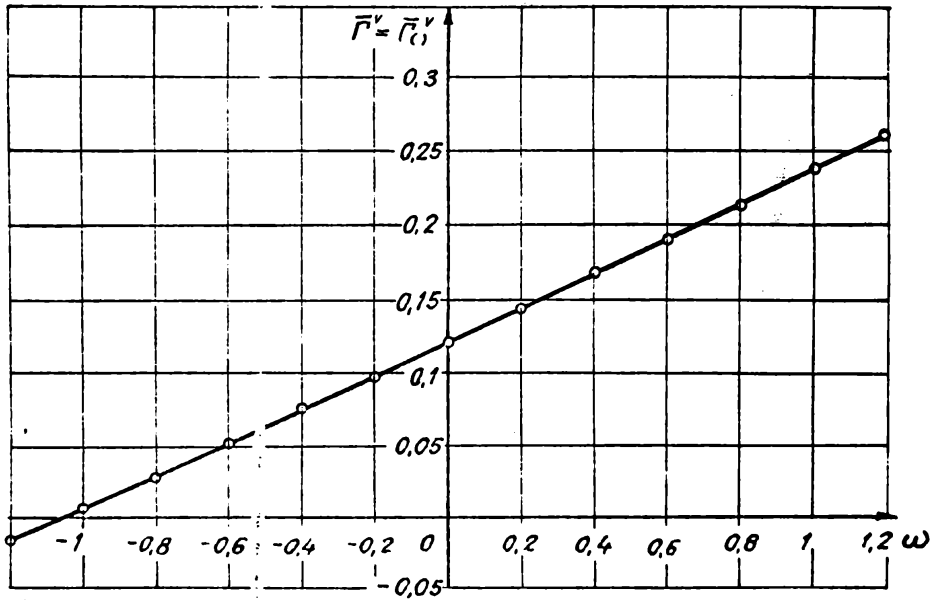


Fig.7.12 Variația circulației $\Gamma^v = \Gamma_{c1}^v$ cu ω .

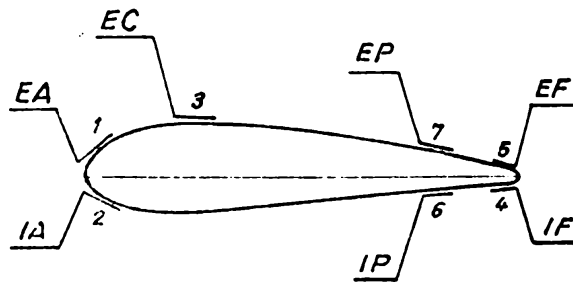


Fig.7.13 Zonele de extrem local de depresiune

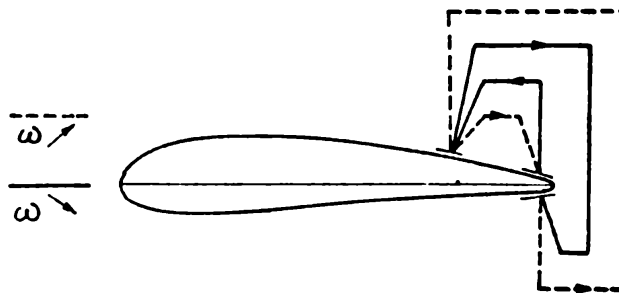


Fig.7.14 "Deplasarea" zonei nomade în care apare extremul global de depresiune la variația lui ω .

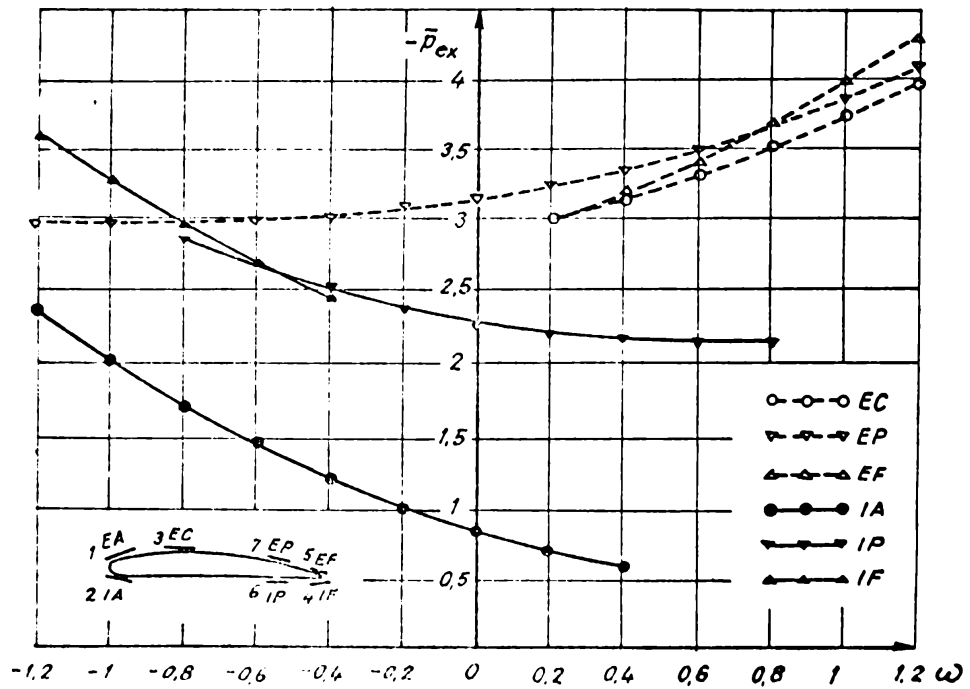


Fig.7.15 Variația extremelor locale de depresiune pentru cele 6 zone în raport cu ω .

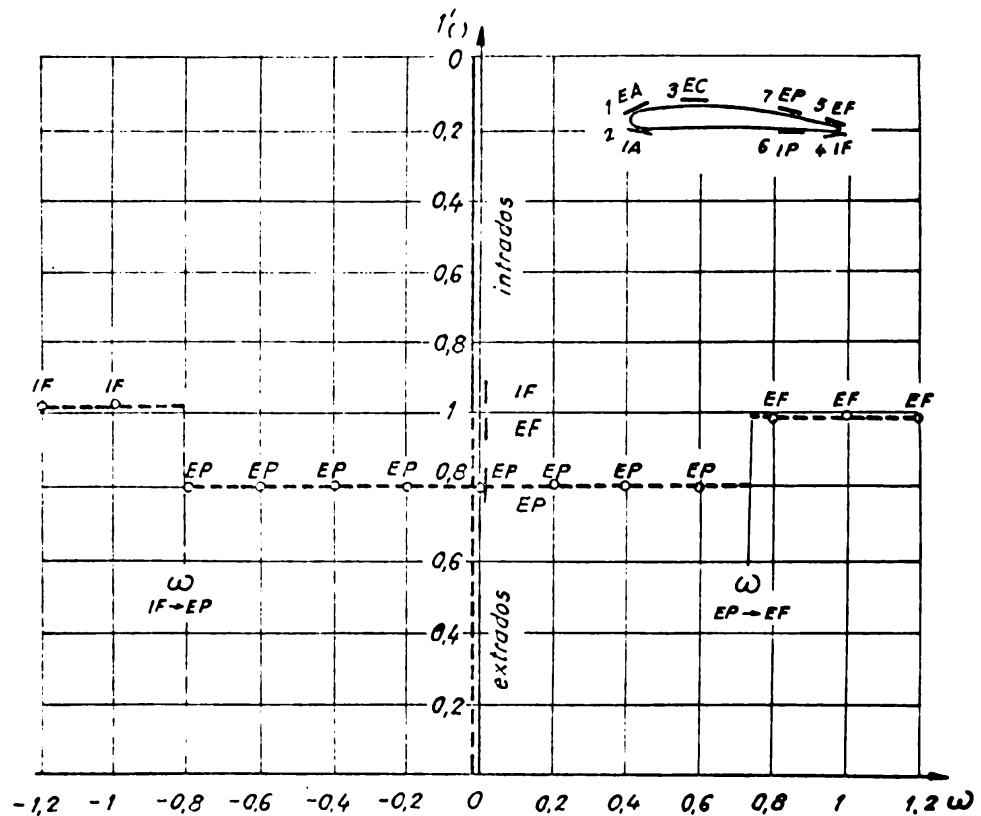


Fig.7.16 "Deplasarea" punctului normal (abscisa) de extrem global de depresiune la variația lui ω . Valorile de mutație ale lui ω .

de cavitație de la valorile negative ale lui \bar{p}_0 (sau \bar{p}_0) spre origine în lungul azei ordonatelor (translație în sus în diagramele din fig.7.9 și 7.11 și translație în jos în diagrama din fig. 7.15). De exemplu pentru $\omega = -1,2$ (vezi fig.7.11 și 7.15) cavitația apare în zona IF (intrados fugă). Cu mărirea depresiunii cavitația se extinde pe suprafața intrados a profilului dinspre bordul de fugă spre partea centrală iar la un moment dat se activează zona EP (extrados posterior) și mai târziu zona IA (intrados atac)- Pentru $\omega = 0$ aceleași diagrame arată că incipiența cavitației se realizează în zona EP. Mărirea depresiunii determină extinderea cavitației pe aproape toată suprafața extrados și foarte târziu este activată zona IP (intrados posterior). Pentru $\omega = 1,2$ (vezi diagramele din fig.7.9 și 7.15) cavitația apare în zona EP (extrados fugă) și imediat sînt activate EP și EC (extrados central). Mărirea depresiunii determină extinderea cavitației pe aproape întreaga suprafață a extradosului fără să fie afectată curgerea în lungul suprafeței intrados.

7.9.5. Modificarea condițiilor la limită

La 7.9.3 au fost prezentate rezultatele în cazul curgerii în jurul rețelei de profile de la 6.10 păstrînd neschimbate condițiile la limită de la intrare și ieșire la variații parametrice ale lui ω . Cu aplicații la turbinele Francis, în exploatare apare necesară comportarea rețelei radial axiale la diferite regimuri de funcționare a turbinei sau echivalent la condiții la limită modificate pentru rețeaua radial-axială.

În cele ce urmează sînt date rezultatele privind mișcarea lichidului ideal în jurul rețelei radial-axiale modificînd condițiile de la intrare în ipoteza conservării componentei tangențiale a vitezei absolute de la intrare în domeniu $v_{(2)}^{AM}$, la variații parametrice a componentei meridionale $v_{(1)}^{AM}$ (situație ce apare frecvent la reglarea turbinelor Francis) și a unghiului β^{AV} . Cum $u_{(1)}^{AM}$ este același conservarea lui $v_{(1)}^{AM}$ implică și conservarea lui $w_{(1)}^{AM}$. Drept nominală a fost considerată situația de la 7.9.3 pentru $\omega = 0,4$ iar pentru $v_{(1)}^{AM}$ cazurile $v_{(1)}^{AM} \cdot v_{(1)m}^{AM-1} = 0,5 ; 0,75 ; 1 ; 1,25$ și $1,5$. Cum $v_{(1)}^{AM} = v_i^{AM}$ și (6.20) este conformă triunghiurile de viteză de la intrarea în domeniul de pe suprafața de curent se transpun neschimbate în domeniul din planul imagine iar $v_1^{AV} = v_1^{AM} \cdot v^{AV-1}$ permite determinarea și a triunghiurilor de viteze de la ieșirea din domeniul din planul imagine.

În fig.7.17 sînt prezentate triunghiurile de viteze de la intrare respectiv ieșire din domeniul din planul imagine pentru

cazul nominal ($U_1^{AM} \cdot U_{1n}^{AM^{-1}} = 1$) și pentru cazurile extreme 0,5 și 1,5 iar în fig.7.18 unghiurile cinematice tipice ale triunghiurilor de viteze.

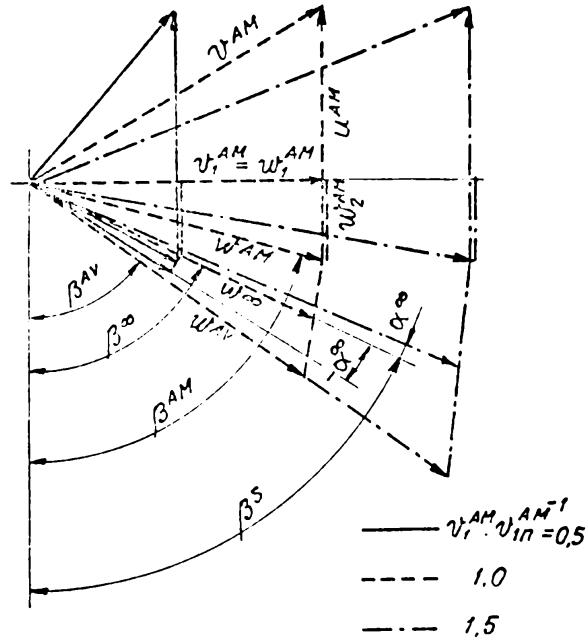


Fig.7.17 Triunghiurile de viteze de la intrare respectiv ieșire din domeniul din planul imagine

$U_1^{AM} \cdot U_{1n}^{AM^{-1}}$	β^{AM}	β^{AV}	β^∞	α^∞
0.5	61°48'48"	54°	57°51'24"	-6°25'06"
0,75	70°20'24"	54°	61°47'35"	-2°28'45"
1	75°	54°	63°52'44"	-0°23'36"
1,25	77°54'04"	54°	65°10'03"	0°53'33"
1,5	79°52'19"	54°	66°02'31"	1°46'01"

Fig.7.18 Unghiurile cinematice tipice de la intrare respectiv ieșire din domeniul din planul imagine la valori parametriche ale lui $U_1^{AM} \cdot U_{1n}^{AM^{-1}}$.

În fig.7.19 este dată variația vitezei fizice \bar{w}_c pe frontiera profilului de pe suprafața de curent de revoluție în lungul loxodromei în funcție de raportul $u_1^{AM} \cdot u_{1n}^{AM-1}$. În fig.7.20 și 7.21 este prezentată variația presiunii \bar{p}_c respectiv \bar{p}_i pe frontiera profilului, de pe suprafața de curent în lungul loxodromei în raport cu $u_1^{AM} \cdot u_{1n}^{AM-1}$.

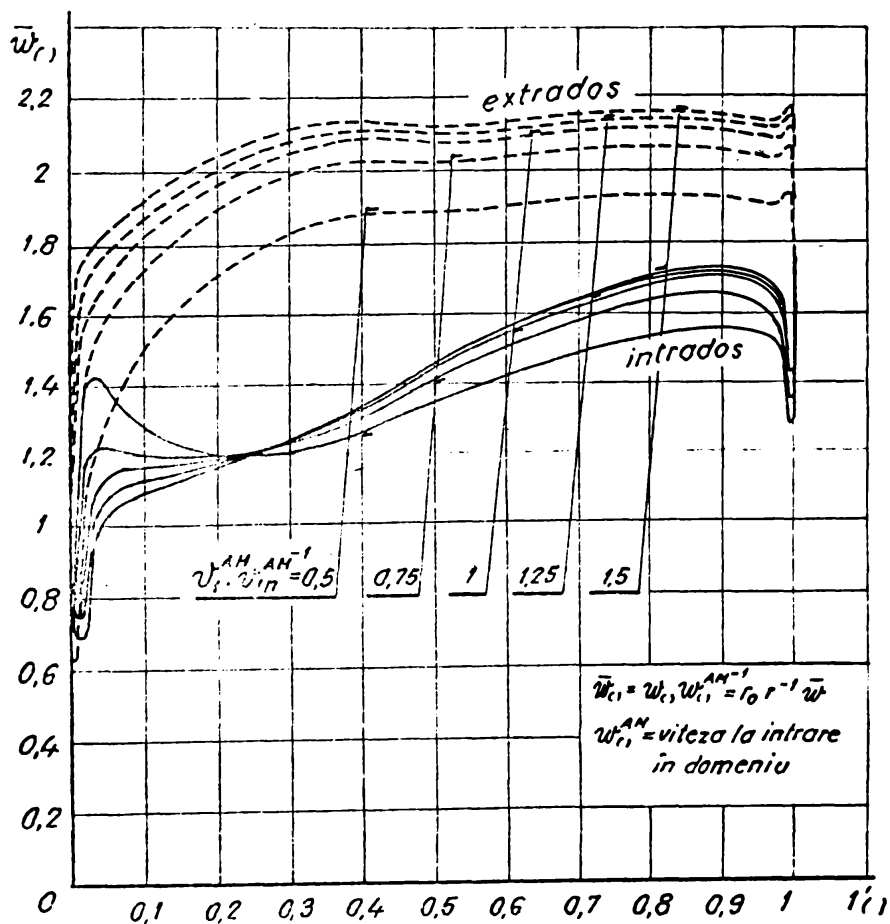


Fig.7.19 Câmpul de viteze pe frontiera profilului de pe suprafața de curent în lungul loxodromei la valori diferite ale lui $u_1^{AM} \cdot u_{1n}^{AM-1}$.

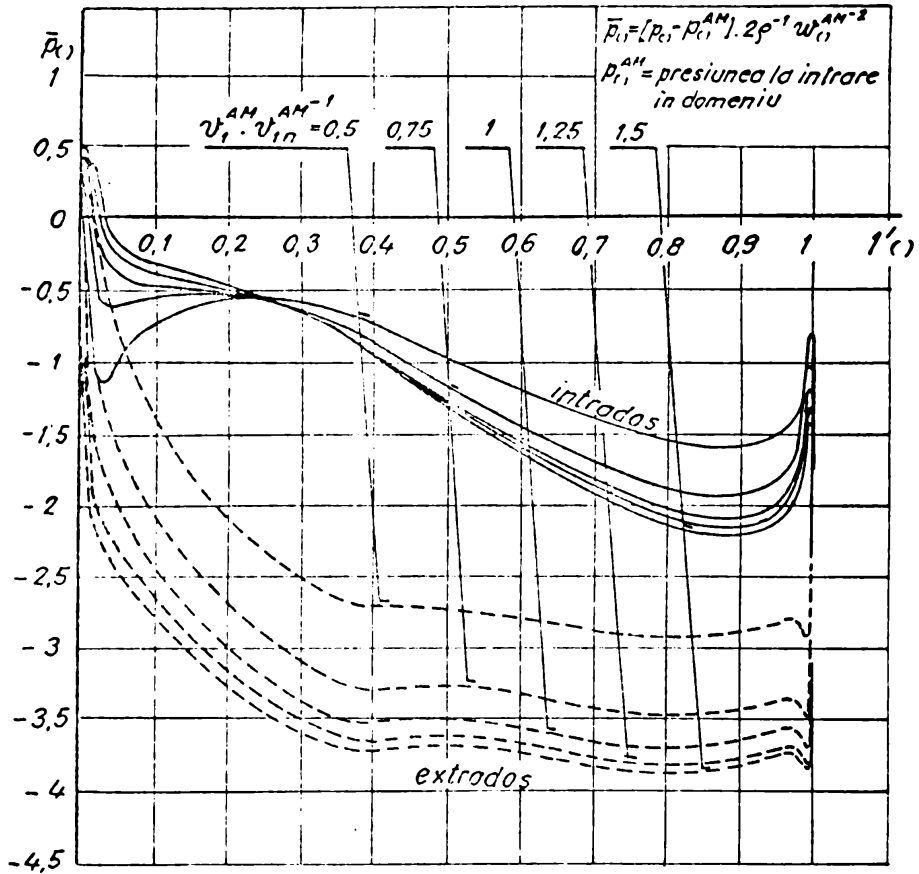


Fig.7.20 Câmpul de presiuni \bar{p}_c pe frontiera profilului de pe suprafața de curent în lungul loxodromei la valori diferite ale lui $u_1^{AM} \cdot u_{in}^{AM-1}$.

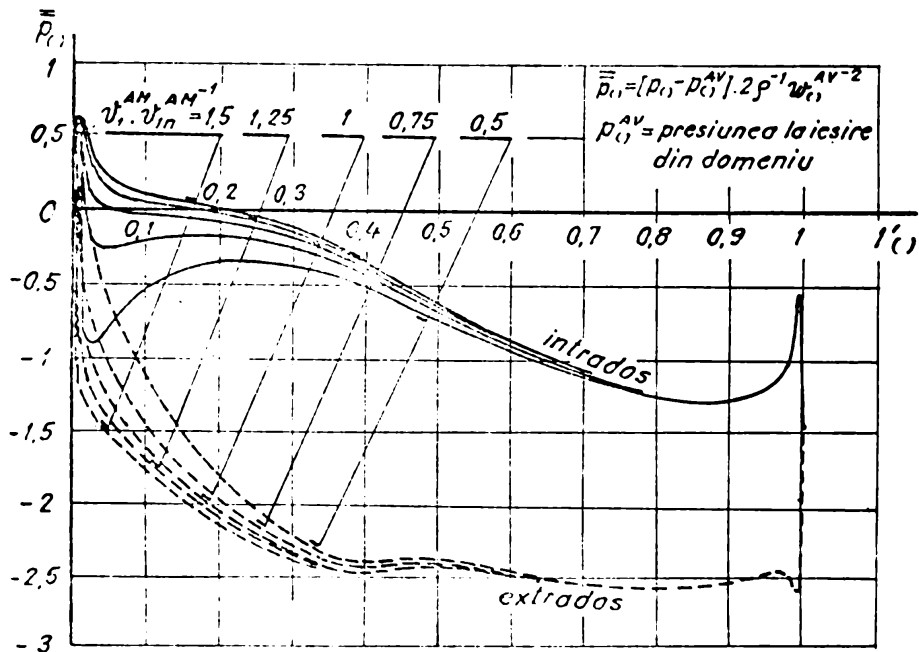


Fig.7.21 Câmpul de presiuni \bar{p}_c pe frontiera profilului de pe suprafața de curent în lungul loxodromei la valori diferite ale lui $u_1^{AM} \cdot u_{in}^{AM-1}$.

In fig.7.19 este dată variația vitezei fizice \bar{w}_c , pe frontiera profilului de pe suprafața de curent de revoluție în lungul loxodromei în funcție de raportul $v_1^{AM} \cdot v_{1m}^{AM-1}$. In fig.7.20 și 7.21 este prezentată variația presiunii \bar{p}_c respectiv \bar{p}_c pe frontiera profilului de pe suprafața de curent în lungul loxodromei în raport cu $v_1^{AM} \cdot v_{1m}^{AM-1}$.

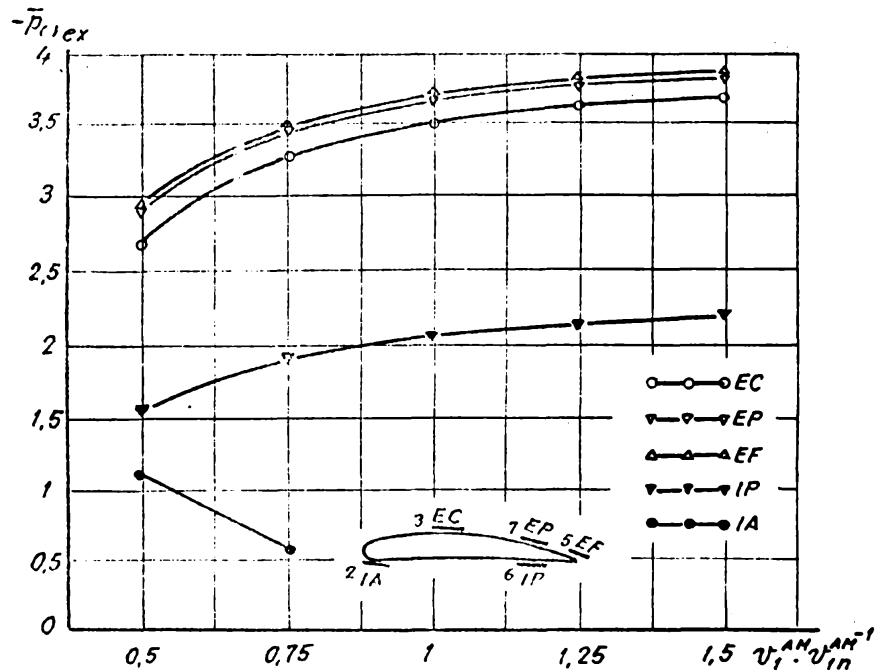


Fig.7.22 Variația extremelor locale de depresiune $\bar{p}_{c,ex}$ pentru cele 5 zone cu raportul $v_1^{AM} \cdot v_{1m}^{AM-1}$

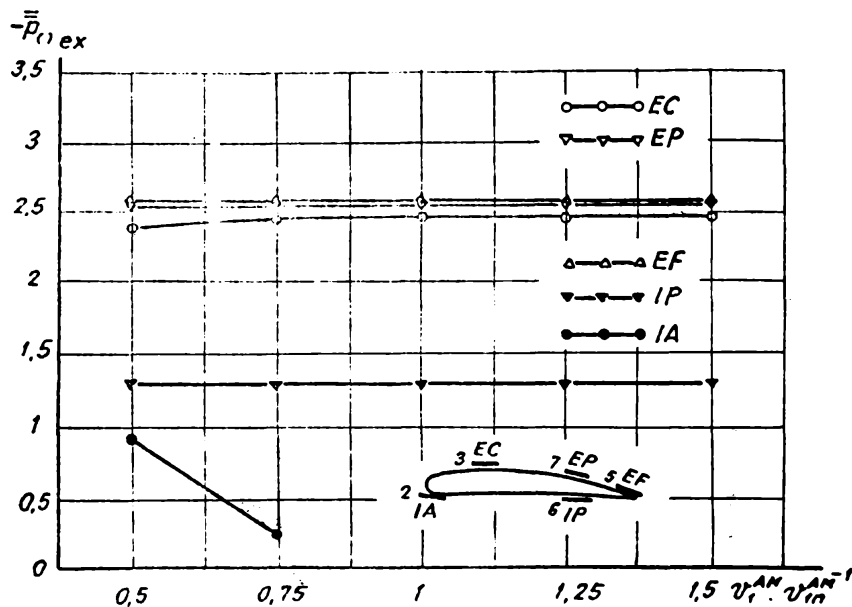


Fig.7.23 Variația extremelor locale de depresiune $\bar{p}_{c,ex}$ pentru cele 5 zone cu raportul $v_1^{AM} \cdot v_{1m}^{AM-1}$

Analog cu cele de la 7.9.4 și în acest caz apar 5 zone de curent local de depresiune (nu mai apare zona IF). Diagramele din fig.7.22 și fig.7.23 (analoage celei din fig.7.15) ne arată variația extremelor locale de depresiune $\bar{p}_{(i)ex}$ respectiv $\bar{p}_{(i)ex}$ pentru cele 5 zone în raport cu $v_1^{AM} \cdot v_{1n}^{AM-1}$

În fig.7.24 este dată variația extremelor locale de depresiune $\bar{p}_{(i)ex}$ pentru cele 5 zone în raport cu unghiul cinematic α° în planul imagine (corespunde bijectiv raportului $v_1^{AM} \cdot v_{1n}^{AM-1}$).

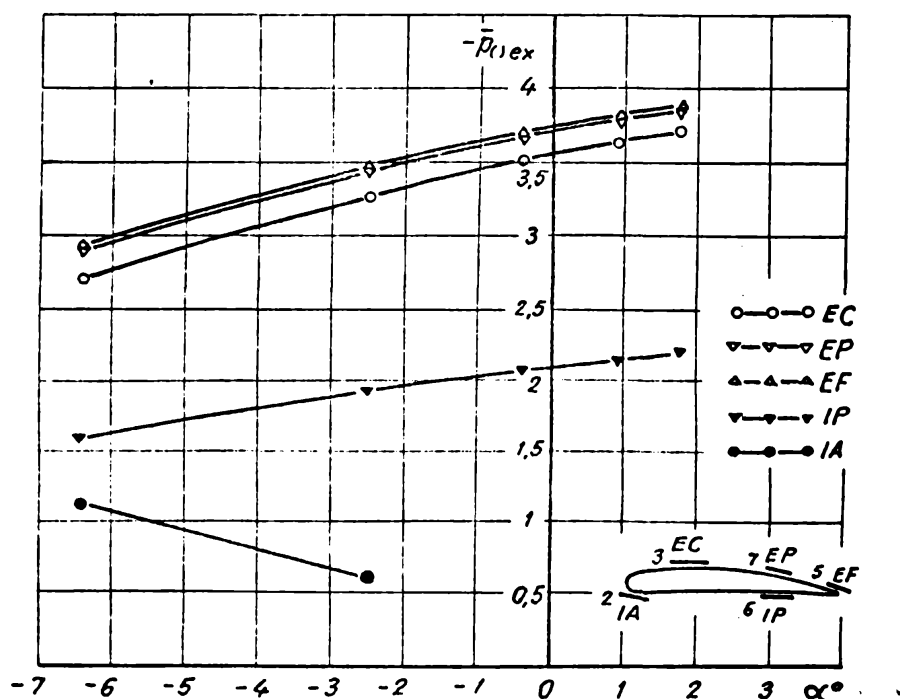


Fig.7.24 Variația extremelor locale de depresiune pentru cele 5 zone în raport cu unghiul cinematic

7-9.10 Comparații cu alte metode

Pentru a avea o imagine a preciziei și acurateții prezentei metode, ea a fost aplicată rețelei radial-axiale mobile dispusă pe meridianul S2 al rotorului Francis încercat de Bär [17], rețea pentru care au fost efectuate și câteva determinări teoretice. Astfel au fost folosite

(i) O metodă bidimensională ce are la bază o ecuație cu derivate parțiale asemănătoare cu (7.18), ce apare în [142], [169], [177] care, prin metoda relaxării a fost soluționată aproximativ într-un procedeu dat de Vötter [167]. Cu ajutorul ei au fost determinate liniile de curent ale mișcării în jurul rețelei din planul imagine precum și câmpul de viteze fizice pe frontiera profilelor de pe suprafața de curent.

(ii) O metodă tridimensională ce are la bază principiul minimei acțiuni și un procedeu numeric de calcul datorat lui Strscheletzky [156] și Vötter [167]. Cu ajutorul ei au fost determinate câmpul de viteze fizice pe frontiera profilelor de pe suprafața de curent.

Pentru soluționarea acestei probleme programul MISSROT a suferit ușoare modificări și adăugiri (față de cel prezentat la 7.9.2) datorate mai ales faptului că, pentru a realiza comparația pentru rețeaua din planul imagine, originea sistemului special de coordonate (vezi fig.7.1) a fost luată pe meridianul S_2 în dreptul lui n^A (în loc de n^M). De asemenea a fost modificată structura funcției f dată de (6.21) fiindcă pentru aproximarea numerică a meridianului S_2 a fost utilizat, zonal, un polinom de grad mai mare.

În fig.7.25 sînt prezentate grosimea relativă a stratului de lichid precum și liniile de curent în planul imagine determinate prin M.E.F. și metoda bidimensională de la 7.9.10 (i).

În fig.7.26 și 7.27 sînt date respectiv câmpul de viteze \bar{w}_0 și presiuni \bar{p}_0 pe frontiera profilului de pe suprafața de curent în lungul loxodromei iar în fig.7.28 și 7.29 câmpul de viteze \bar{w}_0 și presiuni \bar{p}_0 pe frontiera profilului de pe suprafața de curent în lungul loxodromei.

În fig.7.30 și 7.31 sînt prezentate respectiv câmpul de viteze adimensionale $w_0 \cdot (2gH)^{-1/2}$ respectiv presiuni adimensionale $(p_0 - p_0^{AM}) \cdot (2gH)^{-1}$ pe frontiera profilului de pe suprafața de curent în lungul meridianului (partea de meridian ce corespunde proiecției cilindrice a loxodromei).

În fig.7.32 este prezentat comparativ câmpul de viteze adimensionale $w_0 \cdot (2gH)^{-1/2}$ pe frontiera profilului de pe suprafața de curent determinat prin M.E.F., prin cele două metode teoretice (bidimensională conform cu 7.9.10 (i) și tridimensională conform cu 7.9.10 (ii) și experimental (de Bär [17]). Analizînd comparativ, curbele din fig.7.32 au putut fi constatate următoarele :

(i) metoda tridimensională (a cărei folosință presupune cunoașterea unor rezultate obținute cu ajutorul metodei bidimensionale) permite determinarea câmpului de viteze, în bune condițiuni doar în zona centrală a profilului. În zona bordului de atac și zona bordului de fugă rezultatele sînt departe de realitate.

(ii) metoda bidimensională urmărește destul de bine curba experimentală. Si aici rezultatele sînt mai puțin precise în zona

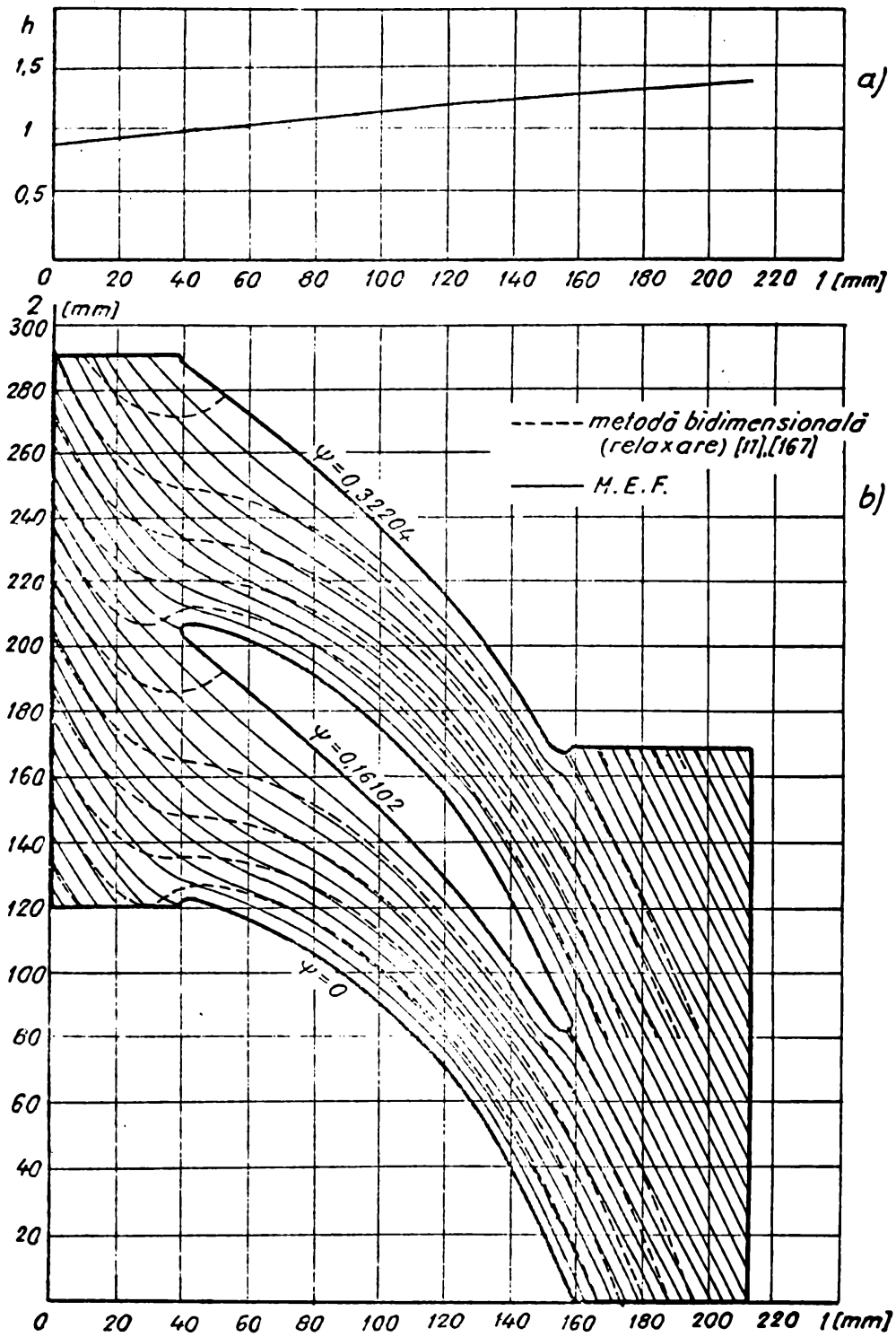


Fig.7.25 Grosimea relativă a stratului de lichid (a).Linii-
le de curent în planul imagine (b)

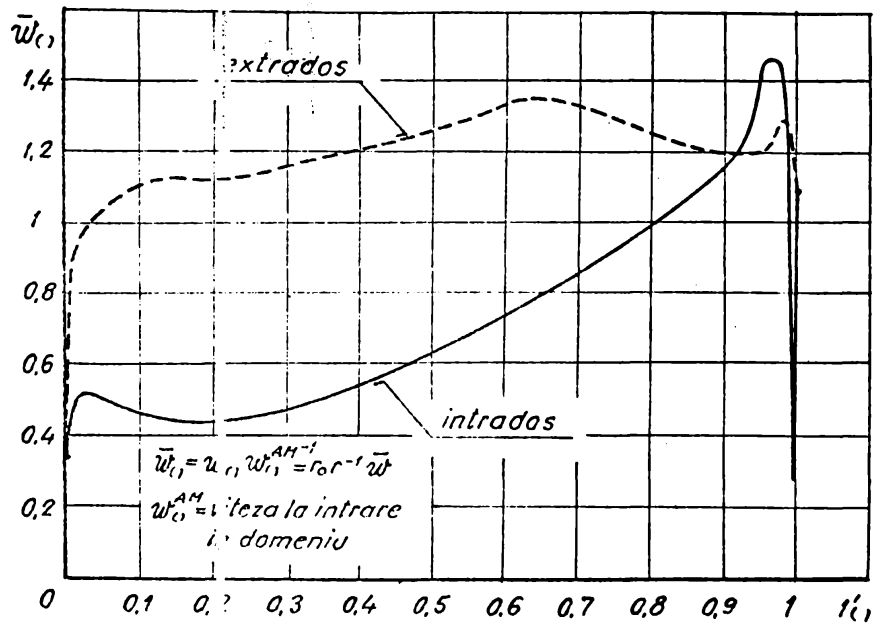


Fig.7.26 Câmpul de viteze \bar{w}_{c1} pe frontiera profilului de pe suprafața de curent în lungul loxodromei

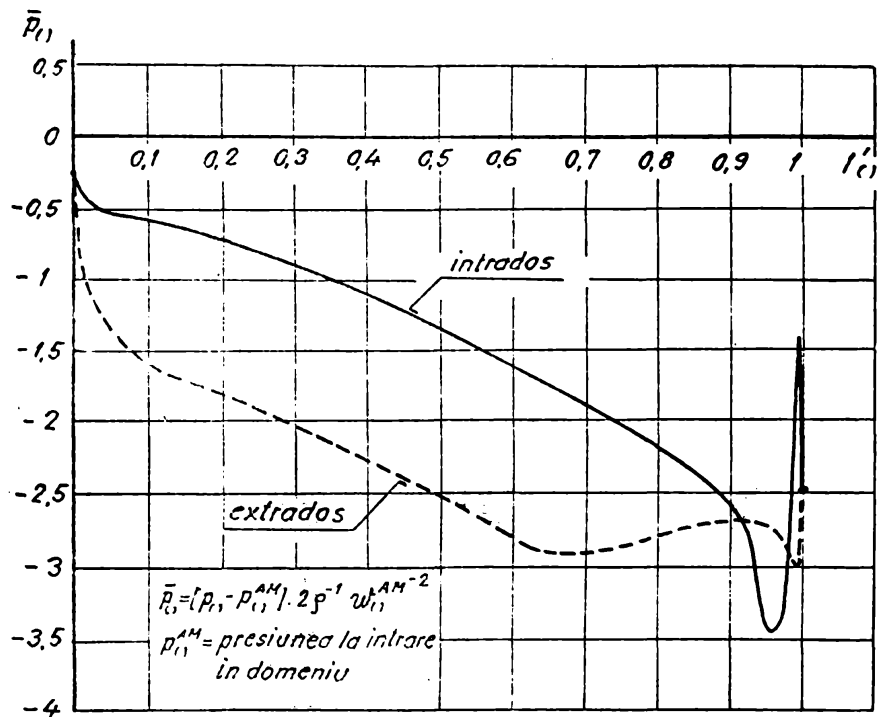


Fig.7.27 Câmpul de presiuni \bar{p}_{c1} pe frontiera profilului de pe suprafața de curent în lungul loxodromei

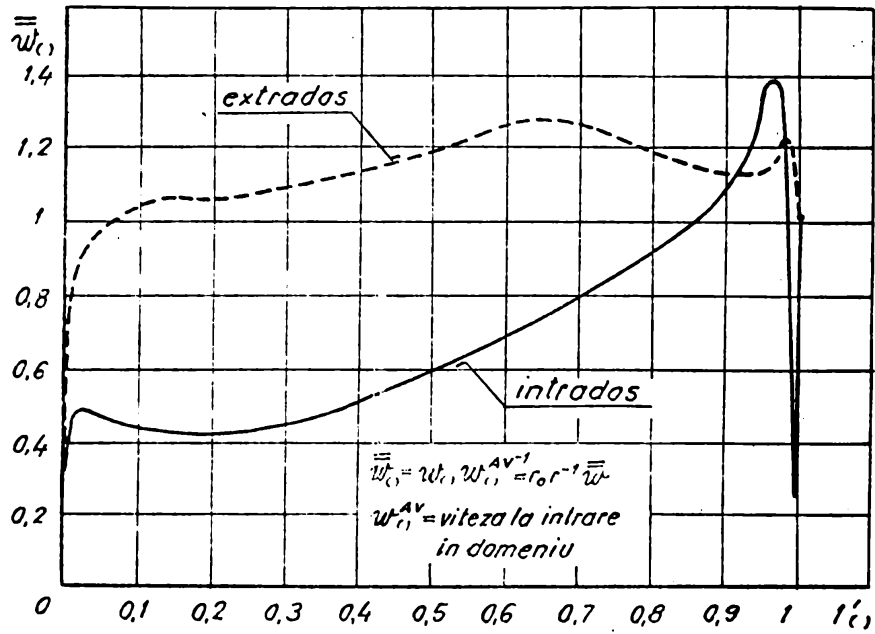


Fig.7.28 Cîmpul de viteze \bar{w}_c , pe frontiera profilului de pe suprafața de curent în lungul loxodromei

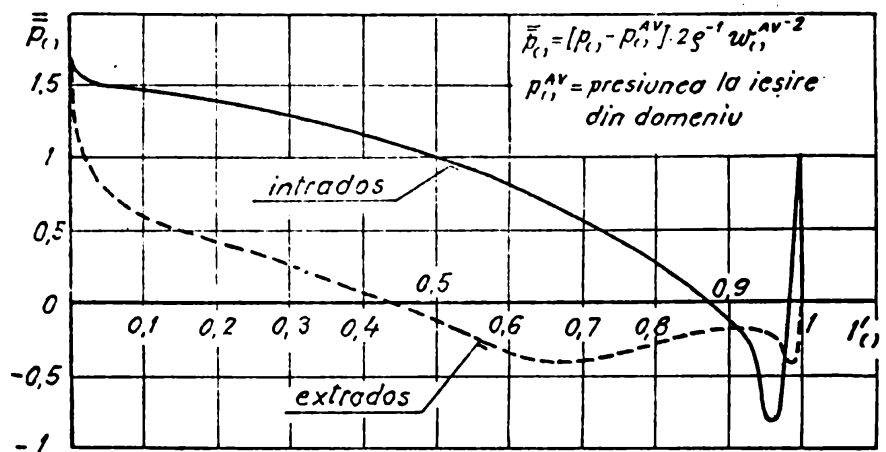


Fig.7.29 Cîmpul de presiuni \bar{p}_c , pe frontiera profilului de pe suprafața de curent în lungul loxodromei

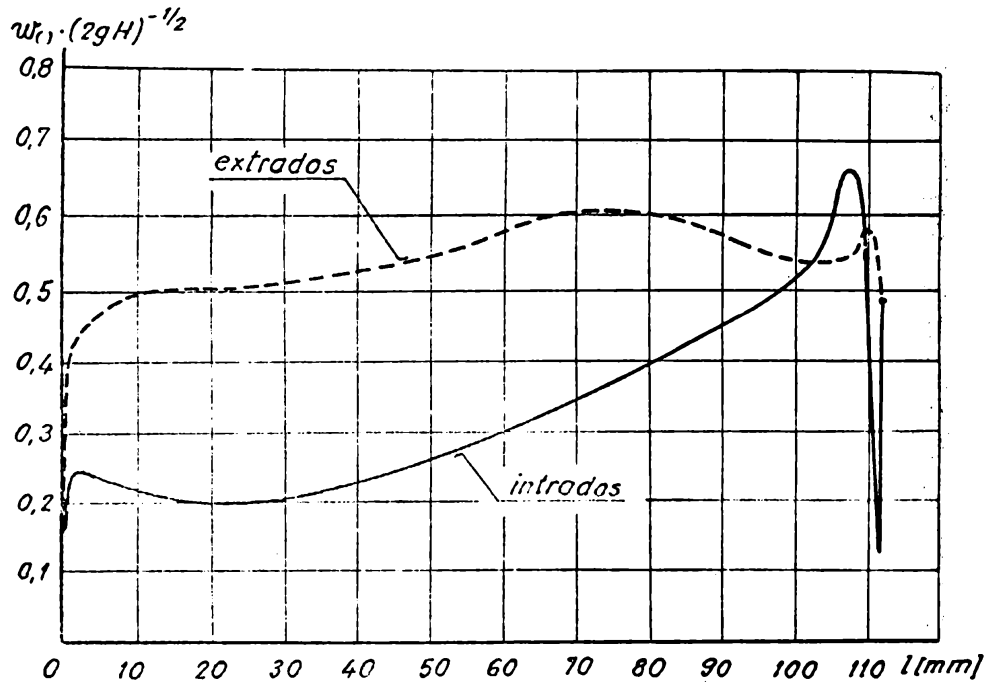


Fig.7.30 Cîmpul de viteze adimensionale $w_{c1} \cdot (2gH)^{-1/2}$ pe frontiera profilului de pe suprafața de curent în lungul meridianului

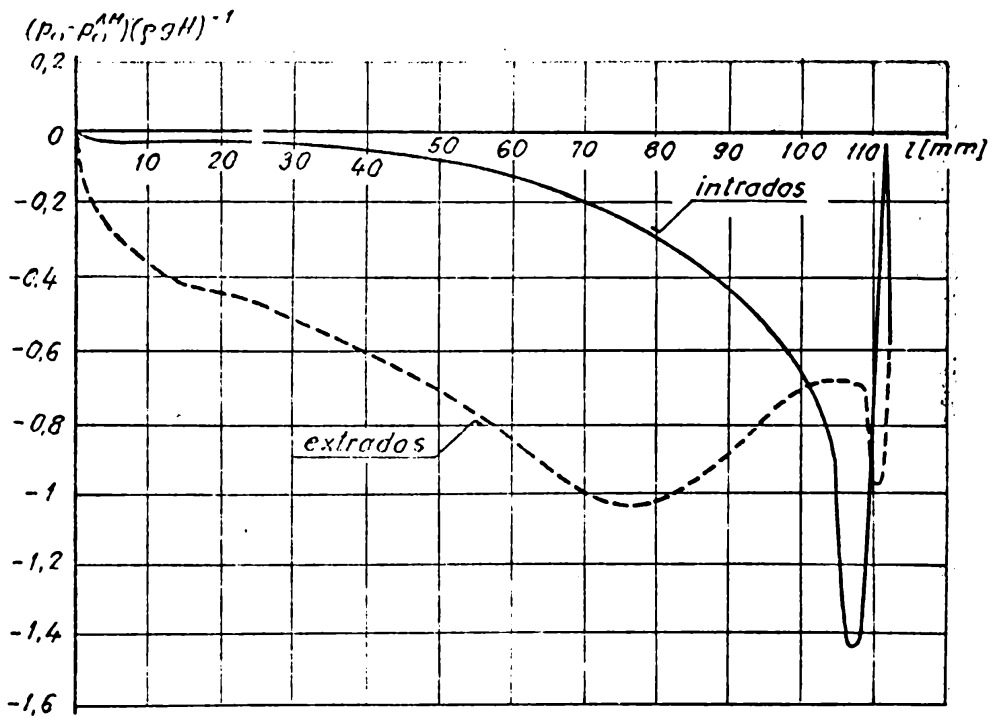


Fig.7.31 Cîmpul de presiuni adimensionale $(p_1 - p_0^{AM}) \cdot (\rho g H)^{-1}$ pe frontiera profilului de pe suprafața de curent în lungul meridianului.

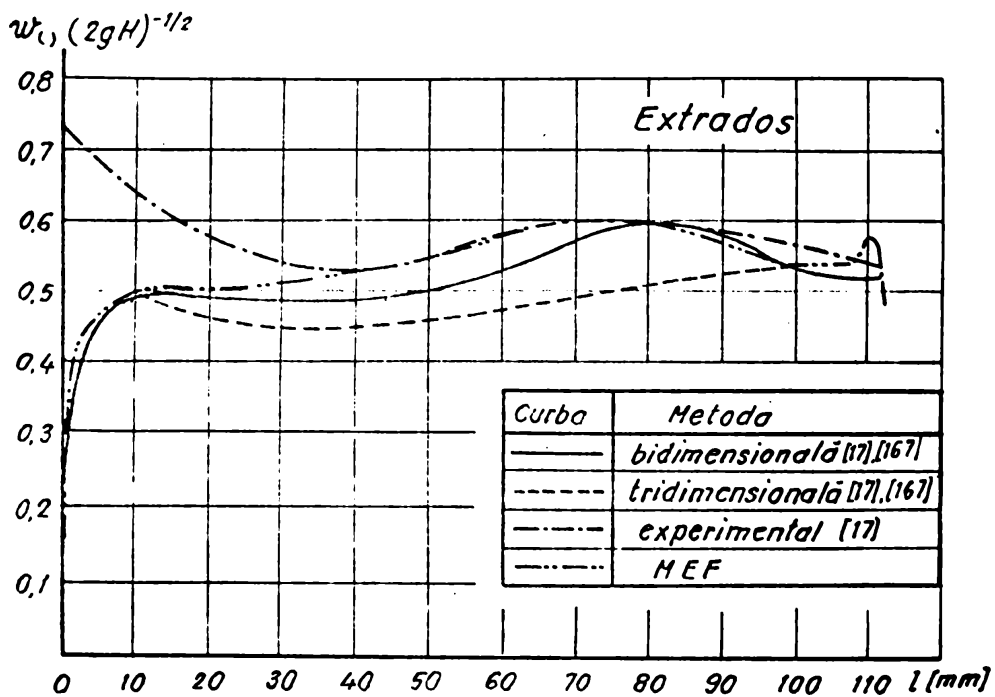
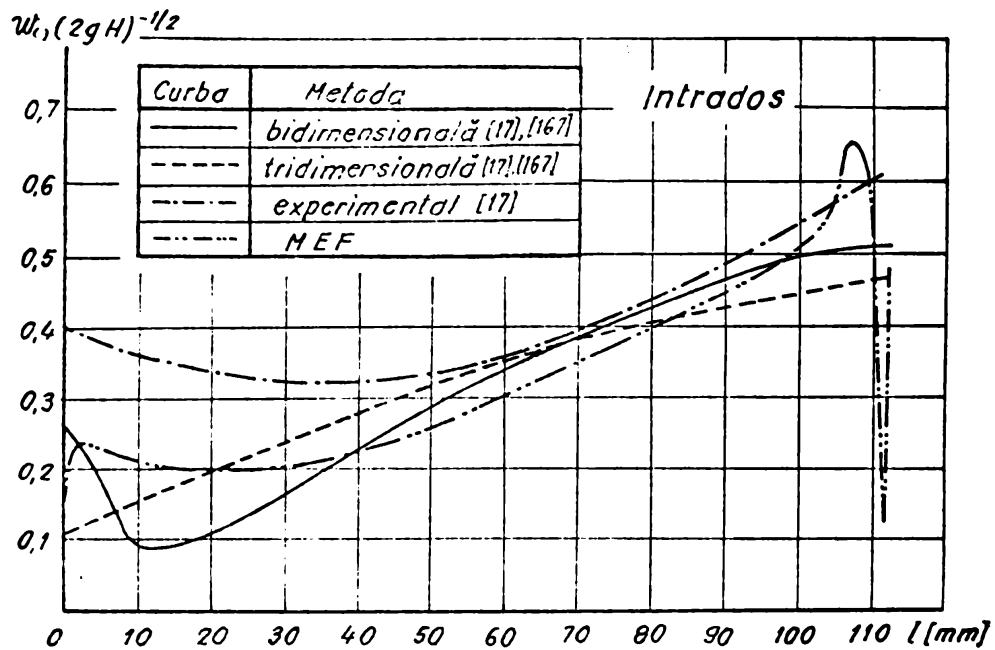


Fig.7.32 Cîmpul de viteze adimensionale $w_c, (2gH)^{-1/2}$ pe frontiera profilului de pe suprafața de curent în lungul meridianului. Comparații cu alte metode teoretice și experimentale.

bordului de fugă (curbură mare). De asemenea prezintă un minim exagerat pe intrados în dreptul lui $\ell = 12$ mm (conform cu liniile de curent din fig.8.24 acest minim ar trebui să fie nul).

(iii) Metoda elementului finit a dat rezultatele cele mai apropiate de cele obținute experimental și ca valori și ca alura a curbelor, deși pentru partea intrados rezultatele obținute experimental sînt mai mari.

(iv) Datorită discretizării fine a domeniului în zonele în care frontiera are curbură mare (bordul de atac dar mai ales cel de fugă) M.E.F. permite obținerea câmpului de viteze și în această zonă cu mare precizie.

(v) Curbele experimentale obținute de Bär diferă mult de toate curbele teoretice pentru partea anterioară a profilului (cca. 30 % pe extrados și 40 % pe intrados).

CONCLUZII. CONTRIBUTII PERSONALE. PERSPECTIVE

Pe baza rezultatelor obținute la rezolvarea problemei directe a rețelelor de profile radial-axiale, tratată în etape, cu ajutorul metodei elementului finit, din relațiile teoretice stabilite și mai ales din multiplele și variatele exemple numerice rulate, cu ajutorul programelor de calcul, au putut fi conturate, în cadrul hidrodinamicii rețelelor de profile radial-axiale următoarele.

8.1 Concluzii

8.1.1 În cadrul hidrodinamicii rețelelor de profile radial-axiale, suprafețele de curent, pe care sînt dispuse aceste rețele, constituie punctul de plecare. Aceasta justifică efortul depus pentru a găsi o metodă operativă și precisă pentru determinarea acestor suprafețe de curent. Cu ajutorul M.E.F. problema a fost rezolvată total în cazul cel mai general (frontierele laterale, coroana și inelul, fiind impuse). Pentru determinarea meridianelor suprafețelor de curgere (presupuse de revoluție), în cadrul M.E.F., a fost folosită metoda variabilelor auxiliare; funcția de curent Ψ și potențialul vitezei φ . Tratările au fost independente, esențială fiind problema în Ψ ($\Psi = \text{constant}$ fiind ecuația liniilor de curent în plan axial) iar problema în φ ajutătoare. Pentru dezvoltările ulterioare, importanță majoră are determinarea cîmpului de viteze în lungul liniilor de curent din planul axial.

8.1.2 În forma prezentată, determinarea liniilor de curent în plan axial s-a făcut într-un domeniu dat. Condițiile de la intrare în domeniu au corespuns unui cîmp de viteze uniform (condiții la limită esențiale) iar cele de la ieșire unui cîmp de viteze paralel cu axa rotorului (condiții la limită naturale). Pentru alte cazuri concrete modificarea condițiilor la limită de intrare și ieșire poate fi operată fără dificultate. Aceste condiții la limită, privind intrarea respectiv ieșirea din domeniul de analiză, dese la distanță finită sînt mai aproape de realitate decît cele simptomice, în cadrul zonelor tipice ale unei mașini hidraulice. Orice modificări în proprietățile mișcării fluidului din amonte sau avalul zonei în studiu pot fi implementate imediat în condițiile la limită.

8.1.3 Aparatele directoare, ce sînt dispuse în amonte de rotor la turbinele Francis, nu pot fi modelate, decît aproximativ, cu rețele de profile pur radiale (vezi fig.3.9) ci cu rețele radial-axiale. De aceea trebuiesc revăzute considerațiile privind calculul paletelor cilindrice ale aparatelor directoare în context cu condiții la limită puse la distanță finită.

8.1.4 În studiul mișcării plane în jurul rețelelor de profile axiale a fost folosită aceeași metodă a variabilelor auxiliare ψ și φ în cadrul M.E.F. Alegerea domeniului de analiză și impunerea condițiilor la limită de intrare respectiv ieșire la $t/2$ în amonte de frontul de atac al rețelei respectiv în aval de cel de fugă s-a dovedit corespunzătoare (vezi fig.5.9 și tabelul sintetic de la 5.8.4). Mișcarea în jurul rețelei axiale a fost rezolvată cu ajutorul formulării în ψ , în cadrul căreia a fost conceput și folosit un procedeu iterativ pentru a fi îndeplinită condiția de periodicitate, care s-a dovedit a fi corespunzător și eficace. Rezolvarea problemei în ψ a permis rezolvarea în φ cu φ multiformă (caltul ei fiind circulația, vezi fig.5.10). Problema mișcării în jurul rețelelor de profile axiale a fost rezolvată în situația cunoașterii unui parametru cinematic al mișcării (circulația sau, echivalent, condițiile cinematice de la intrare și ieșire).

8.1.5 A fost conceput și folosit un procedeu numeric de determinare a liniilor de curent și a celor echipotențiale precum și a câmpului de viteze și presiuni în domeniul de analiză considerat. O atenție deosebită a fost acordată câmpului de viteze și presiuni pe frontiera profilului care a permis calculul parametrilor integrali ai profilului cu mare precizie (vezi tabelul de la 5.8.4).

8.1.6 Pentru rezolvarea problemei directe în jurul rețelelor de profile radial-axiale fixe și mobile, în aceeași ipoteză a cunoașterii deviației curentului, a fost folosită transformarea conformă a rețelei radial-axiale de pe suprafața de curent de revoluție pe un plan asociat cu păstrarea grosimii variabile a stratului de fluid dintre două suprafețe de curent vecine aflate la distanță elementară, rezultînd o rețea de profile de anvergură variabilă. Transformarea diferentiabilă (6.20) (conformă) a definit bijectiv legătura dintre domeniul de pe suprafața de curent și cel din planul imagine, precum și legătura dintre mărimile cinematice ale mișcării fizice de pe suprafață și cele ale mișcării

în planul imagine. Condițiile de intrare respectiv ieșire pentru mișcarea fizică de pe suprafață au fost considerate la $\frac{1}{2}$ pe meridian, în amonte de frontul de atac respectiv în avalul bordului de fugă, unde t reprezintă pasul rețelei din dreptul bordurilor de atac ale profilelor. În planul imagine această condiție nu se mai păstrează, adâncimea domeniului rezultând din transformarea (8.20).

8.1.7 Cu ajutorul M.E.F. și a variabilelor auxiliare Ψ și φ a fost abordată problema în planul imagine. Au fost găsite valori numerice pentru funcția de grosime w și pentru o serie de parametrii geometrici de trecere de la suprafață la planul imagine. Pentru rezolvarea mișcării s-a păstrat în mare tehnica (în cadrul M.E.F.) de la rețelele axiale clasice. Cum imaginea conformă a corzii profilului din planul imagine este o loxodromă pe suprafața de revoluție, drept reprezentativă pentru lungimea profilului de pe suprafață a fost considerată loxodroma unic determinată de pozițiile de pe suprafață ale bordurilor de atac și fugă ale profilelor. Toate reprezentările privind variația unor mărimi pe frontiera profilelor de pe suprafață au fost considerate în lungul acestei loxodrome.

8.1.8 Comutarea problemei pentru rețelele radial-axiale, în planul imagine și conservarea circulației ($\overline{\Gamma}_v = \overline{\Gamma}_v$) permite ca studiul să fie redus la rețeaua din acest plan imagine. Poate deveni acum abordabilă și problema inversă a rețelelor urmînd ca rezultatele să fie verificate pe suprafață.

8.1.9 În exploatarea turbomașinilor, pentru obținerea regimului optim de funcționare, o importanță majoră o are reglarea acestora. Pentru rețelele de profile ale organelor paletate această înseamnă modificarea condițiilor la limită. În acest context a fost analizată mișcarea în jurul rețelei de profile radial-axiale pentru diferite condiții la limită (compatibile cu posibilitățile de reglare din mașină) (vezi fig.7.19 ; 7.20 și 7.21) și mai ales problema extremelor locale și globale de depresiune pe frontiera profilelor (vezi fig.7.22 ; 7.23 și 7.24).

8.1.10 Rezultatele obținute în cadrul prezentei teze, în rezolvarea problemei directe a rețelelor de profile radial-axiale cu deviație dată, confirmă și justifică eforturile depuse pentru stabilirea unei metode, întregită cu programe de calcul care dă rezolvarea complexă a problemei. Folosirea M.E.F. s-a dovedit eficientă conferind metodei de analiză operativitate, acuratețe și precizie. Un dezavantaj al metodei constă în faptul că, în esență aplicarea M.E.F. făcîndu-se pentru rezolvarea unei probleme la

limită interioară, este necesară cunoașterea condițiilor la limită la intrare și ieșire, respectiv a circulației. La celelalte metode teoretice, asigurarea mișcării cu circulație, se face impunând o condiție suplimentară la bordul de fugă (condiția Kutta-Jukovski).

8.2 Contribuții personale

La realizarea prezentei teze drept contribuții originale mai importante sînt următoarele :

8.2.1 La determinarea cîmpului hidrodinamic prin rotoarele turbinelor Francis a fost folosită M.E.F., pentru integrarea numerică a ecuațiilor lui Stokes pentru funcțiile Ψ și φ utilizînd metoda lui Galerkin și discretizarea domeniului în elemente finite izoparametrice. A fost conceput și folosit un procedeu numeric pentru determinarea discretă a curbelor $\Psi = \text{constant}$ și $\varphi = \text{constant}$ în plan axial și pentru cîmpul de viteze și presiuni în special în lungul liniilor $\Psi = \text{constant}$ și $\varphi = \text{constant}$. Pentru realizarea complexă a problemei au fost realizate programele PSIELF și FIELFIN.

8.2.2 La determinarea mișcării potențiale plane în jurul rețelelor de profile axiale a fost folosită M.E.F. pentru integrarea numerică a ecuației lui Laplace pentru funcțiile Ψ și φ utilizînd aceeași tehnică dată de metoda lui Galerkin și efectuînd discretizarea tot în elemente finite izoparametrice. Au fost analizate condițiile la limită pentru ambele formulări și a fost conceput un procedeu iterativ de calcul pentru îndeplinirea condiției de periodicitate. Rezolvarea problemei a fost obținută prin formularea în Ψ iar pe baza ei a fost rezolvată și problema în φ localizînd saltul în avalul bordului de fugă. A rezultat astfel complet cîmpul hidrodinamic. A fost conceput și folosit un procedeu numeric de determinare a liniilor de curent și a celor echipotențiale precum și a cîmpului de viteze și presiuni pe frontiera profilelor. Pentru rezolvarea complexă a acestei probleme a fost realizat programul MISPLANR.

8.2.3 Pentru studiul mișcării potențiale în jurul rețelelor radial-axiale, fixe și mobile, a fost folosită transformarea conformă a domeniului de analiză de pe suprafața de curent într-un plan, cu păstrarea grosimii stratului de fluid dintre două suprafețe de curent vecine. În ipoteza mișcării spațiale potențiale (pentru rețelele fixe) și respectiv în ipoteza mișcării spațiale absolute potențiale (pentru rețelele mobile), ecuațiile cu derivate parțiale în Ψ și φ (sau numai Ψ pentru rețele

...ile), ce dau mișcarea fizică pe suprafață, au fost transpuse în planul imagine. Problema a trecut astfel în acest plan iar rezolvarea ei a urmărit aceeași cale ca și în cele ce preced (utilizând metoda lui Galerkin în cadrul M.E.F. și discretizarea în elemente finite izoparametrice). Au fost analizate condițiile la limită pe suprafață și trecerea lor în planul imagine.

8.2.4 A fost conceput și folosit un procedeu numeric de determinare a funcției de grosime $h(q')$ și trecerea ei în $h(x_1)$ în planul imagine. Pentru rețelele radial-axiale fixe rezolvarea problemei a fost obținută cu formularea în Ψ din care a rezultat și rezolvarea problemei în φ localizând saltul în avalul profilului de fugă al profilului. Pentru rețelele radial-axiale mobile rezolvarea s-a obținut prin formularea în Ψ . Au fost analizate în continuare modalitățile de trecere a rezultatelor pentru rețeaua din planul imagine la rețeaua radial-axială de pe suprafața de curent de revoluție. Pentru reprezentarea grafică a rezultatelor privind rețeaua radial-axială a fost folosită variația lungul loxodromei ce unește bordurile de fugă și atac ale profilului.

8.2.5 Pentru a extinde posibilitățile de analiză a fost conceput un program de determinare a mișcării la ω și condiții la limită variabile. Astfel a fost creat programul MISSROT ce dă rezolvarea problemei directe pentru rețelele de profile radial-axiale fizice și mobile cu deviație dată.

8.2.6 Obiectivul principal urmărit în rezolvarea problemei directe a rețelelor de profile axiale și radial-axiale este lungul de viteze și presiuni pe frontiera profilelor. Aceste rezultate primare pot da, prin prelucrări ulterioare, informații importante privind comportarea rețelelor, necesare la proiectarea paanelor paletate ale turbomașinilor și la analiza mișcării fluidelor prin ele. Astfel, în cadrul tezei, au fost analizate fenomenele locale și globale de depresiune, pe frontiera profilelor, la ω și condiții la limită variabile definind în final problemele de sensibilitate la cavitație ale rețelei, de mare interes pentru teoria și exploatarea turbomașinilor.

8.2.7 Pentru a avea o imagine a acurateții și preciziei prezentei metode, utilizând M.E.F. în cadrul rezolvării problemei directe a rețelelor de profile axiale și radial-axiale cu deviație dată, ea a fost aplicată rețelei axiale NACA 8410 și exemplului de rețea radial-axială mobilă din Băr /17/ pentru care există și alte rezolvări teoretice și experimentale. Comparația efec-

tuată (vezi fig.5.9 și tabelul, respectiv fig.7.25 și 7.32) arată că prezenta metodă a dat rezultatele cele mai apropiate de cele obținute experimental și ca valori și ca alură.

8.3 Perspectivă

Analize mișcării fluidelor prin organele paletate ale turbomașinilor, utilizând M.E.F., pornind de la aceste prime rezultate, poate continua de pe poziții calitativ superioare. Astfel pot fi considerate importante, fertile și de perspectivă următoarele direcții :

8.3.1 Pe baza câmpului de viteze și presiuni cunoscut pe frontiera profilelor rețelei radial-axiale, pot fi analizate pierderile în mișcarea fluidului vâscos în jurul rețelei cu ajutorul teoriei stratului limită (utilizând chiar M.E.F.).

8.3.2 Problema directă, pentru organele paletate ale turbomașinilor, în ipoteza fluidului ideal, ar putea fi abordată cu M.E.F. și tridimensional. Este de mare interes comparația între rezultatele obținute prin metoda rețelelor și cea tridimensională cu implicații importante la proiectarea turbomașinilor.

8.3.3 Atât pentru cazul bi cît și tridimensional realită ar constitui tratarea problemei mișcării global prin turbomașină folosind domeniile cuplate (de exemplu la turbine; aparat director + rotor + tab de aspirație). Condițiile la limită la ieșire dintr-un domeniu ar constitui condiții la intrare pentru domeniul următor.

8.3.4 Cu ajutorul M.E.F. ar putea fi tratată problema directă pentru rețelele radial-axiale în cazul lichidului vâscos, utilizând metoda variabilelor primitive. Ar rezulta astfel comparații utile cu rezultatele obținute prin teoria stratului limită.

8.3.5 În urma tuturor acestor rezolvări s-ar putea găsi legături sintetice între forma frontierelor domeniului (inelul și corcâna), geometria paletelor (geometria rețelelor de profile radial-axiale) și performanțele organului paletat respectiv cu posibilități de intervenție locală operative pentru a obține rezultate optimizate. Rezultatele obținute ar da posibilitatea alcătuirii unor programe de calcul complexe care să deie rezolvarea totală și globală a mișcării fluidelor prin turbomașini.

BIBLIOGRAFIE

1. Acosta A.J. - An Experimental and Theoretical Investigation of Two-Dimensional Centrifugal Pump Impellers. Trans ASME, Juli 1954
2. Acosta A.J., Bowermann R.D. - An Experimental Study of Centrifugal Pump Impellers. Trans ASME 79, Nr.8, 1958
3. Ames W.F. - Nonlinear Partial Diferential Equations in Engineering. vol.I și II, Academic Press, New-York, London 1972
4. Ames W.F. - Numerical Methods for Partial Diferential Equations 2nd edition Academic Press, New-York 1977
5. Anton I. - Cavitația vol.I Ed.Acad.RSR, București 1984
6. Anton I. - Cavitația vol.II Ed.Acad.RSR, București 1985
7. Anton I. - Turbine hidraulice, Ed.Facla Timișoara 1979
8. Anton I., Popa O. - Caracteristicile cavitaționale ale unei rețele de profile cu bordul de fugă rotunjit. St.cerc.șt.tehn.Acad.RSR, Baza Timișoara X 2, 1963
9. Anton I., Popa O. - Repartiția potențial teoretică a presiunilor pe conturul profilului hidrodinamic MHT-2. St.cerc.șt.tehn.Timișoara, VIII 3-4 1961
10. Anton I., Popa O., Martiș V. - Caracteristicile energetice și cavitaționale ale profilului MHT-1 dispus în rețea de turbină. St.cerc.șt.tehn.Timișoara IX 3-4, 1962
11. Anton I., Popa O. - The Determination of Sensibility to Cavitation of Cascade of Hydrofoils of Arbitrary Shape.Problems of Fluid-Flow Machines Warszawa 1968
12. Anton V. - Cercetări experimentale privind influența geometriei unor rețele de profile asupra caracteristicilor lor energetice și cavitaționale. Teză de doctorat, Inst.Pol.Timișoara, 1972
13. Anton V. - Diagrame universale ale rețelelor plane de profile.Bul.șt.tehn.IPTVT Seria Mecanică tom 21(35), fasc.2, 1976
14. Aris R. - Vectors, Tensors and the Basic Equations of Fluid Mechanics. Prentice Hall of Canada, London, Tokyo, Sydney 1962
15. Bauerjee P.K., Butterfield R. - Boundary Element Methods in Engineering Science. Mc Graw-Hill, London, New-York,1981

16. Bauersfeld H. - Konstruktion der Francisschaufel nach der Lorenzschen Theorie. VDI 1912
17. Bär E. - Messung der relativen Strömungsfeldes in Wasser an der Laufschaufel einer schnellläufigen Francisturbine. Diss München, 1969
18. Benson R.S., Cartwright W.G., Hill M.J. - Analytical and Experimental Studies of Two-Dimensional Flow in a Radial Bladed Impeller. ASME Gas Turbine, Conf. Houston, Texas 1971
19. Borel L. - Etude pseudo-tridimensionnelle des écoulements fluides antar des aubes de turbomachines. Bulletin Technique Vevey, 1978
20. Bosman C., El-Shaarawi M.A.I. - Quasi-Three-Dimensional Numerical Solution of Flow in Turbomachines, Journal of Fluids Engineering, March 1977
21. Bovet T. - Contribution a l'etude de trace d'aulage d'une turbine a reaction du type Francis. Int. techniques Charmilles No.9, 1963
22. Brătianu C. - Metode cu elemente finite în dinamica fluidelor. Ed. Acad. București, 1983
23. Brebbia C.A. - Boundary Element Methods. Springer-Verlag Berlin, Heidelberg, New-York 1981
24. Brebbia C.A., Telles J.C.F., Wrobel L.C. - Boundary Element Techniques. Springer-Verlag, Berlin, Heidelberg, New-York Tokyo, 1984
25. Carafoli E., Constantinescu V.H. - Dinamica fluidelor incompresibile. Ed. Acad. București 1981
26. Carafoli E. - Aerodinamica, Ed. tehnică București, 1951
27. Carafoli E., Orloveanu T. - Mecanica fluidelor. Ed. Acad. București 1955
28. Carnevale E., Giusti S., Manfrida G., Martelli F. - Quasi-Three-Dimensional Finite Element Flow Calculation in Pumps. Proceedings of the seventh conference on fluid machinery Vol.1, Akademia Kiadó, Budapest 1983
29. Carte I. - The Determination of the Plane Potential Motion Round the Profile Cascades through the Finite Element Method. Mecanique applique, Tome 30, No.2,3 Ed. Acad.
30. Carte I. - The Determination of the Hydrodynamic Field through the Francis Turbine Impellers Using the Finite Element Method. Hydroforum 85, Problems of hydraulic machinery, Gdansk 1985

1. Carte I. - Hidraulică și mașini hidraulice. partea I-a. Lit.I IPTV Timișoara 1985
2. Carte I. - Similarea mișcării meridionale axial-simetrice prin rotorii turbinelor Francis utilizând metoda elementului finit. Partea I și II. Conferința Mașini hidraulice și hidrodinamică. Vol.1, Timișoara 1985
3. Carte I. - Simularea mișcării plane potențiale în jurul obstacolelor izolate utilizând metoda elementului finit. Partea I și II. Conferința Mașini hidraulice și hidrodinamică, vol.1, Timișoara 1985
4. Carte I. - Simularea mișcării plane potențiale în jurul rețelelor de profile axiale prin metoda elementului finit. Partea I, II și III. Conferința Mașini hidraulice și hidrodinamică. Vol.1, Timișoara 1985
5. Carte I., Ludescher H. - Realizarea unui program pentru rezolvarea complexă a mișcării în jurul rețelelor de profile axiale prin metoda elementului finit. Conferința Mașini hidraulice și hidrodinamică. Vol.1 Timișoara, 1985
6. Cazacu M., Bănescu A., Petru C. - Soluționarea numerică a curgerii tridimensionale cu simetrie axială a fluidelor viscoase incompresibile. Ses.șt.Acad.RSR, Oct.1973
7. Cămpian C.V. - Contribuții la studiul și realizarea rotoarelor de mașini hidraulice axiale și axiale reversibile. Teză de doctorat IPTV Timișoara 1978
8. Cămpian C.V. - Contribuții la proiectarea hidrodinamică a aparatelor directoare. Conferința Mașini hidraulice și hidrodinamică, Vol.2, Timișoara 1985
9. Chung T.J. - Finite Element Analysis in Fluid Dynamics. Mc-Graw Hill, New-York 1978
10. Czibere T. - Über die Berechnung der Schaufelprofile von Strömungsmaschinen mit halb-axialer Durchströmung. Acta Techn. 44, 1963
11. Czibere T. - Über die Berechnung der Schaufelprofile und der Strömung um die Schaufeln von Strömungsmaschinen. Ing. Arch. 33, 1964
12. Demidovici B.P., Maron I.A. - Computational Mathematics. Moscow 1974
13. Demidowitsch B.P., Maron I.A., Schuwalowa E.S. - Numerische methoden der analysis. Deutscher Verlag der Wissenschaften Berlin 1968
14. Deriaz P. - The Mixed Flow Variable-Pitch Pump Turbine. Water Power 1960

45. Deshpande R.B. - Computer Program for Calculating Velocities and Streamlines on a Blade-to-Blade Surface of a Turbo-machine. Progress Report UMIST 1970
46. Deshpande R.B. - A Comparison and Optimisation of Computation Techniques for Inviscid Blade-to-Blade Flow through a Turbomachine. Ph.D.thesis UMIST 1971
47. Deshpande R.B. - Analytical Study of Blade-to-Blade Flow through a Turbomachine. Journal of the Aeronautical Soc. of India, vol.27 no.3
48. Dobândă V. - Catalog de profile. Lab.de mașini hidraulice, I.P.Timișoara 1974
49. Dorn W.S., McCracken D.D. - Metode numerice cu programe în Fortran IV Ed.tehnică București, 1974
50. Dreyfus L-A. - Three Dimensional Theory of Turbine Flow and its Applications to the Design of Wheel Vanes for Francis and Propeller Turbine. Acta Polytechnica Mechanical Eng.Series Vol.1, No.1, Stockholm 1946
51. Dumitrescu I.I. - Simularea cîmpurilor potențiale. Ed.Acad. București 1983
52. Eckardt D. - Detailed Flow Investigation Within a High-Speed Centrifugal Compressor Impeller. J.Fluids.Eng.Trans.ASME Sept.1976
53. Ellis G.O., Stanitz J.D. - Comparison of Two and Three Dimensional Potential Flow Solutions in a Rotating Impeller Passage NACA-TN 2806, 1952
54. Ervin J.R., et al. - Two-Dimensional Low-Speed Cascade Investigation of NACA Compressor Blade Sections Having a Systematic Variation in Mean Line Loading NACA-TN 3816, 1956
55. Essers J.A. - Computational Methods for Turbulent, Transonic and Viscous Flow Springer Verlag, Berlin, Heidelberg, New-York, Tokyo, 1983
56. Fachbach H. - Die Strömung in einer schnellläufigen Francis-turbine. Diss.T.H.Graz 1970
57. Fischer K. - Untersuchungen der Strömung in einer Kreiselpumpe. Mitt.d.Hydraul.Inst.München, Heft 4, 1931
58. Florea I., Isbășoiu C. - Hidraulică și mașini hidraulice. Instit.Pol.București, 1974
59. Florea J., Vasiliu N. - Metodologie de proiectare asistată de calculator pentru rotorul diagonal reglabil. Conf. naț.energetică București 1983

60. Flödl G., Spitaler P., Stromber F. - Problems in the Design of Francis Type Turbines and Single-Stage Reversible Pump-Turbines due to tendency to Larger Dimensions out Pots Methods and Total Dynamic Peeds. 7th Symposium IAHR Wien, 1974
61. Furtner N., Raabe J. - The Dynamic Measurement of the Unsteady Flow Near and Within the Boundary Layer of Water Operated Axial and Semi-Axial Model Turbine Proc. 10-th Symposium of the IAHR Tokyo 1980
62. Furtner N. - Instationäre messung der Schaufelnaben relativströmung in laufrädern von axial und halbaxialturbinen. Diss.München 1978
63. Füzy O. - Design of Mixed Flow Impeller. Periodica Polytechnica 6, No.4, 1962
64. Gearhart W.S. - Two-Dimensional Tests on a Compressor Glade Designed by the Mean Streamline Method. Applied Research Laboratory TM 71-32 1971
65. Gerich R. - Untersuchungen über die instationäre strömung in einer schnellläufigen Francis-modell-turbine mit besonderer berücksichtigung des teillast-verhaltens. Diss.München 1974
66. Gerick R., Raabe J. - Untersuchung der instationären Strömung in einer Francis-Modell-Turbine. Konferenz. Hydro-Turbo 74 Lazne Luhacovice CSSR
67. Gheorghiu M. - Studiul teoretic și experimental al caracteristicilor energetice ale rețelelor circulare de profile pentru aparate directoare de turbine, Teză de doctorat. Inst.Pol."Traian Vuia" Timișoara 1976
68. Gravalos F. - The Dynamics of Turbo-Flow. Angew.Math.und Phys No.4 1959
69. Gruber I. - Die Berechnung von radiales laufrädern mit vorwärts gekrümmter beschaufelung. Masch.Bautech.10, No.8, 1961
70. Grünagl E. - Flüssigkeitsberehng in umlaufenden radialrädern VDI Forschungsheft 105, 1940
71. Hamming R.W. - Numerical Methods for Scientist and Engineers Mc.Graw-Hill Book Company, New-York, San Francisco, Toronto, London 1962

72. Hamrick J.T., Missin J., Michel D.J. - Study of Three Dimensional Internal Flow Distribution Base on Measurements in a 48-Inch Radial Centrifugal Impeller NACA-IN 2983, 1954
73. Hess J.L., Smith A.M.O. - Calculation of Potential Flow About Arbitrary Bodies. Progress in Aeronautical Sciences, Vol. 8, Pergamon Press, London 1967
74. Hill M.J. - Numerical Solutions for Mixed Flow Turbomachines. Ph.D.thesis Manchester, England 1974
75. Hiriş V., Zsifkow N. - Concepte și aplicații ale metodei elementelor finite. Monografii matematice No.14 Secția matematică Fac.de științe ale naturii Timișoara, 1978
76. Hirsch C., Warzee G. - The Meridional Through-Flow Calculation in an Axial Flow Machinee by the Finite Element Method in the mathematics of finite elements and applications II. Academic Press, London, New-York, San-Francisco, 1976
77. Hirsch C., Warzee G. - Finite Element Method for Through Flow Calculations in Turbomachines. Trans.ASME J.Fluids Eng. 1976
78. Hoeller H.K. - Definition de grandeurs alimentaires pour le calcul des ecoulements potentials plans et dans un espace de revolution. Bulletin Escher Wyss, 1974/1
79. Howells R., Lakshminarayana - Three-Dimensional Potential Flow and Effects of Blade Dihedral in Axial Flow Propeller Pumps. Journal of Fluids Engineering, March 1977
80. Hromadka T.V. - The Complex Variable Boundary Element Method Springer Verlag Berlin, Heidelberg, New-York, Tokyo, 1984
81. Hubner K.H. - The Finite Element Method for Engineers John Wiley New-York, London, Sidney, Toronto, 1975
82. Iacob C. - Introduction mathematique a la mecanique des fluides. Ed.Acad.RSR și Gauthier-Villars, 1952
83. Imbach H.E. - Die Berechnung der Kompressiblen reibungsfreien unterschallströmung durch räumliche gitter aus Schaufeln an der grosser dicke und starker wölbung. Mitt a.d. Inst.J.Th. Zürich 1960
84. Izbășoiu E. - Contribuții la calculul gabaritelor și parametrilor turbinelor cu reacțiune cu dezvoltarea hidrodinamică axial-tubulare. Teză de doctorat IPB, 1980
85. Jacob K. - Erweiterung des Martensen-Verfahrens auf einzel und gitterprofile mit eckiger hinterkante oder sehr kleinen abrundungsradius. Aerodynamische Versuchsanstalt Göttingen Bericht 67 A 21, 1967

86. Jansen W. - Flow Analysis in Francis Water Turbines. Trans. ASME Journal of Engineering for Power, July 1967
87. Johnston J.P., Dean R.C.jr. - Losses in Vaneless Diffusers of Centrifugal Compressors and Pumps. Analysis, Experiment and Design, Journal of Engineering for Power, Jan: 1966
88. Katsanis T. - Computer Program for Calculating of Velocities and Streamlines on a Blade to Blade Stream surface of a Turbomachine. NASA TND 4525, 1968
89. Katsanis T. - Quasi-Three-Dimensional Calculations of Velocities in Turbomachine Blade Roms. Trans.ASME, 72WA/61-7, 1972
90. Katsanis T. - Use of Arbitrary Quasi-Orthogonals for Calculating Flow Distribution in the Meridional Plane on a Turbomachine. NASA TND-2546, 1964
91. Katsanis T. - Use of Arbitrary Quasi-Orthogonals for Calculating Flow Distribution on a Blade-to-Blade Surface in a Turbomachine. NASA TND-2909, 1965
92. Kazacov L.J. - Die nichtstationäre umströmung einer mehrreihigen zweidimensionalen profilgitters einer hydraulischen maschine in einer schicht mit veränderlicher diske. Energomaschinostroenie 16, 1970
93. Kolati I., Voia I. - Plane Potential Movements through Cascades Computed with the Finite Elements Method Proceedings of the seventh conference on fluid machinery.Vol. I, Akad.Kiadó, Budapest 1983
94. Korcian J. - Dreidimensionale, quasistationäre messung des relativen strömungsfeldes in schaufelkanal eines langsamläufigen Kreiselpumpenlaufrades. Diss.München 1982
95. Krajevski B. - Variational Problems of the Theory of Three Dimensional Flow through Thermal Turbomachinery. Archivus Meehaniki Sostowanej 6, 15, 1963
96. Kramer J.J. - Analysis of Incompressible Nonviscous Blade-to-Blade Flow in Rotating Blade Roms. Trans.ASME, Feb. 1958
97. Krimerman Y., Adler D. - The complete Three-Dimensional Calculation of the Compressible Flow Fields in Turbo-Impellers J.Mech.Eng.Sci. 20, 3, 1978

98. Kviatkovski N.S. - Diagonalnîe gidroturbinî. Maşinostroenie Moskova 1971
99. Leist K., Dettmering N. - Prüfstände zur messung der druckverteilung an rotierenden schaufeln forschungsbearbeitet. Wirtschafts. Verkehrsmittel N.R.W. Nr.422, 1958
100. Leschin A.F. - Raschet lopastei rabocih kolec osevih turbin. B.Ku.Energomaşinostroenie L 1953
101. Lorentz H. - Nouvelle theorie et calcul des roues-turbines. Paris, Dunot et Pinot 1913
102. Mansouri F. - Theoretical Method for Design of Variable Pitch Mixed-Flow Hydraulic Turbines. Fluids Engineering Conference, Chicago, ASME 1967
103. Martensen E. - Berechnung der druckverteilung an gitterprofilen in ebenen potentialströmungen mit einer Freedholmschen integralgleichung. Archive for rational mechanics and analysis. Vol.3. 1959
104. Mc Bride M.W. - Computerization of the Mean Streamline Blade Design Method Applied Research Laboratory TM 73-22, 1973
105. Mc.Bride M.W. -Refinement of the Mean Streamline Method of Blade Section Design. Journal of Fluids Engineering Sept. 1977
106. Mercheş I., Burlacu L. - Mecanica analitică şi a mediilor deformabile. Ed.did. şi pedagog.Bucureşti 1983
107. Mises R. - Theorie des wasserräder. Z.angew.Math.und Phys. vol.57 Nr.1, 1969
108. Mitchell A.R. - An Introduction to the Mathematics of Finite Elements and Applications. Academic Press, London, New-York San Francisco, 1973
109. Moore J., Moore J.G., Johnston M.W. - On Three-Dimensional Flow in Centrifugal Impellers. C.P. 1384, 1977
110. Moulin C., Wegner M., Eremeev R. - Vink-Phong-Methodes de trase des turbomachines hydrauliques. La Houille Blanche Nr.7/8 1977
111. Murai H. - Theory on Blades of Axial and Radial-Flow-Pumps and Water-Turbines. Th.Rep.Inst.High.Sp.Mech.Japan, vol. 17, 1965/1966
112. Murai H. - Theory on Blades of Diagonal Flow Pumps and Water-Turbines. Rep.1,2. Rep.Inst.High.Sp.Mech.Japan, vol.16 1964/1965 Nr.159
113. Murakami M., Kikyama K., Asakure E. - Velocity and Pressure Distributions in the Impeller Passages of Centrifugal Pumps. ASME, Journal of Fluid Engineering 102,4,1980

114. Nagafuji T., Morii H. - A Flow Study in Francis Turbine Runner. Proc. 10th Symposium of the IAHR Tokyo 1980
115. Numachi F. - Cavitation Tests on Hydrofoils Designed for Accelerating Flow Cascade. Rep. 4 Trans. ASME 1969
116. Peligrad N. - Pierderile hidraulice în circuitul convertizoarelor hidraulice de cuplu în diferite regimuri de funcționare. Teză de doctorat Inst. Pol. Traian Vuia, Timișoara, 1984
117. Peligrad N. - Optimizarea calculului de proiectare a convertizoarelor hidraulice de cuplu cu o treaptă destinată instalațiilor de foraj. Constr. de maș. Nr. 7-8, 1984
118. Peyret R., Taylor T.D. - Computational Methods for Fluid Flow. Springer Verlag, New-York, Heidelberg, Berlin 1982
119. Pfoertner H. - Laufradströmung in einer Francis Turbine verglich experimenteller ergebnisse mit numerische berechneten strömungsfeldern, V.D.I. Berichte 424, 1981
120. Pian Th.H.H., Tong Pin - Finite Element Method in Continuum Mechanics. Advances in Applied Mechanics. Vol. 12, 1972
121. Popa O. - Mișcări potențiale și teoria hidrodinamicii rețelelor de profile. Lit. IPTV Timișoara 1980
122. Popa O. - Contribuții teoretice la calculul rețelelor de profile folosite în construcția mașinilor hidraulice. Con. Conf. de maș. hidr. Timișoara 1964
123. Popa O. - Über die potentialbewegung in schaufelgitter mit Carafoli Profilen. Conf. dr maș. hidr. 1964
124. Popa O. - Mecanica fluidelor și măsuri hidraulice. Vol. I și II Lit. IPTV Timișoara 1976-1978
125. Popa O. - The Determination of a General Relation Between the Aerodynamic Properties of a Single Airfoil and Those of the Same Airfoil Arranged in Arbitrary Cascade. Proc. of the fourth Conf. on Fluid Machinery Budapest 1972
126. Potetenko D.V. - Opleđenie formi trehmernogo poteka i raspredelenie skorostei v kanalah ghidromašin. Energeticeskoe Mašinostroenie, Harcov V/4 1967
127. Prian V.D., Michel D.J. - An Analysis of Flow in Rotating Passage of Large Radial-Inlet Centrifugal Compressor at Tip Speed of 700 Feet per Second NACA TN 1951
128. Proskura G.F. - Ghidrodinamica turbomašin. Mașghiz 1984
129. Raabe J. - Hydraulische Maschinen und Anlagen V.D.I. Verlag Düsseldorf 1970

130. Raabe J. - Berechnung der 3 dimensionalen strömung einer reibungsfreien fluids durch ein turbomaschinen. Laufrad mit doppelt gekrümmten schaufeln. V.D.I.Berichte 424, 1981
131. Raabe J. - Die rechnerische bestimmung des relativen und absoluten stromungsfelder bei diagonalen turbomaschinen. Maschinenmarkt 66, Nr.10 S 6/8, Nr.12 S 6/8, 1960
132. Ribaut M. - Three-Dimensional Calculation of Flow in Turbo-machines with the Aid of Singularities. Trans.ASME, Jul. 1968
133. Richard P. - Fluid Mechanics. John Wiley, New-York 1961
134. Riegels F.W. - Aerodynamische Profile. München 1958
135. Rotta J.C. - Fortran IV - rechenprogramme für grenschichten bei kompressiblen ebenen und achsensymmetrischen strömungen. D.FVLR Bericht AVA-FB Göttingen 1970
136. Schilhausl M.I. - Three-Dimensional Theory of Incompressible and Inviscid Flow through Mixed Flow. Turbomaschinen, J. of Eng.for Power, ASME, Oct.1965
137. Schlemmer G. - Messung des absoluten und relativen strömungsfeldes einer schnell-läufiger Francisturbine mit berücksichtigung der wirbelzopferscheinungen im saugrohr. Diss. München 1973
138. Schlemmer G., Gerick R., Raabe H. - Measurement of Quasi-Steady and Unsteady Flow-Field in Francisturbines of High Specific Speed Carried Out Before the Runner, in the Runner and in the Draft Tube. Proceedings 6th Symposium of IAHR 1972
139. Scholz N. - Über die durchführung systematischer messungen an ebenen schaufelgittern. Breunschweig 1956
140. Scholz N. - Aerodynamik der schaufelgitter. I.G.Braun Karlsruhe 1965
141. Sedille M. - Turbomachines hydrauliques et thermiques.I.Masson, Paris 1966
142. Senoo Y., Nakas Y. - A Blade Theory of an Impeller with an Arbitrary Surface of Revolution. Trans.ASME 1971
143. Senoo Y., Nakas Y. - An Analysis of Flow through a Mixed Flow Impeller. Journal of Engineering for Power 1972
144. Sierno F., Leva E. - Modern Trends in Selecting and Designing Francis Turbines. Water Power 8/1976

145. Sirotkin I.A. - K postanovke obratnoi osesimmetricinoi zadacu ustanovivscesagosa vibrogovo tecenia idealnoi mesjmaemoi jidkosti v turbomasinah. Mehanika jidkosti i gaza 1966
146. Sirotkin I.A. - On the Formulation of the Discret Problem of Rotational Flow in Turbomachines Inzh.Zh.Vol.3 nr.2, 1963
147. Smith L.H.Jr. - The Radial Equilibrium Equation of Turbomachinery. Journal of Engineering for Power. Jan.1966
148. Smith L.H.Jr., Leroy H., Hsuan Yah - Sweep and Dihedral Effects in Axial-Flow Turbomachinery. Journal of Basic Engineering, Sept. 1963
149. Sörensen E. - Potentialströmungen durch rotierende Kreiselläder. Z.angew.Math.Mech. 7, Nr.2, 1927
150. Spannake W. - Zur dreidimensionalen theorie der turbinen und pumpen für umzusammendruckbare flüssigkeiten. Forschung Bd.8.H.1 1937
151. Speidel L., Scholz N. - Berechnung über die Strömungsverhiste in ebenen Schaufelgitter. VDI, 464/1957
152. Stanitz J-D. - Some Theoretical Aerodynamic investigations of Impellers in Radial and Mixed Flow Centrifugal Compressors. Cleveland Ohio, Trans.ASME 1952
153. Stanitz J.D., Ellis G.D. - Two-Dimensional Compressible Flow in Centrifugal Compressors with Straight Blades. NACA Report 1950
154. Staufer F. - Verfahren zur bestimmung der Schaufelnform umlaufender kreisförmiger Schaufelgitter.Wasserkraft und Wasserwirtschaft 16 Heft Jan.1956
155. Stepanov G.I. - Ghidrodinamika rešetok turbomasin. F.M.Moskva 1962
156. Strscheletzky M. - Uber gleichgewichtsformen freier bogwerkzeugen von Strömungen inkompressibler flüssigkeiten.VDI Z. 106, Nr.95, Nr.10 S, 1964
157. Symm G.T. - Integral Equation Methods in Potential Theory,II, Proc.Roy.Soc.Ser.A 275, 1963
158. Tietjens P.D. - Applied Hydro- and Aeromechanics. Dover Publications Inc.New-York 1960
159. Traupel W. - Thermische Turbomaschinen, Bd.I Thermodynamisch-strömungstechnische berechnung, 3 Auflage, Berlin,Heidelberg, New-York, Springer 1972

160. Truckenbrodt B. - Fluid mechanics. Band 2, Elementare Strömungsvorgänge dichtelestäudiger fluide sowie potential und grenzschichtströmungen. 2 Auflage, Berlin, Heidelberg New-York, Springer 1980
161. Truckenbrodt E. - Strömungsmechanik. Springer Verlag Berlin, Heidelberg, New-York 1968
162. Vallander S.V. - Protekanie jidkosti v turbine. D.A-N. SSSR, T 81, No.4, 1952
163. Vasiliu N. - Contribuții la hidrodinamica rotoarelor radial-axiale ale turbomașinilor. Teză de doctorat. Inst. Pol. București 1976
164. Vavra M.H. - Aero-Thermodynamics an Flow in Turbomachines, John Wiley, New-York 1960
165. Viktorov G.V. - Ghidrodinamiceskaia teoriia rešetok izdatelstvo, Vișșaia Șkila, Moskva 1962
166. Voia J. - Aplicarea rețelei plane de profile la studiul rotorilor radial-axiale ai mașinilor hidraulice. Constr. de maș. nr.1 1983
167. Votter M. - Beitrage zur numerischen berechnung des räumlichen strömungsfeldes in hydraulischen turbomaschinen. T.H. München, 1963
168. De Vries G., Norrie D.H. - The aplication at the Finite Element Technique to Potential Flow Problems. Trans, ASME, Series E., Journal of Applied Mechanics 38, 1971
169. Wada Y., Yamaguchi Y., Yokoi N., Tanabe S. - Analysis of Flow in Pump-Turbine Ranker. Hitachi Rewiew vol.22, Nr.10
170. Walter A.A. - Messungen des frequenzverhaltens einer Francis-Turbine in wasser verschiedenen luftgehalters und luft verschiedener dichte. Diss. München 1979
171. Wislicenus G.F. - Fluid Mechanics of Turbomachinery. Mc.Graw-Hill Book Company, New-York, London 1947
172. Wislicenus G.F. - The Fluid Mechanics of Turbomachinery. Vol. II CH 29, Dower Publications Inc. New-York 1965
173. Wood M.D., Merlow A.V. - The Use of Numerical Methods for the Investigations of Flow in Water Pumps Impellers, Proceedings of the J. of M.E. Vol.189 Part.1, Nr.29, 1966-1967
174. Wu C. - A General Theory of Three-Dimensional Flow in Subsonic and Supersonic Turbomachine of Axial, Radial and Mixed Flow Types, Trans. ASME vol.74, 1952

175. Wu C., Brown C.A., Cartilow E.L. - Analysis of Flow in a Subsonic Mixed-Flow Impeller. Nat.Adv.Comm.Aeron.Techn. Note 2749, Washington 1952
176. Wu C. - A General through-Flow Theory of Fluid Flow with Subsonic and Supersonic Velocity in Turbomachines of Arbitrary Hub and Casing Shapes. NASA TN 2302, 1951
177. Wu C. - A Theory of the Direct and Inverse Problems of Compressible Flow Past Cascade of Arbitrary Blade Sections Lying in Arbitrary Stream Filament of Revolution in Turbomachine. Mechanical Engineering, Scientia Sinica, Vol. VIII, No.12, 1959
178. Zidaru G. - Mișcări potențiale și hidrodinamica rețelelor de profile. Ed.didac.și pedag.București 1981
179. Zidaru G. - Contribuții la hidrodinamica rețelelor circulare de profile. Teză de doctorat, București 1971
180. Zienkiewicz O.C. - The Finite Element Method in Engineering Science. Mc Graw-Hill London 1971
181. Zienkiewicz O.C. - The Finite Element Method, 3rd edition Mc Graw-Hill, London 1977
182. Moisil C.G. - Fizica și Ingineria. Forum 5, București 1986
183. Belehova N.G. - Ucet pro transtreunosti potoka, obteksiusego robočee koleso turbomašinî, V.L.U, No.1, 1958
184. Bărglăzan A. - Mașini hidraulice. IPT Timișoara 1952
185. Bărglăzan A. - Fenomenul de cavitație la mașinile hidraulice. St.cerc.șt.tehn.Timișoara, 1, 1954
186. Bărglăzan A., Anton I., Anton V., Preda I. - Incercările mașinilor hidraulice și pneumatice. Editura tehnică, București 1959
187. Pavel D. - Potentialströmungen durch Kreiselräder. Teză de doctorat, Zürich 1925
188. Pavel D. - Mașini hidraulice. Editura energetică de stat, București 1956
189. Dumitrescu D. - Strömung an einer Luftblase im senkrechten Rohr Z.angew.Math.und Mech.vol.23, Heft 3, 1943
190. Dumitrescu D., Ionescu G.D. - Metode numerice pentru studiul mișcărilor axial-simetrice ale fluidelor perfecte. St.cerc.de mec.apl. vol.4 Ed.Acad.RPR, 1958

191. Dumitrescu D., Cazacu M.D. - Theoretische und experimentelle
Betrechtungen über die strömung zäher flüssigkeiten um
eine plate bei Kleinen und mittleren Reynoldszahlen. Z.
angew.Math.und Mech. vol.50, 1970
192. Schlichting H. - Berechnung der Reibungslosen inkompressib-
len strömung für ein vorgegebenes ebenes schaufelgitter.
VDI Forschungsheft 447, VDI Verlag, Düsseldorf 1955
193. Speidel L., Scholz N. - Untersuchungen über die strömungsver-
luste in ebenen schaufelgittern. VDI-Forsch.Heft 464,
Düsseldorf, 1955

	Pag.
Cuvînt înainte.....	3
Capitolul 1. Orientări actuale în hidrodinamica rețelelor de profile radial-axiale.....	5
1.1 Introducere..	5
1.2 Metode teoretice.....	6
1.3 Investigații experimentale.....	8
1.4 Hidrodinamica rețelelor de profile radial-axiale..	9
1.5 Școala românească de hidrodinamica turbomășinilor.	10
1.6 Obiectivele propuse spre rezolvare în cadrul tezei.....	11
Lista notațiilor.....	13
Capitolul 2. Mișcarea plană și axial-simetrică a lichide- lor ideale.....	16
2.1 Mișcarea plană.....	16
2.2 Mișcarea axial-simetrică.....	17
Capitolul 3. Determinarea câmpului hidrodinamic prin ro- torii turbinelor Francis utilizînd M.E.F.....	21
3.1 Generalități.....	21
3.2 Domeniul tipic din zona rotorului. Condiții la limită.....	21
3.3 Tratarea în formă adimensională.....	24
3.4 Integrarea ecuației lui Stokes prin M.E.F.....	25
3.5 Discretizarea domeniului.....	29
3.6 Calculul coeficienților D_{NM}^0	30
3.7 Calculul termenilor liberi F_N^0	34
3.8 Asamblarea matricii sistemului. Punerea condițiilor la limită.....	35
3.9 Determinarea câmpului de viteze.....	36
3.10 Determinarea câmpului de presiuni.....	37
3.11 Determinarea liniilor de curent și a liniilor de egal potențial al vitezei.....	37
3.12 Exemplu de calcul.....	37
Capitolul 4. Mișcarea potențială plană în jurul obstaco- lelor izolate în ipoteza potențialului vitezei uniform.....	41
4.1 Generalități.....	41
4.2 Domeniul de analiză. Condiții la limită.....	41
4.3 Tratarea în formă adimensională.....	43
4.4 Integrarea ecuației lui Laplace prin M.E.F.....	47

4.5	Discretizarea domeniului.....	48
4.6	Calculul coeficienților D_{NM}^e	48
4.7	Calculul termenilor liberi F_N^e	49
4.8	Asamblarea matricii sistemului. Punerea condițiilor la limită.....	50
4.9	Determinarea câmpului de viteze.....	50
4.10	Determinarea câmpului de presiuni.....	51
4.11	Determinarea liniilor de curent și a liniilor de egal potențial al vitezei.....	51
4.12	Exemplu de calcul.....	51
4.13	Remarcă.....	56
Capitolul 5. Mișcarea potențială plană în jurul rețelelor de profile axiale cu circulație dată.....		57
5.1	Generalități.....	57
5.2	Domeniul de analiză. Condiții la limită.....	57
5.3	Tratarea în formă adimensională.....	60
5.4	Determinarea mișcării prin M.E.F.....	64
5.5	Determinarea câmpului de viteze.....	64
5.6	Determinarea câmpului de presiuni.....	64
5.7	Determinarea circulației și a coeficientului de portanță.....	65
5.8	Exemplu de calcul.....	66
5.9	Determinarea liniilor de egal potențial al vitezei.....	71
Capitolul 6. Determinarea mișcării în jurul rețelelor de profile radial-axiale fixe cu circulație dată.....		77
6.1	Generalități.....	77
6.2	Transformarea conformă a rețelei radial-axiale.....	77
6.3	Domeniul de analiză din planul imagine. Condiții la limită.....	83
6.4	Tratarea în formă adimensională în planul imagine..	84
6.5	Integrarea ecuației lui Stokes în planul imagine prin M.E.F.....	84
6.6	Determinarea câmpului de viteze în planul imagine..	88
6.7	Determinarea câmpului de presiuni în planul imagine	89
6.8	Determinarea circulației în planul imagine.....	89
6.9	Transpunerea rezultatelor din planul imagine pe suprafața de curent.....	89
6.10	Exemplu de calcul.....	91

Capitolul 7. Determinarea mișcării în jurul rețelelor de profile radial-axiale mobile cu deviație dată.....	101
7.1 Generalități.....	101
7.2 Mișcarea relativă rotațională pe suprafața de curent.....	101
7.3 Ecuația diferențială pentru funcția de curent în planul imagine.....	103
7.4 Tratarea în formă adimensională. Condiții la li- mită în planul imagine.....	104
7.5 Integrarea ecuației diferențiale pentru funcția de curent în planul imagine prin M.E.F.....	104
7.6 Calculul termenilor liberi. $F_n^{(n)}$	106
7.7 Determinarea câmpului de viteze în planul imagine.....	107
7.8 Transpunerea rezultatelor din planul imagine pe suprafața de curent.....	107
7.9 Exemplu de calcul.....	107
Capitolul 8. Concluzii. Contribuții personale. Perspective.	132
8.1 Concluzii.....	132
8.2 Contribuții personale.....	135
8.3 Perspective.....	137
Bibliografie.....	138